



1150057288

IQ

T/UNICAMP R449s

**UNIVERSIDADE ESTADUAL DE CAMPINAS**

**INSTITUTO DE QUÍMICA**

*Síntese de Prolinas Modificadas a partir de Enecarbamato Endocíclico e Estudo  
do Equilíbrio Rotacional da Ligação N-C(O) de seus Derivados N-  
metoxicarbonilados por RMN  $^1H$  e Cálculos ab initio.*

Tese de doutorado

Aluno: Italo José da Cruz Rigotti

Orientador: Prof. Dr. Carlos Roque Duarte Correia

Julho de 2003

JNIDADE I A  
Nº CHAMADA UNICAMP  
R449s  
V \_\_\_\_\_ EX \_\_\_\_\_  
TOMBO BC/57289  
PROC 16/12/04  
C \_\_\_\_\_ D ✓  
PREÇO 21.000  
DATA 03/03/04  
Nº CPD \_\_\_\_\_

CHAMADA  
BIB ID 311201

**FICHA CATALOGRÁFICA ELABORADA PELA  
BIBLIOTECA DO INSTITUTO DE QUÍMICA  
UNICAMP**

R449s Rigotti, Italo José da Cruz.  
Síntese de prolinas modificadas a partir de enecarbamato endocíclico e avaliação do equilíbrio rotacional da ligação N-C(O) de seus derivados n-metoxicarbonilados por RMN <sup>1</sup>H e cálculos de ab initio / Italo José da Cruz Rigotti. -- Campinas, SP: [s.n], 2003.

Orientador: Carlos Roque Duarte Correia

Tese (doutorado) – Universidade Estadual de Campinas, Instituto de Química.

1. Prolinas modificadas. 2. Equilíbrio conformacional. 3. Barreira rotacional. 4. RMN dinâmica. I. Correia, Carlos Roque Duarte. II. Universidade Estadual de Campinas. III. Título.

*"Apesar de todos os medos, escolho a ousadia. Apesar dos ferros, construo a dura liberdade.*

*. Prefiro a loucura à realidade, e um par de asas tortas aos limites da comprovação e da segurança."*

*Lyá Luft*

*À Creuzontina, é claro!*

## Agradecimentos

Caio Fernando Abreu, em uma de suas crônicas, fala das "pequenas epifanias, pequenas manifestações divinas", quase imperceptíveis, que mudam a sua vida. Pois nessa etapa, que culmina com essa tese, há também muitas pequenas e grandes epifanias que tornaram meus dias muito melhores e a que devo ser grato.

Uma grande epifania é a minha mãe, a "dona" Creuzontina, que tem sido companheira e cúmplice desde sempre e que também me deu as primeiras noções de matemática, tornando-a interessante e divertida.

Uma outra epifania, que não se mostra mais fisicamente, mas que está sempre se revelado no meu jeito de ser, é o meu pai, José Rigotti, que com seu jeito muito carinhoso sempre me estimulou e me mostrou as maravilha da leitura.

Ainda no quesito família, há meus irmãos, Itacy e Igor, que acima de tudo se mostraram pacientes e amorosos nos momentos mais difíceis.

E porque eu sou um cara de muita sorte, minha mãe se casou uma segunda vez e me proporcionou um novo pai, Luiz Rancan, que tem sido sempre presente, prestimoso e pronto para ouvir.

At this time I must mention Reverend Ronald Foshage, whom I am truly thankful to because for one whole year he took me into his home, put up with me and took care of me as if he were one of my parents. I must also thank him for sharing his life with me ever since.

Uma vez em Campinas e longe da família, houve aqueles e aquelas que se tornaram especiais por agüentarem minhas choradeiras, por dividirem comigo os momentos alegres, por trocarem idéias e por se mostrarem exemplos de profissionais. Obrigado, Paulão, Luiz Mazzini, Sil, Ângelo Henrique e Joseilson!

Agradeço também, ao Prof. Roque, que embarcou comigo nessa aventura e foi muuuuuuito paciente comigo.

E gostaria de agradecer ao Prof. Pilli pelo exemplo de profissional que é para mim, pela presença amiga e também por ter me ensinado a prática da RMN.

Obrigado, também, ao Prof. Fred e à Prof<sup>a</sup> Anita, sempre solícitos para me ensinar e socorrer, e ao Prof. Fernando Coelho, uma agradável companhia no laboratório, com um bom humor contagiante e sempre aberto a um bom papo.

E foram epifanias inestimáveis os funcionários do IQ, que no dia-a-dia, com sua eficiência, ajudaram no avanço desse trabalho.

Dia 05 de tomo mês, uma manifestação divina, \$\$\$ na conta bancária! Viva a FAPESP! E ao FAEP pelo auxílio ponte.

## Curriculum Vitae

### Italo José da Cruz Rigotti

<b>Formação</b>	1995 - 1999 <b>Bacharelado em Química</b>	Unicamp	Campinas, SP
<b>Experiência Acadêmica</b>	1997 - 1999 <b>Iniciação científica</b>	Unicamp	Campinas, SP
	<ul style="list-style-type: none"><li>▪ <i>Preparação de Bases Nocinica e Alcalóides Pirrolizidínicos para Estudos em Ecologia Química</i> Orientador: Prof. Dr. Carlos Roque Duarte Correia, bolsa FAPESP</li></ul>		
	1997 - 1996 <b>Iniciação científica</b>	Unicamp	Campinas, SP
	<ul style="list-style-type: none"><li>▪ <i>Síntese e Caracterização de Filmes Híbridos PMMA-PDMS.</i> Orientadora: Profª Drª Inez Valéria P. Yoshida, bolsa CNPq/PIBIC</li></ul>		
	07.1995 - 08.1995 <b>Estágio Científico</b>	Weizmann Institute	Rehovot, Israel
	<ul style="list-style-type: none"><li>▪ <i>Preparation of mono- and multilayers on glass substrate.</i> Supervisor: Prof. Dr. Jacob Yagiv</li></ul>		
<b>Prêmios</b>	<b>Medalha Lavoisier</b> Concedido pelo IV Conselho Regional de Química ao " Melhor Aluno do Curso de Bacharelado em Química 1995-1998".		
	<b>Bolsa de estudos para desenvolvimento de estágio no Instituto Weizmann, Israel</b> Concedida pela Sociedade dos Amigos do Instituto Weizmann de São Paulo para realização de estágio científico em Israel.		
<b>Trabalhos Apresentados em Congressos.</b>	<ul style="list-style-type: none"><li>▪ <i>Determinação da barreira rotacional de N-arylcarbamatos de metila por modelagem molecular.</i> 26<sup>a</sup> Reunião Anual da Sociedade Brasileira de Química, 2003.</li><li>▪ <i>Análise conformacional de enamidas endocíclicas por modelagem molecular.</i> 25<sup>a</sup> Reunião Anual da Sociedade Brasileira de Química, 2002.</li><li>▪ <i>Análise estrutural dos rotámeros da N-acilanilina por modelagem molecular.</i> XLI Congresso Brasileiro de Química, 2001.</li><li>▪ <i>Synthesis of Peptides Containing Modified Prolines</i> 9<sup>th</sup> Brazilian Meeting on Organic Synthesis, 2001.</li><li>▪ <i>C-4 Substituents on N-acyl-prolines: Electronegative or Molecular Orbital Interactions?</i> I Encontro Luso-Brasileiro de Ressonância Magnética Nuclear / VIII Encontro de Usuários de Ressonância Magnética Nuclear, 2001.</li><li>▪ <i>Estudo computacional da barreira rotacional de N-acilanilinas.</i> 24<sup>a</sup> Reunião Anual da Sociedade Brasileira de Química, 2001.</li><li>▪ <i>Sínteses de metanoprolinas a partir de enecarbamatos endocíclicos.</i></li></ul>		

**Publicações**

- 23<sup>a</sup> Reunião Anual da Sociedade Brasileira de Química, 2000.
- *Efeito da polaridade do solvente na barreira rotacional de enecarbamatos e enamidas.*  
23<sup>a</sup> Reunião Anual da Sociedade Brasileira de Química, 2000.
  - *Endocyclicenecarbamates rotational barrier determination through dynamic <sup>1</sup>H NMR.*  
VII Encontro de usuários de Ressonância Magnética Nuclear, 1999.
  - *Um estudo computacional da barreira rotacional de enecarbamatos endocíclicos.*  
22<sup>a</sup> Reunião Anual da Sociedade Brasileira de Química, 1999.
  - *Synthesis of labeled pyrrolizidine alkaloids for chemical ecology interaction studies.*  
8<sup>th</sup> Brazilian Meeting on Organic Chemistry, 1998.

FONTOURA, L. A. M.; RIGOTTI, I. J. C.; CORREIA, C. R. D. **Experimental and Theoretical Studies on the Rotational Barrier of 1-Acyl- And 1-alkoxycarbonyl-2-pyrrolines.** Journal of Molecular Structure, , v. 609, p. 73-81, 2002

CORREIA, C. R. D.; FONTOURA, L. A. M.; RIGOTTI, I. J. C. **Determinação da Barreira Rotacional de Enecarbamatos e Enamidas Endocíclicas por RMN-1H Dinâmica.** Anais de Ressonância Magnética Nuclear, Rio de Janeiro Associação de Usuários de Ressonância Magnética Nuclear, 1999, v. 1999, n. 6, p. 115-120.

## RESUMO

Uma série de 4,5-metanoprolinas foi preparada a partir da adição de espécies carbenóides ao *N*-carbometóxi-4,5-desidroprolinato de metila. Em condições de Simmons-Smith modificadas, obtiveram-se, após, 96 horas, dois produtos na proporção de 1:2 (determinado por CG) em 50% de rendimento. Sendo majoritário o produto que possui o grupamento metileno do ciclopropano *cis* ao éster do anel pirrolidínico. A adição de diclorocarbeno à olefina forneceu produtos com estereoquímica relativa *cis* e *trans* em razão 1:16 em 80% de rendimento. Apenas um produto, o *trans*, foi obtido em 50% de rendimento quando o dibromocarbeno foi adicionado à olefina. Além dos produtos finais e intermediários reacionais, uma série de *N*-carbometóxi-4-X-prolinatos de metila, em que X = -OH, -F e =O, tiveram a rotação da ligação N-C(O) estudada por RMN  $^1\text{H}$ . Não se observaram variações significativas no equilíbrio para os derivados das 4-X-prolinas quando comparados com o da própria prolina, em contraste com as variações relatadas para a série das *N*-acetilprolinas. Por outro lado, para os derivados das hialometanoprolinas, houve um favorecimento do confôrmero Z, atribuído a interações dipolares desfavoráveis entre a carbonila do carbamato e os átomos de halogênio do confôrmero E. A barreira energética para a interconversão dos rotâmeros ficou na faixa de 16-18 kcal mol $^{-1}$ . As maiores barreiras foram observadas para os derivados das *trans*-dialometanoprolinas, e as menores para os derivados da desidroprolinae da *cis*-diclorometanoprolina. O estudo computacional desse processo por cálculos *ab initio* no nível HF/6-31G\* permitiu, pela primeira vez, a observação dos quatro estados-de-transição possíveis para *N*-acilprolinas, e os valores determinados teoricamente se encontram em torno de 10% maior do que aqueles observados experimentalmente. A aplicação dos valores de energia das moléculas a reações isodésmicas permitiu inferir que o aumento da barreira nos derivados com estereoquímica *trans* se deve a uma maior desestabilização dos estados-de-transição que das geometrias de equilíbrio. Já a diminuição no caso do derivado *cis*, foi atribuído a uma maior desestabilização das geometrias de equilíbrio que dos estados-de-transição.

## Abstract

A series of 4,5-metanoprolines has been synthesized from the addition of carbenoid species to *N*-carbomethoxy-4,5-dehydroproline methyl ester. Under modified Simmons-Smith conditions, two products in a 1:2 ratio (as determined by GC) have been isolated in 50% yield after 96 hours. The major product has the cyclopropyl methylene *cis* to the pyrrolidine ester. Dichloromethane addition to the olefin furnished *cis* and *trans* products in a 1:16 ratio and 80% yield. Only one product was isolated when dibromocarbene was added to the olefine (50% yield). Moreover, a series of *N*-carbomethoxy-4-X-proline methyl esters, where X = -OH, -F and =O, had their N-C(O) bond rotational equilibrium studied by means of <sup>1</sup>H NMR. No significant variations in the equilibrium were observed for the 4-X-proline derivatives as compared to the proline derivative itself, in contrast to a previously reported variation for the *N*-acetyl-proline derivatives. On the other hand, a preference for the Z conformer was observed for the di-halomethane-proline derivatives. This was attributed to an unfavorable dipolar interaction between the carbonyl oxygen atom and the halogens in the E conformer. The barrier for conformer interconversion was determined to be around 16-18 kcal mol<sup>-1</sup>. The greatest barriers were observed for the *trans*-di-halomethane-proline derivatives and the lowest for the dehydroproline and the *cis*-di-halomethane ones. HF/6-31G\* calculations for the topomerization allowed, for the first time, the observation of the four possible transition states for this process. The calculated barriers were overestimated by about 10% when compared to those obtained experimentally. The use of the molecular energies to isodesmic reactions allowed to infer that the rotational barrier increase observed for the *trans*-dihalomethane-proline derivatives is due to a greater destabilization of the transition states when compared to the equilibrium geometries, whereas the lowering in the barrier for the *cis*-di-halomethane derivative is due to a greater destabilization of the ground state compared to the transition ones.

## Abreviaturas

ATFA	anidrido trifluoracético
CBTA	cloreto de benzil-trietil-amônio
CG	cromatografia gasosa
CIP	Cahn-Ingold-Prelog
DAST	trifluoreto de dimetilamino-enxofre
DIBAL-H	hidreto de diisobutil-alumínio
DMAP	4-dimetil-aminopiridina
DME	dimetoxietano
$E_{\text{rel}}$	Energia relativa
$E_T$	Energia total
ET	estado-de-transição
G	Energia de Gibbs
GE	geometria de equilíbrio
HMDS	hexametildissilazida
morph-DAST	trifluoreto de morfolino-enxofre
Pro	prolina
RMN	ressonância magnética nuclear
RMND	ressonância magnética nuclear dinâmica
$T_c$	temperatura de coalescência
TBDPS	<i>tert</i> -butildifenilsilila
TFA	ácido trifluoracético
$\delta_{\text{BD}}$	distância entre o nucleófilo e o carbono carbonílico.
$\tau_{\text{BD}}$	ângulo de aproximação do nucleófilo à carbonila.
$\Delta P$	diferença de frações molares
$\Delta v$	diferença de freqüências

## **Índice**

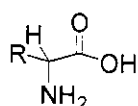
<b>1 - Introdução</b>	<b>1</b>
<b>2 - Síntese de prolinas modificadas</b>	<b>7</b>
2.1 - Introdução	9
2.2 - As 4,5-metanoprolinas	11
2.2.1 - A síntese de 4,5-metanoprolinas	11
2.2.2 - RMN $^1\text{H}$ e a determinação estereoquímica	14
2.2.3 - Racionalizando os resultados	21
2.3 - As 4,5-diclorometanoprolinas	22
2.3.1 - Síntese das 4,5-diclorometanoprolinas	22
2.3.2 - A determinação da estereoquímica por RMN $^1\text{H}$	23
2.3.3 - Investigando a estereosseletividade	23
2.4 - A 4,5-dibromometanoprolina	28
2.4.1 - A síntese	28
2.4.2 - A determinação da estereoquímica por RMN $^1\text{H}$	30
2.5 - Síntese de outras prolinas modificadas	30
2.6 - Conclusões	32
<b>3 - O equilíbrio conformacional da ligação N-C(O)</b>	<b>35</b>
3.1 - Introdução	37
3.1.1 - Origem e implicação do equilíbrio conformacional na ligação N-C(O)	37
3.1.2 - Modificando o equilíbrio conformacional em amidas e carbamatos	40
3.2 - O estudo do equilíbrio conformacional	43
3.2.1 - Metodologia para atribuição dos sinais dos rotâmeros no espectro de RMN $^1\text{H}$	43
3.2.2 - O equilíbrio conformacional em <i>N</i> -acil-4-X-prolinatos de metila	50
3.2.3 - O equilíbrio conformacional nas dialometanoprolinas	59
3.3 - Conclusões	62
<b>4 - A barreira rotacional</b>	<b>65</b>
4.1 - Introdução	67

4.1.1 - A ressonância magnética nuclear dinâmica.	67
4.1.2 - Técnicas de ressonância magnética nuclear dinâmica.	68
4.1.3 - Alguns fatores que alteram a barreira rotacional de amidas e carbamatos.	71
4.1.4 - Cálculos teóricos e a racionalização dos fatores modificadores das barreiras.	73
4.2 - A barreira rotacional de alguns <i>N</i> -carbometoxiprolinatos de metila.	76
4.2.1 - A metodologia utilizada	76
4.2.2 - Compostos com grupos retiradores de elétrons	78
4.2.3 - A barreira rotacional dos derivados das dialometanoprolinas	79
4.2.4 - A barreira rotacional dos derivados das 4-X-prolinas	94
4.3 - Conclusões	98
<b>5 - Parte Experimental</b>	<b>101</b>
<b>6 - Parte Computacional</b>	<b>157</b>
<b>7 - Bibliografia</b>	<b>183</b>

## ***1 - Introdução***

## Introdução

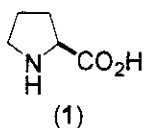
$\alpha$ -aminoácidos são moléculas cuja estrutura geral é apresentada na Figura 1.1. O centro quiral  $\alpha$  carbonílico pode possuir duas configurações ditas *R* ou *S*, quando as regras de Cahn-Ingold-Prelog (CIP)<sup>1</sup> estão sendo utilizadas para o estabelecimento da configuração do centro, ou *D* ou *L*, se a convenção de Fischer<sup>2</sup> for o parâmetro utilizado para a nomenclatura.



**Figura 1.1:** Estrutura geral dos  $\alpha$  aminoácidos.

Conhecem-se 20 diferentes grupos codificados geneticamente que assumem a posição de *R*.<sup>3</sup> O mais simples deles é um átomo de hidrogênio, originando o aminoácido glicina. Os aminoácidos chamados naturais são sempre da série *L*, quando a convenção de Fischer é utilizada, e de configuração *S* segundo as regras de CIP. A única exceção é a *L*-cisteína que possui configuração *R*.<sup>3</sup>

A prolina (1), Figura 1.2, é o único aminoácido geneticamente codificado cíclico, o que lhe confere um papel destacado na estrutura de peptídeos por restringir a posição relativa de sua cadeia lateral.<sup>4</sup>



**Figura 1.2:** Estrutura da prolina.

<sup>1</sup> a) Cahn, R. S.; Ingold, C. K. e Prelog, V.; *Angew. Chem. Int. Ed. Eng.* **1966**, 5, 385.

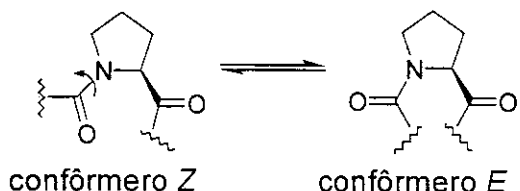
b) Prelog, V. e Helmchen; *Angew. Chem. Int. Ed. Eng.* **1982**, 21, 567.

<sup>2</sup> Comissão conjunta para Nomenclatura em Bioquímica, *Pure Appl. Chem.* **1984**, 56, 592.

<sup>3</sup> Voet, D. e Voet, J. G.; *Biochemistry*, 2<sup>a</sup> Ed. John Wiley & Sons, Inc.; N.Y., pp. 56-ss.

<sup>4</sup> Konopelski, J. P.; Wei, Y. e Olmstead, M. M.; *J. Org. Chem.* **1999**, 64, 5148.

Por se tratar de uma amina secundária, quando a prolina forma ligações peptídicas através do seu grupamento amino, sintetizam-se amidas terciárias. Essas normalmente apresentam um interessante equilíbrio conformacional decorrente da deslocalização eletrônica do nitrogênio sobre o sistema carbonílico e interações estéreas entre seus dois confôrmeros (Figura 1.3).<sup>5</sup>



**Figura 1.3:** Equilíbrio conformacional na ligação N-C(O) de *N*-acilprolinas.<sup>5</sup>

Algumas consequências desse equilíbrio conformacional nas prolinas estão relacionadas à estabilidade, ao enovelamento, à desnaturação, e ao reconhecimento de peptídeos, bem como ao sistema de ativação enzimática.<sup>5</sup>

A interconversão de um confôrmero ao outro requer uma energia da ordem de 17 kcal mol<sup>-1</sup>. Biologicamente, contudo, esse problema é contornado pela presença de enzimas conhecidas por rotamases ou peptidilprolilisomerases (PPIases) que catalisam seletivamente a rotação X-Pro (em que X é um aminoácido qualquer).<sup>5</sup>

Na tentativa de ajudar na elucidação dos mecanismos dos fenômenos relacionados a esse aminoácido, novas prolinas têm sido utilizadas como sondas.<sup>6</sup> Nesse sentido, a contribuição dos químicos orgânicos, tanto através do isolamento e elucidação de novas estruturas, quanto na síntese de novos compostos, tem sido de grande importância.<sup>6</sup>

<sup>5</sup> Fischer, G.; *Angew. Chem. Int. Ed. Eng.* **1994**, 33, 1415.

<sup>6</sup> O rotâmero Z, quando aplicadas as regras de CIP, refere-se ao posicionamento (AA)<sub>n</sub>-NH<sub>3</sub><sup>+</sup> (*N*-terminal) *anti* em relação ao segmento (AA)<sub>n</sub>-COO<sup>-</sup> (*C*-terminal), e o rotâmero E refere-se àquele que possui a relação *syn* entre esses segmentos. Normalmente o rotâmero Z predomina no meio biológico (90%).

<sup>a</sup> a) Avent, A. G.; Bowler, A. N.; Doyle, P. M.; Marchand, C. M. e Young, D. W.; *Tetrahedron Lett.* **1992**, 33, 1509.

<sup>b</sup> Hanessian, S.; McNaughton-Smith, G.; Lombart, H.-G.; Lubell, W. D. *Tetrahedron* **1997**, 53, 12789.

Dessa forma, e também devido a uma escassez de estudos relacionados a carbamatos,<sup>7</sup> decidimos estudar o equilíbrio conformacional da ligação N-C(O) de prolinas modificadas por RMN <sup>1</sup>H sob o ponto de vista termodinâmico e cinético e tentar racionalizar o efeito das modificações implementadas no anel pirrolidínico das novas prolinas sobre o dito equilíbrio conformacional, utilizando ferramentas experimentais e teóricas.

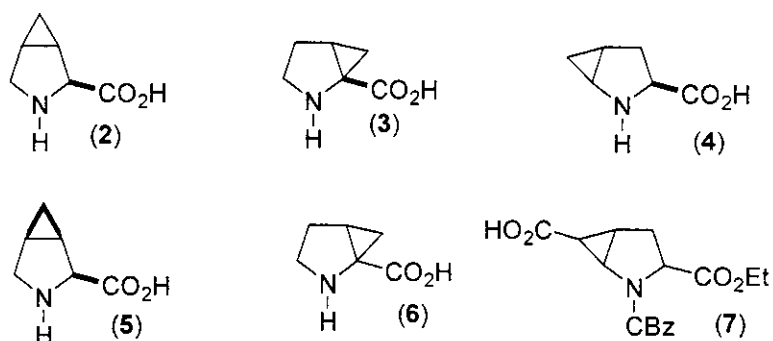
---

<sup>7</sup> Cox, C. e Lectka, T.; *J. Org. Chem.* 1998, 63, 2426.

## **2 - Síntese de Prolinas Modificadas**

## 2.1- Introdução

Metanoprolinas são compostos de estrutura geral azaciclo[3.1.0]hexano. Essa estrutura geral permite a presença de três subfamílias de compostos dependentes do posicionamento do átomo de nitrogênio com relação à ponte entre os ciclos. A primeira subfamília (estrutura geral 2), Figura 2.1, surgiu em 1969 com o isolamento da *cis*-3,4-metanoprolina (5) da *Aesculus parviflora*.<sup>8</sup> A segunda subfamília (estrutura geral 3) surgiu com a síntese racêmica da 2,3-metanoprolina (6) em 1989.<sup>9</sup> As propriedades estruturais, bem como algumas biológicas desses compostos, já foram relatadas. 4,5-metanoprolinas (4), porém, não foram isoladas na natureza até o presente momento. Em 1994, Pellicciari e colaboradores relataram a primeira síntese racêmica de sistemas do tipo 4,5-metanoprolinas (7).<sup>10</sup>



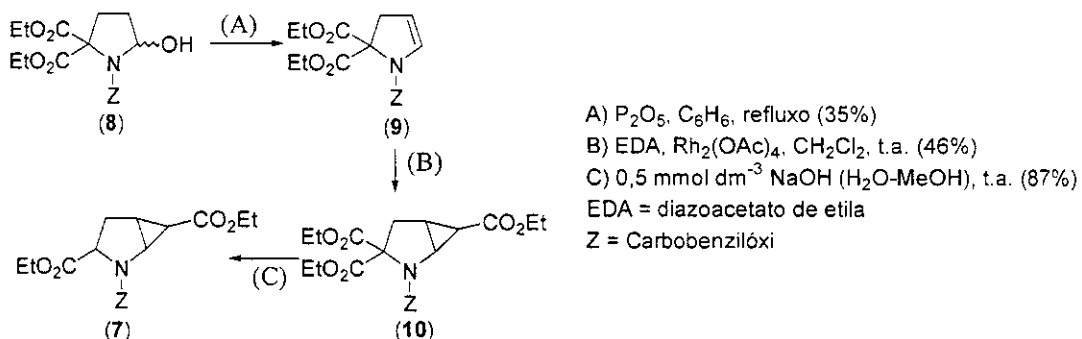
**Figura 2.1:** As três subfamílias de metanoprolinas e seus primeiros membros isolados ou sintetizados.

A síntese de Pellicciari e colaboradores baseava-se na adição a um enecarbamato de uma espécie carbenóide gerada a partir de diazoacetato de etila na presença de ródio (Esquema 2.1).

<sup>8</sup> Fowden, L.; MacGibbon, C. M.; Mellon, F. A. e Shappard, R. C.; *Phytochemistry* **1969**, *8*, 437.

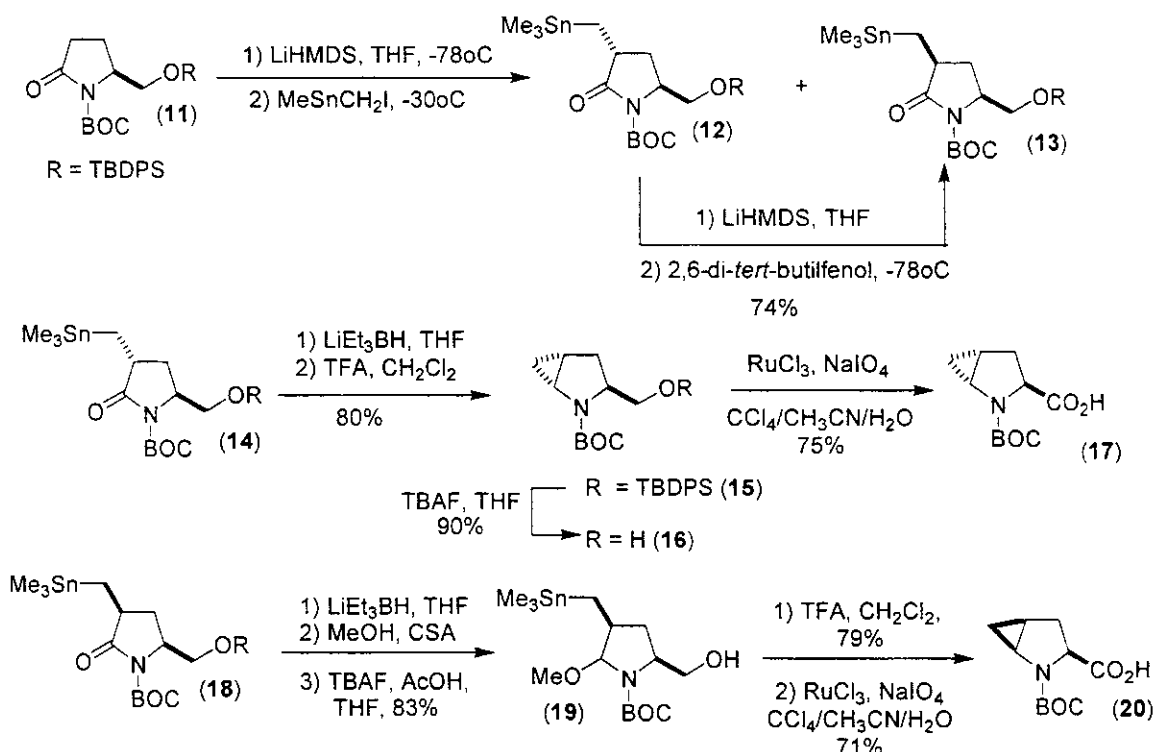
<sup>9</sup> Switzer, F. L.; Halbeek, H. V.; Holt, E. M. e Stammer, C. H.; *Tetrahedron* **1989**, *45*, 6091.

<sup>10</sup> Pellicciari, B.; Marrazzo, M.; Galli, A.; *J. Chem. Soc. Perkin Trans. 1* **1995**, 1251.



**Esquema 2.1:** Primeira síntese racêmica de sistemas 4,5-metano prolinas relatada por Pelliciari e colaboradores em 1994.

Posteriormente, em 1997, Hanessian relatou a primeira síntese assimétrica da 4,5-metanoprolina (**4**),<sup>11</sup> o membro mais simples dessa subfamília. A chave dessa síntese envolvia a ciclopropanação intramolecular de íons imínicos gerados a partir de  $\alpha$ -trimetil-estanil-lactamas (Esquema 2.2).

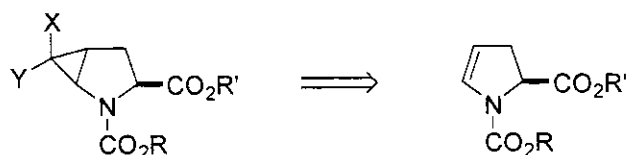


**Esquema 2.2:** Primeira síntese assimétrica de 4,5-metanoprolinas.

<sup>11</sup> Hanessian, S.; Reinhold, U.; Gentilie, G.; *Angew. Chem. Int. Ed. Eng.* 1997, 36, 1881.

Nesse trabalho, Hanessian indica que a ciclopropanação da prolina proporciona um anel pirrolidínico mais planar, o que nos motivou a investigar as influências dessa maior planaridade do anel sobre o equilíbrio conformacional da ligação N-C(O) dessa classe de prolinas sob um ponto de vista cinético e termodinâmico.

Nossa proposta de síntese para esses derivados da prolina, contudo, estava mais próxima da abordagem adotada por Pellicciari, ou seja, a adição de uma espécie carbenóide a um enecarbamato, Esquema 2.3.



**Esquema 2.3:** Proposta retrossintética para a síntese de 4,5-metanoprolinas.

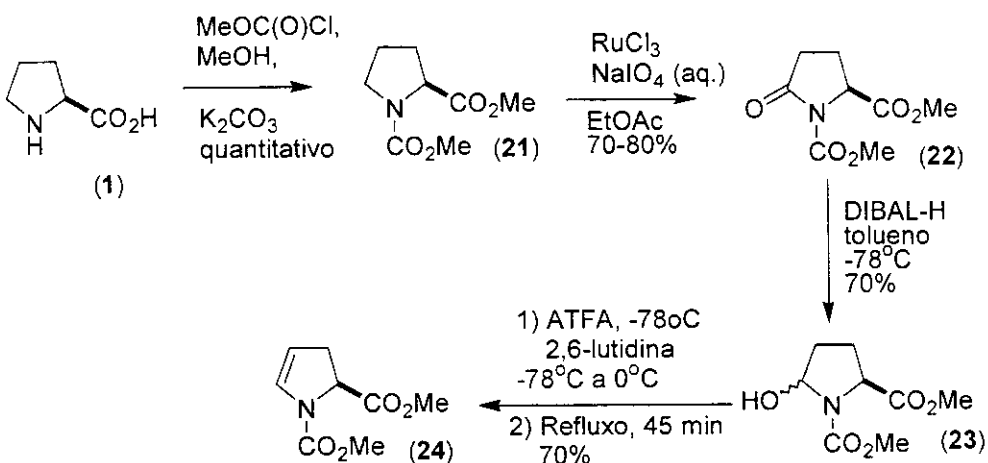
A proposta do Esquema 2.3 parecia-nos interessante pela possibilidade de síntese de uma gama de prolinas modificadas através da modificação da espécie carbenóide. Por exemplo, para o caso em que X e Y igual a hidrogênio, propôs-se a utilização de condições de Simmons-Smith modificadas; para X e Y igual a cloro, poder-se-ia gerar o diclorocarbeno a partir de clorofórmio em meio básico, entre outros.

## 2.2 - Síntese de 4,5-metanoprolinas

### 2.2.1 - A Síntese de 4,5-metanoprolinas

Escolheu-se para os estudos de ciclopropanação o enecarbamato 24, esquema 2.1, o qual já havia sido obtido nesse grupo de pesquisas por

metodologia desenvolvida por Correia e colaboradores<sup>12</sup>, a qual é apresentada no Esquema 2.4 e foi utilizada nesse trabalho.

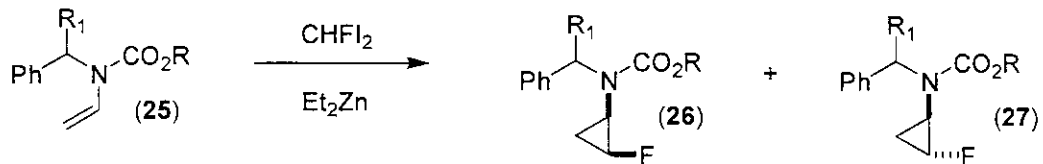


**Esquema 2.4:** Síntese do *N*-carbometóxi-4,5-desidro-prolinato de metila (**24**) a partir da *L*-prolina (**1**).

Pequenas modificações experimentais foram realizadas no protocolo, como a diminuição na quantidade de 2,6-lutidina utilizada de 20 para 5 equivalentes em relação aos *N,O*-acetais (**23**) para a obtenção do enecarbamato (**24**).

A reação de ciclopropanação da dupla ligação endocíclica foi realizada inicialmente, utilizando-se o precedente publicado por Terashima e colaboradores<sup>13</sup> em que eles efetuam a ciclopropanação de um vinilcarbamato, conforme apresentado no Esquema 2.5 a seguir.

<sup>13</sup> Tamura, O.; Hashimoto, M.; Kobayashi, Y.; Katoh, T.; Nakatani, K.; Kamada, M.; Hayakawa, I.; Akiba, T.; Terashima, S.; *Tetrahedron* **1994**, *50*, 3889.

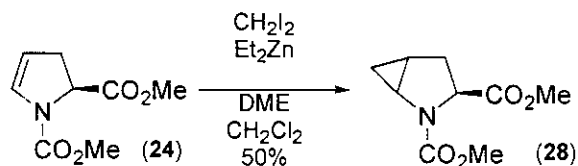


Entrada	R	R <sub>1</sub>	Condições	Rend. / %	Razão (cis:trans)
1	tBu	H	hexano, -20°C, 1 h	69	62:38
2	Bn	Me	CH <sub>2</sub> Cl <sub>2</sub> , -40°C, 0,5 h	97	89:11
3	tBu	Me	CH <sub>2</sub> Cl <sub>2</sub> , -40°C, 1 h	67	91:9
4	Bn	Ph	CH <sub>2</sub> Cl <sub>2</sub> , -40°C, 0,5 h	90	93:7
5	tBu	Ph	CH <sub>2</sub> Cl <sub>2</sub> , -40°C, 0,5 h	87	93:7

**Esquema 2.5:** Condições de ciclopripanação de um N-vinilcarbamato relatadas por Terashina e colaboradores.

Nesse estudo os autores observaram que CH<sub>2</sub>Cl<sub>2</sub> era o melhor solvente para se conduzir a reação devido aos menores tempos reacionais, melhores razões de diastereosseletividade e homogeneidade do meio.

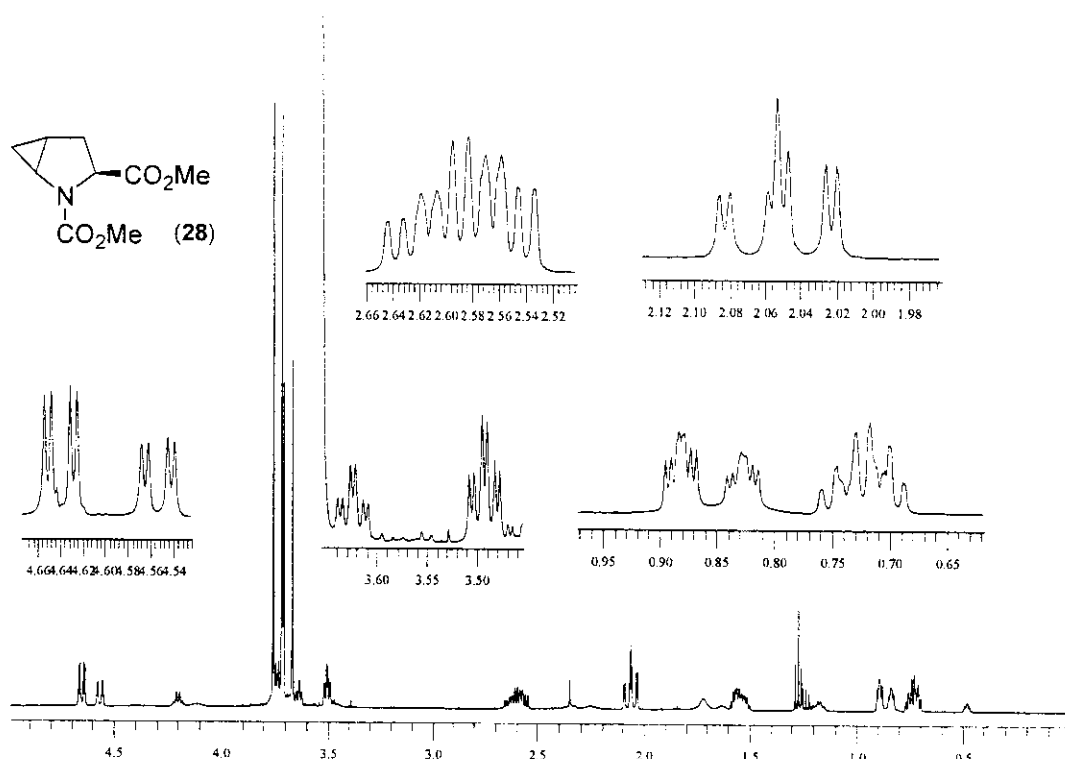
Utilizando-se as condições apresentadas no Esquema 2.6, a reação de ciclopripanação mostrou-se muito lenta, necessitando de 96 horas para o total consumo do material de partida. A análise da reação por CG mostrou a presença de dois produtos em uma relação de 1:2.



**Esquema 2.6:** Condição empregada para a ciclopripanação de 24.

## 2.2.2 - RMN $^1\text{H}$ e a determinação estereoquímica.

Não foi possível a total separação dos dois diastereoisômeros por cromatografia *flash* em coluna. Contudo, obtiveram-se frações enriquecidas no produto majoritário que foram utilizadas para a sua caracterização. O espectro de RMN  $^1\text{H}$  obtido é apresentado na Figura 2.2 a seguir.

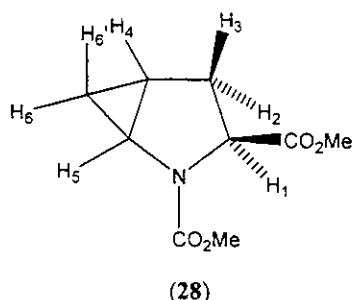


**Figura 2.2:** Espectro de RMN  $^1\text{H}$  ( $\text{CDCl}_3$ , 500 MHz) do produto majoritário da reação de ciclopropanação apresentada no Esquema 2.6.

Uma primeira observação interessante é a presença de sinais duplicados no espectro. Tal duplicação pode se originar tanto pela presença de diastereoisômeros em solução quanto pelo equilíbrio conformacional na ligação N-C(O). O desconhecimento da segunda possibilidade tem, ainda recentemente,

enganado químicos e levado-os a conclusões errôneas, havendo exemplos extremos em que os sinais duplicados foram atribuídos a enantiômeros!<sup>14</sup> No caso do presente espectro, há sinais oriundos do equilíbrio conformacional, como os duplo-dubleto em  $\delta = 4,65$  e  $4,55$ , e da presença de diastereoisômeros, como os sinais entre  $\delta = 4,20$  e  $4,10$ .

A atribuição dos sinais no espectro de RMN  $^1\text{H}$  foi feita da seguinte forma: o hidrogênio mais desprotegido da molécula, hidrogênio  $\alpha$  carbonílico e  $\alpha$  nitrogênio ( $\text{H-1}$ , Figura 2.3), foi atribuído ao par de duplo-dubleto em  $\delta = 4,65$  e  $4,55$ . A seguir, H-5, o outro núcleo  $\alpha$ -nitrogênio, foi atribuído aos duplo-duplo-dubletos em  $\delta = 3,62$  e  $3,50$ . Os demais sinais referentes ao produto majoritário foram atribuídos com auxílio de espectro de correlação homonuclear  $^1\text{H}-^1\text{H}$  (COSY  $^1\text{H}-^1\text{H}$ ) e de valores de constantes de acoplamento. Os dados espectrais para o confôrmero majoritário do produto majoritário, bem como as respectivas atribuições, são apresentadas na Tabela 2.1. A numeração utilizada para os diversos núcleos se encontra na representação a seguir (Figura 2.3).



**Figura 2.3:** Numeração dos núcleos utilizada na atribuição dos sinais do *N*-carbometóxi-4,5-diclorometanoprolinato de metila.

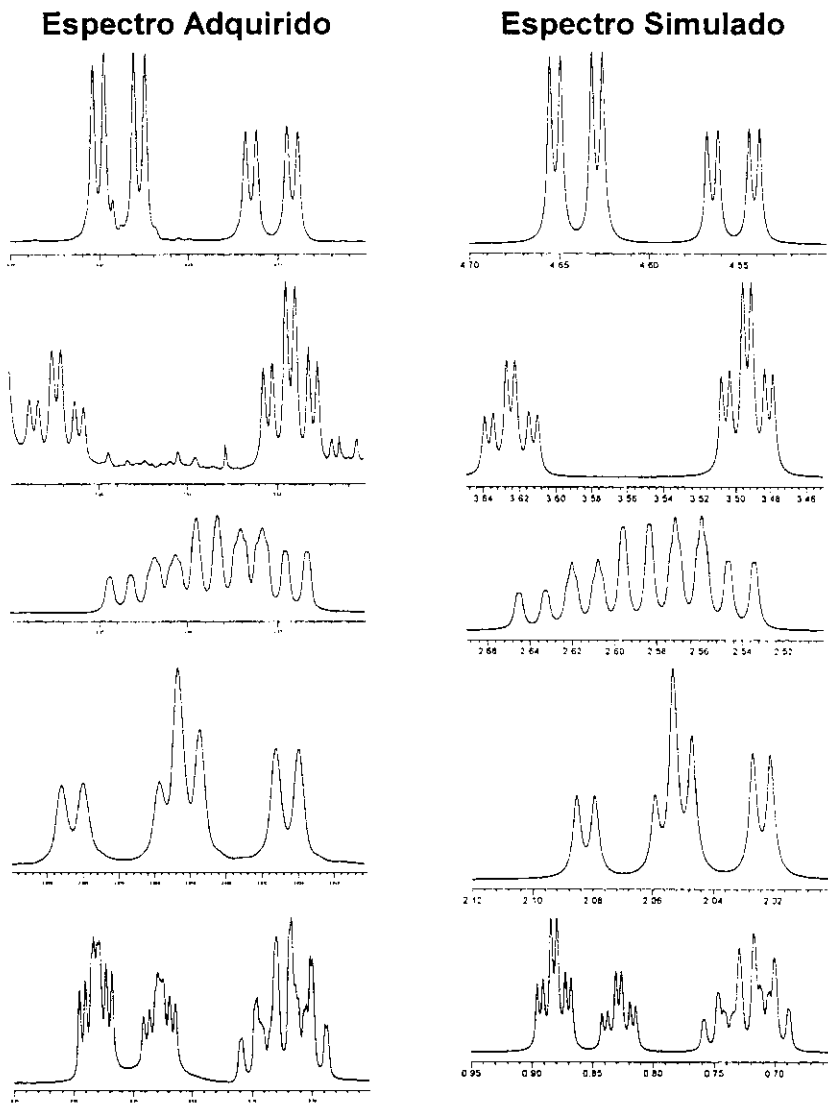
<sup>14</sup> Novaes, M. R. C. G.; Souza, J. P e Araújo, H. C.; *Química Nova* 1999, 22, 5.

**Tabela 2.1** - Atribuição dos sinais de RMN  $^1\text{H}$  (500 MHz, em  $\text{CDCl}_3$ ) referentes ao confôrmero majoritário do composto **28**.

Núcleo	$\delta$ (mult.)	$J$ / Hz
1	4,65 (dd)	$^3J_{1,2} = 11,5$ ; $^3J_{1,3} = 3,0$
2	2,57 (dddd)	$^2J_{2,3} = 13,0$ ; $^3J_{2,1} = 11,5$ ; $^3J_{2,4} = 5,9$ ; $^4J_{2,6} = 1,0$
3	2,04 (dd)	$^2J_{3,2} = 13,0$ ; $^3J_{3,1} = 3,0$
4	1,56 (dddd)	$^3J_{4,6} = 8,4$ ; $^3J_{4,5} = 6,4$ ; $^3J_{4,6} = 6,1$ ; $^3J_{4,2} = 5,8$
5	3,50 (ddd)	$^3J_{5,6} = 5,9$ ; $^3J_{5,4} = 6,4$ ; $^3J_{5,6} = 2,4$
6	0,72 (dddd)	$^2J_{6,6} = 5,6$ ; $^3J_{6,4} = 8,4$ ; $^3J_{6,5} = 5,9$ ; $^4J_{6,2} = 1,0$
6'	0,89 (ddd)	$^2J_{6',6} = 5,6$ ; $^3J_{6',4} = 6,1$ ; $^3J_{6',5} = 2,4$

Para uma determinação precisa das constantes de acoplamento, os espectros foram simulados com auxílio do programa MestreC (versão 2.3)\* e comparados com os originais. As constantes de acoplamento utilizadas inicialmente nas simulações foram medidas diretamente no espectro de RMN  $^1\text{H}$  tendo sido aplicadas funções matemáticas para melhorar a resolução (exponencial - lb - de -0,5 e gaussiana - gb - de 1,7). Já os deslocamentos químicos iniciais foram estimados como sendo o centro dos multipletos correspondente a cada um dos confôrmeros. As diversas regiões espectrais, bem como suas simulações, são apresentadas na Figura 2.4.

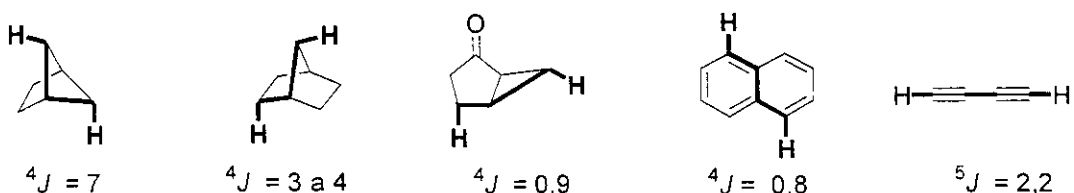
\* Programa desenvolvido por Sardina, F. J.; Gomes, J. C. C. e Navarro, A.; MestreC, versão 2.3. A versão mais recente é a 3.0 e se encontra disponível gratuitamente no endereço <http://www.mestreC.com>



**Figura 2.4:** Regiões referentes ao espectro de RMN  $^1\text{H}$  de **28** (Figura 2.2) e simulações obtidas através do programa mestreC.

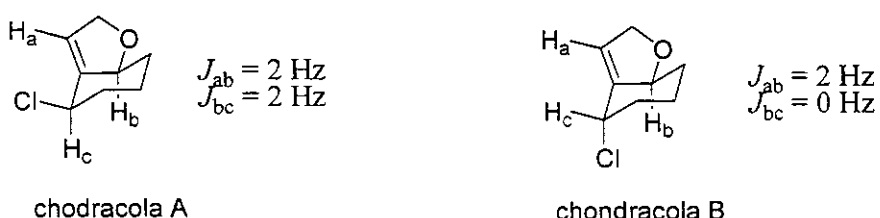
A análise dos multipletos revelou uma constante de acoplamento a longa distância ( $^4J_{2,6}$ ) no valor de 1,0 Hz. Constantes de acoplamento escalar a longa distância (ou seja, entre núcleos separados a mais de três ligações) são relativamente incomuns para hidrogênios, restringindo-se a sistemas insaturados e em ziguezague (idealmente com a aproximação da geometria das ligações à da

letra W ou M).<sup>15</sup> A Figura 2.5 apresenta alguns exemplos de acoplamentos a longa distância.<sup>16</sup>



**Figura 2.5:** Exemplos de acoplamento a longa distância.<sup>15,16</sup>

Apesar de rara, a presença de acoplamentos a longa distância tem sido bastante útil na atribuição de estereoquímica em sistemas bicíclicos. Crews, Rodríguez e Jaspars<sup>17</sup> citam, por exemplo, o caso das chondracolas A e B (Figura 2.6), em que a determinação estereoquímica de H<sub>b</sub> e H<sub>c</sub> foi feita através da observação de acoplamento W com H<sub>a</sub>.



**Figura 2.6:** Diferença nas constantes de acoplamento  $J_{bc}$  nas chondracolas A e B.

Assim, a presença de  ${}^4J_{2,6}$  em 28 é um bom indicativo de que a estereoquímica relativa entre o metíleno do anel ciclopropânico e o carbometóxi em C-2 seja *cis*.

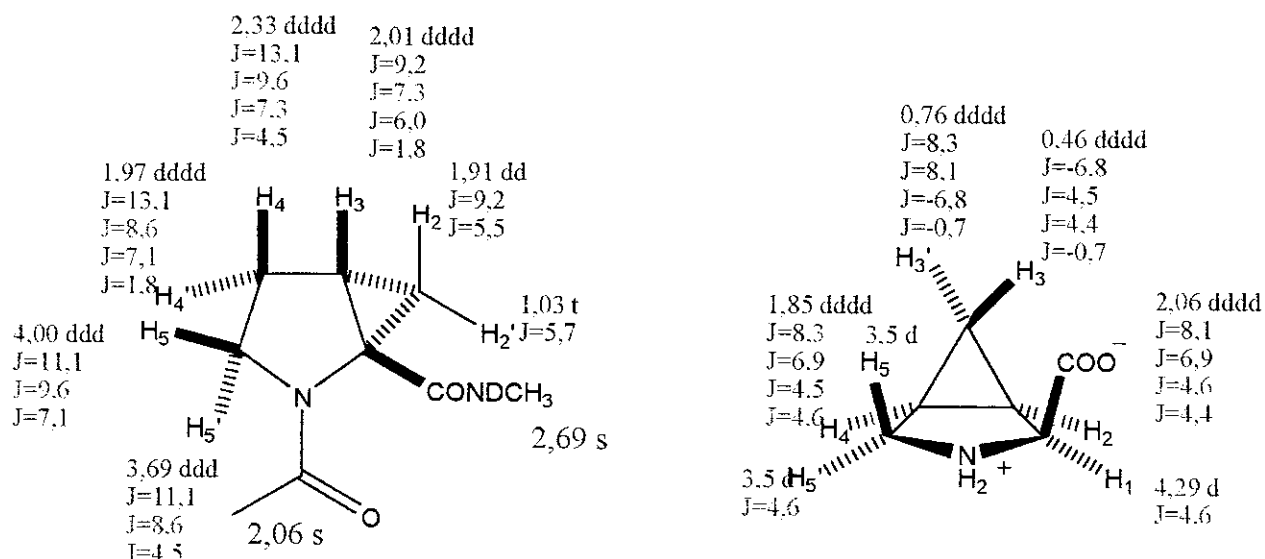
<sup>15</sup> Hore, P. J.; *Nuclear Magnetic Resonance*, Oxford University Press, Oxford: , 1995, p. 39.

<sup>16</sup> Friebolin, H.; *Basic One- and two-dimensional NMR spectroscopy*, VCH, Nova Iorque, 1993, p. 120.

<sup>17</sup> Crews, P.; Rodríguez, J. e Jaspars, M.; *Organic Structure Analysis*, Oxford University Press, Oxford, 1998, p. 143.

Uma segunda evidência na determinação da estereoquímica entre esses grupos veio da análise das constantes de acoplamento  $^3J$  dos hidrogênios do anel pirrolidínico. Tem-se observado que, normalmente, as constantes de acoplamento  $^3J_{cis}$  são maiores que as  $^3J_{trans}$  em anéis de cinco membros.<sup>18</sup> No caso da 4,5-metanoprolina, por se tratar de um sistema bicíclico, portanto com restrições conformacionais, fez-se um levantamento na literatura a fim de se verificar se essa hipótese também era válida para os nossos sistemas. Encontramos um estudo detalhado das constantes de acoplamento em 2,3-metanoprolinas, realizado por Stammer e colaboradores<sup>19</sup> em 1989, e outro em 3,4-cis-metanoprolinas por Gatti e Abraham<sup>20</sup> em 1970.

Os valores das constantes de acoplamentos encontrados por esses pesquisadores para cada um dos sistemas estudados é apresentado na Figura 2.7 a seguir.



**Figura 2.7:** Dados de RMN  $^1H$  de alguns compostos [3.1.0]-azabiciclo usados como modelo na atribuição da estereoquímica do diastereoisômero majoritário de 28.

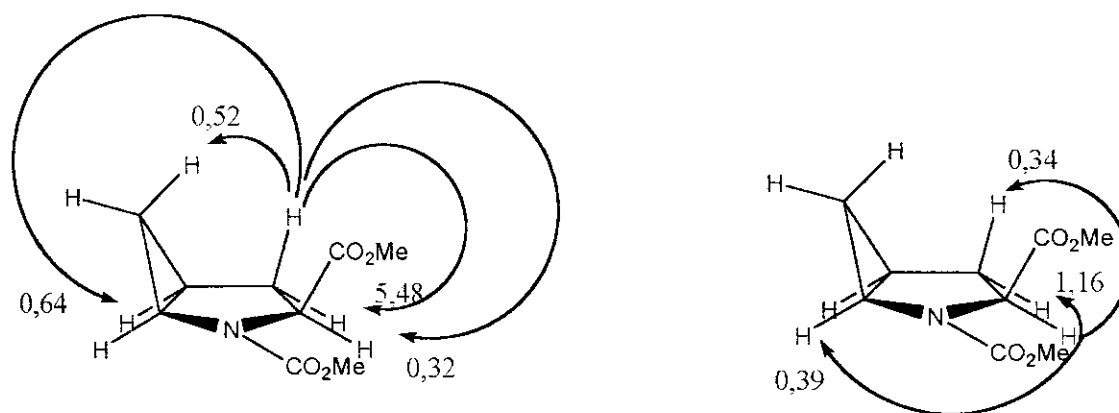
<sup>18</sup> Wormald, M. R.; Nash, R. J.; Hrnciar, P.; White, J. D.; Molyneux, R. J. e Fleet, G. W. J.; *Tetrahedron Asymmetry* **1998**, 9, 2549.

<sup>19</sup> Switzer, F. L.; Halbeek, H. V.; Holt, E. M. e Stammer, C. H.; *Tetrahedron* **1989**, 45, 6091.

<sup>20</sup> Abrahan, R. J. e Gatti, G.; *Org. Mag. Reson.* **1970**, 2, 173.

Na figura anterior, as constantes de acoplamento  $^3J_{cis}$  entre os hidrogênios do anel pirrolidínico são mostradas em verde e  $^3J_{trans}$  em vermelho. No caso da 3,4-cis-metanoprolina, o hidrogênio em C-5 cis ao grupo carboxilato, H-5, apresenta-se como um duploto. Trata-se, segundo os autores, de um caso chamado de “espectro enganosamente simples” em que dois núcleos possuem o mesmo deslocamento químico.<sup>20</sup> Assim sendo, através de simulação do espectro e de considerações de simetria, os autores concluíram que o acoplamento deste núcleo com o hidrogênio em C-4,  $^3J_{trans\ 5,4}$ , portanto, deve ser próximo a zero.

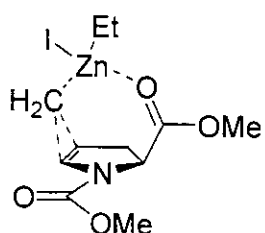
Observa-se, pois, que  $^3J_{cis}$  é maior que  $^3J_{trans}$  quando se considera um núcleo de referência. Com base nesse fato e nas constantes de acoplamento apresentadas na Tabela 2.1, página 16, ( $^3J_{4,2} > ^3J_{4,3}$  (valor próximo a zero)), indicando estereoquímica *cis* entre H-2 e H-4), pode-se concluir que a estereoquímica absoluta do produto majoritário da reação de ciclopropanação utilizando-se Et<sub>2</sub>Zn e CH<sub>2</sub>I<sub>2</sub>, Esquema 2.6, página 13, é (2S,4S,5S)-4,5-metanoprolina. Ou seja o grupo metíleno se encontra *cis* ao grupo carbometóxi em C-2. Experimentos de nOe, cujos resultados são apresentados na Figura 2.8, confirmaram a atribuição feita pelas constantes de acoplamento.



**Figura 2.8:** Valores de incrementos (em porcentagem) observados nos sinais dos hidrogênios em azul no espectro de diferença de nOe quando o sinal do hidrogênio em vermelho foi irradiado.

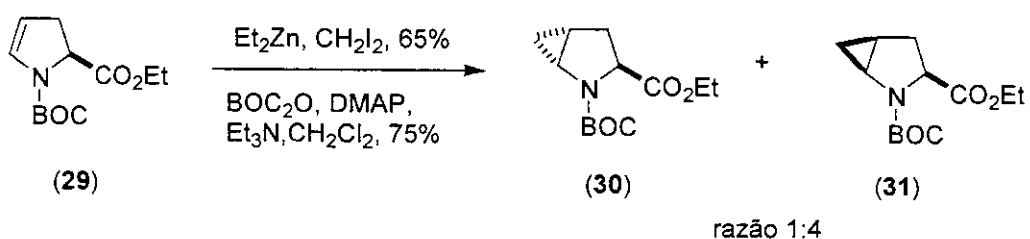
### 2.2.3 - Racionalizando os resultados

Conhecendo-se a estereoquímica do produto majoritário, propõe-se que o grupo carbometoxil em C-2 controla a face a ser atacada pelo carbeno. Essa indução provavelmente ocorre através da complexação do  $Zn^{2+}$ , um cátion bastante oxofílico,<sup>21</sup> com um dos oxigênios do éster, Figura 2.9.



**Figura 2.9:** Proposição de estado de transição para a ciclopropanação de **24** com  $Et_2Zn$  e  $CH_2I_2$ .

Durante o desenvolvimento desse trabalho, contudo, foi relatado trabalho de autoria de Hanessian e colaboradores<sup>22</sup> em que se divulga uma nova rota sintética bastante melhorada com relação a primeira, não só por ser mais curta como também por fornecer um rendimento global maior. Nesse protocolo, a etapa chave envolve uma ciclopropanação em condições de Simmon-Smith modificadas (Esquema 2.7), essencialmente idêntica às condições em estudo por nós, com resultados bastante compatíveis.



**Esquema 2.7:** Etapa chave na segunda versão para a síntese assimétrica de 4,5-metanoprolinas por Hanessian e colaboradores.<sup>22</sup>

<sup>21</sup> Winstein, S. e Sonnenberg, J.; *J. Am. Chem. Soc.* **1961**, *83*, 3235.

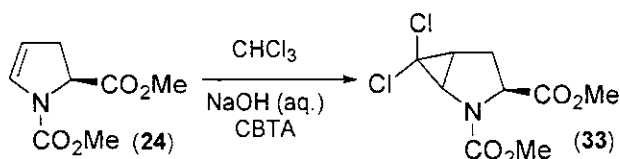
<sup>22</sup> Hanessian, S.; Reinhold, U.; Saulnier, M.; Claridge, S.; *Bioorg. Med. Chem. Lett.* **1998**, *8*, 2123.

## 2.3 - As 4,5-diclorometanoprolinas

### 2.3.1 - Síntese das 4,5-diclorometanoprolinas

Na busca de novas metanoprolinas, imaginamos, também, a síntese de derivados halogenados através da adição de dialocárbenos à dupla ligação do enecarbamato **24**.

Nesse sentido o primeiro dialocárbeno utilizado foi o diclorocárbeno gerado a partir de clorofórmio com uma base forte (NaOH (aq.) 50%). A fim de promover maior interação entre reagentes, utilizou-se um catalisador de transferência de fases, o cloreto de benzil-trimetilamônio (CBTA),<sup>23</sup> Esquema 2.8.



Esquema 2.8: Condições para ciclopropação de **24** com diclorocárbeno.

Diversos ensaios foram realizados em condições distintas que são apresentadas simplificadamente na Tabela 2.2.

Tabela 2.2 – Condições reacionais utilizadas para a ciclopropação de **24** com diclorocárbeno.

Ensaios <sup>a)</sup>	% NaOH (aq.)	tempo	% conv. <sup>b)</sup>	rend. %	cis:trans
1	50	2,5 h	100	30	1:10
2	50	25 min	100	80	1:15
3	50	5 min	50	n.d. <sup>c)</sup>	1:25
4	50	10 min	70	n.d. <sup>c)</sup>	1:22
5	50	17 min	100	n.d. <sup>c)</sup>	1:16
6	33	17 min	61	n.d. <sup>c)</sup>	1:30
7	20	1 h	18	n.d. <sup>c)</sup>	1:17

a) realizados em pequena escala apenas para otimização das condições experimentais.

b) determinado por CG.

c) n.d. = não determinado devido à igualdade de R<sub>f</sub> entre um dos produtos e reagentes.

<sup>23</sup> Pavia, D. L.; Lampman, G. M . e Kriz, Jr, G. S.; *Introduction to Organic Laboratory Techniques: a contemporary approach*, Saunders College, Philadelphia, 1982, pp. 190-197.

O primeiro ensaio foi aquele com tempo reacional igual a 2,5 horas e rendimento de 30%. Por cromatografia em camada delgada (CCD), tanto o enecarbamato **24** quanto o produto majoritariamente formado apresentam o mesmo  $R_f$ , dificultando o acompanhamento da reação.

### 2.3.2 - A determinação estereoquímica por RMN $^1\text{H}$

O produto majoritário teve sua estereoquímica determinada de forma análoga à da 4,5-metanoprolina (**28**). A análise das constantes de acoplamento (apresentadas na Tabela 2.3) permite inferir que o grupo carbometóxi em C-2 e o diclorometíleno (C-4,C-5) se encontram *trans*, uma vez que  ${}^3J_{4,2} < {}^3J_{4,3}$ , de tal forma que H-4 e H-2 estejam *trans*.

**Tabela 2.3** - Atribuição dos sinais de RMN  $^1\text{H}$  (em  $\text{CDCl}_3$ ) referentes ao confôrmero majoritário do produto menos polar da reação de ciclopropanação de **24** com diclorocarbeno.

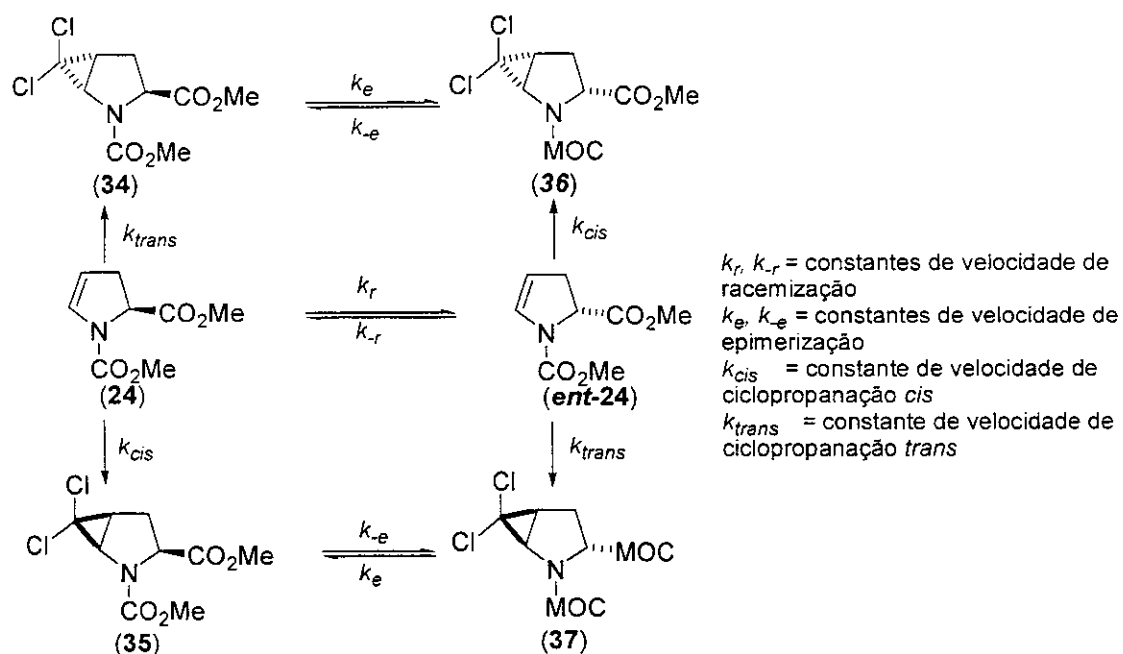
Núcleo	$\delta$ (mult.)	$J/\text{Hz}$
1	4,36 (dd)	${}^3J_{1,2} = 10,3; {}^3J_{1,3} = 4,4$
2	2,62 (ddd)	${}^2J_{2,3} = 14,3; {}^3J_{2,1} = 10,3; {}^3J_{2,4} = 1,3$
3	2,37 (dd)	${}^2J_{3,2} = 14,3; {}^3J_{3,4} = 7,5; {}^3J_{3,1} = 4,4$
4	2,41 (dd)	${}^3J_{4,3} = 7,5; {}^3J_{4,5} = 7,3; {}^3J_{4,2} = 1,3$
5	3,95(d)	${}^3J_{5,4} = 7,3$

### 2.3.3 - Investigando a estereosseletividade

A rápida modificação na coloração do meio reacional (de incolor para castanho) pareceu-nos ser uma boa indicação da velocidade da reação. Nesse sentido, realizou-se o ensaio número dois da Tabela 2.2 com um tempo reacional de 25 minutos. Como no primeiro ensaio, observou-se total consumo do material de partida e uma significativa melhora no rendimento, além de alteração na razão entre os dois produtos obtidos.

O aumento do rendimento com a diminuição do tempo reacional levou-nos a postular que a reação de hidrólise do grupamento éster poderia se tornar bastante competitiva nas condições fortemente básicas empregadas. Com a hidrólise haveria um significativo aumento na polaridade dos compostos, impossibilitando sua posterior extração do meio aquoso.

Ainda, a modificação da proporção *cis:trans* entre os produtos obtidos poderia ser decorrente de epimerização dos produtos obtidos nas condições utilizadas. Essas hipóteses são simplificadamente representadas no Esquema 2.9.



**Esquema 2.9:** Reações possíveis durante a ciclopripanação de 24 nas condições reacionais apresentadas no Esquema 2.8, página 21, excluindo possíveis hidrólises.

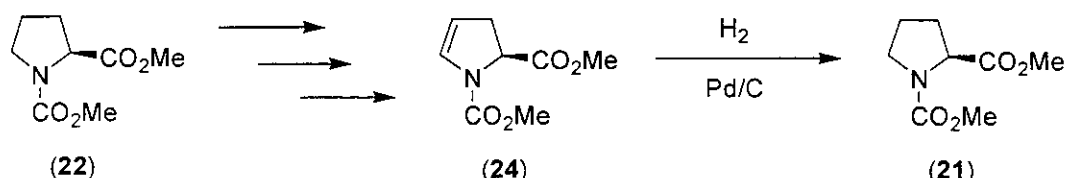
Observou-se que o produto *trans* obtido no ensaio número dois era óticamente ativo ( $\alpha_D = -120, c\ 5, \text{EtOAc}$ )\*. Dessa forma, tem-se que a constante

\* A pureza ótica desse material foi posteriormente determinada por cromatografia gasosa quiral, como descrito a seguir.

de velocidade para o processo de ciclopropanação *trans* ( $k_{trans}$ ) é maior que a do processo de racemização do enecarbamato **24** ( $k_r$ ,  $k_{-r}$ ).

Visando um melhor entendimento dos processos envolvidos na modificação da razão *cis:trans*, bem como a determinação da pureza ótica dos produtos obtidos, realizou-se a síntese das 4,5-diclorometanoprolinas a partir do enecarbamato **24** racêmico, que serviriam para estudos cromatográficos.

Miranda<sup>24</sup> investigou a possibilidade de racemização na síntese do enecarbamato **24** comparando o valor de  $\alpha_D$  do *N*-carbometoxiprolinato de metila (**21**) com aquele do composto obtido a partir da hidrogenação de **24** (Esquema 2.10). Os valores de  $\alpha_D$  foram idênticos, concluindo, então, que não havia racemização no processo.<sup>24</sup>

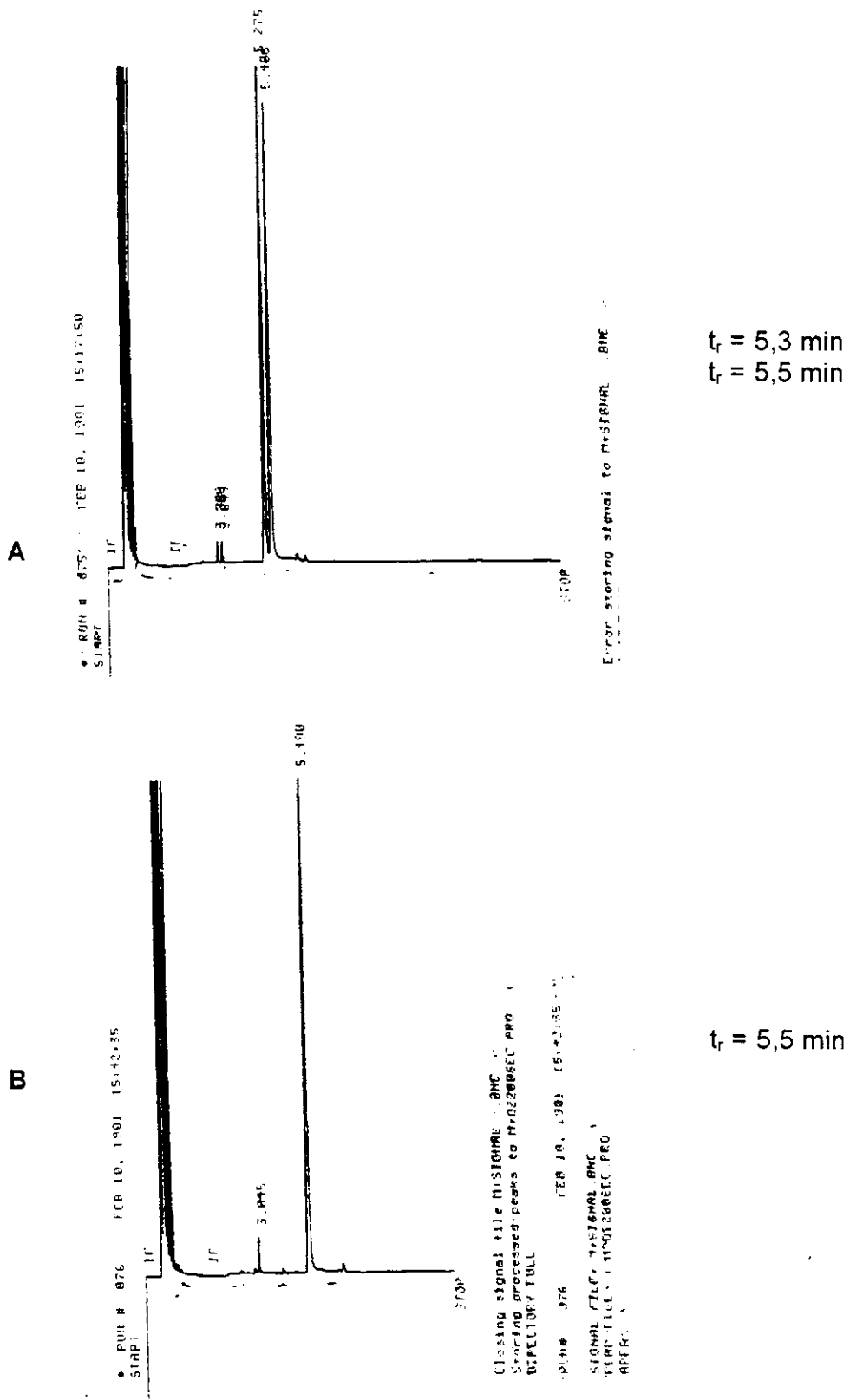


**Esquema 2.10:** Metodologia empregada na investigação da possível racemização durante a síntese de **24**.<sup>24</sup>

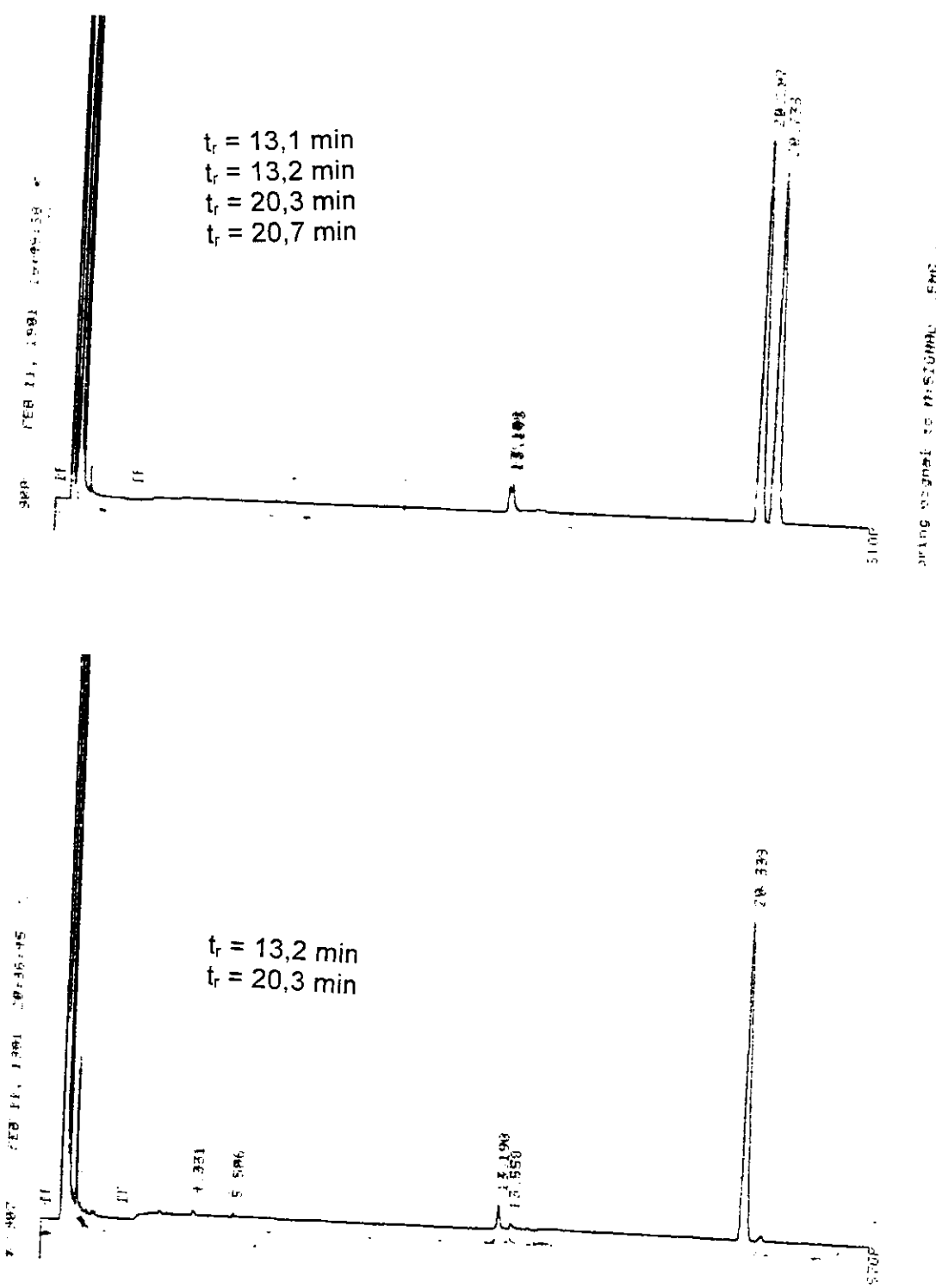
De posse dos intermediários racêmicos ( $\pm$ **24**) e quirais (**24**), e utilizando-se CG com coluna quiral, confirmaram-se os resultados obtidos por Miranda (Figura 2.10, página 26).

Realizou-se a ciclopropanação dos enecarbamatos quirais e racêmicos, cujos brutos reacionais foram utilizados para o estudo de pureza ótica por CG (Figura 2.11, página 27).

<sup>24</sup> Miranda, P. C. M. L.; Tese de Doutorado, Universidade Estadual de Campinas, 1999.



**Figura 2.10:** Cromatogramas de  $(\pm)24$  e  $24$  obtidos por injeção em uma coluna Chirasil-dex CB (para condições de injeção ver página 103).



**Figura 2.11:** A e B correspondem aos cromatogramas do bruto da reação de ciclopropanação de  $(\pm)24$  e  $24$  com diclorocarbeno, respectivamente (para condições de injeção queira ver página 103).

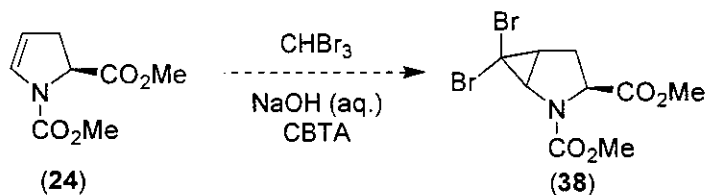
De acordo com esses cromatogramas não há racemização das metanoprolinas obtidas com a ciclopropanação do enecarbamato **24** com diclorocarbeno. A modificação na razão entre os produtos *cis* e *trans*, observada com a variação do tempo reacional (Tabela 2.2, página 22), deve ser, portanto, ocasionada por uma velocidade de hidrólise diferente para os dois diasteroisômeros, sendo essa maior para o isômero *trans*.

Tendo-se adequadamente caracterizados produtos obtidos na reação de adição do diclorocarbeno a **24**, bem como investigado suas purezas óticas e as razões por que suas razões variam com o tempo reacional, decidiu-se sintetizar a 4,5-dibromometanoprolina.

## 2.4 - A 4,5-dibromoprolina

### 2.4.1 - A síntese

A primeira alternativa sintética utilizada foi a simples substituição de  $\text{CHCl}_3$  por  $\text{CHBr}_3$  no meio reacional a fim de se gerar dibromocarbeno, esquema 2.11.

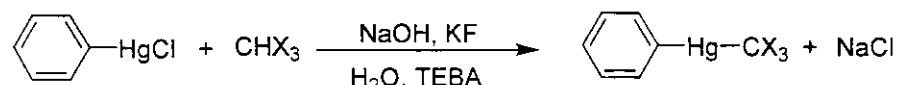


**Esquema 2.11:** Primeira tentativa de ciclopropanação de **24** com dibromocarbeno.

Nessa tentativa observou-se um escurecimento gradual da reação com o tempo e, após 40 minutos, observou-se por CCD uma mistura complexa de produtos.

Na segunda tentativa de formação do dibromocarbeno, uma solução de CHBr<sub>3</sub> (10%) em benzeno foi utilizada<sup>25</sup>. Infelizmente também nessa tentativa não se obteve sucesso no isolamento das 4,5-dibrometanoprolinas.

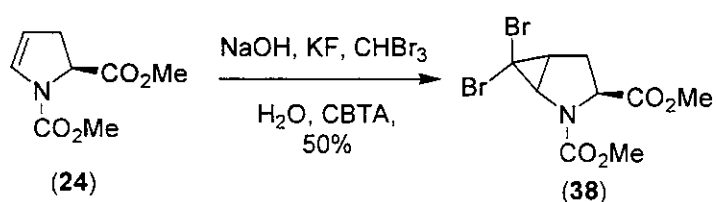
Fedoryński e Makosza<sup>26</sup> relatam em um de seus trabalho que CHBr<sub>3</sub> é mais sensível às condições fortemente básicas do que CHCl<sub>3</sub>. Nesse mesmo trabalho os autores estudam a formação de tri-halometil-fenilmercúrio a partir de cloreto de fenilmercúrio e o ânion CX<sub>3</sub><sup>-</sup> (Esquema 2.12).



TEBA = cloreto de benzil-trietilamônio

**Esquema 2.12:** Formação de tri-halometil mercuriais a partir de halofórmio.

Sabendo-se que a formação do ânion CX<sub>3</sub><sup>-</sup> é a primeira etapa tanto para a ocorrência da reação de dupla troca apresentada no Esquema 2.12 quanto para a formação de dialocarbeno a partir de halofórmio, empregando-se as condições descritas para a síntese do tri-halometilfenil mercúrio, acredita-se poder realizar reações de ciclopropanação. Com esse intuito, utilizaram-se as condições para ciclopropanação apresentadas no Esquema 2.13, obtendo-se apenas um produto com 50% de rendimento após 6 horas de reação.



**Esquema 2.13:** Ciclopropanação de 24 com dibromocarbeno.

<sup>25</sup> Banwell, M. G. H. e Forman, G.S.; *J. Chem. Soc. Perkin Trans. I* 1996, 2565.

#### 2.4.2 - A determinação estereoquímica por RMN $^1\text{H}$ .

O produto obtido teve a estereoquímica relativa entre os grupos dibromometíleno em C4-C5 e carbometóxi em C2 determinada através dos valores das constantes de acoplamento  $^3J$ , os quais são apresentados na Tabela 2.4 a seguir, como para os análogos diclorados e hidrogenado. Uma vez que  $^{3,4}J$  é maior que  $^{2,4}J$ , tem-se que o produto obtido é o *trans*.

**Tabela 2.4:** Atribuição dos sinais de RMN  $^1\text{H}$  referente ao confôrmero majoritário do composto **38**.

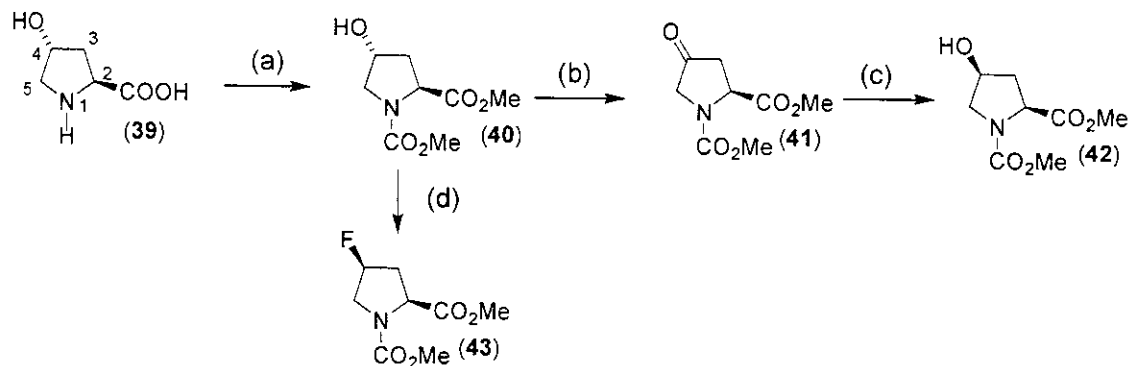
Núcleo	$\delta$ (mult.)	$J / \text{Hz}$
1	4,37 (dd)	$^3J_{1,2} = 10,0; ^3J_{1,3} = 4,6$
2	2,35 (ddd)	$^2J_{2,3} = 15,3; ^3J_{2,1} = 10,0; ^3J_{2,4} = 1,1$
3	2,51 (ddd)	$^2J_{3,2} = 15,3; ^3J_{3,1} = 4,6; ^3J_{3,4} = 7,8$
4	2,50 (ddd)	$^3J_{4,3} = 7,8; ^3J_{4,5} = 7,5; ^3J_{4,3'} = 1,10$
5	3,91 (d)	$^3J_{5,4} = 7,5$

#### 2.5 - Síntese de outras prolinas modificadas.

Outras prolinas, que podem ser agrupadas numa família dita 4-X-prolinas por apresentarem substituição em C-4, foram sintetizadas utilizando condições já descritas na literatura para compostos análogos<sup>27</sup> e apresentadas no Esquema 2.14.

<sup>27</sup> a) Dormoy, J.-R. e Castro, B.; *Synthesis* **1986**, *1*, 81.

b) Panasik, Jr., N.; Eberhardt, E. S.; Edison, A. S.; Powell, D. R. e Raines, R. T.; *Int. J. Peptide Protein Res.* **1994**, *44*, 262.

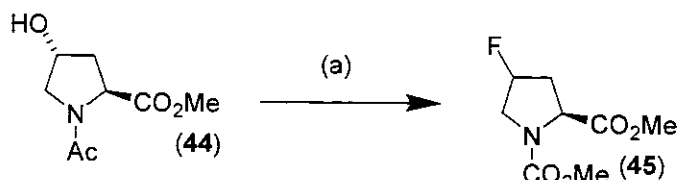


(a)  $\text{ClC}(\text{O})\text{OMe}$ ,  $\text{MeOH}$ ,  $\text{K}_2\text{CO}_3$ , 13h, 70%; (b)  $\text{RuCl}_3$ ,  $\text{CHCl}_3$ ,  $\text{NaIO}_4$ (aq.), 1,5h, 75-95%;  
(c)  $\text{NaBH}_4$ ,  $\text{MeOH}/\text{Et}_2\text{O}$ , 15 min, 90%; (d)  $\text{CH}_2\text{Cl}_2$ , -80°C a.t.a., DAST, 48h, 50%.

**Esquema 2.14:** Rota sintética para a obtenção de algumas prolinas modificadas em C-4.

Todos os resultados obtido estão condizentes com os da literatura, exceto pela estereoquímica em C-4 de 43.

Raines e colaboradores, em sua publicação original para a síntese do derivado da 4-fluoroprolina (45)<sup>27b</sup>, esquema 2.15, relata que , após análise por cristalografia de raios-X, determinou a estereoquímica em C-4 como sendo S.



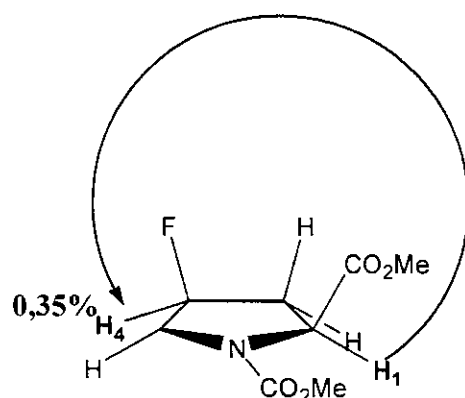
(a)  $\text{CH}_2\text{Cl}_2$ , -80°C a.t.a., morph-DAST, 48h, 50%.

**Esquema 2.15:** Síntese de 4-fluoroprolina (45) realizada por Raines e colaboradores.

Posteriormente, porém , esse dado foi corrigido para 4R.<sup>28</sup> Nossas análises por diferença de nOe, figura 2.12, indicam a obtenção do produto 4S nas condições por nós empregadas, pois uma vez que H-1 foi irradiado, observou-se

<sup>28</sup> Eberhardt, E. S.; Panasik, Jr., N.; Raines, R. T.; *J. Am. Chem. Soc.* **1996**, *118*, 12261.

incremento (0,35%) H-4. Esses resultados estão de acordo com os de Dugave e colaboradores<sup>29</sup> para a síntese da *cis*-3-fluor prolina a partir da *trans*-3-hidroxiprolina com DAST.



**Figura 2.12:** Incremento em H-4 observado em experimento de diferença de nOe quando H-1 foi irradiado.

## 2.6 - Conclusões

Sintetizaram-se três tipos de 4,5-metanoprolinas com diferentes graus de diastereoseleção e rendimentos a partir da adição de espécies carbenóides ao *N*-carbometóxi-4,5-desidropolinato de metila (24).

Quando a espécie carbenóide foi gerada em condições de Simmons-Smith modificadas a partir de  $\text{Et}_2\text{Zn}$  e  $\text{CH}_2\text{I}_2$ , obtiveram-se dois produtos em 50% de rendimento na proporção de 1:2, segundo determinado por CG. O produto majoritário apresentou a estereoquímica relativa do grupo metíleno do anel ciclopropânico *cis* ao grupo éster carbometóxi do anel pirrolidínico. A diastereoseletividade da reação foi racionalizada em função da grande oxofilicidade da espécie de  $\text{Zn}^{2+}$ , que deve se complexar ao éster e a adicionar o carbono na face *Si* da olefina preferencialmente.

Já a adição do diclorocarbeno gerado a partir de clorofórmio em meio fortemente básico possibilitou a obtenção de dois novos produtos na proporção em massa de 1:15 após separação dos mesmos por cromatografia *flash* em coluna. Dessa vez a determinação da estereoquímica do produto majoritário

<sup>29</sup> Demange, L.; Cluzeau, J.; Ménes, A. e Dugave, C.; *Tetrahedron Lett.* **2001**, 42, 651.

indicou uma adição preferencial na face *Re* da olefina, condizente com considerações estéreas. Os estudos por cromatografia gasosa quiral indicaram não haver epimerização dos produtos nas condições empregadas, mantendo-se, assim, a integridade estereogênica em C-2. Além disso, essa metodologia mostrou-se rápida e barata.

Três metodologias foram testadas para a síntese de 4,5-dibromometanoprolinas, das quais somente aquela que gera o dibromocarbeno a partir de bromofórmio em meio básico utilizando KF como aditivo forneceu apenas um produto com a estrutura desejada em 50% de rendimento. Esse produto teve sua estereoquímica determinada através do uso de constantes de acoplamento  $^3J_{H-H}$  e, a exemplo do produto majoritário obtido com a adição do diclorocarbeno à olefina, indicou uma adição *Re*.

## **2.7 - Perspectivas Futuras**

Aplicar o planejamento fatorial na otimização da ciclopropanação com dibromocarbeno e diclorocarbeno.

Sintetizar derivados do captopril contendo as dialometanoprolinas e valiar suas atividades biológicas.

Inserir as dialometanoprolinas em oligopeptídeos e comparar a influência das mesmas nas estruturas secundárias desses peptídeos quando comparadas com um peptídeo de referência, ou seja, aquele que contém a prolina natural.

### ***3 - O Equilíbrio Conformacional da Ligação N-C(O)***

### 3.1 - Introdução

#### 3.1.1 - Origem e implicação do equilíbrio conformacional na ligação N-C(O).

Linus Pauling, em 1948, no clássico *The Nature of the Chemical Bond* postulou a deslocalização do par de elétrons do nitrogênio sobre o sistema carbonílico em amidas<sup>30</sup>, conferindo um caráter parcial de dupla à ligação N-C(O). Esquema 3.1. Para a existência dessa deslocalização é necessário um alinhamento do orbital p do átomo de nitrogênio e do sistema carbonílico. Existem duas situações em que essa condição é satisfeita, e elas se encontram em equilíbrio, conforme observação feita pela primeira vez por Phillips em 1955.<sup>31</sup>



**Esquema 3.1:** Formas canônicas entre os dois confômeros mais estáveis de amidas encontrados em equilíbrio em solução.

Desde essa primeira observação, a ressonância magnética nuclear (RMN) tem sido amplamente utilizada no estudo de amidas e na determinação dos parâmetros termodinâmicos e cinéticos de seu equilíbrio conformacional. Segundo Siddall e Stewart<sup>32</sup> cada um dos 12 primeiros títulos de capítulos do seriado *High Resolution Nuclear Magnetic Resonance Spectroscopy* podem ser diretamente relacionado ao estudo de amidas.

Tais estudos têm aplicação direta nas mais diversas áreas do conhecimento químico. Em nanotecnologia, área que tem sido foco de grande atenção da comunidade científica nos últimos anos, o equilíbrio conformacional de carbamatos foi utilizado por Woolley e colaboradores<sup>33</sup> para modular a atividade

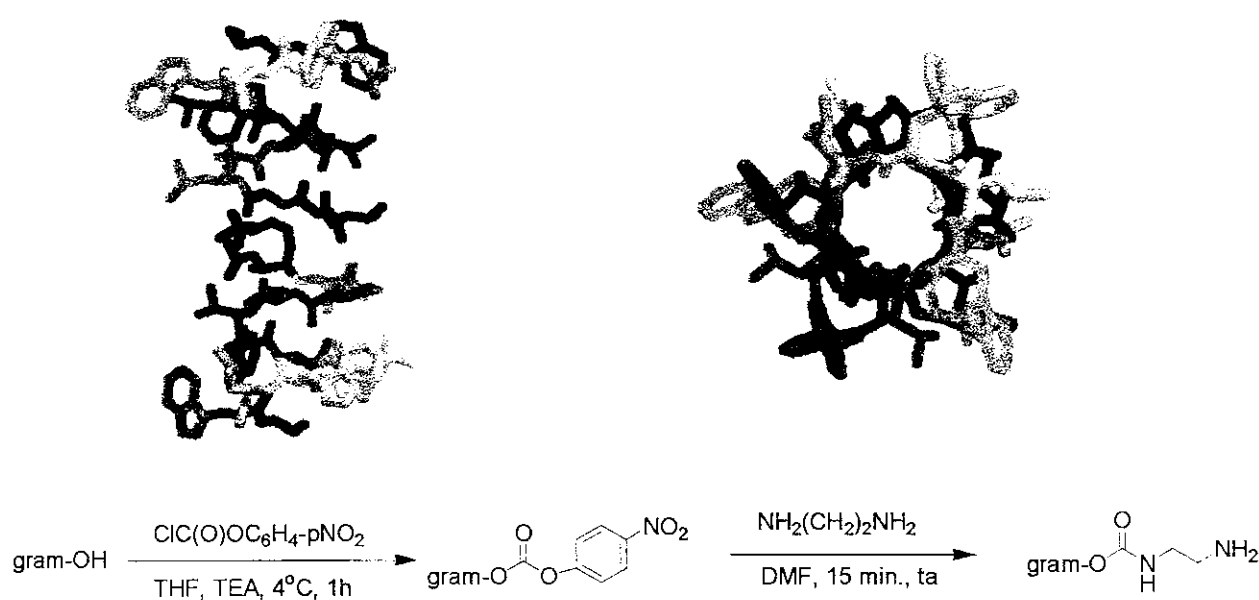
<sup>30</sup> Pauling, L.; *The Nature of the Chemical Bond*, Cornell University Press, Ithaca, 1948, p.207.

<sup>31</sup> Phillips, D. W. *J. Chem. Phys.* **1955**, 23, 1363.

<sup>32</sup> Stewart, W. E. e Siddall, T. H.; *Chem. Rev.* **1970**, 70, 513.

<sup>33</sup> Woolley, G. A.; Jaikaran, A. S. I.; Zhang, S. e Peng, S.; *J. Am. Chem. Soc.* **1995**, 117, 4448.

condutora de canais transportadores de íons. Nesse trabalho, a gramicidina, um oligopeptídeo constituído de 15 resíduos de aminoácidos com capacidade de formação de canais transportadores de cátions quando dois de seus monômeros se associam através de seus terminos N em membranas lipídicas, teve seu término C modificado conforme apresentado no Esquema 3.2.

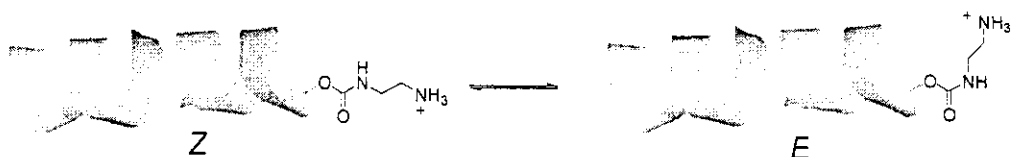


**Esquema 3.2:** Superior esquerdo: visão lateral de dímero da gramicidina que funciona como canal de íons.

Superior direito: visão frontal do dímero da gramicidina e do canal formado para transporte de íons.

Inferior: modificações estruturais realizadas na gramicidina para modulação de sua atividade transportadora de íons.

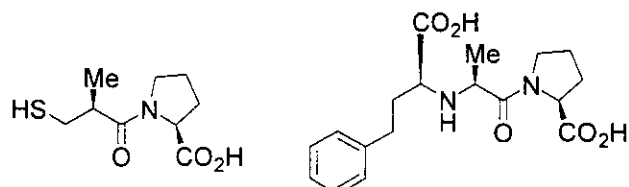
A gramicidina modificada apresentou essencialmente dois patamares de condutância de cátions que foram associados aos dois estados conformacionais do carbamato no término C (Esquema 3.3), sendo que o nível de maior condutância foi atribuído à conformação Z, que posiciona o grupamento amônio mais afastado da entrada do canal, e o nível de menor condutância ao confôrmero E, que posiciona o grupamento amônio mais próximo à entrada do canal, dificultando a entrada de cátions por repulsão eletrostática.<sup>33</sup>



**Esquema 3.3:** Equilíbrio conformacional controlando a entrada de cátions no canal da gramicidina.<sup>33</sup>

Novos ensaios com gramicidinas modificadas utilizando carbamatos derivados da *isopropilamina*,  $\beta$ -alanina e *N,N*-dimetiletilenodiamina confirmaram a hipótese dos autores.<sup>33</sup>

Na química medicinal, o equilíbrio conformacional de amidas também tem um papel relevante, especialmente se o resíduo prolina se encontra presente em um medicamento. O *captopril*<sup>34</sup> e o *enalaprilat*<sup>35</sup> são dois importantes agentes hipotensivos que agem como inibidor da enzima conversora da angiotensina (ACE), Figura 3.1.

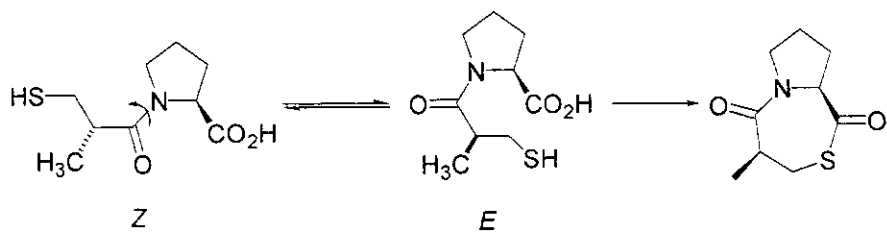


**Figura 3.1:** Captopril (esquerda) e enalaprilat (direita), importantes agente anti-hipertensão.

<sup>34</sup> Ondetti, M. A. e Cushman, D. W.; *Science* 1977, 196, 441.

<sup>35</sup> Patchett, A. A.; Harries, E.; Tristram, E. W.; Wyvratt, M. J.; Wu, M. T.; Taub, D.; Peterson, E. R.; Ikeler, T. J.; Tenbroeke, J.; Payne, L. G.; Ondeyka, D. L.; Thorsett, E. D.; Greenlee, W. J.; Lohr, N. S.; Hoffsommer, R. D.; Joshua, H.; Ruyle, W. V.; Rothrock, J. W.; ASter, S. D.; Maycock, A. L.; Robinson, F. M.; Hirshmann, R.; Sweet, C. S.; Ulm, E. H.; Gross, D. M.; Vassil, T. C. e Stone, C. A; *Nature* 1980, 288, 280.

Esses compostos também apresentam o equilíbrio conformacional ao longo da ligação amídica e postula-se que o confôrmero *Z*\* seja o verdadeiro inibidor da ACE, enquanto o *E* diminui a biodisponibilidade do medicamento através da formação de derivados do tipo dicetopiperazina (Esquema 3.4). Tais fatos têm levado à síntese de análogos imobilizados na conformação *Z* tanto física<sup>36</sup> quanto quimicamente<sup>37</sup>.



**Esquema 3.4:** Confôrmeros do captoril e formação de "dicetopiperazina" a partir do confôrmero minoritário E.

Finalmente, dentro da bioquímica, a presença de rotâmeros da prolina em proteínas estabelece dois estados energéticos e conformacionais que são atribuídos a processos de sinalização molecular e de reconhecimento celular, entre outros, como uma espécie de interruptor<sup>5</sup>.

### 3.1.2 - Modificando o equilíbrio conformacional em amidas e carbamatos

Segundo Cintas e colaboradores os efeitos que governam a preferência conformacional em amidas ainda não são claros<sup>38</sup>, mas alguns desses fatores são bem conhecidos. O mais reconhecido deles é que amidas possuem seu equilíbrio conformacional fortemente influenciado por fatores estéreos, sendo favorecido o

\* Aplicando as regras de CIP nos substituintes da ligação N-C.

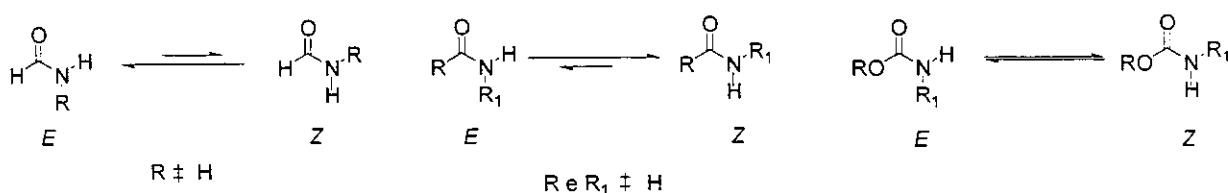
<sup>36</sup> Thorsett, E. D.; Haris, E. E.; Aster, S.; Peterson, E. R.; Snyder, J. P.; Springer, J. P.; Hirshfiels, J.; Tristram, E. W.; Patchett, A.A.; Ulm, E. H. e Vassil, T. C.; *J. Med. Chem.* 1988, 29, 251.

<sup>37</sup> a) Galardy, E. R.; Alger, R. A.e Liakopoulou-Kyriakides, M.; *Int. J. Pept. Protein Res.* 1982, 19, 123.

b) Robison, D. H.; *European Patent Applications*, E.P. 137,746 Fisons Plc, 1984.

<sup>38</sup> Avalos, M.; Babiano, R.; Barneto, J. L.; Bravo, J. L.; Cintas, P.; Jiménez, J. L. e Palacios, J. C.; *J. Org. Chem.* 2001, 66, 7275.

confôrmero com interações desestabilizantes menos intensas.<sup>32</sup> Em *N*-alquil formamidas, por exemplo, o confôrmero *E* é favorecido com o aumento do grupo substituinte no átomo de nitrogênio, uma vez que o oxigênio carbonílico tem um raio de Van-der-Waals maior que o do hidrogênio. Já na maioria das demais *N*-alquil amidas o padrão observado é o inverso, uma vez que o grupo alquílico ligado à acila possui um volume estéreo maior que o oxigênio carbonílico.<sup>32</sup> O equilíbrio conformacional dos carbamatos, contudo, devido à distância entre os substituintes do átomo de nitrogênio e o grupamento alcoxil, são bastante insensíveis aos efeitos estéreos<sup>39</sup> (Esquema 3.5).

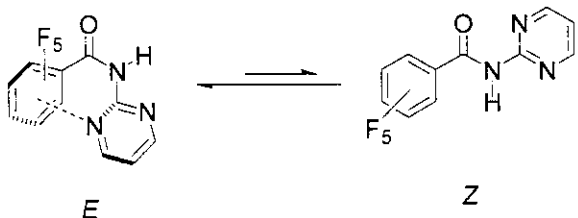


**Esquema 3.5:** Efeito do volume dos substituintes no equilíbrio conformacional de amidas e carbamatos.

Estudos recentes têm mostrado que fatores outros que o estéreo podem ser de grande importância no favorecimento de um ou outro confôrmero. Bradley e colaboradores observaram, por exemplo, que em *N*-(pirimidin-2-il) perfluorobenzamidas o confôrmero *E* é o favorecido, quando o *Z* seria esperado com base apenas em considerações estéreas.<sup>40</sup> A maior estabilidade de *E* foi atribuída a uma interação entre par de elétrons não ligante do nitrogênio do anel pirimidínico e orbital  $\pi^*$  da fenila (Esquema 3.6).<sup>40</sup>

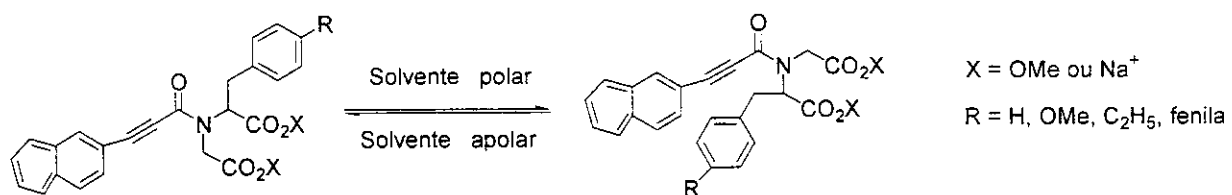
<sup>39</sup> Fontoura, L. A. M.; Rigotti, I. J. C. e Correia, C. R. D.; *J. Mol. Struct.* **2002**, 609, 73.

<sup>40</sup> Forbes, C. C.; Beatty, A. M. e Smith, B. D.; *Org. Letters* **2001**, 3, 3595.



**Esquema 3.6:** Interação  $n-\pi^*$  estabilizando confôrmero *E* na *N*-(pirimidin-2-il)perfluorobenzamida.<sup>40</sup>

O efeito do solvente sobre o equilíbrio conformacional de amidas e carbamatos não está completamente racionalizado. Se boa parte das pequenas amidas e carbamatos tem mostrado que a proporção entre seus rotâmeros é insensível ao meio em que se encontram solubilizados<sup>41</sup>, há exemplos como a *N*-acetil-*N'*-metil-prolilamida em que a variação na proporção é observada.<sup>42</sup> Há também relatos de alguns compostos com cadeias lipofílicas maiores que têm seus isômeros diferentemente solvatados. Nesses casos variações no equilíbrio são observadas com a mudança do solvente<sup>43</sup> de tal forma que o aumento da polaridade do meio favorece o confôrmero em que as interações hidrofóbicas intramoleculares são maximizadas (Esquema 3.7).



**Esquema 3.7:** Variação do meio no equilíbrio conformacional de amidas com grandes cadeias hidrofóbicas em função da polaridade.<sup>43d</sup>

<sup>41</sup> Radzicka, A.; Pedersen, L. e Wolfenden, R.; *Biochem.* **1988**, 27, 4538.

<sup>42</sup> Madison, V. e Kopple, K. D.; *J. Am. Chem. Soc.* **1980**, 102, 4855.

<sup>43</sup> a) Gerothanassis, I. P; Troganis, A.; Vakka, C.; *Tetrahedron Lett.* **1996**, 37, 6569.

b) Gardner, R. R.; Christianson, L. A. e Gellman, S. H.; *J. Am. Chem. Soc.* **1997**, 119, 5041.

c) Leis, J.; Klika, K. D. e Karelson, M.; *Tetrahedron* **1998**, 54, 7497.

d) Gardner, R. R.; McKay, S. L. e Gellman, S. H.; *Org. Lett.* **2000**, 2, 2335.

## 3.2 - O Estudo do Equilíbrio Conformatacional

### **3.2.1 - Metodologias para a atribuição dos sinais de rotâmeros**

A fim de se conduzir o estudo que correlacione as modificações estruturais realizadas nas prolinas com a eventual variação em seu equilíbrio conformacional, é necessária uma inequívoca atribuição dos sinais observados nos espectros de RMN aos respectivos confôrmeros. Para tanto, vários métodos estão particularmente disponíveis para amidas terciárias e foram criticamente revisados por Lewin e Frucht<sup>44</sup>. Alguns deles são:

- a) a diferença de acoplamento  $^nJ_{cis}$  e  $^nJ_{trans}$  em formamidas,
- b) estudos por nOe,
- c) anisotropia do grupamento amida
- d) efeito diferencial de solventes aromáticos nos deslocamentos químicos.

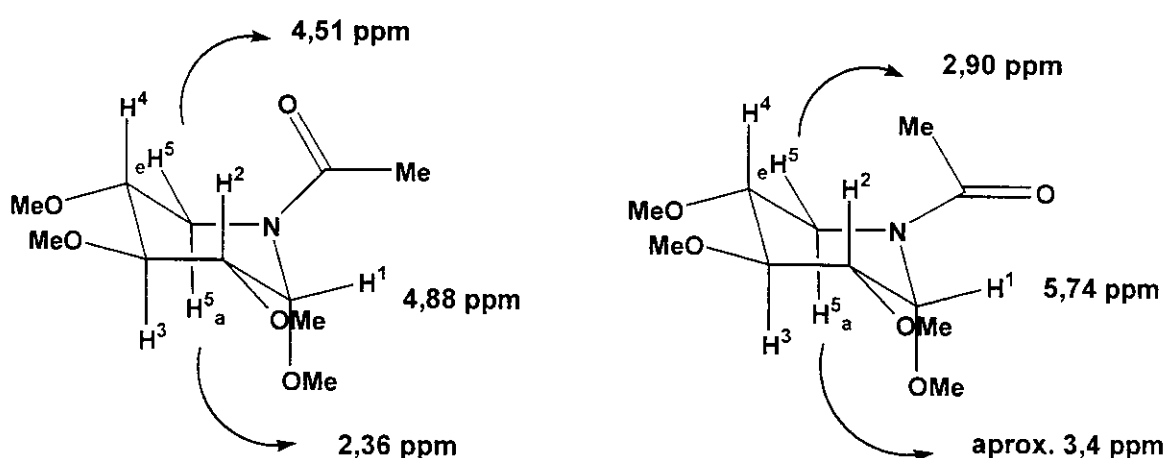
Os métodos (a) e (b) são inadequados para o tipo de substratos do presente estudo, uma vez que (a) é específico para formamidas, e no caso de (b) os hidrogênios do grupamento alcoxil da função carbamato se encontram bastante afastados dos hidrogênios dos *N*-alquil-substituintes impedindo a observação de nOe.

A respeito da anisotropia do grupamento amídico, Paulsen e Todt<sup>45</sup>, estudando amidas piperidínicas, observaram que os hidrogênios equatoriais  $\alpha$  nitrogênio ( $H_e^5$  e  $H^1$ ), Figura 3.2, sofrem uma desproteção anisotrópica quando a carbonila amídica se encontra direcionada para esses núcleos. O inverso, contudo, é observado para hidrogênio axial ( $H_a^5$ ). Os autores concluíram, assim, que, quando um hidrogênio se encontra coplanar com um grupo amida, este sofre uma desproteção anisotrópica. A partir de alguma posição fora deste plano, porém, há uma inversão deste efeito, e o núcleo passa a ser protegido. As observações de desproteção de hidrogênios coplanares ao plano da ligação

<sup>44</sup> Lewin, A. H. e Frucht, M.; *Org. Magn. Resonance* 1975, 7, 206.

<sup>45</sup> Paulsen, H. e Todt, K.; *Angew. Chem. Int. Ed. Eng.* 1966, 5, 8999.

amídica são também confirmados por resultados obtidos por Ribera<sup>46</sup> e Siddall e Stewart<sup>47</sup> em seus estudos de anilidas.



**Figura 3.2:** Anisotropia do grupamento amida em alguns hidrogênios de uma piperidinamida.

Dessa forma apenas o hidrogênio olefínico do enecarbamato **24** é um núcleo confiável para a aplicação desse tipo de metodologia na atribuição do conjunto de sinais de cada confôrmero.

Já o efeito diferencial de solventes aromáticos nos deslocamentos químicos de hidrogênios em amidas pode se mostrar bastante útil para determinação dos confôrmeros *E-Z* de carbamatos.

Uma vez que amidas podem ser representadas de acordo com as formas canônicas do Esquema 3.1, página 37, há o desenvolvimento de uma carga parcial positiva,  $\delta^+$ , sobre o átomo de nitrogênio e de uma carga parcial negativa,  $\delta^-$ , sobre o átomo de oxigênio.

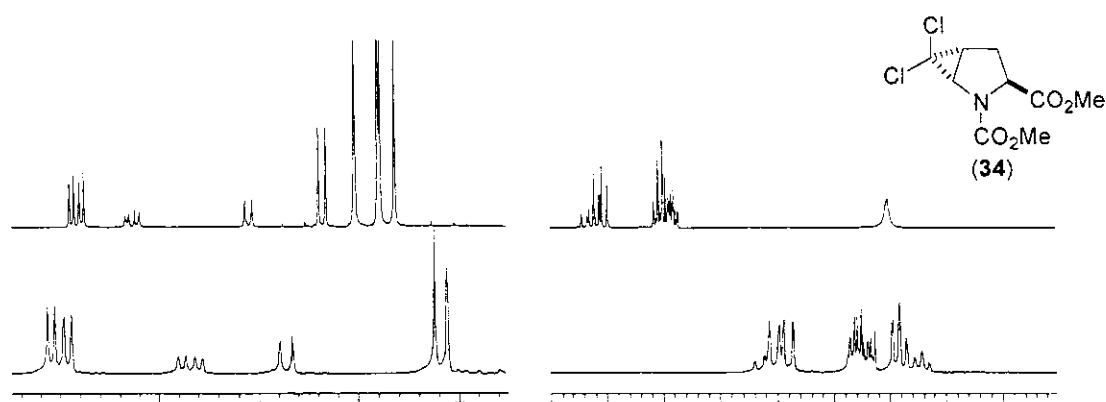
Com a dissolução de amidas em solventes aromáticos, há a tendência da formação de um complexo em que o anel aromático do solvente, rico em elétrons, se positione sobre o átomo de nitrogênio, porém o mais distante possível do átomo de oxigênio da carbonila, para otimizar interações eletrostáticas. Existe,

<sup>46</sup> Ribera, A. e Rico, M.; *Tetrahedron Lett.* **1968**, 535.

<sup>47</sup> Siddal, T. H., III e Stewart, W. E.; *J. Mol. Spectrosc.* **1967**, 24, 290.

dessa forma, uma proteção diferencial dos hidrogênios próximos ao nitrogênio amídico.<sup>48,49</sup>

A fim de ilustrar o comportamento dos deslocamentos químicos em solvente não-aromático e aromático, a figura a seguir apresenta regiões de interesse do espectro do composto **34**. As variações nos deslocamentos químicos observadas na Figura 3.3 são resumidas na Tabela 3.1.



**Figura 3.3:** Espectro de RMN  $^1\text{H}$  do composto **34**:

- a) superior: em  $\text{CDCl}_3$ , Varian Inova 500 (500 MHz).
- b) Inferior:  $\text{C}_6\text{D}_6$ , Varian AC 300 (300 MHz).

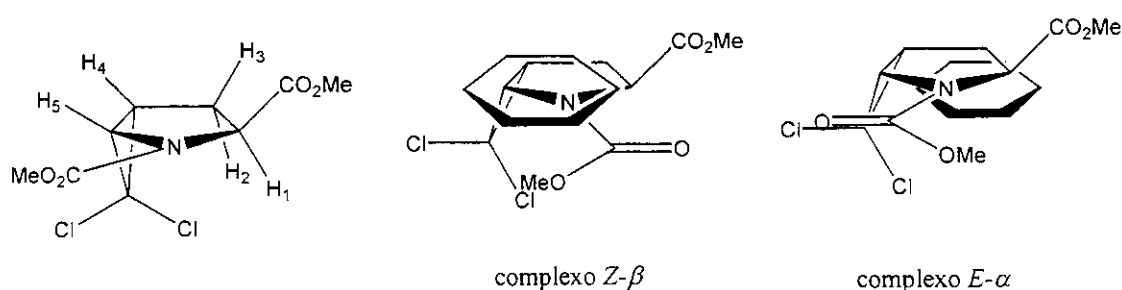
**Tabela 3.1** - Deslocamento químico de alguns hidrogênios de **34** (acima) em  $\text{CDCl}_3$  e  $\text{C}_6\text{D}_6$ .

Solv	H-1		H-2		H-5	
	E	Z	E	Z	E	Z
$\text{CDCl}_3$	4,25	4,36	2,67	2,62	4,02	3,87
$\text{C}_6\text{D}_6$	4,13	4,40	2,04	1,99	3,95	3,64
$\Delta\delta$	+0,12	-0,04	+0,63	+0,53	+0,07	+0,23

Essas modificações no deslocamento químico são melhores explicadas quando se imagina que o anel aromático do solvente deve se posicionar mais próximo de H-5, protegendo-o mais efetivamente no conformero Z (complexo Z- $\beta$ ) que no E (complexo E- $\alpha$ ). Já H-1 será mais protegido no conformero E. Possíveis complexos solvente-substrato são apresentados na figura a seguir.

<sup>48</sup> Hatton, J. V. e Richards, R. E.; *Mol. Phys.* **1960**, 3, 253.

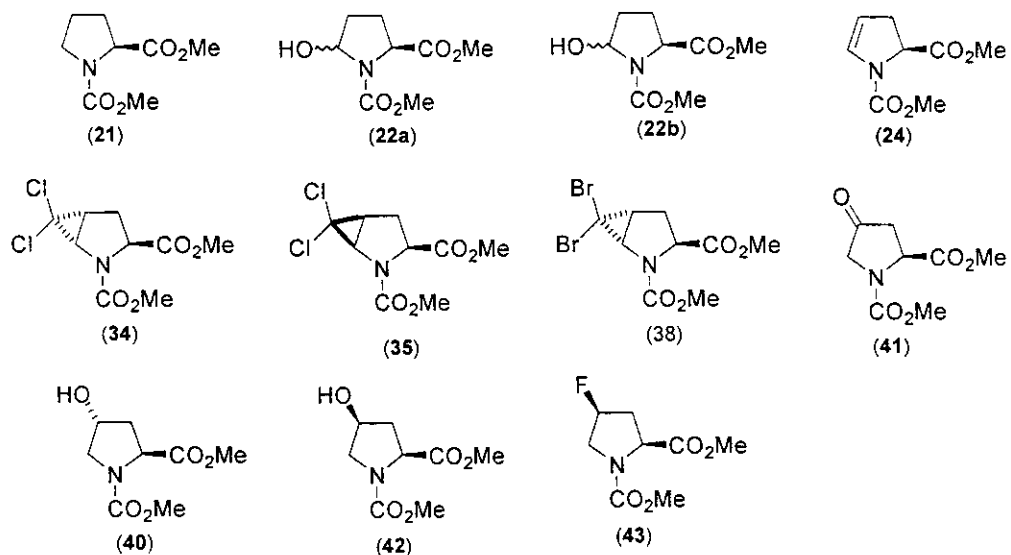
<sup>49</sup> Hatton, J. V. e Richards, R. E.; *Mol. Phys.* **1962**, 5, 139.



**Figura 3.4:** Possíveis associações da molécula do benzeno e os confôrmeros de 34.

A partir da integração dos sinais e das atribuições realizadas, como explicado anteriormente, pode-se concluir que, para 34 o confôrmero *E* é a espécie minoritária em solução.

A Tabela 3.2 apresenta os deslocamentos químicos de H-1 para os dois confôrmeros de diversos compostos\* (Figura 3.5) em  $\text{CDCl}_3$  e  $\text{C}_6\text{D}_6$ , o  $\Delta\delta$  e a atribuição da geometria da ligação amídica para cada confôrmero conforme o efeito diferencial do solvente aromático no deslocamento químico.



**Figura 3.5:** Compostos cujo equilíbrio conformacional foram estudados.

\* Os composto 22a corresponde ao lactamol menos polar e o 22b ao mais polar. A estereoquímica desses compostos não pode ser determinada por métodos espectroscópicos.

**Tabela 3.2** - Deslocamento químico de H-1 em  $\text{CDCl}_3$  e  $\text{C}_6\text{D}_6$  dos confôrmeros dos compostos na Figura 2.5 e atribuição da geometria da ligação amídica.

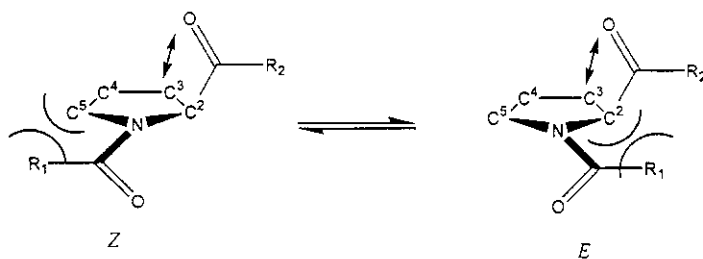
Comp.	Conf.	$\text{CDCl}_3$	$\text{C}_6\text{D}_6$	$\Delta\delta$	Geometria
21	maj.	4,36	4,36	0	Z
	min.	4,29	4,13	+0,16	E
24	maj.	4,70 <sup>a</sup>	4,63	+0,07	Z
	min.	4,69 <sup>a</sup>	4,36	+0,33	E
34	maj.	4,36	4,63	-0,04	Z
	min.	4,25	4,13	+0,12	E
35	maj.	4,77	4,45	0,32	Z
	min.	4,72	4,17	0,55	E
38	maj.	4,37	4,42	-0,05	Z
	min.	4,26	4,16	+0,10	E
43	maj.	4,56	4,50	+0,06	Z
	min.	4,48	4,21	+0,27	E

a) retirado da ref. Erro! Indicador não definido..

Particularmente para derivados da *N*-acil-prolina, Dorman e Bovey<sup>50</sup> afirmam que o deslocamento químico para C-4 no confôrmero E é sempre menor que aquele para o mesmo carbono do confôrmero Z. A utilização do deslocamento químico de C-4 é devido aos fatores descritos a seguir e diagramados no Esquema 3.8:

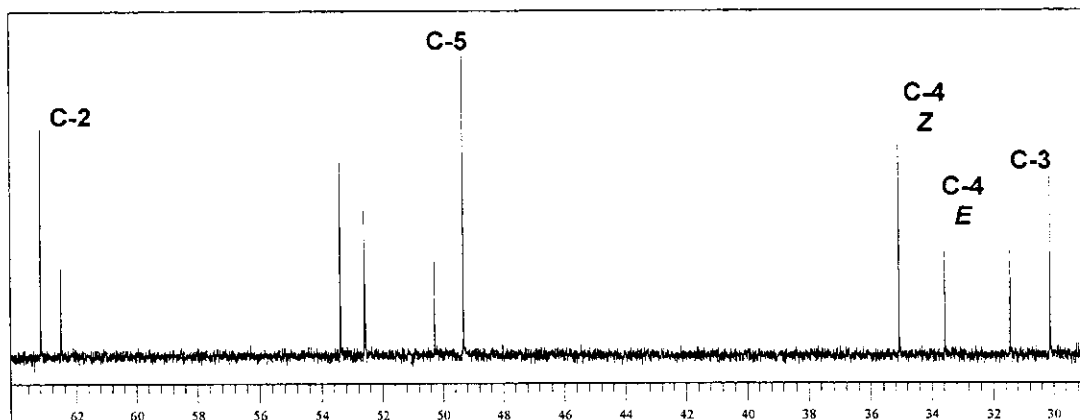
- a) o efeito  $\gamma$  pode provocar modificações nos  $\delta$  de C-2 e C-5 em intensidades distintas nos confôrmeros Z e E.
- b) Modificações na conformação do anel pirrolidínico podem aproximar/afastar C-3 do oxigênio da carbonila em C-2, blindando-o/desblindando-o.

<sup>50</sup> Dorman, D. E. e Bovey, F.A.; *J. Org. Chem.* 1973, 38, 2379.



**Esquema 3.8:** Interações estéreas dos substituintes no átomo de nitrogênio e em C-2 com os átomos do anel pirrolidínico da prolina.

O espectro de RMN  $^{13}\text{C}$  com a atribuição dos sinais dos átomos de carbono do anel pirrolidínico para o composto *trans*-4,5-(diclorometano)prolinato de metila, 34, é apresentado na Figura 3.6.<sup>51</sup> Observando-se os sinais para C-4 e, supondo-se um tempo de relaxação semelhante para um mesmo núcleo nos dois rotâmeros<sup>51</sup>, o sinal com menor deslocamento químico corresponde à espécie minoritária e deve ser atribuído ao confôrmero *E* segundo a metodologia apresentada anteriormente. Essa atribuição está em concordância com aquela feita pelo método do efeito do solvente no deslocamento químico.



**Figura 3.6:** Espectro de RMN  $^{13}\text{C}$  em  $\text{CDCl}_3$ , Varian Inova 500 (125 MHz), de 34.

<sup>51</sup> Wiberg, K. B.; Hammer, J. D.; Castejon, J.; Bailey, W. F.; Deleon E.L. e Jarret, R. M.; *J. Org. Chem.* 1999, 64, 2085.

A Tabela 3.3 apresenta os deslocamentos químicos para C-4 em  $\text{CDCl}_3$  para os diversos compostos estudados e a atribuição da geometria da ligação amídica do grupamento carbamato.

**Tabela 3.3 - Deslocamento químico de C-4 para os compostos em  $\text{CDCl}_3$  e atribuição da geometria da ligação amídica.**

Comp.	conf.	$\delta$ C-4	Geometria
21	maj.	24,2 <sup>a</sup>	Z
	min.	23,3 <sup>a</sup>	E
24	maj.	106,3 <sup>a</sup>	Z
	min.	106,0 <sup>a</sup>	E
34	maj.	35,0	Z
	min.	33,5	E
35	maj.	34,2	Z
	min.	33,1	E
38	maj.	36,4	Z
	min.	34,9	E

Comp.	conf.	$\delta$ C-4	Geometria
41	maj.	207,0	Z
	min.	206,2	E
40	maj.	69,8	Z
	min.	69,0	E
42	maj.	71,0	Z
	min.	69,9	E
43	maj.	91,9	Z
	min.	91,0	E

a) dados das referências Erro! Indicador não

A comparação das atribuições feitas pelo efeito diferencial do solvente aromático sobre o deslocamento químico com aquelas feitas pelo deslocamento químico de C-4 leva a resultados idênticos, implicando numa alta confiabilidade nas atribuições realizadas. Assim, através da integração dos sinais de RMN  $^1\text{H}$  correspondente a cada confórmero pôde-se determinar a fração molar dos rotâmeros e a constante para o equilíbrio conformacional (Tabela 3.4) dos diversos compostos (apresentados na Figura 3.5).

**Tabela 3.4 – Populações para os confórmeros de cada um dos compostos da Figura 2.5 e a constante de equilíbrio para o processo E = Z dos mesmos em  $\text{C}_6\text{D}_6$ .**

	21	22a	22b	24	34	35	38	41	40	42	43
P <sub>Z</sub>	0,60	0,49	0,58	0,59	0,82	0,70	0,76	0,66	0,58	0,64	0,56
P <sub>E</sub>	0,40	0,51	0,42	0,41	0,18	0,30	0,24	0,34	0,42	0,36	0,44
K <sub>eq</sub>	1,50	0,96	1,38	1,44	4,56	2,33	3,17	1,94	1,38	1,77	1,27

### 3.2.2 - O equilíbrio conformacional em *N*-acil-4-X-Prolinato de metila

Tomando-se o *N*-carbometóxi-prolinato de metila (**21**) como referência e estabelecendo-se um limite arbitrário de  $\pm 5\%$  na população do confôrmero *E* para se considerar significativa uma mudança populacional, tem-se que as alterações estruturais inseridas nos compostos **23a**, **23b**, **24**, **40** e **43** não foram efetivas no deslocamento do equilíbrio conformacional.

Raines e colaboradores, dando continuidade aos efeitos do substituinte em C-4 em prolinas,<sup>27b,28</sup> relatou a constante do equilíbrio conformacional *Z-E* para ésteres metílicos de *N*-acetil-prolinas<sup>52</sup> (Figura 3.7).

$K_{Z/E}$	6,7	6,1	4,6	2,4	2,5

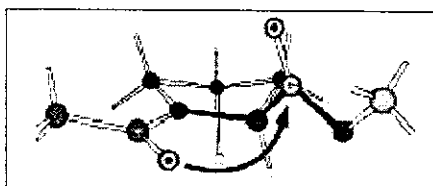
**Figura 3.7:** Análogos *N*-acetilados de 4-X-prolinas e suas respectivas constantes de equilíbrio conformacional.

A comparação dos dados da Tabela 3.4 com os da Figura 3.7 leva a duas constatações importantes:

- a grande diferença nos valores de  $K$  para compostos análogos (compostos *N*-acetilados e *N*-alcoxiacilados).
- a variação dos valores de  $K$  na série das prolinas *N*-acetiladas comparada com a invariância nesses valores para as prolinas *N*-alcoxiaciladas.

<sup>52</sup> Bretscher, L. E.; Jenkins, C. L.; Taylor, K. M.; DeRider, M. L. e Raines, R. T.; *J. Amer. Chem. Soc.* **2001**, 123, 777.

Ambas as observações podem ser explicadas com base na proposição de Raines e colaboradores para justificar a variação na série apresentada na Figura 3.8. Segundo esses pesquisadores, de uma forma geral, o confômero *Z* de *N*-acilprolinas seria estabilizado com relação ao confôrmero *E* devido à possibilidade de formação de uma interação  $\text{n}_\text{O} \rightarrow \pi^*_{\text{C}=\text{O}}$  entre o oxigênio da carbonila amídica e a carbonila do éster em C2.<sup>52</sup> Ainda, postulou-se que quanto mais próxima a geometria dessa interação daquela proposta para ataques de nucleófilos a carbonilas (trajetória essa conhecida como de Bürgi-Dunitz com  $\delta_{\text{BD}} = 109^\circ$ , em que  $\tau_{\text{BD}}$  é o ângulo formado pelo nucleófilo com a carbonila), tanto maior seria a estabilização.<sup>52</sup>



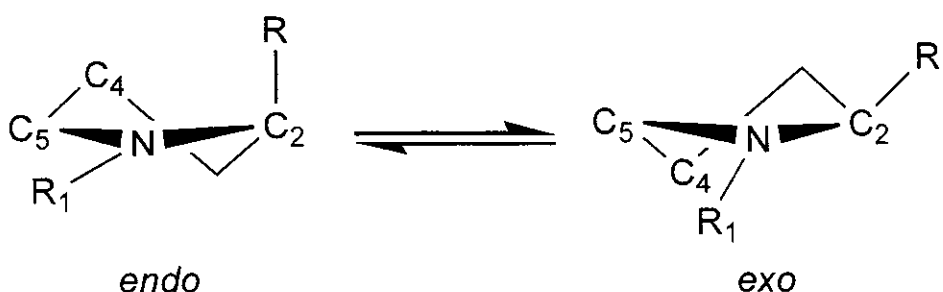
**Figura 3.8:** Estrutura do N-acetyl-4-R-fluoroprolinato de metila. A seta indica interação do tipo Bürgi-Dunitz entre oxigênio amídico e carbonila do éster.

Nesse sentido, através dos dados da Figura 3.7, observa-se que não só a eletronegatividade do substituinte em C-4 parece ser importante como também a sua orientação estereoquímica. Nessa altura é fundamental lembrar que anéis de cinco membros possuem uma geometria muito mais flexível que seus homólogos de seis membros. Enquanto os confôrmeros mais estáveis de compostos com anéis de seis membros se apresentem essencialmente em duas geometrias cadeiras, e a energia necessária para interconversão entre esses confôrmeros seja da ordem de 10-12 kcal mol<sup>-1</sup>,<sup>53</sup> os análogos de cinco membros podem se apresentar numa série de conformações envelope e twist e com uma barreira de interconversão entre as espécies tão baixa ( $>1-3$  kcal mol<sup>-1</sup>) que a determinação de seu valor é difícil e, em muitos casos, o equilíbrio entre os confôrmeros é

<sup>53</sup> A respeito do equilíbrio conformacional em anéis de seis membros:

- a) Carey, F. A. e Sundberg, R. J.; *Advanced Organic Chemistry - Part A: Structure and Mechanisms*
- b) Eliel, E. L. e Wilen, S. J.; *Stereochemistry of Organic Compounds*, John Wiley & Sons, NY 1992.

considerado livre.<sup>54</sup> Estudos indicam que a prolina e seus derivados se apresentam em duas conformações *twist* mais estáveis com relação a geometria do anel pirrolidínico,<sup>55</sup> as quais serão denominadas *endo* quando C4 e o substituinte em C2 se posicionarem do mesmo lado do plano formado por C5-N-C2 ou *exo* quando esse posicionamento se der em lados opostos do plano (Esquema 3.9).



**Esquema 3.9:** Equilíbrio conformacional do anel pirrolidínico de prolinas e seus derivados.

Para se obterem maiores subsídios para sua hipótese, os autores realizaram a otimização da geometria por cálculos *ab initio* (B3LYP/6-311+G(2d,p)) dos compostos **46**, **45** e **48**, Figura 3.7, página 50, com a ligação amídica na orientação Z e E e o anel pirrolidínico nas conformações *endo* e *exo*<sup>56</sup>. Os resultados obtidos são apresentados na Tabela 3.5.

<sup>54</sup> A respeito do equilíbrio conformacional em anéis de cinco membros: queira ver ref. 53 e  
a) Carballeira, L. e Pérez-Juste, I.; *J. Chem. Soc. Perkin Trans. 2* **1998**, 1339.

b) Han, J. S. e Kang, Y. K.; *J. Mol. Struct. (Theochem)* **1996**, 369, 157.

<sup>55</sup> Para estudos das diversas conformações da prolina:

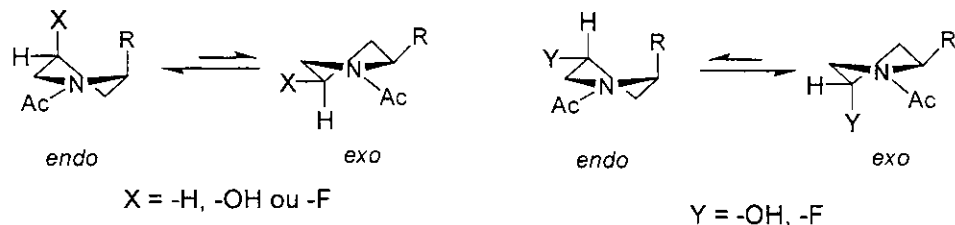
a) Kang, Y. K.; *J. Phys. Chem.* **1996**, 100, 11589.

b) Hudáky, I.; Baldoni, H. A e Perczel, A.; *J. Mol. Struct. (Theochem)* **2002**, 582, 233.

<sup>56</sup> DeRider, M. L.; Wilkens, S. J.; Waddell, M. J.; Bretscher, L. E.; Weinhold, F.; Raines, R. T. e Markley, J. L.; *J. Am. Chem. Soc.* **2002**, 124, 2497.

**Tabela 3.5 - Diferença de energia entre confômeros endo e exo e Z e E<sup>56</sup>**

Comp.	$\Delta(E_{\text{endo}} - E_{\text{exo}})$ / kcal mol <sup>-1</sup>		$\Delta(E_Z - E_E)$ / kcal mol <sup>-1</sup>	
	Z	E	endo	exo
<b>46</b>	-0,41	-0,60	-1,20	-1,39
<b>45</b>	0,85	1,18	-1,62	-1,29
<b>48</b>	-0,61	-1,99	-0,13	-1,51



A tabela anterior mostra que para os compostos **46** e **48**, independente da geometria da ligação amídica, o confômero *endo* é o mais estável, enquanto o *exo* se mostra mais estável para o composto **45**, e que a diferença de energia entre os isômeros conformacionais *E* e *Z* tendem a refletir os padrões observados experimentalmente (Figura 3.7).

A Tabela 3.6 apresenta alguns parâmetros geométricos com relação à possível interação do tipo Bürgi-Dunitz para os compostos estudados.

**Tabela 3.6 - Parâmetros da trajetória de Bürgi-Dunitz para geometrias obtidas a partir da otimização dos compostos **46**, **45** e **48** por cálculo ab initio (B3LYP/6-311+G(2d,p)).**

Comp.	Conf.	$\tau_{\text{BD}}$ / (graus)	$\delta_{\text{BD}}$ / Å	$\Delta\delta_{\text{BD}}$
<b>46</b>	exo	99,35	2,87	0
<b>45</b>	exo	100,74	2,86	-0,01
<b>46</b>	endo	99,43	3,06	+0,19
<b>48</b>	endo	88,76	3,23	+0,36

Segundo Bürgi, Lehn e Wipff,<sup>57</sup> a trajetória de ataque do nucleófilo à carbonila se torna tanto mais restrita com relação ao ângulo de aproximação,  $\tau_{BD}$ , quanto mais próximos os centros reativos. Dessa forma a uma distância de 3 Å, o grau de liberdade de  $\tau_{BD}$  é bastante grande e variações de  $\pm 20^\circ$  com relação ao valor ideal de  $109^\circ$  não chegam a alterar significativamente a energia do sistema.

Nos casos sob estudo, uma vez que os valores de  $\tau_{BD}$  para todos os compostos e confôrmeros estudados se encontram nessa faixa, o parâmetro mais significativo para justificar a estabilização do confôrmero *Z* é  $\delta_{BD}$ . Como as variações no equilíbrio conformacional têm sido feitas com relação a **46**, achou-se interessante a introdução do parâmetro  $\Delta\delta_{BD}$ , as diferenças entre  $\delta_{BD}$ 's da espécie analisada e o confôrmero *Z* mais estável de **46**, o *endo*. Com isso, uma variação negativa em  $\Delta\delta_{BD}$  decorre de uma aproximação do oxigênio amídico do sistema carbonílico em C2 e implica numa estabilização do confôrmero *Z*, enquanto uma variação positiva implica num favorecimento de *E*.

Numa análise preliminar,  $\Delta\delta_{BD}$  para **45** (Tabela 3.6) não parece ser grande o suficiente a fim de justificar o significativo aumento populacional observado para seu confôrmero *Z* (Figura 3.7, página 50). No entanto, deve-se lembrar que a diferença energética entre os confôrmeros *endo* e *exo* para **46** com a geometria *Z* da ligação amídica é de 0,41 kcal mol<sup>-1</sup> (Tabela 3.5),<sup>2.5</sup> o que leva à proporção de 1:2 entre essas duas espécies. Assim, é importante que também se leve em consideração o  $\Delta\delta_{BD}$  do confôrmero *exo*. Uma vez que seu valor é positivo, o média ponderada de  $\delta_{BD}$  para **46** como um todo seria igual a 2,93 Å, maior que o observado para **45**, implicando num  $\Delta\delta_{BD} < 0$ .

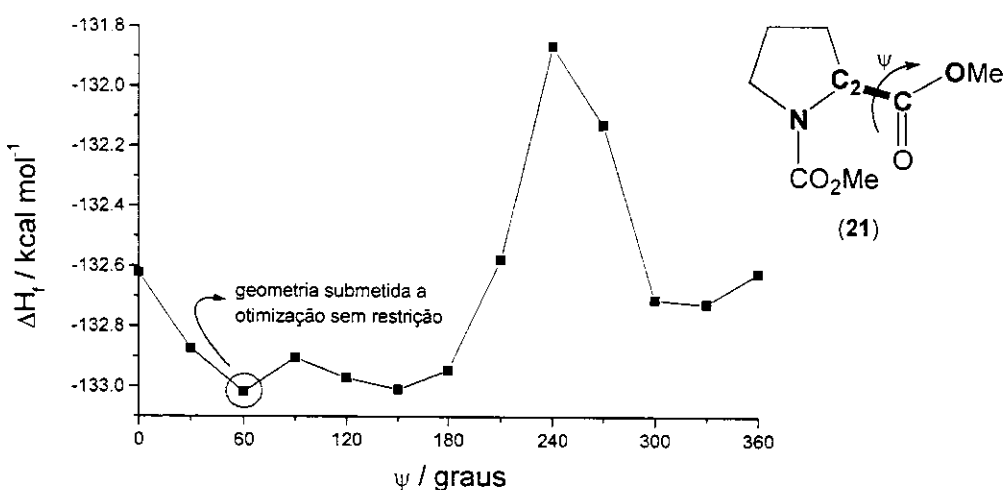
Análise semelhante demonstra o favorecimento do confôrmero *E* para **48**.

No caso dos derivados *N*-alcoxicarbonil do presente estudo, parece que a interação do tipo Bürgi-Dunitz seria possível tanto no confôrmero *E* quanto no *Z*, uma vez que nesse o oxigênio carbonílico se encontraria disponível para a interação  $\text{O}\rightarrow\pi^*\text{C=O}$ , enquanto naquele esse papel seria desempenhado pelo oxigênio do grupamento alcoxila. A maior nucleofilicidade do oxigênio carbonílico

<sup>57</sup> Bürgi, H. B., Jahn, J.-M., Wipff, G.; *J. Am. Chem. Soc.* **1974**, 96, 1956.

comparado com o do grupamento alcoxila da uretana justifica a maior preferência do confôrmero *Z* sobre o *E*. Nessa situação, em comparação com um composto padrão, a variação de  $\Delta\delta_{BD}$  para o confôrmero *Z* deveria ser maior que o de *E* para se observar variação no equilíbrio conformacional em direção àquele confôrmero. Visando-se obter parâmetros estruturais desses compostos que dessem suporte a essa hipótese, realizaram-se cálculos *ab initio* no nível HF/6-31G\*.

Sabe-se que o posicionamento do grupo carbonílico em C-2 com relação ao anel pirrolidínico (diedro  $\psi$ , **N-C2-C(O)-OMe** na Figura 3.9) provoca uma significativa variação de energia na molécula.<sup>58</sup> Visando a diminuição do custo computacional, ou seja, o tempo de uso do computador, realizou-se a busca do confôrmero de menor energia utilizando-se o hamiltoniano AM1, restringindo-se  $\psi$  de 0 a 360° em incrementos de 30°. Permitiu-se que a molécula relaxasse em cada nova geometria. Os valores de energia foram registrados em função do diedro e obtiveram-se curvas como a apresentada na Figura 3.9.



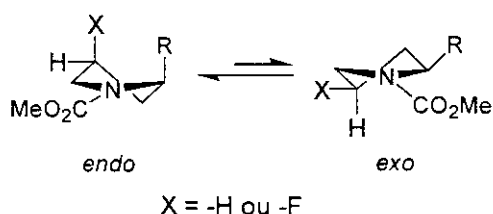
**Figura 3.9:**  $\Delta H_f$ , obtido por cálculos usando o hamiltoniano AM1, versus o ângulo de diedro  $\psi$  para o confôrmero *Z* do N-carbometoxiprolinato de metila (21).

<sup>58</sup> Benzi, C.; Improta, R.; Scalmani, G. e Barone, V.; *J. Comput. Chem.* 2002, 23, 341.

Submeteu-se, então, a geometria em que o valor de energia foi mínimo a uma otimização sem nenhuma restrição no hamiltoniano AM1. A estrutura obtida dessa forma foi, a seguir, utilizada como *input* para o cálculo *ab initio* (HF/6-31G\*).<sup>\*</sup> Obtiveram-se, assim, estruturas com o anel pirrolidínico na conformação *endo*. Para as conformações *exo* do anel, usaram-se os parâmetros estruturais fornecidos por Kang<sup>55a</sup>. A tabela 3.7 apresenta a energia relativa do confôrmero *exo* com relação ao *endo* dos compostos **21** e **43** com a ligação amídica nas geometrias *Z* e *E*.

**Tabela 3.7** - Energia relativa, em kcal mol<sup>-1</sup>, do confôrmero *exo* em relação ao *endo* com a ligação amídica *Z* ou *E* para **21** e **43**.

Parâm.	<b>21</b>		<b>43</b>		
	conf.	<i>Z</i>	<i>E</i>	<i>Z</i>	<i>E</i>
$\Delta E_T$		1,08	0,94	1,22	1,67
$\Delta G_{\text{calc.}}$		0,81	0,69	0,91	1,22



Os valores de  $\Delta G_{\text{calc.}}$  indicam uma razão mínima de 1:3,5 entre os confôrmeros *exo* e *endo* do anel pirrolidínico de tal forma que, nas análises seguintes, apenas o confôrmero *endo* será levado em consideração para os compostos **21**, **42** e **43**, enquanto o confôrmero *exo* será utilizado nas análises de **40**.

\* Obtinha-se assim, parâmetros estruturais e o valor de energia total ( $E_T$ ) do sistema. Realizou-se análise vibracional dos pontos estacionários obtidos a fim de se verificar a sua natureza (nesses casos, por se tratarem de estruturas de equilíbrio, todas as vibrações obtidas foram positivas), bem como realizar correção de energia de ponto zero (ZPE) e termodinâmicas (para obtenção de  $G_{\text{calc.}}$ ). Nessas análises, utilizou-se temperatura igual a 298,15 K, pressão de 1 atmosfera e escala de 0,8929).

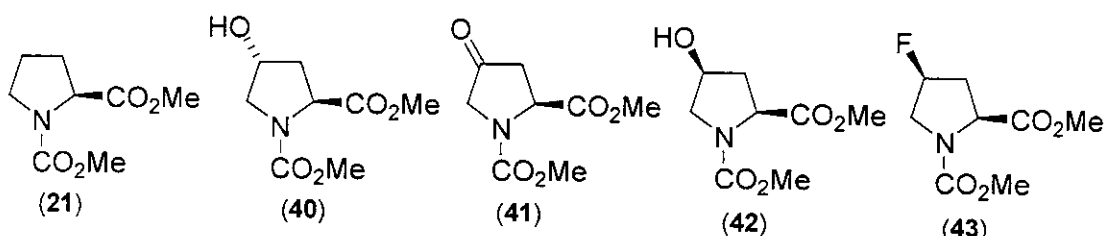
A Tabela 3.8 apresenta a energia do confôrmero *E* com relação ao *Z* para **21** e os compostos C-4 substituídos.

**Tabela 3.8** - Energia do confôrmero *E* relativa ao *Z* de N-carbometóxi-4-X-prolinatos de metila segundo cálculos HF/6-31G\* em kcal mol<sup>-1</sup>.

Parâm.	21	43	41	40	42
conf.	endo	endo	---	exo	endo
$\Delta E_T$	0,35	-0,10	0,68	-0,13	0,73
$\Delta G_{\text{calc}}$	0,29	-0,04	0,56	-0,23	0,55
$\Delta G_{\text{exp.}}^b$	0,24	0,14	0,39	0,19	0,34

a) A hibridização  $sp^2$  de C4 o impede de adotar uma conformação *endo* ou *exo*.

b) Calculado a partir dos dados da tabela 3.4 ( $\Delta G = -RT \ln K$ ), com T igual a 298,15 K.



Os dados da tabela anterior demonstram que os resultados dos cálculos são capazes de descrever de forma qualitativa a tendência observada experimentalmente na energia relativa entre os confôrmeros *E* e *Z* dos diversos carbamatos derivados da prolina estudados, exceto pela **40**. Dessa forma, tabularam-se os parâmetros relativos à trajetória de Bürgi-Dunitz para esses compostos, os quais são apresentados na Tabela 3.9.

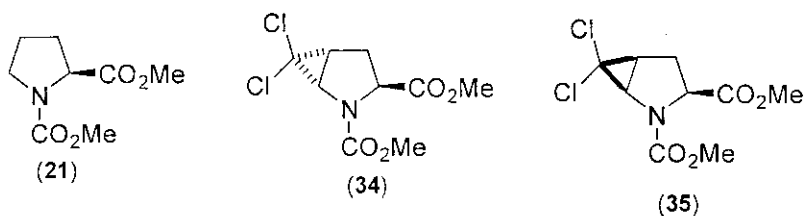
**Tabela 3.9** - Parâmetros da trajetória de Bürgi-Dunitz para confôrmeros Z e E dos N-carbometóxi-4-X-prolinatos de metila.

Comp.	Z			E		
	$\tau_{BD}$ / graus	$\delta_{BD}$ / Å	$\Delta\delta_{BD,Z}$ / Å	$\tau_{BD}$ / graus	$\delta_{BD}$ / Å	$\Delta\delta_{BD,E}$ / Å
21	94,04	3,11	0	92,08	3,02	0
41	92,76	3,12	+0,01	90,47	3,06	+0,04
43	84,07	3,22	+0,11	81,16	3,11	+0,09
40	95,61	2,92	-0,19	92,00	2,90	-0,12
42	99,52	2,99	-0,13	97,94	2,95	-0,07

Similarmente ao observado para os cálculos realizado por Raines e colaboradores,<sup>56</sup> devido aos valores de  $\delta_{BD}$  (próximos a 3,0 Å), a dispersão de  $\tau_{BD}$  não deve influenciar significativamente a estabilidade do sistema, de tal forma que a variável mais importante para a análise é  $\Delta\delta_{BD}$ . Observa-se, assim, que exceto para 41, cujos cálculos apresentaram uma maior proporção do confôrmero Z do que 21 (Tabela 3.8) e  $\Delta\delta_{BD,Z} < \Delta\delta_{BD,E}$ , os cálculos confirmam que  $\Delta\delta_{BD,Z} > \Delta\delta_{BD,E}$  implica numa estabilização de Z. Esse resultado é importante por indicar que a análise do equilíbrio conformacional a partir dos parâmetros da trajetória de Bürgi-Dunitz talvez só seja aplicável em casos bem comportados como naqueles em que haja apenas a presença de carbonos  $sp^3$  no anel pirrolidínico e/ou com ausência de interações estéreas ou eletrônicas significativas. De fato, os parâmetros parecem insuficientes para justificar a alta estabilidade do confôrmeros Z com relação ao E nas dialometanoprolinas (Tabela 3.10), uma vez que  $\Delta\delta_{BD,Z} - \Delta\delta_{BD,E}$  para 34 é igual a de 42 enquanto que nesse composto o favorecimento de Z com relação a 21 foi de 10% e no caso de 34 foi de 37%. Além disso 35 apresenta  $\Delta\delta_{BD,E} > \Delta\delta_{BD,Z}$ , quando o contrário seria esperado.

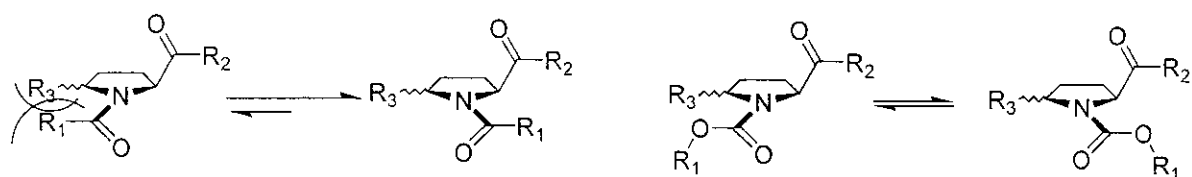
**Tabela 3.10** - Parâmetros da trajetória de Bürgi-Dunitz para confôrmeros E e Z dos N-carbometóxi-4,5-diclorometanoprolinatos de metila.

Comp.	Z			E		
	$\tau_{BD}$ / graus	$\delta_{BD}$ / Å	$\Delta\delta_{BD,Z}$ / Å	$\tau_{BD}$ / graus	$\delta_{BD}$ / Å	$\Delta\delta_{BD,E}$ / Å
21	94,04	3,11	0	92,08	3,02	0
34	92,18	3,17	+0,06	89,06	3,03	+0,01
35	117,09	2,86	-0,25	79,76	2,95	-0,07



### 3.2.3 - O equilíbrio conformacional nas dialometanoprolinas

Na busca de uma explicação para essa variação no equilíbrio conformacional, interações estéreas desestabilizantes no confôrmero *E*, como as observadas nos derivados de 5-alquilprolinas (Esquema 3.10), foram eliminadas prontamente, uma vez que estudos experimentais e teóricos<sup>59</sup> indicam que a parte éster de uma uretana deve adotar conformação *s-cis* de tal forma que interações do substituinte em C-5 e o oxigênio carbonílico ou o do éster devem ser aproximadamente iguais nos dois confôrmeros (Esquema 3.10).

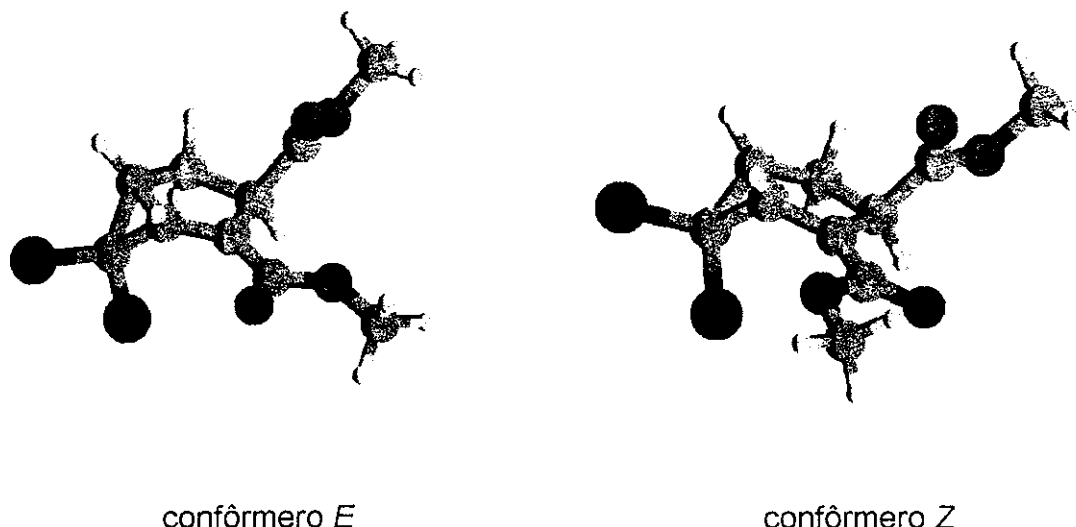


**Esquema 3.10:** Interações estéreas em *N*-acil-5-alquilprolinas.

<sup>59</sup> a) Kydd, R. A. e Rauk, A.; *J. Mol. Struct.* 1981, 77, 227.

b) Souza, W. F.; Kambe, N.; Sonoda, S.; *J. Phys. Org. Chem.* 1996, 9, 179.

c) Marstokk, K.-M.; Møllendal, H.; *Acta Chem. Scand.* 1999, 53, 329.



**Figura 3.10:** Geometrias de equilíbrio para a *N*-carbometóxi-*trans*-4,5-diclorometanoprolinato de metila.

Além disso, a estrutura intrínseca do biciclo faz com que os átomos de halogênio se posicionem bastante distantes do grupamento uretana (Figura 3.10) de tal forma que parece sensato supor que interações repulsivas do tipo dipolo-dipolo entre os halogênios e o oxigênio carbonílico sejam responsáveis pela desestabilização do confôrmero *E*. A fim de se comprovar essa hipótese, recorreu-se à teoria de Onsager<sup>60</sup>, segundo a qual a estabilização eletrostática de um soluto, com momento de dipolo  $\mu$  e raio  $r$  no centro de uma cavidade esférica, em um solvente, visto como um meio dielétrico uniforme com permissividade relativa  $\epsilon_r$ , pode ser expressa como:

$$\Delta G^{\circ}_{\text{solv}} = \Delta G^{\circ}_{\text{vap}} - \Delta G^{\circ}_{\text{solução}}$$

$$= -\frac{1}{4\pi\epsilon_0} \cdot \frac{\epsilon_r - 1}{2\epsilon_r + 1} \cdot \left( \frac{\mu^2}{r^3} \right) \quad (\text{eq. 3.1})$$

A diferença entre as energias de solvatação para duas espécies A e B em equilíbrio é descrita por

<sup>60</sup> Reichardt, C.; *Solvents and Solvent Effects in Organic Chemistry*, VCH, Nova Iorque, 1988, p. 114.

$$\Delta\Delta G^\circ_{\text{solv}} = -\frac{1}{4\pi\varepsilon_0} \cdot \frac{\varepsilon_r - 1}{2\varepsilon_r + 1} \cdot \left( \frac{\mu_A^2}{r_A^3} - \frac{\mu_B^2}{r_B^3} \right) \quad (\text{eq . 3.2})$$

Uma vez que a constante de equilíbrio é função da variação de energia de Gibbs de um sistema através da equação

$$\Delta G = -RT \ln K_{\text{eq}} \quad (\text{eq . 3.3})$$

Igualando-se as equações 3.2 e 3.3, tem-se

$$\ln K_{\text{eq}} = \frac{1}{RT} \frac{1}{4\pi\varepsilon_0} \cdot \frac{\varepsilon_r - 1}{2\varepsilon_r + 1} \cdot \left( \frac{\mu_A^2}{r_A^3} - \frac{\mu_B^2}{r_B^3} \right) \quad (\text{eq . 3.4})$$

Sendo  $RT$ ,  $\varepsilon_0$ ,  $\mu_A$ ,  $\mu_B$ ,  $r_A$  e  $r_B$  constantes, ao se construir um gráfico de  $\ln K_{\text{eq}}$  por  $[(\varepsilon_r - 1)/(2\varepsilon_r + 1)]$  deve-se obter uma reta com coeficiente angular diferente de zero se a variação na constante de equilíbrio estiver relacionada com a polaridade do solvente ( $\varepsilon_r$ ).

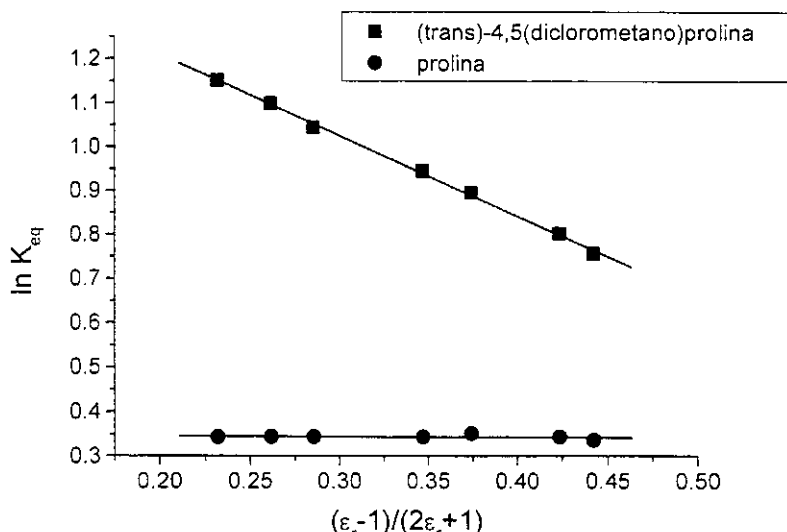
Dessa forma, mediu-se a constante de equilíbrio entre os confôrmeros  $E$  e  $Z$  em benzeno-d<sub>6</sub> ( $\varepsilon_r = 2,3$ ) e diversas proporções entre esse solvente e acetonitrila ( $\varepsilon_r = 37,5$ ). Nesses casos, considerou-se a permissividade relativa do meio como sendo a média ponderada da dos solventes originais. As proporções utilizadas, valores de  $\varepsilon_r$  e da constante de equilíbrio obtida são apresentadas na Tabela 3.10.

**Tabela 3.10** - Condições utilizadas na determinação das constantes de equilíbrio de 21 e 34.

C <sub>6</sub> D <sub>6</sub>	100%	99%	98%	94%	91%	80%	71%
CD <sub>3</sub> CN	0%	1%	2%	6%	9%	20%	29%
$\varepsilon_r$	2,30	2,65	3,00	4,41	5,47	9,34	12,51
$K_{\text{eq}} (34)$ <sup>a)</sup>	3,16	3,00	2,84	2,57	2,45	2,23	2,13
$K_{\text{eq}} (21)$ <sup>a)</sup>	1,41	1,41	1,41	1,41	1,40	1,41	1,42

a) Valores determinados a partir da razão entre as integrações dos sinais atribuídos aos confôrmeros  $Z$  e  $E$ .

Construindo-se o gráfico entre  $\ln K_{\text{eq}}$  X  $(\varepsilon_r - 1)/(2\varepsilon_r + 1)$ , tem-se



Os pontos obtidos para **34** podem ser adequadamente expressos por uma reta de coeficiente angular igual a -1,84 e coeficiente linear igual a 1,58. O coeficiente de correlação entre os pontos e a função é igual a 0,99915. Já o composto **21** não apresentou alteração no seu equilíbrio conformacional com a variação na constante dielétrica do meio, em concordância com o previamente observado para o *N*-*tert*-butoxicarbonil-prolinato de metila<sup>61</sup>.

Com esses experimentos puderam-se comprovar duas observações:

- 1) O grande favorecimento do confôrmero *Z* em detrimento do *E* no derivado da 4,5-diclorometanoprolina deve-se à menor polaridade daquele.
- 2) Devido à grande diferença de momento de dipolo entre os dois confôrmeros, há uma variação no equilíbrio conformacional com a polaridade do solvente, fato não observado para o derivado da prolina (e nenhum outro carbamato segundo nosso levantamento).

### 3.3 - Conclusões

Os carbamatos das prolinas estudados tiveram seus sinais de RMN <sup>1</sup>H atribuídos por duas metodologias: efeito diferencial do solvente aromático sobre o

<sup>61</sup> Ishimoto, B.; Tonan, K. e Ikawa, S.-I.; *Spect. Chim. Acta (A)* **1999**, 56, 201.

deslocamento químicode  $^1\text{H}$  e deslocamento químico de C-4 do anel pirrolidínico da prolina, havendo total concordância dos resultados nos casos em que as atribuições puderam ser realizadas pelas duas metologias.

Dos onze derivados da prolina estudados, cinco não apresentaram variação significativa no equilíbrio conformacional da ligação N-C(O) com as modificações introduzidas no anel pirrolidínico. A invariância mostrou-se particularmente curiosa no caso dos *N*-carbometóxi-4-X-prolinatos de metila, cujos resultados são contrastantes com aqueles observados para os derivados *N*-acetilados.

Cálculos *ab initio* foram realizados e conseguiram reproduzir de forma qualitativa os resultados experimentais. A partir das geometrias otimizadas obtiveram-se parâmetros de uma aproximação do tipo Bürgi-Dunitz para os carbamatos, cuja análise indicou uma semelhante variação dos mesmos para ambos os confôrmeros dessa série de compostos e, consequentemente, uma estabilização aproximadamente igual para *Z* e *E*, justificando a invariância no equilíbrio conformacional.

A hipótese de que o expressivo favorecimento do confôrmero *Z* nas dialometanoprolinas é devido a interação eletrostáticas desestabilizantes entre o oxigênio carbonílico e os átomos de halogênio eletronegativos no confôrmero *E* foi confirmada através do uso da teoria de Onsager aplicada a um experimento em que se variou a polaridade do meio pela combinação de dois solventes, um com uma constante dielétrica pequena e outra com uma constante dielétrica maior.

## **4 - A Barreira Rotacional**

## 4.1 - Introdução

### 4.1.1 - A Ressonância Magnética Nuclear Dinâmica

Associado ao equilíbrio conformacional da ligação amídica discutido no capítulo anterior há uma barreira energética ( $\Delta G^\ddagger$ ) para interconversão entre os rotâmeros. O valor dessa barreira se encontra tipicamente entre 15 e 20 kcal mol<sup>-1</sup> para amidas, já para carbamatos de estrutura análoga o valor é em torno de 1 a 4 kcal mol<sup>-1</sup> menor.<sup>7</sup>

A ressonância magnética nuclear (RMN) tem-se mostrado um excelente instrumento para estudo de dinâmica molecular e cinética de reações químicas e tem sido mais amplamente empregada em processos com energia de ativação na faixa de 4,5-27 kcal mol<sup>-1</sup>.<sup>62</sup> O uso da RMN nesse tipo de investigação é denominado ressonância magnética nuclear dinâmica (RMND) e, no jargão dessa técnica, denomina-se *processo de troca química* (ou simplesmente *processo de troca*) a modificação de ambiente magnético de um núcleo decorrente do fenômeno dinâmico sob estudo.

O processo de troca pode ser classificado como rápido, intermediário ou lento de acordo com a sua velocidade quando comparada com a escala de tempo da RMN. Um processo de troca é dito lento quando a diferença de freqüências em hertz ( $\Delta\nu$ ) entre os sinais decorrentes do processo de troca é muito maior que sua constante de velocidade ( $k$ ).<sup>63</sup> Nessa situação, os sinais observados são bastante resolvidos e técnicas envolvendo processos de relaxação spin-rede são muito utilizados na determinação dos parâmetros cinéticos.<sup>62</sup>

Com o aumento da constante de velocidade de reação, há uma significativa modificação da aparência do espectro. Os sinais alargam-se e têm seus deslocamentos químicos modificados até coalescerem.<sup>64</sup> É normalmente nessa faixa de temperatura que a maior quantidade de informação sobre o fenômeno é

<sup>62</sup> Lambert, J. B.; Nienhuis, R. J. e Keepers, J. W.; *Angew. Chem. Int. Ed. Eng.* **1981**, 20, 487.

<sup>63</sup> Bain, A. D.; *Biochem. Cell Biol.* **1998**, 76, 171.

<sup>64</sup> Brown, K. C.; Tyson, R. L. e Weil, J. A.; *J. Chem. Ed.* **1998**, 75, 1632.

obtido<sup>64</sup> e uma série de técnicas para seu estudo é disponível, alguns dos quais são mais detalhadamente apresentados adiante.

Como limite superior, tem-se o processo de troca rápida em que  $k$  é muito elevado, de tal forma que cada núcleo tem um tempo de vida médio reduzido em cada sítio e, dessa forma, experimenta um ambiente químico médio desses ambientes ponderado pelo tempo de residência nos mesmos.<sup>64</sup> Nessa situação os sinais se encontram coalescidos e voltam a ter uma largura de linha a meia altura ( $\Delta\nu_{1/2}$ ) compatível com a da largura natural de sinais na ausência de troca.<sup>64</sup>

A faixa em que o processo de troca se encontra pode ser alterado pelo campo magnético do instrumento (campos magnéticos maiores fornecerão um  $\Delta\nu$  maior, levando a estágios inferiores da troca) ou pela variação da temperatura (o aumento da temperatura favorece a ocorrência da troca, aumentando o valor de  $k$  e, portanto, levando a estágios superiores da troca).

No caso da rotação da ligação amídica de carbamatos e amidas com barreira para interconversão dos confôrmeros na faixa de 15-20 kcal mol<sup>-1</sup>, considera-se que o processo de troca está no limite entre o lento e o intermediário à temperatura ambiente para equipamentos operando entre 300-500 MHz.

#### 4.1.2 - Técnicas de Ressonância Magnética Nuclear Dinâmica.

Para esses processos, os métodos a seguir são os mais utilizados para a determinação dos parâmetros cinéticos por RMN:

- a) Análise total do formato das linhas (TLSA),
- b) Transferência de magnetização,
- c) Espectroscopia de troca (EXSY),
- d) Coalescência dos sinais.

A TLSA é certamente a técnica que fornece maior quantidade de informação a respeito do fenômeno sob estudo.<sup>65</sup> Nessa análise fornecem-se valores iniciais de parâmetros como deslocamentos químicos, constantes de acoplamento, largura natural das linhas, populações das espécies e constantes de velocidade, entre outros, e gera-se um espectro simulado, que é comparado com

<sup>65</sup> Binsch, G. e Kessler, H.; *Angew. Chem. Int. Ed. Eng.* 1980, 19, 411.

aquele obtido experimentalmente. Modificações nos parâmetros são realizados até que um ajuste ótimo entre o espectro simulado e o experimental é obtido.<sup>65</sup> Essa técnica tem a vantagem de poder ser aplicada em uma ampla faixa de temperatura, consequentemente uma ampla faixa de  $k$  (tipicamente entre 1 e  $10^4\text{ s}^{-1}$ )<sup>66</sup> e de permitir o cálculo de todos os parâmetros cinéticos ( $\Delta G^\ddagger$ ,  $\Delta H^\ddagger$ ,  $\Delta S^\ddagger$ ) desde que as medidas sejam realizadas em diversas temperaturas.<sup>65</sup> Por outro lado a análise torna-se bastante trabalhosa com o aumento do sítios de trocas envolvidos e a complexidade do espectro.<sup>65</sup>

A transferência de magnetização baseia-se na irradiação seletiva de um dos sinais envolvidos no processo e na observação do efeito dessa perturbação nos demais sinais, permitindo a determinação do caminho e das constantes de velocidade das trocas químicas.<sup>67</sup> Deve ser utilizado em temperaturas em que o processo de troca é suficientemente rápido para que haja a transferência de magnetização, porém suficientemente lento para que os sinais estejam resolvidos (tipicamente processos com  $k = 10^{-1}$  a  $10^{-2}\text{ s}^{-1}$ ).<sup>66</sup>

A espectroscopia de troca (2D EXSY) é uma versão bidimensional da transferência de magnetização que, pelas características intrínsecas do formato de sua apresentação final\*, permite a determinação dos sítios envolvidos no processo de troca através de observação dos sinais na diagonal principal com suas correlações, sendo especialmente útil na verificação de proposições de mecanismos complexos.<sup>66,67</sup> É uma técnica que exige um tempo maior de máquina do que as técnicas em uma dimensão<sup>63</sup> e cuja faixa de temperatura para sua aplicação é limitada uma vez que o processo de troca deve ser suficientemente rápido para haver transferência de saturação, mas lento o suficiente para haver resolução dos sinais e que estes, mesmo alargados, fiquem acima do ruido (tipicamente os valores se encontram entre  $10^{-2}$  e  $10^2\text{ s}^{-1}$ ).<sup>66</sup>

O método da coalescência dos sinais é, sem dúvida, o mais simples de todos os anteriores e, possivelmente, o mais aplicado, havendo, contudo, a

<sup>66</sup> Perrin, C. L. e Dwyer, T. J.; *Chem. Rev.* **1990**, *90*, 935.

<sup>67</sup> Jeener, J.; Meier, B. H.; Bachmann, P. e Ernst, R. R.; *J. Chem. Phys.* **1979**, *71*, 4546.

\* praticamente idêntico a um NOESY, sendo que as fases entre os sinais da diagonal principal e aqueles de suas correlações são iguais.

desvantagem de ser aplicável a apenas uma temperatura e impossibilitar, assim, a determinação de parâmetros cinéticos outros que  $\Delta G^\ddagger$ .

Esse método é uma derivação direta da análise do formato das linhas para o caso específico da temperatura de coalescência<sup>v</sup>.<sup>68</sup> No caso de um processo de troca entre dois sítios (X e Y), a derivação das equações de Bloch indica que

$$\Delta v \cdot \tau = \frac{\sqrt{2}}{2\pi} \quad (\text{eq. 4.1}),$$

em que  $\Delta v$  é a diferença de deslocamento químico entre os sinais quando o processo de troca é lento, e  $\tau$  é a média geométrica dos tempos de meia-vida da espécie nos sítios X e Y ( $\tau_X$  e  $\tau_Y$ , respectivamente), equação 4.2.

$$\frac{1}{\tau} = \frac{1}{\tau_X} + \frac{1}{\tau_Y} \quad (\text{eq. 4.2})$$

Alternativamente  $\tau^{-1} = k_X + k_Y$ , em que  $k_X$  e  $k_Y$  são as constantes de velocidade para a troca das espécies do sítio Y para X e vice-versa, respectivamente, conforme equação química abaixo.



No caso em que A e B são igualmente povoados  $k_X = k_Y$ , ou simplesmente  $k$ , e  $\tau_X = \tau_Y$ . Logo,

$$k = \frac{1}{2\tau} \quad (\text{eq. 4.3}).$$

Substituindo-se o resultado da equação 4.3 na equação 4.1, tem-se que

$$k = \pi \cdot \Delta v \cdot 2^{-1/2} \quad (\text{eq. 4.4}).$$

O valor da energia de ativação para o processo pode ser obtido através da aplicação de  $k$  na equação de Eyring (eq. 4.5).

$$k = \frac{k_B T_c}{h} e^{\left(-\frac{\Delta G^\ddagger}{RT_c}\right)} \quad (\text{eq. 4.5}),$$

---

<sup>v</sup> Temperatura de coalescência é definida como a menor temperatura em que não há vales entre os sinais correspondente aos rotâmeros, ou seja  $\Delta v = 0$ .

<sup>68</sup> Binsch, G.; *Band Shape Analysis in Dynamic Nuclear Magnetic Resonance*, ed. Jackman, L. M. e Cotton, F. A.; pp.45-81, Academic Press, Inc; New York, 1975.

em que  $k_B$ ,  $h$  e  $R$  são as constantes de Boltzman, Planck e dos gases ideais, respectivamente, e  $T_c$  é a temperatura de coalescência dos sinais.

A derivação para casos em que a população é desigual nos dois sítios foi realizada por Shanan-Atidi e Bar-Eli<sup>69</sup> e o resultado final é apresentado através da equação 4.6.

$$\Delta G^* = RT_c \ln \left[ \frac{k}{h\pi} \frac{T_c}{\Delta v} \left( \frac{X}{1 \pm \Delta P} \right) \right] \text{ (eq. 4.6)}$$

Sendo  $\Delta v$  a separação, em hertz, entre os sinais dos confôrmeros durante o processo de troca lento,  $T_c$  a temperatura de coalescência,  $\Delta P$  a diferença das frações molares entre as espécies, e  $X$  um parâmetro obtido iterativamente através da equação 4.7.

$$\Delta P = \left( \frac{X^2 - 2}{3} \right)^{\frac{3}{2}} \cdot \frac{1}{X} \text{ (eq 4.7).}$$

#### 4.1.3 - Alguns fatores que alteram a barreira rotacional de amidas e carbamatos.

Com a utilização desses vários métodos, amidas foram certamente os compostos mais estudados por RMN, e diversos dos fatores que causam variação nos seus  $\Delta G^\ddagger$  são conhecidos.<sup>32</sup> A similaridade estrutural dos carbamatos com as amidas acarretou-lhes uma menor atenção pela comunidade científica,<sup>7,59b</sup> o que tem sido modificado nos últimos anos.<sup>70</sup>

Dentre os fatores conhecidos, sabe-se que se o aumento do volume do substituinte R nas acilas de amidas diminui o valor de suas barreira<sup>71</sup>, o mesmo não ocorre para a variação análoga em carbamatos<sup>39</sup>, Tabela 4.1.

<sup>69</sup> Shanan-Atidi, H. e Bar-Eli, K. H.; *J. Phys. Chem.* **1970**, *74*, 961.

<sup>70</sup> a) Basso, E. A.; Oliveira, P. R.; Caetano, J. e Schuquel, I. T. A.; *J. Braz. Chem. Soc.* **2001**, *12*, 215.

b) Oliveira, M. C. F. e Pilli, R. A.; "Estudo Comparativo d Barreira Rotacional de Carbamatos Cílicos de 5, 6 e 7 membros alfa-substituídos por RMN dinâmica", QO-025, 25<sup>a</sup> Reunião Anual da SBQ.

<sup>71</sup> Jackman, L. M.; *Rotation about Partial Double Bonds in Organic Molecules in Dynamic Nuclear Magnetic Resonance*, ed. Jackman, L. M. e Cotton, F. A.; pp.45-81, Academic Press, Inc; New York, 1975.

**Tabela 4.1** - Efeito da variação do volume do substituinte na acila sobre a barreira rotacional de amidas e carbamatos.

Est. Geral	R <sub>1</sub>	ΔG <sup>‡</sup>	Solvente	Ref.
	H	17,8	2-pentanona	72
	CH <sub>3</sub>	16,7	acetona	73
	(CH <sub>3</sub> ) <sub>3</sub> C	15,7	acetona	73
	CH <sub>3</sub> CH <sub>2</sub>	15,8	C <sub>6</sub> D <sub>6</sub>	12a
	(CH <sub>3</sub> ) <sub>3</sub> C	15,8	C <sub>6</sub> D <sub>6</sub>	12a

Por outro lado, ambas as classes de compostos têm sua barreira rotacional modulada pela densidade eletrônica no átomo de nitrogênio, sendo que grupos doadores de densidade eletrônica aumentam a barreira rotacional, e os retiradores a diminuem.<sup>32</sup> A "eletronegatividade" do grupo carbonílico também exerce forte papel sobre o valor da barreira, sendo que, nesse caso, grupos doadores de elétrons a diminuem e os retiradores a aumentam (Tabela 4.2).<sup>32</sup>

**Tabela 4.2** - Efeito da modulação da densidade eletrônica no átomo de nitrogênio e no grupamento acila na barreira rotacional, em kcal mol<sup>-1</sup>, de carbamatos e amidas.



R	R <sub>1</sub>	R <sub>2</sub>	ΔG <sup>‡</sup>	Solv.	Ref.
CH <sub>3</sub>	CH <sub>3</sub>	CH <sub>3</sub>	18,1	puro	74
CF <sub>3</sub>	CH <sub>3</sub>	CH <sub>3</sub>	18,6	puro	75
C <sub>6</sub> H <sub>5</sub>	CH <sub>3</sub>	CH <sub>3</sub>	15,5	CH <sub>3</sub> CN	76
(p-NO <sub>2</sub> )-C <sub>6</sub> H <sub>4</sub>	CH <sub>3</sub>	CH <sub>3</sub>	16,4	CH <sub>3</sub> CN	76
(p-OCH <sub>3</sub> )-C <sub>6</sub> H <sub>4</sub>	CH <sub>3</sub>	CH <sub>3</sub>	14,6	CH <sub>3</sub> CN	76
C <sub>6</sub> H <sub>5</sub> O	CH <sub>3</sub>	CH <sub>3</sub>	16,2	(CD <sub>3</sub> ) <sub>2</sub> SO	77
(p-NO <sub>2</sub> )-C <sub>6</sub> H <sub>4</sub> O	CH <sub>3</sub>	CH <sub>3</sub>	16,7	(CD <sub>3</sub> ) <sub>2</sub> SO	77
(p-OCH <sub>3</sub> )-C <sub>6</sub> H <sub>4</sub> O	CH <sub>3</sub>	CH <sub>3</sub>	16,1	(CD <sub>3</sub> ) <sub>2</sub> SO	77
H	C <sub>6</sub> H <sub>5</sub>	H	17,1	CDCl <sub>3</sub>	77
H	(p-OCH <sub>3</sub> )-C <sub>6</sub> H <sub>4</sub>	H	18,1	CDCl <sub>3</sub>	77

<sup>72</sup> Drakenberg, T. e Forsén, S.; *J. Phys. Chem.* **74**, 1970, 1.

<sup>73</sup> Walter, W.; Schaumann, E.; e Rose, H.; *Org. Magn. Resonance* **1971**, 3, 627.

<sup>74</sup> Drakenberg, T.; Dahlqvist, K.-I. e Forsén, S.; *J. Phys. Chem.* **1972**, 76, 2178.

<sup>75</sup> Abramson, K. H.; Inglefield, P. T.; Krakower, E. e Reeves, L. W.; *Can. J. Chem.* **1966**, 44, 1685.

<sup>76</sup> Jackman, L. M.; Kavanagh, T. E. e Haddon, R. C.; *Org. Magn. Resonance* **1969**, 1, 109.

<sup>77</sup> Yamagami, C.; Takao, N. e Takeuchi, Y.; *Aust. J. Chem.* **1986**, 39, 457.

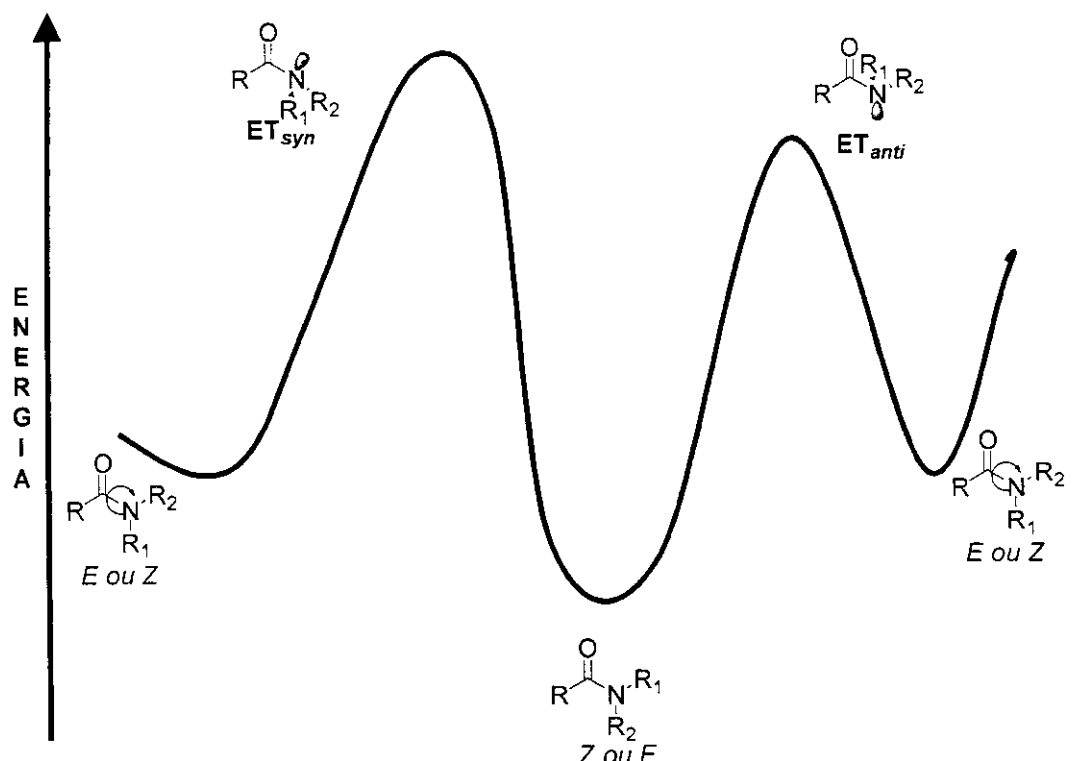
Uma terceira variável sobre o valor da barreira rotacional que tem sido moderadamente estudada para carbamatos, mas amplamente para amidas, é a polaridade do meio. Os resultados obtidos mostram que o  $\Delta G^\ddagger$  de amidas aumenta com a polaridade do meio<sup>74</sup> e que solventes próticos podem potencializar esse efeito, enquanto o  $\Delta G^\ddagger$  de carbamatos permanece invariável<sup>7</sup>

**Tabela 4.3 - Barreira rotacional, em kcal mol<sup>-1</sup>, para N-benzil-N-metil acetamida e N-benzil-N-metil carbamato de metila em vários solventes.<sup>7</sup>**

Solvente	$\epsilon$	carbamato	amida
CCl <sub>4</sub>	2,23	15,5	16,7
Acetonitrila	36,70	15,3	17,7
Metanol	32,66	15,5	18,5

#### 4.1.4 - Cálculos teóricos e a racionalização dos fatores modificadores das barreiras.

A racionalização desses efeitos tem sido realizada através da análise comparativa das propriedades físico-químicas dos confôrmeros no equilíbrio e dos estados-de-transição para interconversão dos mesmos. A rotação da ligação N-C(O) em amidas e carbamatos a partir de uma das geometrias de equilíbrio leva à diminuição da sobreposição de orbital p do átomo de nitrogênio com o  $\pi$  do sistema carbonílico, levando a estruturas de energia mais elevadas. Existem duas situações em que essa sobreposição é mínima: uma com o par de elétrons posicionado *antiperiplanar* à carbonila e outra em que esse posicionamento é *synperiplanar*. Essas geometrias são denominadas estado-de-transição *anti* ( $ET_{anti}$ ) e *syn* ( $ET_{syn}$ ) respectivamente.  $ET_{anti}$  possui menor polaridade e energia que  $ET_{syn}$  (Figura 4.1).



**Figura 4.1 -** Perfil energético para a isomerização rotacional de amidas e carbamatos.

Energias relativas e valores de momento de dipolo têm se mostrado suficientes para racionalização dos fatores que modificam a barreira rotacional. No caso da diminuição da energia de ativação com o aumento do volume dos grupos substituintes das amidas, há uma instabilização dos estados fundamentais, cujos valores energéticos são elevados, acarretando na redução de  $\Delta G^\ddagger$  observado.<sup>32</sup> Para os carbamatos, os substituintes devem se posicionar suficientemente distantes para que não haja interações estéreas significativas entre os mesmos.<sup>39</sup>

Já a diferença do efeito da polaridade do meio sobre as barreiras rotacionais têm sido explicadas através da diferença de energia e de dipolo entre os estados de transição e as geometrias de equilíbrio (GE)<sup>71</sup>. Os valores de momento de dipolo ( $\mu$ ) e as energias relativas ( $E_{\text{rel}}$ ), em kcal mol<sup>-1</sup>, entre GE e ETs

para *N,N*-dimetilacetamida (DMA)<sup>78</sup> e *N,N*-dimetil carbamato de metila (DMCM)<sup>7</sup> são apresentados na tabela 4.4.

**Tabela 4.4** - Momento de dipolo ( $\mu$ ) e energia relativa ( $E_{\text{rel}}$ ), em kcal mol<sup>-1</sup>, para estados de transição e geometria de equilíbrio da dimetilacetamida (DMA) e dimetilcarbamato de metila (DMCM).<sup>7</sup>

Comp.	Geometria	$\mu$	$E_{\text{rel}}$
DMA <sup>a</sup>	GE	4,04	0
	ET <sub>anti</sub>	2,08	15,64
	ET <sub>syn</sub>	3,63	18,13
DMCM <sup>b</sup>	GE	2,55	0
	ET <sub>anti</sub>	0,91	14,7
	ET <sub>syn</sub>	2,80	15,3

a) valores obtidos através de cálculos *ab initio* no nível HF/6-311G\*\* // HF/6-31G\*

b) valores obtidos através de cálculos *ab initio* no nível HF/6-31+G\*

Pelos valores de energia relativa apresentadas na tabela anterior, observa-se uma diferença energética considerável entre ET<sub>syn</sub> e ET<sub>anti</sub> no caso de DMA (2,5 kcal mol<sup>-1</sup>), mas valores de energia bastante próximos para DMCM (0,6 kcal mol<sup>-1</sup>), de tal forma que o caminho preferencial para a isomerização rotacional para DMA deve ser através de ET<sub>anti</sub>, enquanto que para DMCM tal preferência não deve ser de grande importância. Assim sendo, uma vez que a diferença de momento de dipolo entre GE e ET<sub>anti</sub> para DMA é relativamente grande (2,0 D), com o aumento da polaridade do meio deve haver uma estabilização preferencial do GE em detrimento do ET<sub>anti</sub>, provocando o aumento observado no valor da barreira.<sup>78</sup> No caso do DMCM, contudo, um aumento na polaridade do meio pode vir mesmo a tornar ET<sub>syn</sub> o caminho preferencial da reação e, nesse caso, tanto ET<sub>syn</sub> quanto GS teriam uma semelhante estabilização por solvatação, tornando a barreira rotacional invariante.<sup>7</sup>

<sup>78</sup> Wiberg, K. B.; Rablen, P. R.; Rush, D. J. e Keith, T. A.; *J. Am. Chem. Soc.* **1995**, *117*, 4261.

Outra explicação apresentada para a inexistência do efeito do solvente sobre a barreira rotacional de carbamatos é que apesar da diferença de momentos de dipolo entre  $\text{ET}_{\text{anti}}$  e GE para DMA e DMCM ser bastante similar (1,98 D e 1,64 D respectivamente), os valores absolutos de  $\mu$  para cada espécie é bastante diferente, sendo os menores valores observados para as estruturas do DMCM. Uma vez que o energia de solvatação é proporcional a  $\mu^2$  (queira ver equação 3.1, página 61) seria esperado um efeito do solvente menor na barreira rotacional de DMCM quando comparado com o de DMA, como de fato o é.<sup>79</sup>

#### **4.2 - A Barreira Rotacional de alguns *N*-carbometoxiprolinatos de metila.**

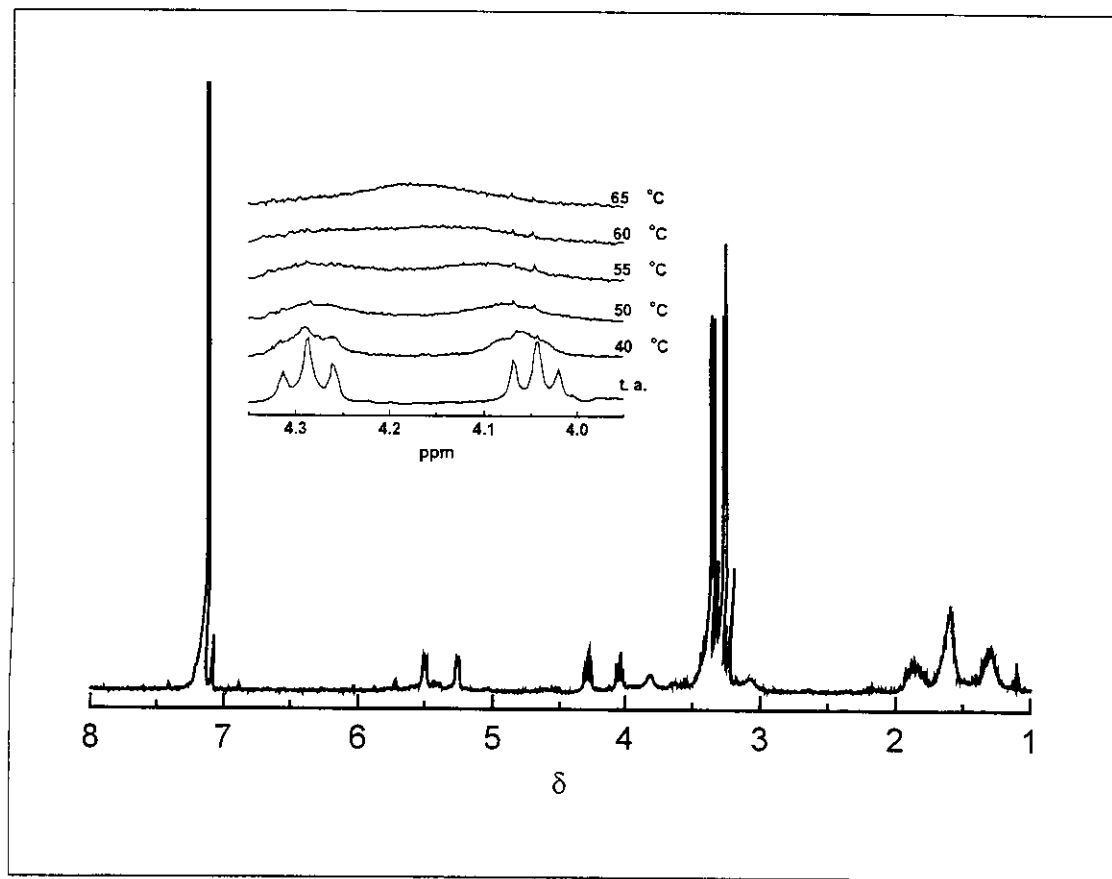
Devido à importância biológica do equilíbrio conformacional da prolina e da escassez de estudos de efeitos específicos de modificações estruturais de carbamatos derivados desse aminoácido sobre o valor da sua barreira, resolveu-se desenvolver esse estudo.

##### **4.2.1 - A metodologia utilizada**

As barreiras foram determinadas através do uso do método de coalescência dos sinais segundo as modificações implementadas por Shanan-Atidi e Bar-Eli para sinais com populações desiguais.<sup>69</sup> A figura 4.2 apresenta uma série de espectros obtidos a várias temperaturas e serve de ilustração para o procedimento geral adotado na determinação dos valores de barreiras realizadas nesse trabalho.

---

<sup>79</sup> Rablen, P. R.; *J. Org. Chem.* 2000, 65, 7930.



**Figura 4.2** - Espectro de RMN  $^1\text{H}$  (a t.a., em  $\text{C}_6\text{D}_6$ , 300 MHz) para o isômero menos polar do composto **23b**. A expansão corresponde à região  $\delta$  4,4 – 3,9 a várias temperaturas. A coalescência dos sinais pode ser observada a 65°C.

Do espectro à temperatura ambiente, parâmetros como  $\Delta\nu$  e  $\Delta P$  são determinados.  $T_c$  é determinada através da inspeção cuidadosa dos espectros obtidos a diferentes temperaturas. Essas variáveis, além de  $X$ , que é determinado através da equação 4.7, página 71, foram aplicadas na equação 4.6, página 71, e forneceram os valores das barreiras apresentados na Tabela 4.5

**Tabela 4.5** – Barreiras rotacionais (em kcal mol $^{-1}$ ) observadas através de RMN  $^1\text{H}$  (em  $\text{C}_6\text{D}_6$ ) para os compostos apresentados na Figura 3.5, página 46.

	<b>21</b>	<b>23a</b>	<b>23b</b>	<b>24</b>	<b>34</b>	<b>35</b>	<b>38</b>	<b>41</b>	<b>40</b>	<b>42</b>	<b>43</b>
$\Delta G^\ddagger$ <sup>a)</sup>	17,1	16,2	>16,8	16,5	>17,6	16,2	>17,5	16,2	17,1	17,2	16,9
$\Delta G^\ddagger$ <sup>b)</sup>	16,8	16,2	>16,6	16,3	>16,7	15,7	>16,7	15,8	16,9	16,7	16,7

a) para o processo  $E \rightarrow Z$ .

b) para o processo  $Z \rightarrow E$ .

Zanatta e colaboradores<sup>80</sup> realizaram um estudo em que descreveram a influência das diversas variáveis da equação 4.6, página 71, sobre o erro da medida de  $\Delta G^\ddagger$  e concluíram que  $T_c$  é a variável que mais contribui para o erro. Nas condições utilizadas nos experimentos desse trabalho (variação de 5°C), estima-se o erro das medidas em  $\pm 0,2 \text{ kcal mol}^{-1}$ .

#### 4.2.2 - Compostos com grupos retiradores de elétrons.

Tomando-se o composto **21** como referência, tem-se que a inserção de grupos que estejam em conjugação com o átomo de nitrogênio, diminuindo a densidade eletrônica sobre o mesmo, provocam uma diminuição na barreira rotacional, como esperado. Um caso extremo ocorre para o derivado da 5-oxo-prolina (**22**), cujo valor da barreira é tão baixo que mesmo a uma temperatura de -50°C (em CHCl<sub>3</sub>) não foi possível a observação de separação dos sinais de cada confôrmero. No caso do enecarbamato **24**, a conjugação do átomo de nitrogênio com a dupla ligação endocíclica também reduz, menos drasticamente, a barreira rotacional desse composto.

Os resultados obtidos estão de acordo com aqueles relatados por Galardy e colaboradores,<sup>37a</sup> que são esquematicamente apresentados na Figura 4.3.



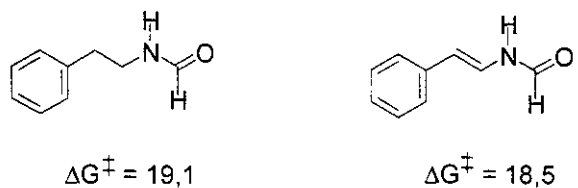
**Figura 4.3** - Algumas prolinas modificadas estudadas por Galardy e colaboradores.<sup>37a</sup>

É interessante notar que a redução na barreira no caso do derivado da 2,3-desidro-prolina (**51**) é bem maior que no caso da 4,5-desidro-prolina (**24**). Isso se deve ao fato de que em **51**, o grupo carboxil também se encontra conjugado com

<sup>80</sup> Bonacorso, H. G.; Caro, M. S. B.; Zanatta, N. e Martins, M. A. P.; *Química Nova* 1992, 15, 208.

a dupla ligação, tornando-se coplanar ao sistema amídico. Essa coplanaridade instabiliza os estados fundamentais por interações estéreas, que são aliviadas no estado de transição, diminuindo a barreira rotacional mais fortemente em **51** que em **24**, que possui apenas um átomo de hidrogênio coplanar ao sistema amídico.

Recentemente Somanathan e colaboradores<sup>81</sup> publicaram seus estudos sobre barreira rotacional de *N*-alquenilamidas que vêm de encontro ao resultados ora relatados, até mesmo no valor da redução da energia de ativação para a isomerização rotacional com a substituição de um grupo -CH<sub>2</sub>CH<sub>2</sub>- por um -CHCH- $\alpha$  nitrogênio. A Figura 4.4 apresenta dois dos compostos estudados pelos pesquisadores, e os valores de suas barreiras.



**Figura 4.4** - Energia de ativação, em kcal mol<sup>-1</sup>, para a conversão E → Z para dois dos compostos estudados por Somanathan e colaboradores.

#### 4.2.3 - A barreira rotacional dos derivados das dialometanoprolinas.

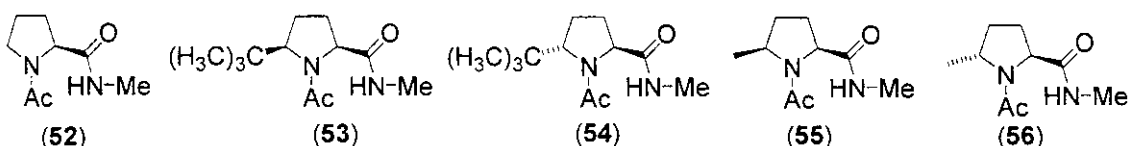
Estudando-se a série de derivados das 4,5-dihalometanoprolinas, pode-se perceber que os produtos *trans* (**34** e **38**) possuem barreira rotacional superior à do composto **21**, enquanto o composto *cis* (**35**) possui barreira inferior. Esse tipo de comportamento também é encontrado em outros derivados diastereoméricos da prolina em C-5. (Tabela 4.6).

<sup>81</sup> Aguirre, G.; Somanathan, R.; Hellberg, L. H.; Dwyer, T. J. e North, R.; *Magn. Reson. Chem.* 2003, **41**, 131.

**Tabela 4.6** - Prolinas modificadas diasteroméricas em C-5 e suas barreiras rotacionais.

Composto	Solvente	$\Delta G^{\ddagger a}$	Método	Ref.
<b>52</b>	D <sub>2</sub> O	20,4	TS	82
<b>53</b>	D <sub>2</sub> O	16,5	coalescência	83
<b>54</b>	D <sub>2</sub> O	20,2	TS	83
<b>55</b>	D <sub>2</sub> O	19,0	coalescência	82
<b>55</b>	DMSO-d <sub>6</sub>	17,9	coalescência	82
<b>56</b>	DMSO-d <sub>6</sub>	19,7	coalescência	82

a) em kcal mol<sup>-1</sup>.



Segundo Delaney e Madison<sup>82</sup>, a variação nas barreiras rotacionais dos derivados das 5-metilprolinas se deve a interações estéreas desestabilizantes nas geometrias de equilíbrio, sendo essas mais intensas para o composto *cis* (**53**). Kang<sup>84</sup>, por outro lado, após cálculos *ab initio* no nível HF/6-31+G\* afirma que a variação ocorre por causa de interações desfavoráveis no estado de transição na seguinte ordem **53** < **52** < **54**.

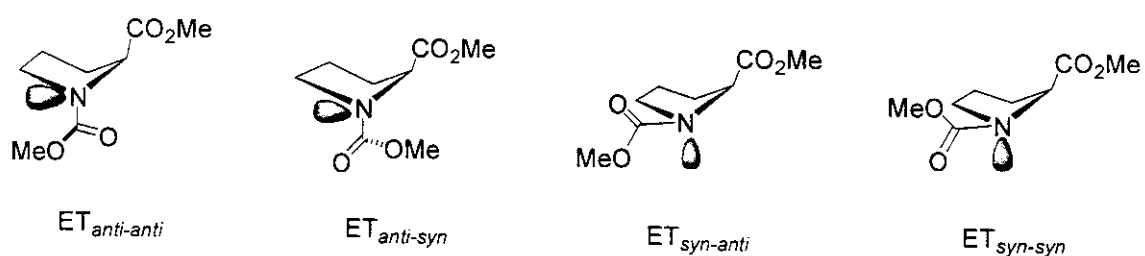
Para o caso das dialometanoprolinas do presente estudo, acreditamos que a variação na barreira rotacional na ordem **35** < **21** < **34** se deva a fatos distintos, sendo uma maior interação desestabilizante nos estados fundamentais do isômero *cis* (**35**) o responsável pela diminuição na barreira desse composto quando comparada com a de **21** e uma maior desestabilização no(s) estado(s) de transição no isômero *trans* (**34**). Para se verificar essa hipótese, realizamos uma série de cálculos *ab initio* no nível HF/6-31G\*.

<sup>82</sup> Delaney, N. G. e Madison, V.; *Int. J. Pept. Protein. Res.* 1982, 19, 543.

<sup>83</sup> Beausoleil, E. e Lubell, W. D.; *J. Am. Chem. Soc.* 1996, 118, 12902.

<sup>84</sup> Kang, Y. K.; *J. Mol. Struct. (Theochem)* 2002, 585, 209.

Antes de prosseguirmos com os resultados dos cálculos, é necessário que se saiba que, enquanto amidas e carbamatos mais simples apresentam apenas dois estados de transição, conforme apresentado anteriormente, no caso das prolinas, devido à presença de um centro quiral, há a possibilidade de quatro estados-de-transição diastereoméricos.<sup>85</sup> Esses estados-de-transição serão classificados nesse trabalho conforme a geometria relativa do par de elétrons do nitrogênio e carbonila do carbamato, bem como a posição relativa do éster em C-2 e o grupamento carbamato de tal forma que o estado-de-transição com o par de elétrons não-ligante do nitrogênio *antiperiplanar* à carbonila e o grupo metoxicarbonílico do nitrogênio *trans* ao éster será denominado ET<sub>anti-anti</sub>. Quando o par de elétrons se posicionar *synperiplanar* ao grupo metoxicarbonílico, o estado-de-transição será denominado ET<sub>syn-anti</sub>. Ainda, os outros dois estados-de-transição (ET<sub>syn-anti</sub> e ET<sub>syn-syn</sub>) resultam da modificação da orientação dos grupos carbonílicos (Figura 4.5).



**Figura 4.5** - Possíveis estados de transição para *N*-carbometoxiprolinato de metila.

Hillier e colaboradores<sup>86</sup>, em 1991, estudaram o isomerismo rotacional da *N*-acetilprolina (**49**), Figura 4.3, página 78, com o hamiltoniano AM1. Os autores observaram apenas dois estados-de-transição para o processo, o ET<sub>anti-syn</sub> e o ET<sub>anti-anti</sub>, sendo o primeiro desfavorecido em relação ao segundo por

<sup>85</sup> Fischer, G.; *Chem. Soc. Rev.* **2000**, 29, 119.

<sup>86</sup> Green, D. V. S.; Hillier, I. H.; Morris, G. A.; Gensmantel, N.; Payling, D. W. e Robinson, D. H.; *J. Mol. Struct. (Theochem)* **1991**, 251, 173.

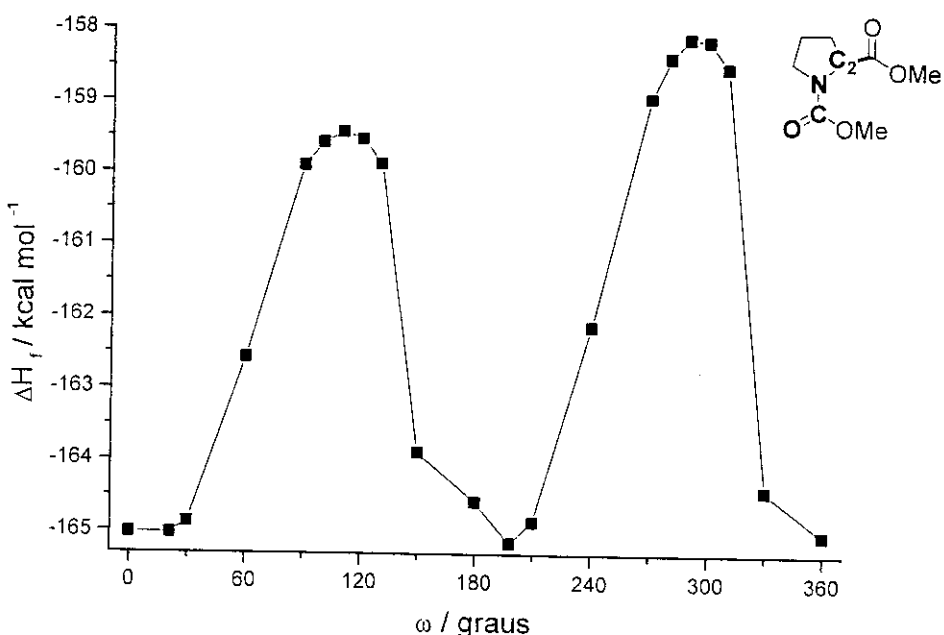
3,1 kcal mol<sup>-1</sup>. A maior energia de ET<sub>anti-syn</sub> foi atribuída a uma maior repulsão entre a carbonila amídica e a do grupo carboxílico, uma vez que ambos se encontram eclipsados. Os autores ressaltaram ainda que os resultados eram apenas qualitativos uma vez que os métodos semi-empíricos não descrevem de forma satisfatória a isomerização rotacional.

Futuramente, Karplus e colaboradores<sup>87</sup> relataram o estudo da isomerização da *N*-acetil-*N'*-metilprolilamida (**52**), Tabela 4.6, página 80, por mecânica molecular e cálculo *ab initio* (HF/6-31G\*). Neste trabalho os autores não encontraram verdadeiramente os estados-de-transição, mas sim uma aproximação dos mesmos, pois utilizaram uma restrição a um ângulo de diedro como forma de simular a rotação da ligação N-C(O). Duas geometrias de maior energia, correspondentes a ET<sub>anti-syn</sub> e ET<sub>syn-anti</sub>, foram encontradas, sendo essa 3 kcal mol<sup>-1</sup> menos estável que aquela.

Em 1999, Kang e Jhon,<sup>88</sup> num estudo mais rigoroso em que os estados-de-transição foram otimizados como estados estacionários, só observaram a geometria correspondente a ET<sub>anti-syn</sub> como o único estado-de-transição no nível HF/6-31+G\*. Ressaltaram, contudo, que a geometria ET<sub>syn-anti</sub> foi identificada como um ponto estacionário em níveis mais baixos de teoria (HF/4-31G e HF/3-21G).

Nesse trabalho, estudou-se a barreira rotacional de diversos carbamatos derivados de prolinas por cálculo *ab initio* no nível HF/6-31G\*. Para minizar o custo computacional, buscaram-se as possíveis geometrias para estado-de-transição através de cálculo semi-empírico utilizando-se o hamiltoniano AM1 da seguinte forma: a partir das geometrias de equilíbrio encontradas anteriormente (veja capítulo 3, páginas 55-ss.) variou-se o ângulo de diedro  $\omega$  definido pelos átomos H<sub>3</sub>CO-C(O)-N-C2 (Figura 4.7) de 0 a 360° em incrementos de 30°. Nas regiões de máximo (120° e 300°), os ângulos foram variados em incrementos de 10°. Os resultados obtidos para o *N*-carbometoxiprolinato de metila (**21**) são apresentados na Figura 4.7 e representam o comportamento típico dos diversos compostos estudados.

<sup>87</sup> Fischer, S.; Dunbrack, R. L, Jr.; Karplus, M.; *J. Am. Chem. Soc.* **1994**, *116*, 11931.



**Figura 4.7** -  $\Delta H_f$  (obtido através do hamiltoniano AM1) para a *N*-carbometoxiprolinato de metila (**21**) em função do ângulo de diedro  $\omega$ .

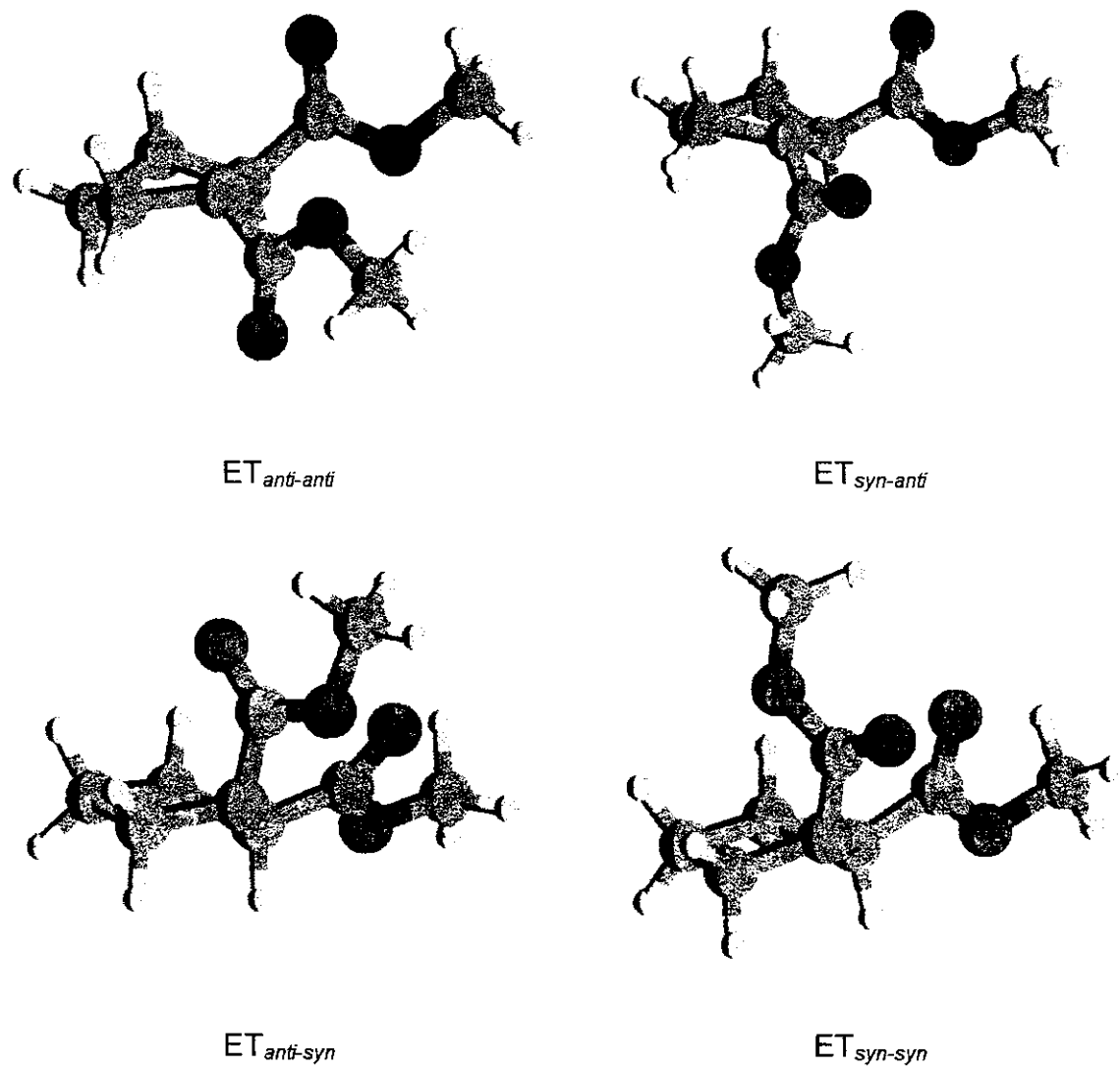
Para **21**, os máximos próximos a  $120^\circ$  e  $300^\circ$  têm a geometria correspondente às de ET<sub>syn-anti</sub> e ET<sub>anti-anti</sub>, respectivamente.

Essas estruturas tiveram, então, a geometria otimizada com relação ao ângulo de diedro  $\psi$  conforme apresentado no capítulo 3, páginas 55-56. Nessas buscas, eventualmente se observava inversão do átomo de nitrogênio, encontrando-se, assim, estruturas correspondentes às geometrias ET<sub>syn-syn</sub> e ET<sub>anti-syn</sub>.

As quatro geometrias obtidas dessa forma foram, a seguir, utilizadas como *input* para cálculos *ab initio* no nível HF/6-31G\* conforme implementado no programa Gaussian. Utilizou-se o algoritmo associado à keyword TS na busca dos estados de transição (pontos de sela). Realizou-se a análise vibracional em todas as geometrias finais para se verificar que se tratavam dos estados-de-transição

<sup>88</sup> Jhon, J. S. e Kang, Y. K.; *J. Phys. Chem. A* **1999**, *103*, 5436.

correspondentes ao processo em estudo, ou seja, apresentavam uma e apenas uma freqüência imaginária correspondente à rotação da ligação N-C(O). Chegou-se, dessa, às quatro estruturas de ET apresentadas na Figura 4.8.



**Figura 4.8:** Estados-de-transição para o *N*-carbometoxiprolinato de metila (**21**).

Alguns parâmetros energéticos como energia total e energia relativa (antes e posteriormente às correções vibracionais e termodinâmicas para 298 K e 1 atm), bem como alguns parâmetros geométricos são apresentadas na Tabela 4.7.

**Tabela 4.7 - Parâmetros energéticos e geométricos calculados (HF/6-31G\*) para estruturas de equilíbrio e estados-de-transição de *N*-carbometoxiprolinato de metila (21).**

Conf.	$E_T$ / hartrees	$E_{rel}$ <sup>a)</sup>	G / hartrees	$\Delta G$ <sup>a)</sup>	$\Sigma$ âng. / graus	d N-C(O) / Å	d C=O / Å
Z	-664,458257	0,00	-664,291254	0,00	359,48	1,3471	1,1982
E	-664,457705	0,35	-664,290798	0,29	359,00	1,3484	1,1958
$ET_{syn-syn}$	-664,420770	23,52	-664,420770	24,25	336,87	1,4174	1,1813
$ET_{syn-anti}$	-664,426083	20,19	-664,259171	20,13	341,39	1,4079	1,1831
$ET_{anti-syn}$	-664,424545	21,15	-664,255976	22,14	330,02	1,4213	1,1909
$ET_{anti-anti}$	-664,427824	19,10	-664,260761	19,13	337,39	1,4119	1,1899

a) em kcal mol<sup>-1</sup>.

Pelos dados anteriores, podem-se ordenar os quatro possíveis estados de transição na seguinte ordem crescente de energia  $ET_{anti-anti} < ET_{syn-anti} < ET_{anti-syn} < ET_{syn-syn}$ . Atribui-se a maior energia dos estados-de-transição com as carbonilas com geometria relativa *cis* ( $ET_{anti-syn}$  e  $ET_{syn-syn}$ ) a uma maior interação estérica entre esses grupos quando comparadas com os estados de transição em que a relação entre esses grupos é *trans* ( $ET_{anti-anti}$  e  $ET_{syn-anti}$ ). Ainda, dentro desses dois grupos,  $ET_{anti-anti}$  tem menor energia do que  $ET_{syn-anti}$ , bem como  $ET_{anti-syn}$  é menos energético que  $ET_{syn-syn}$ , por evitar interações dipolares desestabilizantes entre o par de elétrons não-ligante do nitrogênio e o oxigênio carbonílico, a exemplo dos estados de transição em amidas mais simples. Além disso, o estado-de-transição de menor energia para carbamatos ( $ET_{anti-anti}$ ) não corresponde àquele encontrado por Kang e John para *N*-acetil-*N'*-metil-prolilamida ( $ET_{anti-syn}$ ).<sup>88</sup>

A mudança de hibridização do átomo de nitrogênio do carbamato ao longo da rotação também pode ser facilmente observada através do somatório dos

ângulos de ligação do átomo de nitrogênio nas diversas conformações de **21**. Nas geometrias de equilíbrio, esse átomo possui hibridização essencialmente  $sp^2$  conforme atesta a soma dos ângulo das ligações nesse centro (próximo a  $360^\circ$ ). Já nos estados-de-transição, a hibridização com maior grau  $sp^3$  é atestada por um menor valor desse somatório (num nitrogênio com essa hibridização, o valor da soma dos ângulos de ligação deveria estar próximo a  $327^\circ$ ).

O aumento do comprimento da ligação N-C(O) com sua rotação da geometria de equilíbrio até a geometria de um dos estados de transição é explicado através da diminuição da sobreposição dos orbitais p do nitrogênio e  $\pi^*$  do sistema carbonílico,<sup>89</sup> causando uma diminuição na ordem dessa ligação e, consequentemente, um aumento no seu comprimento. Paralelamente, esperar-se-ia um aumento de mesma ordem de magnitude da ligação C=O, o que, no entanto, não é observado. Tanto o aumento do comprimento da ligação N-C(O), quanto a diminuição menos acentuada da C=O estão de acordo com dados experimentais para amidas conformacionalmente restritas, em que a conjugação do par de elétrons do nitrogênio com o sistema carbonílico é prejudicado por fatores geométricos.<sup>90</sup>

O mesmo procedimento para obtenção dos estados-de-transição foi aplicado ao composto **34** e os resultados obtidos são apresentados na Tabela 4.8.

**Tabela 4.8** - Parâmetros energéticos e geométricos calculados (HF/6-31G\*) para estruturas de equilíbrio e estados de transição do *N*-carbometóxi-*trans*-4,5-diclorometanoprolinato de metila (**34**).

Conf.	$E_T$ / hartrees	$E_{ref}$ <sup>a)</sup>	$G$ / hartrees	$\Delta G$ <sup>a)</sup>	$\Sigma \text{âng.}$ / graus	$d \text{ N-C(O)}$ / Å	$d \text{ C=O}$ / Å
Z	-1620,075733	0,00	-1619,919883	0,00	359,91	1,3555	1,1949
E	-1620,074569	0,73	-1619,919565	0,69	359,80	1,3572	1,1926
$ET_{\text{syn-syn}}$	-	-	-	-	-	-	-
$ET_{\text{syn-anti}}$	-1620,043804	20,04	-1619,893177	20,46	348,72	1,4167	1,1830
$ET_{\text{anti-syn}}$	-1620,039440	22,77	-1619,888072	24,35	330,88	1,4299	1,1884
$ET_{\text{anti-anti}}$	-1620,04473	19,45	-1619,893618	20,87	344,86	1,4191	1,1846

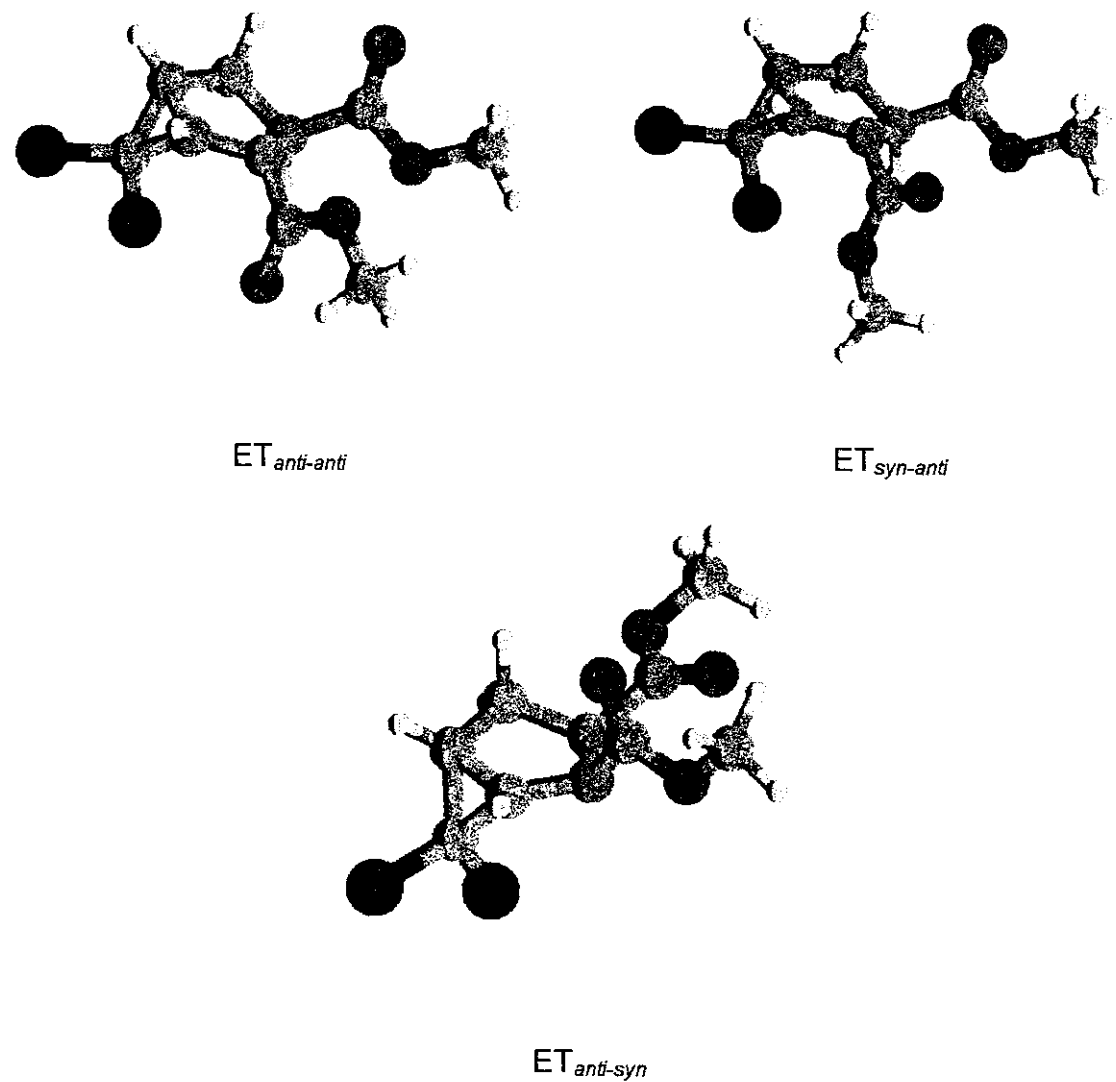
a) em kcal mol<sup>-1</sup>.

<sup>89</sup> a) Wiberg, K. B. e Breneman, C. M.; *J. Am. Chem. Soc.* **1992**, *114*, 831.

b) Bain, A. D.; Hazendonk, P. e Couture, P.; *Can. J. Chem.* **1999**, *77*, 831.

<sup>90</sup> a) Wang, Q. P.; Bennet, A. J.; Brown, R. S. e Santarsiero, B. D.; *J. Am. Chem. Soc.* **1991**, *113*, 7563.

A Figura 4.9 apresenta a geometria encontrada para os ETs no nível HF/6-31G\*.



**Figura 4.9:** Estados-de-transição encontrados no nível HF/6-31G\* para **34**.

No caso de **34** não foi possível a localização de  $\text{ET}_{\text{syn-syn}}$  no hamiltoniano AM1. A ordem energética dos demais estados-de-transição encontrados, no entanto, mantiveram a mesma ordem observada para os de **21**. Comparando-se

b) Bennet, A. J.; Somayaji, V.; Brown, R. S. e Santarsiero, B. D.; *J. Am. Chem. Soc.* **1991**, *113*, 5757.

os valores de energia relativa dos estados-de-transição,  $E_{\text{rel}}$ , dos ETs de **21** e **34**, nota-se um leve aumento da energia de  $\text{ET}_{\text{anti-anti}}$  (de 19,10 para 19,45 kcal mol<sup>-1</sup>), que é ainda maior no caso de  $\Delta G$  (de 19,13 para 20,87 kcal mol<sup>-1</sup>). Essa variação energética pode ser devida a uma maior estabilização das geometrias de equilíbrio que dos estados de transição, ou a uma maior desestabilização dos estados de transição que das geometrias de equilíbrio, ou ainda a uma desestabilização das geometrias de equilíbrio e uma concomitante estabilização dos estados-de-transição.

Como **21** e **34** têm constituição distintas, uma comparação direta de suas energias totais,  $E_T$ , ou  $G$  não é possível. Para se avaliar qual o comportamento energético dos diversos confôrmeros com a modificação estrutural, é necessário se recorrer a uma reação isodésmica, cujo conceito foi primeiramente introduzido por Hehre, Ditchfield e Pople<sup>91</sup> e tem sido de grande utilidade em interpretações físico-químico-orgânicas. Nesse tipo de reação, podendo ser de origem hipotética ou não, o número de cada tipo de ligação formal em cada lado de uma equação química é mantido constante, havendo, contudo, modificações nas suas relações<sup>92</sup>. O esquema 4.1 apresenta um exemplo simples retirado do *Journal of Chemical Education*<sup>92a</sup> e permite demonstrar de forma bastante pedagógica a potencialidade do uso desse conceito.



**Esquema 4.1** - Exemplo de reação isodésmica e calor de formação padrão, em kcal mol<sup>-1</sup>, para diversos compostos envolvidos.

O esquema anterior apresenta a reação do cátion *n*-propílio (**57**) com o propeno (**58**), fornecendo o *n*-propano (**59**) e o cátion alílio (**60**). Os reagentes são

<sup>91</sup> Hehre, W. J.; Ditchfield, R. e Pople, J. A.; *J. Am. Chem. Soc.* **1970**, 92, 4796.

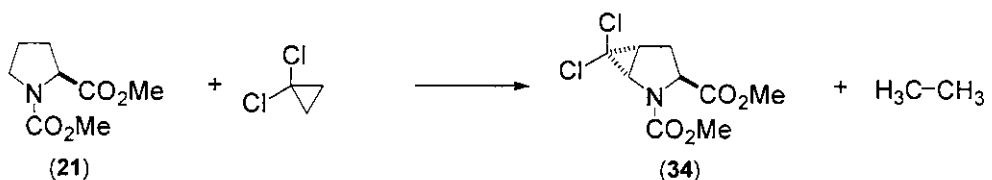
<sup>92</sup> a) Ponomarev, D. A. e Takhistov, V. V.; *J. Chem. Ed.* **1997**, 74, 201.

b) Muller, P; *Pure App. Chem.* **1994**, 66, 1077.

estruturados por um total de 13 ligações  $\sigma$  C-H, 4  $\sigma$  C-C e 1  $\pi$  C-C, sendo que é quebrada uma ligação  $\sigma$  C-H enquanto outra é formada durante a reação. O mesmo número total de cada tipo de ligação é observado no lado dos produtos e, se o sentido contrário for levado em consideração, tem-se que cada tipo quebrada e formada nesse processo é idêntico ao do anterior, o que caracteriza a reação como isodésmica.

O calor de formação ( $\Delta H_f^0$ ), em kcal mol<sup>-1</sup>, de cada espécie é apresentado abaixo de sua estrutura. A análise direta do  $\Delta H_f^0$  dos cátions indica que *n*-propílio (57) possui menor calor de formação que o cátion alílico (60), sendo, portanto, no conjunto, um sistema termodinamicamente mais estável.<sup>92a</sup> No entanto, ao se excluir a energia necessária para a formação de cada cátion, ou seja, ao se empregar a reação isodésmica apresentada anteriormente, observa-se uma variação de -11,8 kcal mol<sup>-1</sup> na energia do sistema, indicando um processo exotérmico e, portanto, uma maior estabilidade do cátion alílico (60) do que do *n*-propílio (57).<sup>92a</sup>

A fim de se avaliar as modificações estruturais nos derivados da prolina, procedeu-se à utilização da reação isodésmica apresentada no Esquema 4.2.



**Esquema 4.2** - Reação isodésmica para estudo da estabilidade relativa da *N*-carbometoxiprolinato de metila e *N*-carbometóxi-*trans*-4,5-diclorometanoprolinato de metila.

A tabela 4.9 apresenta os valores de  $\Delta E_T$  e  $\Delta G$ , em kcal mol<sup>-1</sup>, para a reação do Esquema 4.2 com as moléculas nas diversas conformações de interesse. Esses valores são obtidos pela diferença da soma de  $E_T$  (ou  $G$ ) dos produtos e dos reagentes. O valor de  $E_T$  para 1,1-diclorociclopropano e etano são, respectivamente, -1034,851621 e -79,228755 hartrees. Os valores de  $G$  (a

298,15 K e 1 atm) para esses mesmos compostos são -1034,820136 e -79,180675 hartrees, respectivamente. Já os valores de  $E_T$  e G para as várias conformações de 21 e 34 podem ser encontrados nas Tabelas 4.7 e 4.8.

**Tabela 4.9** - Variações energéticas, em kcal mol<sup>-1</sup>, a partir de cálculos teóricos no nível HF/6-31G\*, para as diversas conformações dos compostos participantes da reação isodésmica apresentada no Esquema 4.2.

conf.	<i>E</i>	<i>Z</i>	$ET_{syn-anti}$	$ET_{anti-syn}$	$ET_{anti-anti}$
$\Delta E_T$	3,38	3,77	3,23	5,00	3,74
$\Delta G$	2,41	2,80	3,42	4,62	4,14

Esses resultados indicam uma desestabilização de ambas as geometrias de equilíbrio com a inserção *trans* do diclorometileno na estrutura da *N*-carbometoxiprolinato de metila (21). Esse desfavorecimento energético é atribuído a um aumento de interações estéreas com a formação do biciclo. É importante notar também que a desestabilização é levemente maior para o confôrmero *Z* do que para o *E*, o que pode ser justificado pela interação dipolar desfavorável entre o grupamento diclorometileno e carbonílico do carbamato naquela geometria, conforme discutido no capítulo 3, páginas 61-ss..

Com relação aos estados-de-transição tem-se que suas energias são afetadas com a modificação estrutural realizada na seguinte ordem crescente  $ET_{syn-anti} < ET_{anti-anti} < ET_{anti-syn}$ . Essa ordem pode ser adequadamente explicada se levarmos em consideração que em  $ET_{syn-anti}$  e  $ET_{anti-anti}$  o grupo metoxicarbonil se encontra posicionado *cis* ao diclorometileno, enquanto que em  $ET_{anti-syn}$  é o par de elétrons não-ligante do nitrogênio que se encontra direcionado para o diclorometileno (queira ver Figura 4.9, página 87), e é possivelmente esse direcionamento que leva a um incremento significativo na energia dessa geometria. Similarmente, a desestabilização de  $ET_{anti-anti}$  com relação a  $ET_{syn-anti}$  foi atribuído à orientação do oxigênio carbonílico em direção ao diclorometileno naquele, enquanto nesse o oxigênio do grupo metoxila, com uma densidade eletrônica menor, é o que se encontra próximo aos átomos de halogênio.

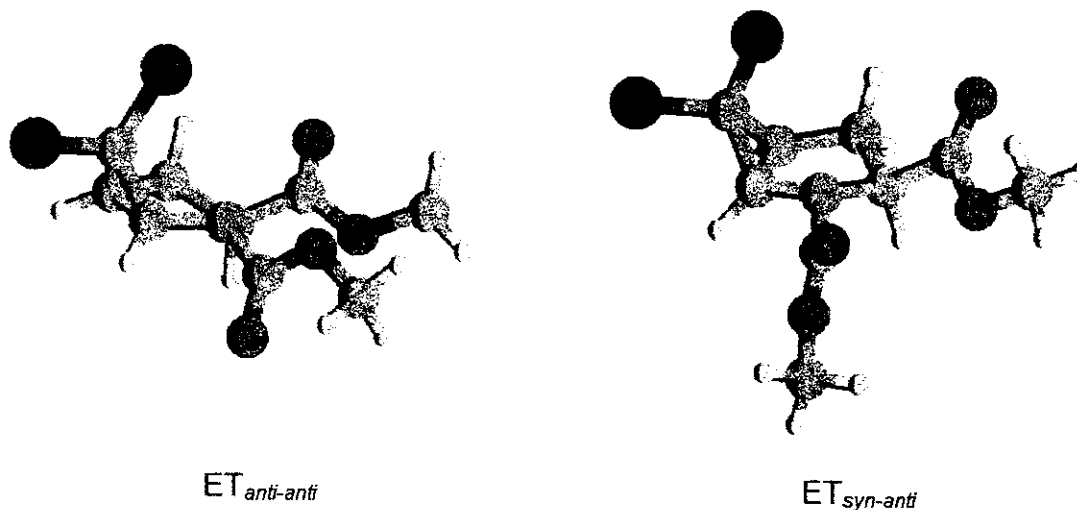
O derivado da *cis* 4,5-diclorometanoprolina (**35**) também foi estudado computacionalmente e alguns dos resultados obtidos são apresentados na Tabela 4.10.

**Tabela 4.10** - Parâmetros energéticos e geométricos calculados (HF/6-31G\*) para estruturas de equilíbrio e estados de transição do *N*-carbometóxi-*trans*-4,5-diclorometanoprolinato de metila (**35**).

Conf.	$E_T$ / hartrees	$E_{rel}$ <sup>a)</sup>	G / hartrees	$\Delta G$ <sup>a)</sup>	$\Sigma \text{âng.}$ / graus	d N-C(O) / Å	d C=O / Å
Z	-1620,069751	0,00	-1619,919883	0,00	357,84	1,3566	1,1950
E	-1620,069295	0,29	-1619,919565	0,20	358,52	1,3600	1,1932
ET <sub>syn-syn</sub>	-	-	-	-	-	-	-
ET <sub>syn-anti</sub>	-1620,041782	17,55	-1619,891793	17,63	341,94	1,4153	1,18046
ET <sub>anti-syn</sub>	-	-	-	-	-	-	-
ET <sub>anti-anti</sub>	-1620,044190	16,04	-1619,891793	16,34	337,04	1,4188	1,1882

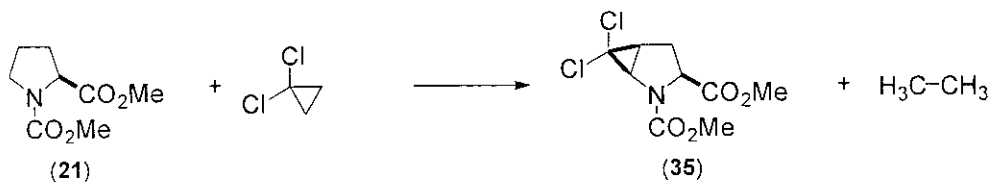
a) em kcal mol<sup>-1</sup>.

A Figura 4.10 apresenta as geometrias encontradas para os estados-de-transição no nível HF/6-31G\*.



**Figura 4.10:** Estados-de-transição localizados no nível HF/6-31G\* para **35**.

No caso de **35**, duas geometrias,  $\text{ET}_{\text{anti-syn}}$  e  $\text{ET}_{\text{syn-syn}}$ , não foram localizadas como estados estacionários no nível HF/6-31G\* de teoria. Também se nota uma diminuição da energia relativa dos estados-de-transição encontrados quando comparados às das geometrias correspondentes de **21**. Dessa vez, a diminuição da barreira energética pode ser devida a uma maior desestabilização das geometrias de equilíbrio do que dos estados de transição, ou a uma maior estabilização desses que daqueles, ou ainda a uma desestabilização das geometrias de equilíbrio acompanhada de uma estabilização dos estados-de-transição. Similarmente à análise conduzida para **34**, utilizar-se-á o recurso de uma reação isodésmica (a apresentada no Esquema 4.3) para a quantificação dos efeitos da modificação estrutural na prolina nas diversas geometrias de interesse.



**Esquema 4.3** - Reação isodésmica para estudo da estabilidade relativa da *N*-carbometoxiprolinato de metila e *N*-carbometóxi-*cis*-4,5-diclorometanoprolinato de metila.

As variações energéticas são apresentadas na Tabela 4.11. Esses valores são obtidos pela diferença da soma de  $E_T$  (ou  $G$ ) dos produtos e dos reagentes. O valor de  $E_T$  para 1,1-diclorociclopropano e etano são, respectivamente, -1034,851621 e -79,228755 hartrees. Os de  $G$  são -1034,820136 e -79,180675 hartrees respectivamente. Já os valores de  $E_T$  e  $G$  para as várias conformações de **21** e **35** podem ser encontrados nas Tabelas 4.7 e 4.10.

**Tabela 4.11** - Variações energéticas, em kcal mol<sup>-1</sup>, a partir de cálculos teóricos no nível HF/6-31G\*, para as diversas conformações dos compostos participantes da reação isodésmica apresentada no Esquema 4.3.

conf.	Z	E	ET <sub>syn-anti</sub>	ET <sub>anti-anti</sub>
ΔE <sub>T</sub>	7,14	7,08	4,50	4,08
ΔG	6,80	6,71	4,29	4,00

Os dados apresentados mostram uma desestabilização aproximadamente igual e bastante intensa para ambos os confôrmeros de **35** quando comparada com os de **21**. Além disso, a desestabilização das conformações *E* e *Z* de **35** é maior que aquela observada para as de **34**, conforme atestam os valores de ΔE<sub>T</sub> e ΔG apresentados nas tabelas 4.9 (página 90) e 4.11, bem como os valores de E<sub>T</sub> nas tabelas 4.8 (página 86) e 4.10 (página 91), que podem ser diretamente comparados, uma vez que **34** e **35** são isômeros.

A maior desestabilização das geometrias de equilíbrio em **35** se deve a um maior congestionamento estérico e repulsão eletrônica do que em **34**, visto que em **35** o grupo metoxicarbonílico e diclorometileno se encontram do mesmo lado do anel pirrolidínico. Para minimizar essas interações desfavoráveis em **35**, há uma diminuição da planaridade do átomo de nitrogênio (em **34** o somatório dos ângulos de ligação do nitrogênio nas geometrias de equilíbrio é bastante próximo a 360°, enquanto que em **36** é próximo a 358°), permitindo uma melhor distribuição espacial desses grupos.

Os estados-de-transição caracterizados também sofrem desestabilização com a ciclopropanação *cis*. As razões desse desfavorecimento energético são análogas àquelas discutidas para **34**. Neste composto, contudo, ET<sub>syn-anti</sub> é mais desestabilizado que ET<sub>anti-anti</sub>, visto que é naquele que o par de elétrons não-ligantes do nitrogênio se posiciona mais próximo aos átomos de halogênio do diclorometileno.

Também deve ser notado que o aumento energético dos estados-de-transição é menor do que os das geometrias de equilíbrio. Essa menor desestabilização é devida à mudança de hibridização do átomo de nitrogênio de

$sp^2$  em Z e E para  $sp^3$  nos estados-de-transição, a exemplo da diminuição de planaridade nas geometrias de equilíbrio de 35 quando comparadas com as de 34.

#### 4.2.4 - A barreira rotacional no derivados de 4-X-prolinas.

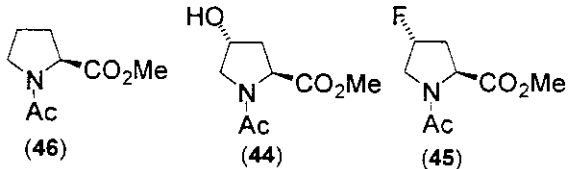
Paralelamente ao observado para o equilíbrio conformacional de N-carbometóxi-4-X-prolinatos de metilas, em que X = -OH, -F ou =O, as modificações inseridas no anel pirrolidínico não causaram variações na barreira rotacional, exceto para X = =O, em que se observa uma diminuição da ordem de 1 kcal mol<sup>-1</sup> na energia de ativação.

Essa invariância é contrastante com o comportamento descrito por Raines e colaboradores<sup>28</sup> para compostos análogos, apresentados na Tabela 4.12, em que se observou uma diminuição na barreira com o aumento da eletronegatividade do substituinte em C-4.

Tabela 4.12 - Barreiras rotacionais, em kcal mol<sup>-1</sup>, para N-acetil-4-X-prolinas.

Substrato	Solvente	$\Delta H^\ddagger$
30	D <sub>2</sub> O	23,5
30	DMSO-d <sub>6</sub>	23,2
31	D <sub>2</sub> O	22,2
32	DMSO-d <sub>6</sub>	19,9

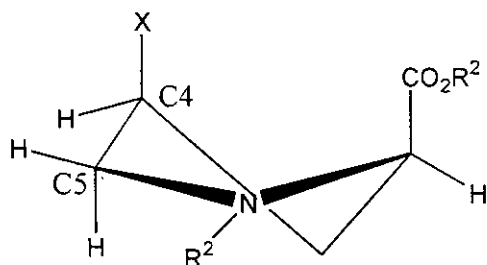
$\Delta H^\ddagger$  em kcal mol<sup>-1</sup>.



Com esse conjunto de dados em mãos, começamos a questionar o efeito indutivo como o responsável pela diminuição da barreira rotacional nos compostos estudados por Raines.<sup>93</sup>

<sup>93</sup> Correia, C. R. D e Rigotti, I. J. C.; "C-4 substituents on N-acyl prolines: electronegative effects or molecular orbital interactions?", P-31, VIII Encontro de usuários de Ressonância Magnética Nuclear - I

Em seguida, Barone e colaboradores<sup>94</sup> relataram seus resultados de estudos quanto-mecânicos na tentativa de elucidar o papel estereoeletrônico de substituintes em C-4 na prolina e na estabilidade do colágeno. Neste estudo os autores mostram que o anel pirrolidínico tende a adotar uma conformação tal que o substituinte eletronegativo adote uma posição axial no anel *trans* a ligações C-H, de tal forma que se estabeleça uma interação  $\sigma_{C-H} \rightarrow \sigma^*_{C-F}$  com ligações dos carbonos C-5 e C-4 que possuírem orientação adequada. Ou seja, nos casos em que a configuração em C-4 é *R*, a conformação do anel deve ser *exo*, enquanto nos casos em que a configuração é *S*, a conformação adotada será *endo* (Figura 4.10), conforme discutido no capítulo 3, páginas 51-ss..



**Figura 4.10 - Conformação *endo* para o anel pirrolidínico para o um substituinte X eletronegativo em C-4.**

Havendo essa interação de orbitais moleculares, a ligação C4-C5 teria uma ordem maior do que um, o que permitiria uma certa deslocalização do par de elétrons não-ligantes do nitrogênio sobre o anel pirrolidínico, diminuindo a força da ligação amídica e, consequentemente, reduzindo a barreira rotacional.<sup>94</sup> Deve-se lembrar que essas interações serão tanto maiores quanto mais eletronegativo for o substituinte em C-4.

A análise conduzida por Barone<sup>94</sup> é interessante, mas leva em consideração apenas as geometrias de equilíbrio do processo rotacional, descartando o(s) estado(s)-de-transição.

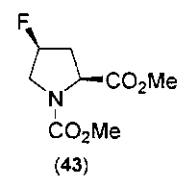
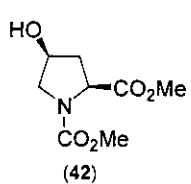
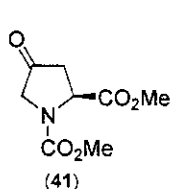
Encontro Luso-Brasileiro de Ressonância Magnética Nuclear, Livro de Resumos, p. 91, Angra dos Reis, 2001.

<sup>94</sup> Impronta, R.; Benzi, C. e Barone, V.; *J. Amer. Chem. Soc.* **2001**, 123, 12568.

A fim de verificar os efeitos o grau dos efeitos estabilizantes, se existentes, nos carbamatos, realizou-se a otimização das geometrias de equilíbrio e buscaram-se as estruturas dos estados de transição para **41**, **42** e **43**, conforme metodologia apresentada anteriormente. Alguns parâmetros geométricos e energéticos são apresentados nas Tabelas 4.13.

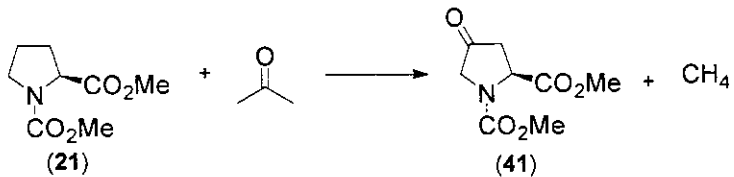
**Tabela 4.13** - Parâmetros energéticos e geométricos calculados (HF/6-31G\*) para estruturas de equilíbrio e estados de transição do *N*-carbometóxi-*cis*-4-hidroxiprolinato de metila, *N*-carbometóxi-*cis*-4-fluorprolinato de metila e *N*-carbometóxi-4-oxoprolinato de metila.

Comp.	Conf.	$E_{\text{rel}}$	$\Delta G$	$\Sigma \text{âng.}$	$d \text{ N-C(O)}$	$d \text{ C=O}$
<b>42</b>	<i>Z</i>	0,00	0,00	359,9	1,3479	1,1989
	<i>E</i>	0,74	0,55	360,0	1,3495	1,1952
	$ET_{\text{syn-syn}}$					
	$ET_{\text{syn-anti}}$	19,19	19,31	343,0	1,4082	1,1833
	$ET_{\text{anti-syn}}$	19,17	20,29	340,5	1,4114	1,1897
	$ET_{\text{anti-anti}}$	18,22	18,47	338,5	1,4117	1,1891
<b>43</b>	<i>Z</i>	0,00	0,00	359,0	1,3509	1,1962
	<i>E</i>	-0,10	-0,04	358,7	1,3520	1,1952
	$ET_{\text{syn-syn}}$	24,14	24,76	338,2	1,4200	1,1812
	$ET_{\text{syn-anti}}$	20,36	20,01	341,4	1,4092	1,1818
	$ET_{\text{anti-syn}}$	20,85	21,37	341,9	1,4122	1,1885
	$ET_{\text{anti-anti}}$	18,68	18,75	334,0	1,4165	1,1891
<b>41</b>	<i>Z</i>	0,00	0,00	356,4	1,3558	1,1959
	<i>E</i>	0,68	0,56	356,5	1,3568	1,1931
	$ET_{\text{syn-syn}}$	-	-	-	-	-
	$ET_{\text{syn-anti}}$	19,97	20,20	336,0	1,4127	1,1812
	$ET_{\text{anti-syn}}$	18,40	19,50	340,8	1,4131	1,1887
	$ET_{\text{anti-anti}}$	17,53	18,12	334,7	1,4197	1,1878



Os dados acima indicam que para todos os compostos o caminho preferencial para a rotação é através de  $E_T^{\text{anti-anti}}$  e que para **43** há uma redução próxima a 0,4 kcal mol<sup>-1</sup> na energia de ativação para o processo, enquanto para **42** esse valor é da ordem de 0,7 kcal mol<sup>-1</sup>. Esses valores não se correlacionam diretamente com a eletronegatividade dos substituintes. Já **41** possui a barreira calculada cerca de 1 kcal mol<sup>-1</sup> abaixo da observada para Pro, paralelo ao determinado experimentalmente.

A reação isodésmica apresentada no Esquema 4.4 foi utilizada como sonda de uma maior estabilização do(s) estado(s)-de-transição de **41** através de uma interação  $n_N \rightarrow \pi^*_{C=O}$ , uma vez que nos estados-de-transição o par de elétrons não-ligantes estão mais disponíveis que nas geometrias de equilíbrio.



**Esquema 4.4** - Reação isodésmica para estudo da estabilidade relativa da *N*-carbometoxiprolinato de metila e *N*-carbometóxi-4-oxoprolinato de metila (**41**) .

Os resultados obtidos através do cálculo da variação energética na reação do Esquema 4.4 para os compostos nas diversas conformações de interesse são apresentados na Tabela 4.14. Os valores de energia para **21** e **41** encontram-se nas Tabelas 4.7 e 4.13 respectivamente. Os valores de  $E_T$  e  $G$  para metano e formaldeído no nível HF/6-31G\* são -40,195172 e -40,172172 e -113,866331 e -113,861215 hartrees respectivamente.

**Tabela 4.14** - Variações energéticas, em kcal mol<sup>-1</sup>, a partir de cálculos teóricos no nível HF/6-31G\*, para as diversas conformações dos compostos participantes da reação isodésmica apresentada no Esquema 4.4.

conf.	Z	E	ET <sub>anti-anti</sub>	ET <sub>anti-syn</sub>	ET <sub>syn-anti</sub>
ΔE <sub>T</sub>	-15,13	-14,79	-16,69	-17,88	-15,35
ΔG	-27,60	-27,32	-28,61	-30,23	-27,53

Os resultados da reação isodésmica vêm de encontro com a hipótese proposta de maior estabilização do estado-de-transição do que das geometrias de equilíbrio, acarretando na diminuição da barreira rotacional observada para 21.

#### **4.3 - Conclusões**

As barreiras rotacionais dos diversos *N*-cabometoxiprolinatos de metila estudados são da ordem de 17 kcal mol<sup>-1</sup>, podendo ser maior ou menor que esse valor de acordo com as modificações estruturais efetuadas no anel pirrolidínico.

23 e 24 são compostos que possuem uma menor energia de ativação para a topomerização devido à presença de grupos retiradores de elétrons diretamente ligados ao átomo de nitrogênio. No caso de 23 o valor é tão baixo que não pode ser calculado mesmo a uma temperatura de -50°C.

Já o grupo dos derivados das dialometanoprolinas apresentou um comportamento da barreira dependente da estereoquímica da ciclopropanação de tal forma que os produtos com estereoquímica *trans* têm uma barreira maior que o do *N*-cabometoxiprolinato de metila, enquanto que o produto *cis* apresenta o comportamento contrário. A aplicação de dados obtidos por cálculos *ab initio* (HF/6-31G\*) a reações isodésmicas adequadas confirmaram a hipótese de que, no caso dos produtos *trans*, há uma maior desestabilização dos estados de transição que das geometrias de equilíbrio, enquanto que no caso do produto *cis* há uma maior desestabilização das geometrias de equilíbrio que dos estados-de-transição.

Para os derivados das 4-X-prolinas, ao contrário do relatado para os compostos *N*-acetilados, não se observaram variação significativa da barreira rotacional com o aumento da eletronegatividade de X, exceto para o *N*-carbometóxi-4-oxo-prolinato de metila, cuja barreira é 1 kcal mol<sup>-1</sup> menor que de *N*-carbometoxiprolinato de metila.

#### **4.4 - Perspectivas Futuras**

Utilizar cálculos *ab initio* para o planejamento de prolinas modificadas que apresentem barreira rotacional elevada e o equilíbrio deslocado para um dos confôrmeros.

## **5 – Parte Experimental**

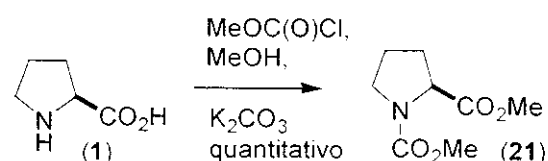
## 5. Parte Experimental

Reagentes e solventes foram utilizados como recebidos, exceto quando condições anidras foram necessárias. Nestes casos, a purificação e a secagem foram realizadas conforme descrito na literatura.<sup>95</sup> As reações conduzidas em condições anidras foram realizadas em vidraria seca e sob atmosfera inerte ( $N_2$  ou Ar). As reações foram acompanhadas por cromatografia de camada delgada em cromatofolhas de alumínio recobertas com sílica-gel HG254 (Merck). Os produtos, quando indicado, foram purificados por cromatografia *flash* em colunas de sílica. Os eluentes e sistemas de revelação são citados no texto. Análises por cromatografia gasosa foram realizadas em cromatógrafo HP 6890 com coluna HP5 e arraste de hidrogênio nas seguintes condições: temperatura inicial do forno, 100°C, 1 minuto; taxa de elevação da temperatura, 10°C por minuto; temperatura final, 250°C; tempo final, 10 minutos; detector, FID. No caso das análises por cromatografia gasosa com coluna quiral, a coluna utilizada foi a Chirasil-dex (25 m x 0,32 mm) da Chrompack. A pressão do gás de arraste e a programação do forno são indicadas em cada caso. Os espectros na região do infravermelho foram obtidos em um espectrômetro FTIR da marca Niclet Impact410, na forma de filme líquido ou filme sólido, entre placas de NaCl. Os espectros de RMN foram obtidos no espectrômetro Varian Gemini 300BB, Varian Inova 500 ou Bruker AC 300/P. Os valores de rotação ótica foram medidos em polarímetro Carl Zeiss Polamat A, com lâmpada de mercúrio. As análises de espectrometria de massas em alta resolução foram realizadas no aparelho Autoespec-Micromass-EBE.

---

<sup>95</sup> Amarego, W. L. F. e Perrin, D. D.: *Purification of Laboratory Chemicals*, 4<sup>a</sup> Ed. Butterworth-Heinemann, Bath, 1997.

### 5.1 - Biproteção da Prolina. Síntese do N-carbometoxiprolinato de metila.



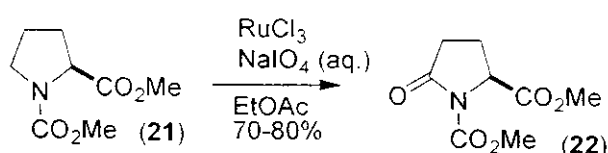
Realizado de acordo com as referências 12 e 24.

#### Dados Espectroscópicos

Em concordância com aqueles descritos nas referências 12 e 24.

RMN <sup>1</sup>H (C<sub>6</sub>D<sub>6</sub>, 300 MHz, t.a.), δ  
[4.48 (t, J = 6 Hz) e 4.25 (dd, J = 5 e 6 Hz, 1H); 3,72-3,32 (m, 2H); [3.57 (s) e 3,45 (s) e 3,42 (s), 6H]; 3,23-3,10 (m, 1H); 1,82-1,46 (m, 3H); 1,43-1,19 (m, 1H).

### 5.2 - Oxidação do N-carbometoxiprolinato de metila com RuCl<sub>3</sub>.

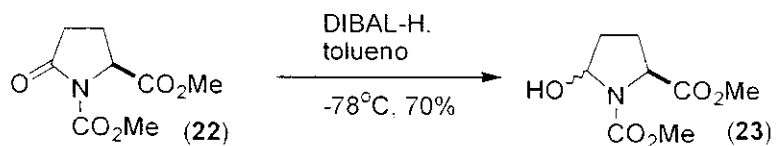


Realizado de acordo com as referências 12 e 24..

#### Dados Espectroscópicos

Em concordância com aqueles descritos nas referências 12 e 24.

**5.3- Síntese do lactamol (23). Redução do *N*-carbometóxi-5-oxoprolinato de metila com DIBAL-H.**



Realizado de acordo com as referências 12 e 24.

*Dados Espectroscópicos*

Em concordância com os dados descritos nas referências 12 e 24.

RMN  $^1\text{H}$  ( $\text{C}_6\text{D}_6$ , 300 MHz, t.a.), referente ao produto menos polar,  $\delta$ :

[5,61 (d,  $J = 5$  Hz) e 5,37 (d,  $J = 5$  Hz), 1H], [4,40 (t,  $J = 7,5$  Hz) e 4,15 (t,  $J = 7$  Hz), 1H], [3,51 (s) e 3,49 (s) e 3,42 (s) e 3,40 (s), 6H], 2,08 – 1,86 (m, 1H), 1,84 – 1,62 (m, 2H), 1,49 – 1,34 (m, 1H).

RMN  $^{13}\text{C}$  ( $\text{C}_6\text{D}_6$ , 125 MHz, t.a.), referente ao produto menos polar,  $\delta$ :

173,7 e 172,6; 155,2 e 154,4; 83,3 e 82,2; 59,7 e 59,1; 52,3 51,9; 51,8; 33,7 e 32,1; 28,0 e 27,1.

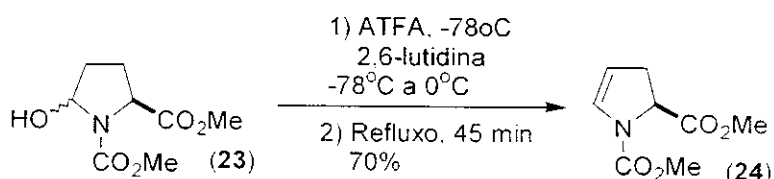
RMN  $^1\text{H}$  ( $\text{C}_6\text{D}_6$ , 300 MHz, t.a.), referente ao produto mais polar,  $\delta$ :

[5,83 (d,  $J = 5$  Hz) e 5,54 (d,  $J = 5$  Hz), 1H], [4,63 (d,  $J = 8,5$  Hz) e 4,38 (d,  $J = 9$  Hz), 1 H], [3,49 (s) e 3,45 (s) e 3,38 (s) e 3,35 (s), 6H], 2,37 – 2,09 (m, 1H), 2,02 – 1,78 (m, 1 H), 1,74 – 1,59 (m, 2H).

RMN  $^{13}\text{C}$  ( $\text{C}_6\text{D}_6$ , 125 MHz, t.a.), referente ao produto mais polar,  $\delta$ :

172,6 e 171,8; 155,6 e 154,7; 83,1 e 82,0; 59,8; 59,3; 58,7; 53,4; 52,6; 52,1; 51,8; 32,5; 31,2; 31,0; 28,3; 27,1; 21,5.

**5.4 Eliminação da hidroxila do lactamol (23) com anidrido trifluoracético e 2,6-lutidina. Síntese do enecarbamato derivado da prolina (24).**



A um balão de 100 mL, contendo 0,2973 g do lactamol (23), adicionaram-se 10 mL de tolueno recém-seco. A solução obtida foi resfriada com um banho de gelo e água por 10 minutos. Adicionaram-se, a seguir, 0,85 mL de 2,6 lutidina e 1,2 mL de uma solução 1,2 mol L<sup>-1</sup> de anidrido trifluoracético em tolueno. Permitiu-se a elevação gradual da temperatura com o tempo.

Após 14 horas, levou-se a solução a refluxo por 45 minutos, quando se resfriou a solução com um banho de gelo e água. Adicionaram-se, a seguir, 20 mL de uma solução aquosa saturada de NaHCO<sub>3</sub>. Mateve-se a mistura bifásica sob agitação por meia hora.

O conteúdo do balão foi transferido para um funil de separação onde se separaram as fases orgânicas e aquosa. A aquosa foi extraída com 3 porções de 25 mL de uma solução 30% (em volume) de AcOEt em hexano. As fases orgânicas reunidas foram secas sobre MgSO<sub>4</sub> e filtradas.

Eliminou-se o solvente em evaporador rotatório, e o bruto reacional foi fracionado por cromatografia em coluna *flash* utilizando-se uma solução (30% em volume) de AcOEt em hexano como eluente. Obteve-se 0,16 g de um óleo caracterizado como o enecarbamato desejado, correspondendo a um rendimento de aproximadamente 70%.

*Dados Físicos*

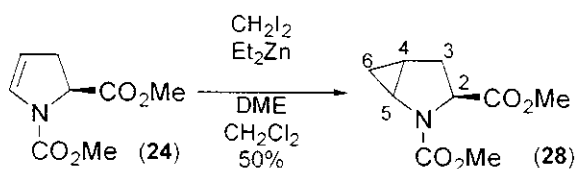
Em concordância com os descritos nas referências 12 e 24.

RMN  $^1\text{H}$  ( $\text{C}_6\text{D}_6$ , 300 MHz, t.a.),  $\delta$ :

[6,78 (sl) e 6,41 (sl, 1H)], [4,62 (dd,  $J = 5$  Hz e 12 Hz) e 4,35 (dd,  $J = 5$  Hz e 12 Hz, 1H], 4,45 (sl, 1H), [3,40 (s) e 3,37 (s) e 3,29 (s) e 3,25 (s), 6H]. 2,57- 2,21 (m, 2H)

Análise por CG quiral: utilizou-se um forno com aquecimento isotérmico a 120°C e  $\text{H}_2$  como gás de arraste a uma pressão de 8 psi. Observaram-se um sinal em 5,2 min (correspondente ao derivado da *D*-prolina) e 5,5 min (correspondente ao derivado da *L*-prolina).

### 5.5 - Cicloadição [2+1] do diidrogenocarbeno ao enecarbamato 24. Síntese da 4,5-metanoprolina (28).



Um balão de 20 mL, contendo 0,120 g de enecarbamato 24, foi purgado abundantemente com  $\text{N}_2$ . A seguir, adicionaram-se ao balão 3 mL de  $\text{CH}_2\text{Cl}_2$  recém-seco sobre  $\text{CaH}_2$ . Após agitação por 10 minutos, resfriou-se a solução com um banho de acetonitrila e gelo-seco por 15 minutos, quando foram adicionados, em seqüência, 0,200 mL de DME [1] e 1,8 mL de uma solução 1,1 mol  $\text{L}^{-1}$  de  $\text{Et}_2\text{Zn}$  em tolueno [1].

Após homogeneinização do meio, 0,157 mL de  $\text{CH}_2\text{I}_2$  foram adicionados. Permitiu-se o aumento gradual da temperatura.

Após noventa horas da adição de  $\text{CH}_2\text{I}_2$ , havia sido formado um sólido branco no meio reacional. Adicionaram-se 8 mL de uma solução aquosa saturada de  $\text{NH}_4\text{Cl}$ . Agitou-se o meio reacional vigorosamente por 10 minutos. Observou-se solubilização do sólido branco. Separaram-se as fases em um funil de separação.

A aquosa foi extraída com 4 porções de 9 mL de CH<sub>2</sub>Cl<sub>2</sub>. As fases orgânicas reunidas foram secas sobre MgSO<sub>4</sub>.

Após remoção do solvente, o bruto foi purificado por cromatografia em coluna *flash*, tendo-se como eluente uma solução de acetato de etila e hexano (30:70, em volume). Obteve-se 0,064 g de um óleo, correspondendo a um rendimento em torno de 50%.

Nota:

[1] Seco, em frasco SureSeal® da Aldrich.

*Dados Físicos* (correspondente ao isômero formado majoritariamente)

R<sub>f</sub> = 0,28 (em hexano: acetato de etila, 30:70, v:v), revelado em ácido fosfomolibídico.

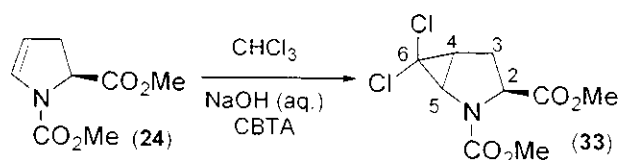
RMN <sup>1</sup>H (CDCl<sub>3</sub>, 500 MHz, t.a.), δ:

[4,64 (dd, J = 11,5 Hz e 3,0 Hz) e 4,55 (dd, J = 11,5 Hz e 3,0 Hz), 1H], [3,74 (s)e 3,71 (s) e 3,70 (s) e 3,66 (s), 6H], [3,62 (td, J = 6,4 Hz e 2,4 Hz) e 3,49 (td, J = 6,4 Hz e 2,40 Hz, 1 H], [2,61 (dddd, J = 13,6 Hz, 11,5 Hz, 5,8 Hz e 0,8 Hz) e 2,56 (dddd, J = 13,6 Hz, 11,5 Hz, 5,8 Hz e 0,8 Hz), 1 H], [2,07 (dd, J = 13,6 Hz e 3,0 Hz) e 2,04 (dd, J = 13,6 Hz e 3,0 Hz), 1 H], 1,58 – 1,48 (m, 1H), [0,88 (dddd, J = 9,4 Hz, 6,4 Hz, 5,4 Hz e 0,8 Hz) e 0,83 (dddd, J = 8,4 Hz, 6,4 Hz, 5,4 Hz e 0,8 Hz), 1H], 0,76 – 0,69 (m, 1H).

RMN <sup>13</sup>C (CDCl<sub>3</sub>, 125 MHz, t.a.), δ:

173,7 e 173,5 (C=O, carbamato); 155,5 e 155,4 (C=O, éster); 59,7 e 59,6 (C-2); 52,7 , 52,6 e 52,3 (OCH<sub>3</sub>); 37,7 e 36,9 (C-5); 31,7 e 30,5 (C-3); 15,5 e 14,4 (C-4); 12,5 e 12,4 (C-6).

**5.6 - Adição do dictorocarbeno ao enecarbamato 24. Síntese da *N*-cabometóxi-4,5-dicloroprolinato de metila.**



A um balão cônico de 5 mL, contendo 0,0825 g de enecarbamato **12** e 5,6 mg de cloreto de benziltrietilâmônio (BTEACl), adicionou-se 1,5 mL de CHCl<sub>3</sub>. À solução, sob forte agitação, adicionou-se 1,5 mL de uma solução aquosa 50 % (em massa) de NaOH. Houve uma mudança instantânea do meio reacional de incolor para castanho-claro.

Após meia hora a reação foi suspensa e adicionaram-se mais 1,5 mL de H<sub>2</sub>O e 1,5 mL de CHCl<sub>3</sub>. Separaram-se as fases, e a aquosa foi extraída com 4 porções de 3 mL de CHCl<sub>3</sub>. As fases orgânicas reunidas foram secas sobre MgSO<sub>4</sub>. Removeu-se o solvente em evaporador rotatório.

O bruto reacional foi purificado através de cromatografia em coluna *flash*, utilizando-se AcOEt em hexano (30: 70, em volume). Isolaram-se dois produtos sendo 0,090 g do majoritário e 0,006 g do minoritário, correspondendo a um rendimento de 80%, aproximadamente.

*Dados Físicos* (correspondentes ao isômero majoritário, N –carbometóxi -(2S, 4R,5S)-4,5-(diclorometano)prolinato de metila):

R<sub>F</sub> = 0,35 (em hexano: acetato de etila, 30:70, v:v), revelado em ácido fosfomolibídico.

Infravermelho (filme líquido sobre janela de NaCl), cm<sup>-1</sup>:

2958, 2873, 1747, 1695, 1454, 1379, 1201, 1128, 1078, 1011, 972, 783

RMN  $^1\text{H}$  ( $\text{CDCl}_3$ , 500 MHz, t.a.),  $\delta$ :

[4.37 (dd,  $J = 10$  Hz e 4,5 Hz) e 4,25 (dd,  $J = 10$  Hz e 4,5 Hz), 1H], [4,02 (d,  $J = 7$  Hz) e 3,87 (d,  $J = 7$  Hz), 1H], [3,81 (s) e 3,76 (s) e 3,76 (s) e 3,73 (s), 6H], [2,67 (dd,  $J = 13$  Hz e 9 Hz) e 2,62 (dd,  $J = 13$  Hz e 9 Hz)], 2,44 – 2,34 (m, 2H).

RMN  $^1\text{H}$  ( $\text{C}_6\text{D}_6$ , 300 MHz):

[4,40 (dd,  $J = 10$  Hz e 4 Hz) e 4,14 (dd,  $J = 10$  Hz e 4 Hz), 1H]; [3,95 (d,  $J = 7$  Hz) e 3,64 (d,  $J = 7$  Hz), 1H]; [3,36 (s) e 3,35 (s) e 3,27 (s) e 3,27 (s), 6H]; 2,11-1,92 (m, 1H); 1,78 - 1,64 (m, 1H); [1,57 (dt,  $J = 1$  Hz e 7 Hz) e 1,49 (dt,  $J = 1$  Hz e 7 Hz)].

RMN  $^{13}\text{C}$  ( $\text{CDCl}_3$ , 125 MHz):

171,6 e 171,5 (C=O, carbamato); 155,8 e 155,3 (C=O, éster); 65,0 e 64,9 (C-6); 63,2 e 62,5 (C-2); 53,4 , 52,6 e 52,5 ( $\text{OCH}_3$ ); 50,3 e 49,3 (C-5); 35,0 e 33,5 (C-4); 31,4 e 30,1 (C-3).

EM-IE (alta resolução), m/z: 267,00652 (15%,  $\text{M}^{++}$ ), 232,03605 (10%, [ $\text{M}^{++} - \text{CH}_3^+$ ]), 207,99183 (100%), 128, 02510 (40%). m/z calculado para  $\text{M}^{++}$ : 267,00651.

*Dados Físicos (correspondentes ao isômero minoritário)*

Infravermelho (filme líquido sobre janela de NaCl),  $\text{cm}^{-1}$ :

3003, 2956, 1739, 1701, 1450, 1383, 1200, 1124, 1086, 1038, 779

RMN  $^1\text{H}$  ( $\text{CDCl}_3$ , 500 MHz):

[4,77 (dd,  $J = 10,7$  Hz e 7,3 Hz) e 4,72 (dd,  $J = 10,7$  Hz e 7,8 Hz), 1H], [4,10 (d,  $J = 7,8$  Hz) e 3,94 (d,  $J = 7,8$  Hz), 1H], [3,81 (sl) e 3,73 (sl) e 3,72 (sl), 6H], [2,83 – 2,77 (m) e 2,75 (ddd,  $J = 14,6$  Hz, 10,7 Hz e 7,8 Hz)], 2,41 – 2,30 (m).

RMN  $^1\text{H}$  ( $\text{C}_6\text{D}_6$ , 300 MHz, t.a.),  $\delta$ :

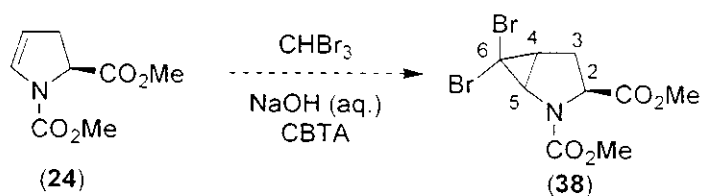
[4,46 (dd,  $J = 8$  Hz e 10 Hz) e 4,17 (sl), 1H]; [3,95 (d,  $J = 7$  Hz) e 3,46 (d,  $J = 8$  Hz)]; [3,32 (s) e 3,29 (s) e 3,43 - 3,19 (m), 7H]; 2,12-1,72 (m, 2H).

RMN  $^{13}\text{C}$  ( $\text{CDCl}_3$ , 75 MHz):

170,0 (C=O, éster); 155,0 (C=O, éster); 64,4; 64,2; 63,4; 53,4; 52,3; 51,1; 34,2; 33,1; 30,6; 29,7; 29,3.

Análise por CG quiral: utilizou-se um forno com aquecimento inicial a  $120^\circ\text{C}$  por 10 minutos, seguido de uma rampa de aquecimento de  $5^\circ\text{C min}^{-1}$  até  $140^\circ\text{C}$ , na qual permaneceu por mais 30 minutos.  $\text{H}_2$  foi o gás de arraste a uma pressão de 8 psi. Observaram-se sinais em 13,1 e 13,2 min (correspondentes aos produtos minoritários da ciclopropanação) e 20,2 e 20,7 min (correspondentes aos produtos majoritários da ciclopropanação).

### 5.7 - Reação entre o dibromocarbeno e enecarbamato 24. Obtenção da N-carbometóxi-4,5-dibromometanoprolinato de metila.



#### Primeira Tentativa

A um balão cônico de 5 mL contendo uma solução de 0,040 g de enecarbamato em 0,5 mL de  $\text{CHBr}_3$ , adicionou-se, sob forte agitação, 2 mg de

cloreto de benziltrielamônio e 0,5 mL de uma solução aquosa 50% (m:m) de NaOH.

Com a adição da base, houve alteração da cor (de incolor para castanha) e da consistência (de líquida para pastosa) do meio reacional.

Após 40 minutos de reação, separaram-se as fases. A aquosa foi extraída com 4 porções de 2 mL de THF. As fases orgânicas reunidas foram secas sob MgSO<sub>4</sub>.

Uma mistura de produtos provavelmente decorrentes de decomposição foi obtida.

#### *Segunda Tentativa*

A um balão contendo 3 mg de cloreto de benziltrielamônio e 40 mg de enecarbamato, adicionaram-se , sob forte agitação, 1 mL de uma solução de bromofórmio em benzeno (1:9, v:v) e 1 mL da solução aquosa 50% (m:m) de NaOH.

Alguns segundos após a adição, observou-se um amarelecimento da mistura. Após 5 horas de reação adicionaram-se 2 mL de H<sub>2</sub>O e 3 mL de C<sub>6</sub>H<sub>6</sub> ao meio reacional.

Agitou-se o meio vigorosamente por 3 minutos, quando se separaram as fases. A aquosa foi extraída com 4 porções de 3 mL de CH<sub>2</sub>Cl<sub>2</sub>. As fases orgânicas reunidas foram secas sob MgSO<sub>4</sub>.

O solvente foi removido em evaporador rotatório.

Novamente uma mistura de produtos foi obtida.

#### *Terceira Tentativa*

A um balão de 5 mL, contendo 68,6 mg do enecarbamato **12**, 2 mg de cloreto de benziltrielamônio e 0,65 mL de CHBr<sub>3</sub>, adicionou-se, sob forte agitação, uma solução de 0,9808 g de KF e 0,1147 g de NaOH em 1 mL de H<sub>2</sub>O.

Observou-se uma mudança na coloração para castanho. Após 6h 20 min a reação foi interrompida, separando-se as fases. A aquosa foi extraída com 4 porções de 4 mL de THF. As fases orgânicas reunidas foram secas sob MgSO<sub>4</sub>.

Após remoção do se voláteis em evaporador rotatório, o bruto reacional foi purificado por cromatografia do tipo *flash* utilizando-se Acetato de etila:Hexano (30:70, volume:volume), obtendo-se um único produto com 50% de rendimento.

#### Dados Físicos

R<sub>F</sub> = 0,20 (em hexano: acetato de etila, 30:70, v:v), revelado em ácido fosfomolíbdico.

#### Infravermelho (filme sobre janela de NaCl)

2957, 2873, 1740, 1699, 1452, 1201, 1128, 1078, 1011, 974, 785

#### RMN <sup>1</sup>H (CDCl<sub>3</sub>, 500 MHz)

[4,37 (dd, J = 10,0 Hz e 4,6 Hz) e 4,26 (dd, J = 10,0 Hz e 4,4 Hz), 1 H]; [4,06 (d, J = 7,3 Hz) e 3,91 (d, J = 7,5 Hz), 1 H]; [3,81 (s) e 3,75 (s) e 3,75 (s) e 3,73 (s), 6 H]; [2,56 (ddd, J = 15,3 Hz, 10,0 Hz, 1,1 Hz) e 2,51 (ddd, J = 15,3 Hz, 10,0 Hz, 1,1 Hz), 1H]; [2,50 (ddd, J = 7,8 Hz, 7,5 Hz, 1,1 Hz) e 2,46 (ddd, J = 7,8 Hz, 7,3 Hz, 1,1 Hz), 1 H]; [2,38 (ddd, J = 15,3 Hz; 4,6 Hz; 7,8 Hz) e 2,35 (ddd, J = 15,3 Hz, 4,4 Hz, 7,8 Hz), 1H].

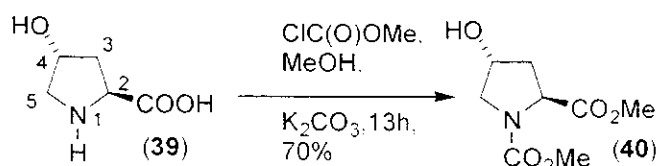
#### RMN <sup>1</sup>H (C<sub>6</sub>D<sub>6</sub>, 300 MHz):

[4,42 (dd, J = 4 Hz e 10 Hz) e 4,16 (dd, J = 4 Hz e 10 Hz), 1H]; [3,99 (d, J = 7 Hz) e 3,69 (d, J = 7 Hz), 1H]; [3,36 (s) e 3,35 (s) e 3,26 (s) e 3,25 (s), 6H]; 2,02-1,83 (m, 2H); 1,76-1,55 (m, 2H).

#### RMN <sup>13</sup>C (CDCl<sub>3</sub>, 75 MHz)

171,6 (**C=O**, éster); 155,6 (**C=O**, carbamato); 63,7 e 63,0 (C-2); 53,4 e 52,6 (OCH<sub>3</sub>); 51,0 e 50,1 (C-5); 37,8 e 37,7 (C-6); 36,4; 34,9 (C-4); 33,2 e 31,8 (C-3).

### 5.8 - Biproteção da 4-trans-hidroxiprolina com cloroformiato de metila.



A um balão de 100 mL, contendo agitador magnético, colocaram-se 1,99g de 4-trans-hidróxi-prolina e 2,2 g de carbonato de potássio anidro. Purgou-se o sistema com nitrogênio, após o quê, solubilizou-se parte do material em 30 mL de MeOH previamente seco sobre Mg/I<sub>2</sub>.

Resfriou-se a mistura com um banho de gelo e água. Adicionaram-se, a seguir, gota-a-gota, 2,8 mL de cloroformiato de metila. Permitiu-se à suspensão atingir a temperatua ambiente gradualmente.

Treze horas após o início da reação, removeu-se o solvente, tomando-se o cuidado de se resfriar inicialmente a mistura com um banho de gelo-seco e etanol a fim de se evitar projeções.

O sólido branco obtido foi lavado com três porções de 30 mL de Acetato de etila.

Removeu-se o solvente em evaporador rotatório e eventuais resíduos voláteis em alto-vácuo, obtendo-se 2,2747 g de um óleo incolor, correspondendo a um rendimento de 75%.

Análise por CG ( $t_r = 9,69$  min) indicou 99% de pureza.

#### Dados Físicos

$R_f = 0,15$  (em hexano:acetato de etila, 40:60, v:v), revelado em ácido fosfomolibídico.

RMN <sup>1</sup>H (C<sub>6</sub>D<sub>6</sub>, 300 MHz, t.a.),  $\delta$ :

[4.67 (t,  $J = 8,1$  Hz) e 4,53 (t,  $J = 8,1$  Hz, 1 H]; 4.06 (d,  $J = 3,0$  Hz, 1H); 3,74-3,43 (m, 2H); [3,41 (s) e 3.40 9s) e 3,39 9s) e 3,32 (s), 6H]; 2,22-1,96 (m, 1H); 1,85-1,69 (m, 1H).

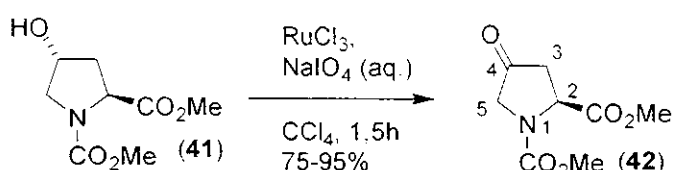
RMN  $^1\text{H}$  ( $\text{CDCl}_3$ , 300 MHz, t.a.),  $\delta$ :

4.55-4,40 (m, 2H); 3,79-3,47 (m, 8H); 3,45-3,24 (sl, 1H); 2,48-2,20 (m, 1H); 2,20-1,95 (m, 1H).

RMN  $^{13}\text{C}$  ( $\text{CDCl}_3$ , 75 MHz),  $\delta$ :

172,9 (C=O, carbamato); 155,5 e 155,1 (C=O, éster); 69,8 e 69,0 (C-4); 57,8 e 57,6 (C-2); 55,0 e 54,5 (C-5); 52,8 , 52,6 e 52,3 ( $\text{OCH}_3$ ); 39,1 e 38,3 (C-3).

### 5.9 - Oxidação do *N*-carbometóxi-4-*trans*-hidroxiprolinato de metila (**41**) com $\text{RuCl}_3$ . Formação da *N*-carbometóxi-4-oxo-prolinato de metila (**42**).



A um balão contendo uma suspensão de 0,027 g de  $\text{RuCl}_3$  em 1 mL de  $\text{CCl}_4$ , adicionaram-se 2 mL de uma solução de 0,210 g de  $\text{NaIO}_4$  em  $\text{H}_2\text{O}$ . A mistura, fortemente agitada, foi mantida sob resfriamento de gelo e água.

Uma solução de 0,100 g de *N*-carbometóxi-*trans*-4-hidroxiprolinato de metila e, 0,7 mL de  $\text{CHCl}_3$ , previamente lavado com  $\text{H}_2\text{O}$  para remoção de álcool, foi vertido no meio reacional.

Após 1,5h, interrompeu-se a agitação. Separaram-se as fases. A aquosa foi extraída com 3 porções de 3 mL de  $\text{CHCl}_3$ . Às fases orgânicas reunidas adicionou-se 1 mL de isopropanol. Agitou-se fortemente a mistura por 1 hora.

Findo o período, filtrou-se a suspensão preta sobre celite. Lavou-se o celite com uma mistura hexano e acetato de etila (40:60, v:v). Evaporou-se o solvente

em evaporador rotatório. Fracionou-se o material em coluna cromatográfica *flash*, sendo utilizado hexano:Acetato de etila (40:60, v:v) como eluente.

Após remoção dos voláteis obtiveram-se 70 mg de material oxidado, correspondendo a 70% de rendimento.

#### Dados físicos

$R_f$  = 0,30 (em hexano:acetato de etila, 40:60, v:v), revelado em ácido fosfomolibídico.

IV (filme sobre janela de NaCl),  $\text{cm}^{-1}$

2958, 1766, 1749, 1707, 1456, 1390, 1200, 1163, 1032, 773

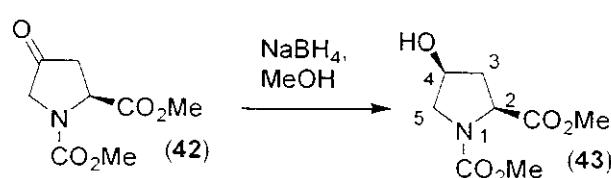
RMN  $^1\text{H}$  ( $\text{C}_6\text{D}_6$ , 500 MHz, t.a.),  $\delta$ :

[4,57 (dd,  $J$  = 5,6 Hz e 7,7 Hz) e 4,33 (sl)], 1H,  $\text{H}^\alpha$ ; 3,91-3,42 (m, 2H,  $\text{H}^\beta$ ); [3,43 (s) e 3,39 (s) e 3,24 (s) e 3,20 (s)], 6H,  $\text{OCH}_3$ ; 2,15-2,02 (m, 2H,  $\text{H}^\beta$ ).

RMN  $^{13}\text{C}$  ( $\text{C}_6\text{D}_6$ , 125 MHz, t.a.),  $\delta$ :

207,0 e 206,2 (C-4); 173,1 e 171,8 ( $\text{C}=\text{O}$ , éster); 155,3 e 154,5 ( $\text{C}=\text{O}$ , carbamato); 56,1; 52,5 e 52,2; 52,0; 40,7 e 40,0 (C-3).

#### 5.10 - Redução da 4-oxo-N-carbometóxi-prolinato de metila a cis-4-hidróxi-N-carbometóxi-prolinato de metila.



0,005 g (0,13 mmol) de boroidreto de sódio foram solubilizados em 1,8 mL de uma solução de  $\text{MeOH}$ :  $\text{Et}_2\text{O}$  (7:9, v:v) e adicionados à uma solução de 0,050 g

(0,25 mmol) de *N*-carbometóxi-4-oxo-prolinato de metila em 1,8 mL de uma mistura de MeOH:Et<sub>2</sub>O (7:9, v:v).

Após 10 minutos de agitação a 0°C, os solventes foram removidos sob pressão reduzida em um evaporador rotatório. O resíduo obtido foi dissolvido em Acetato de etila (8 mL) e lavado com 5 mL de uma solução aquosa saturada de bicarbonato de sódio e com 5 mL de água.

A fase orgânica foi seca sob MgSO<sub>4</sub>. Após filtração o solvente foi removido sob vácuo e o material purificado por cromatografia em coluna *flash* utilizando-se como eluente uma solução Acetato de etila:Hexano (2:1). Obtiveram-se 35 mg de um óleo incolor que correspondem a um rendimento de 90%.

Análises espectroscópicas evidenciaram uma mistura do produto *cis* com o produto *trans* numa proporção de 9:1.

#### Dados espectroscópicos

R<sub>f</sub> = 0,15 (em hexano:acetato de etila, 40:60, v:v), revelado em ácido fosfomolibídico.

IV (filme sobre janela de NaCl), cm<sup>-1</sup>

3454, 2956, 1747, 1693, 1456, 1394, 1207, 1090, 968, 773.

RMN <sup>1</sup>H (300 MHz, C<sub>6</sub>D<sub>6</sub>, t.a.), δ:

[4,34 (d, J = 10 Hz) e 4,15 (d, J = 10 Hz)], 1H, H<sup>a</sup>; 3,92 (sl, 1H, H<sup>c</sup>); 3,75-3,10 (m, 2H, H<sup>b</sup>); [3,45 (s) e 3,44 (s) e 3,35 (s) e 3,33 (s)], 6H, OCH<sub>3</sub>; 2,2-1,56 (m, 2H, H<sup>d</sup>).

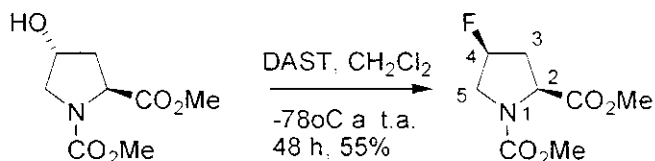
RMN <sup>1</sup>H (500 MHz, CDCl<sub>3</sub>, t.a.), δ:

4,47-4,45 (m, 2H); [3,76 (s) e 3,74 (s) e 3,70 (s) e 3,66 (s), 6H]; 3,76 - 3,49 (m, 3H); 2,43-2,27 (m, 1H); 2,21-2,08 (m, 1H).

RMN  $^{13}\text{C}$  (125 MHz,  $\text{CDCl}_3$ , t.a.),  $\delta$ :

175,0 e 174,5 ( $\text{C}=\text{O}$ , éster); 155,7 e 155,1 ( $\text{C}=\text{O}$ , carbamato); 71,0 e 69,9 (C-4); 58,1 e 57,7 (C-2); 55,8 e 55,5 (C-5); 52,9, 52,8 e 52,7 ( $\text{OCH}_3$ ); 38,9 e 37,8 (C-3).

### 5.11 - Obtenção da cis-4-flúor-N-carbometóxi-prolinato de metila.



0,050 g (0,25 mmol) de *trans*-4-hidróxi-prolina sob atmosfera inerte foram solubilizados em 2 mL de  $\text{CH}_2\text{Cl}_2$  previamente seco. A solução foi resfriada a -72°C com um banho de gelo-seco e EtOH.

Adicionou-se 0,17 mL de DAST. Permitiu-se a solução atingir gradualmente a temperatura ambiente, mantendo-se a agitação por 48 horas.

Removeu-se o solvente em evaporador rotatório, e adicionaram-se 0,8 mL de  $\text{H}_2\text{O}$  ao resíduo. Observou-se a liberação de gases e aquecimento do meio.

A água foi removida sob vácuo e o óleo escuro obtido foi cromatografado por coluna *flash*, utilizando-se como eluente uma mistura de Acetato de etila:Hexano (20:80). Ao final obtiveram-se 28 mg de um óleo incolor, correspondendo a um rendimento de 55%.

#### Dados Espectroscópicos

RMN  $^1\text{H}$  (300 MHz,  $\text{CDCl}_3$ , t.a.),  $\delta$

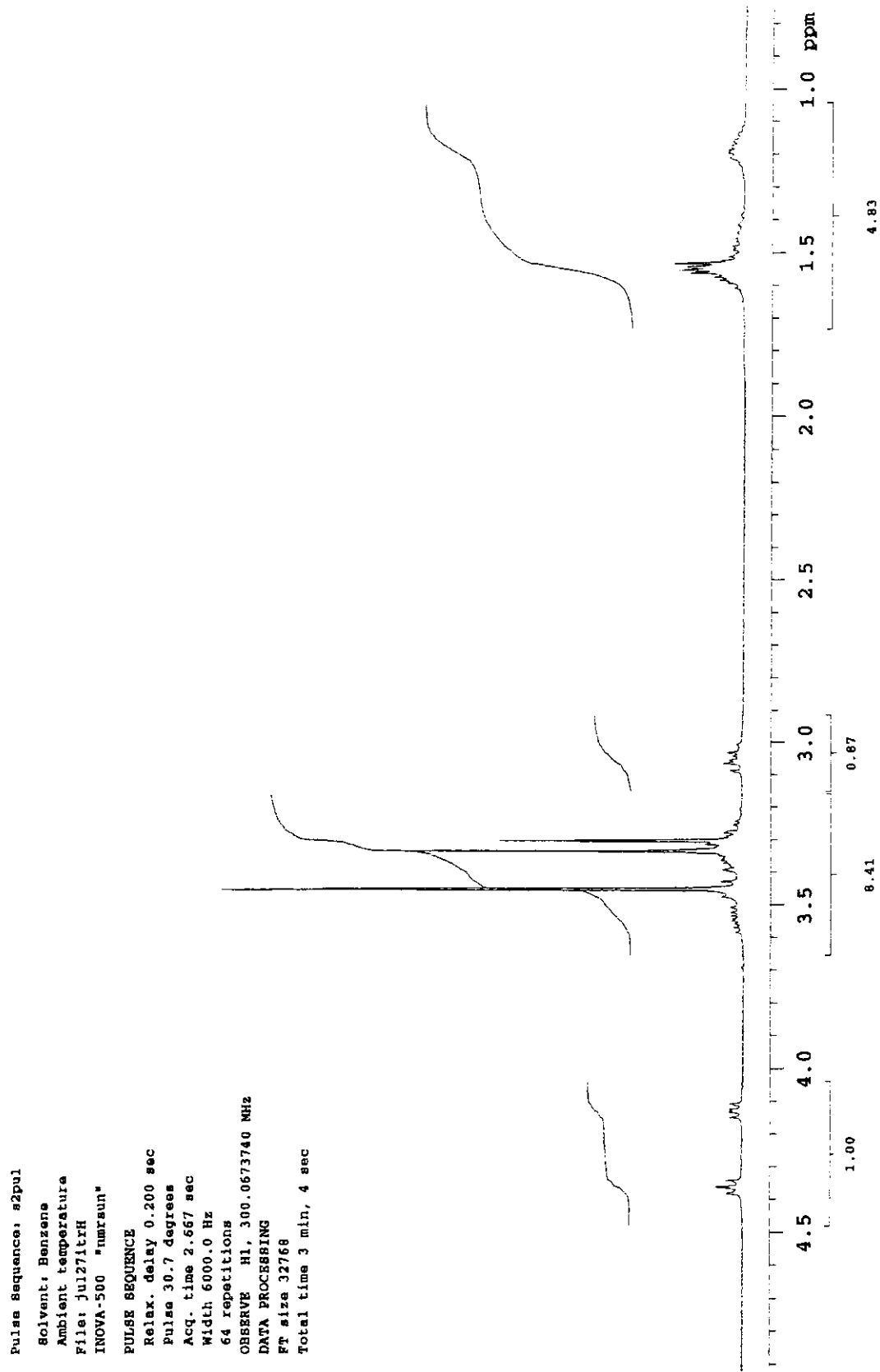
[5,23 (dt,  $J = 3,6$  Hz e 53 Hz) e 5,22 (dt,  $J = 3,6$  Hz e 53 Hz)],  $\text{H}^\beta$ , 1H; [4,59 (d,  $J = 9,7$  Hz) e 4,52 (d,  $J = 9,7$  Hz)],  $\text{H}^\alpha$ , 1H; 4,03-3,55 (m,  $\text{H}^\delta$ , 2 H); [3,75 (s) e 3,71 (s)],  $\text{OCH}_3$ , 6H; 2,71-2,19 (m,  $\text{H}^\beta$ , 2H).

RMN  $^1\text{H}$  (500 MHz, C<sub>6</sub>D<sub>6</sub>, t.a.),  $\delta$ :

[4.48 (d,  $J = 10$  Hz) e 4,22 (d,  $J = 10$  Hz), 1 H]; [4,37 (dt,  $J = 3$  Hz e 53 Hz) e 4,33 (dt,  $J = 3$  Hz e 53 Hz), 1H]; [3,82 (dd,  $J = 14$  Hz e 27 Hz) e 3,61 (dd,  $J = 14$  Hz e 27 Hz), 1H]; [3,47 (s) e 3,45 (s) e 3,32 (s) e 3,31 (s), 6H]; [3,27 (ddd,  $J = 4$  Hz, 14 Hz e 36 Hz) e 3,03 (ddd,  $J = 4$  Hz, 14 Hz e 36 Hz), 1H]; 2,18-2,03 (m, 1H); 1,48-1,40 (m, 1H).

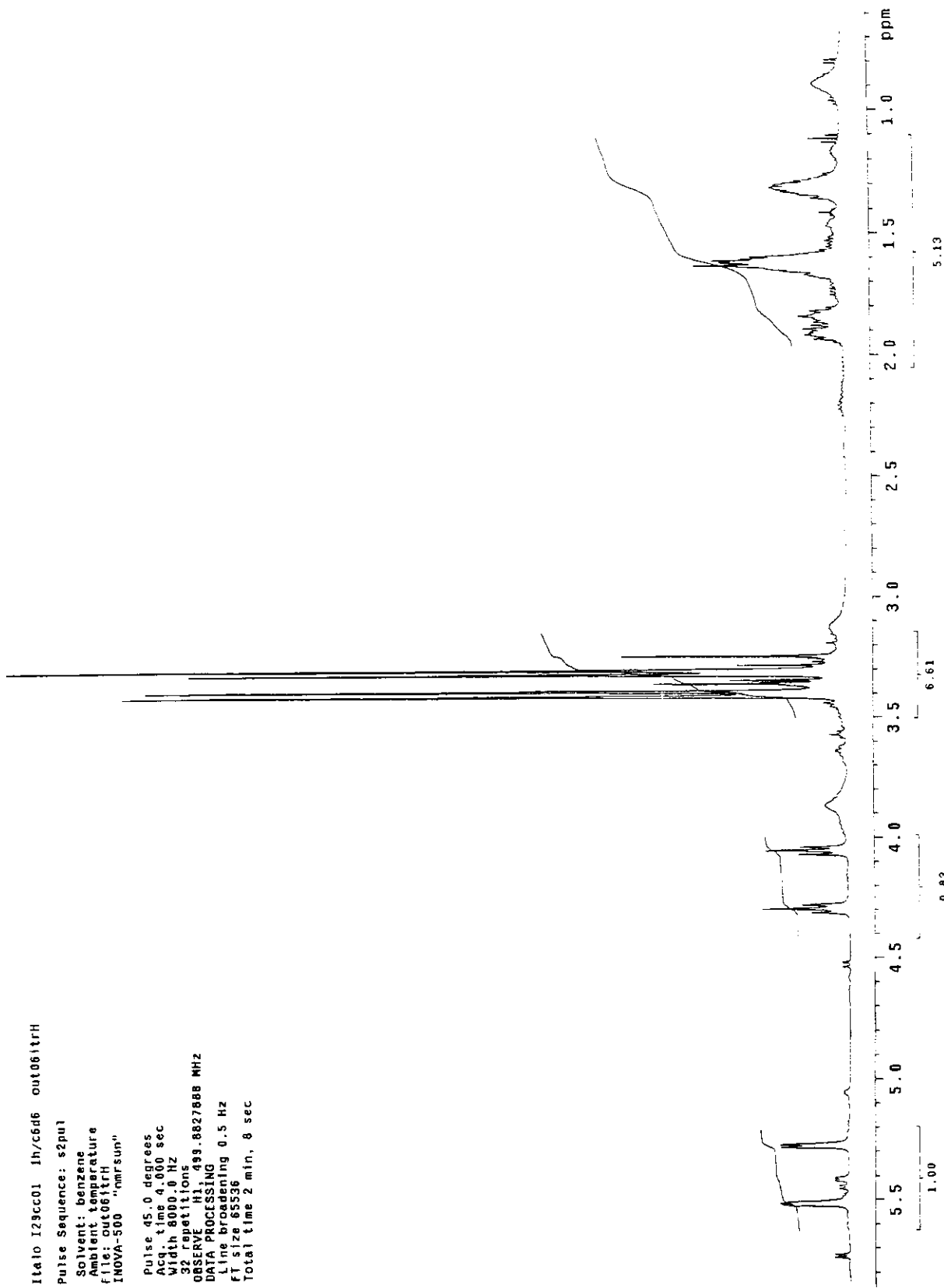
RMN  $^{13}\text{C}$  (125 MHz, C<sub>6</sub>D<sub>6</sub>, t.a.),  $\delta$ :

171,5 e 171,3 (**C=O**, éster); 154,4 e 154,7 (**C=O**, carbamato); 91,9 (d,  $J = 175$  Hz) e 91,0 (d,  $J = 179$  Hz), C-4; 57,7 e 57,4 (C-2); 53,5 (d,  $J = 24$  Hz) e 53,2 (d,  $J = 24$  Hz), C-5; 53,1; 52,7 e 52,4 (OCH<sub>3</sub>); 37,6 (d,  $J = 22$  Hz) e 37,6 (d,  $J = 22$  Hz), C-3.



**Figura 5.1:** Espectro de RMN  $^1\text{H}$  (300 MHz,  $\text{C}_6\text{D}_6$ ) de **21** à temperatura ambiente.

Italo I29cc01 1h/c6d6 out06trH  
 Pulse Sequence: s2pu1  
 Solvent: benzene  
 Ambient temperature  
 File: out06trH  
 INOVA-500 "nmrsun"  
  
 Pulse 90.0 degrees  
 Acq. time 4.000 sec  
 Width 8000.0 Hz  
 32 repetitions  
 OBSERVE H1, d99 8827888 MHz  
 DATA PROCESSING  
 Line broadening 0.5 Hz  
 FT size 65536  
 Total time 2 min, 8 sec

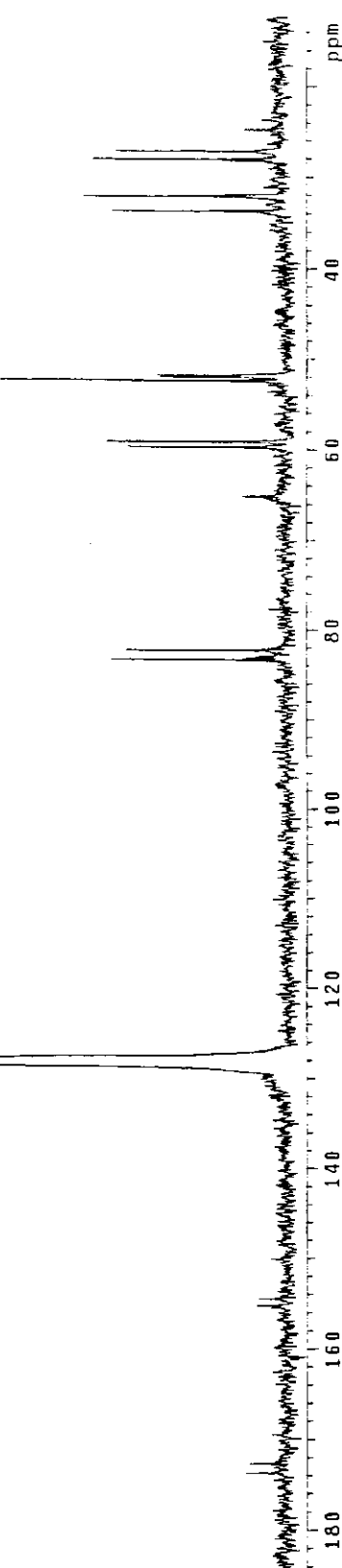


**Figura 5.2:** Espectro de RMN  $^1H$  (500 MHz,  $C_6D_6$ ) de **22a**, à temperatura ambiente.

Italo 199cc01 C6D6 out061trc  
 Pulse Sequence: s2pul  
 Solvent: Benzene  
 Ambient temperature  
 User: 1-14-87  
 File: out061trc  
 INOVA-500 "nmrsun"

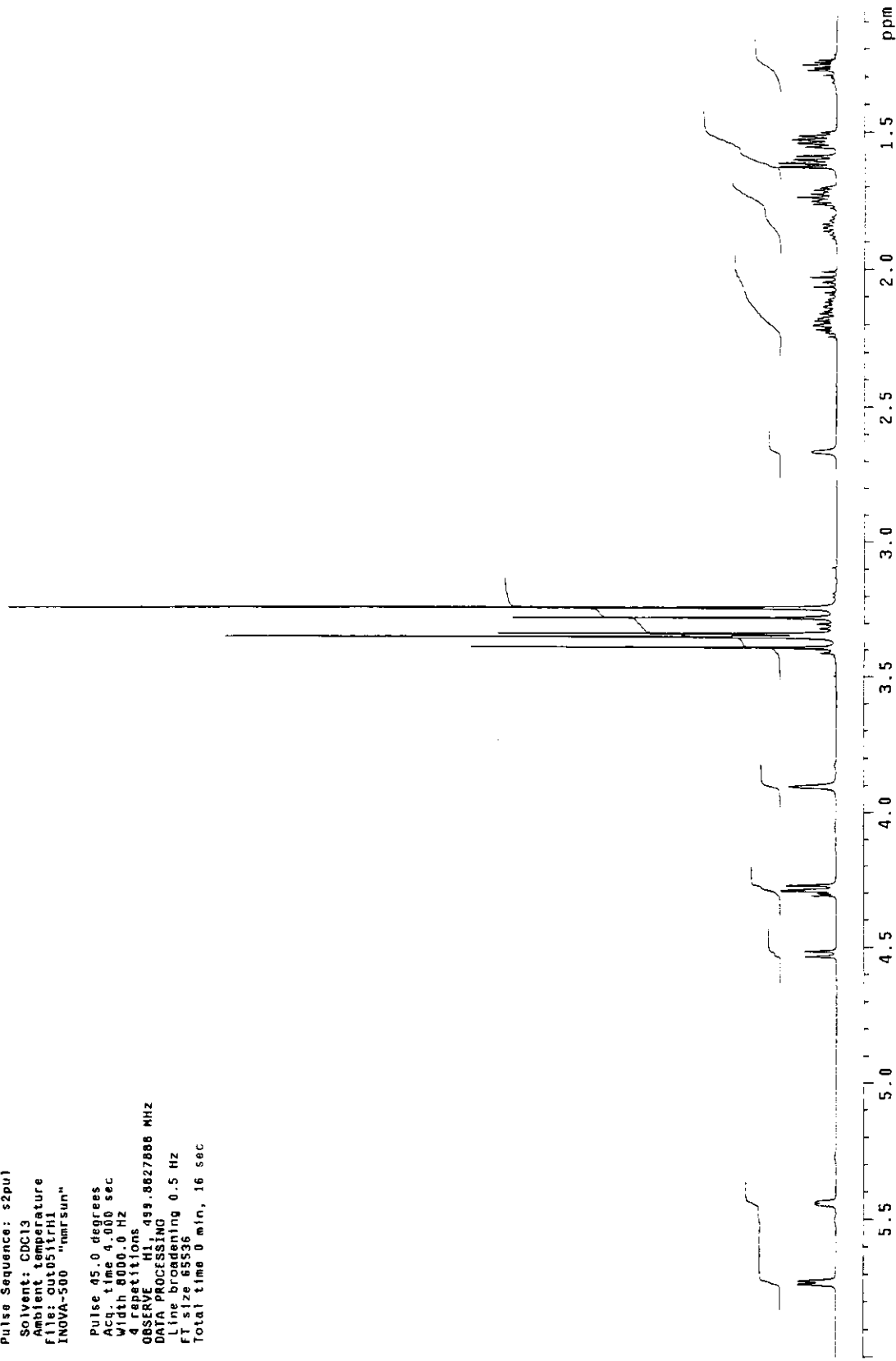
```

    Relax. delay 1.500 sec
    Pulse 45.0 degrees
    Acq. time 1.024 sec
    Width 32051.3 Hz
    21120 repetitions
    OBSERVE C13 125.6955905 MHz
    DECOUPLE H1 499.88553007 MHz
    Power 30 dB
    continuous on
    WALTZ-16 modulated
    DATA PROCESSING
    Line broadening 6.0 Hz
    FT size 131072
    Total time 16 hr, 11 min, 4 sec
  
```



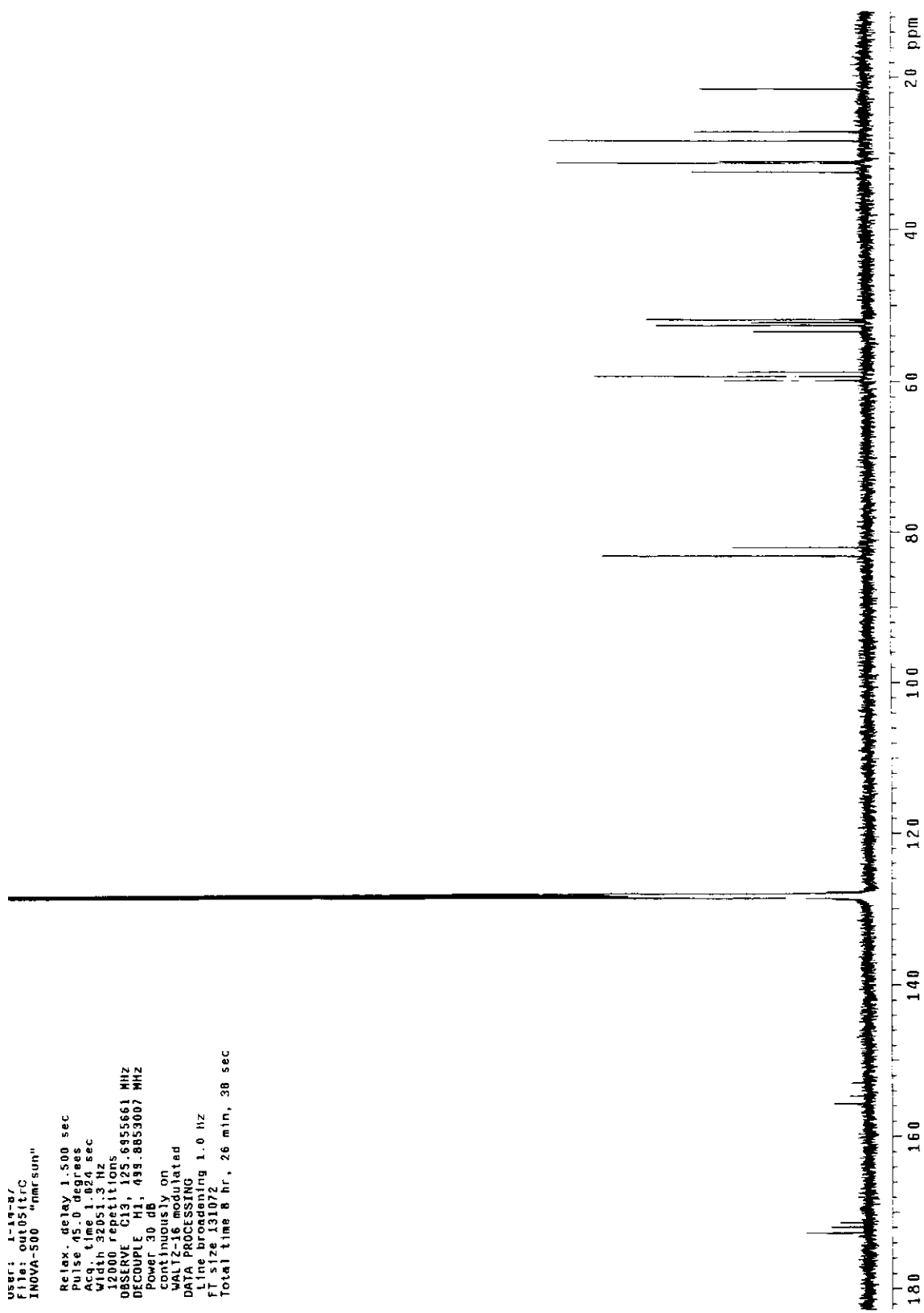
**Figura 5.3:** Espectro de RMN  $^{13}\text{C}$  (125 MHz,  $\text{C}_6\text{D}_6$ ) de **22a**, à temperatura ambiente.

Italo I.29cc02 out05itrH1  
 Pulse Sequence: s2pu  
 Solvent: CDCl<sub>3</sub>  
 Ambient temperature  
 file: out05itrH1  
 INOVA-500 "mursun"  
  
 Pulse 45.0 degrees  
 Acc. time 4.000 sec  
 Width 8000.0 Hz  
 4 repetitions  
 OBSERVE H1 499.8627886 MHz  
 DATA PROCESSING  
 Line broadening 0.5 Hz  
 FT size 5536  
 Total time 0 min, 16 sec



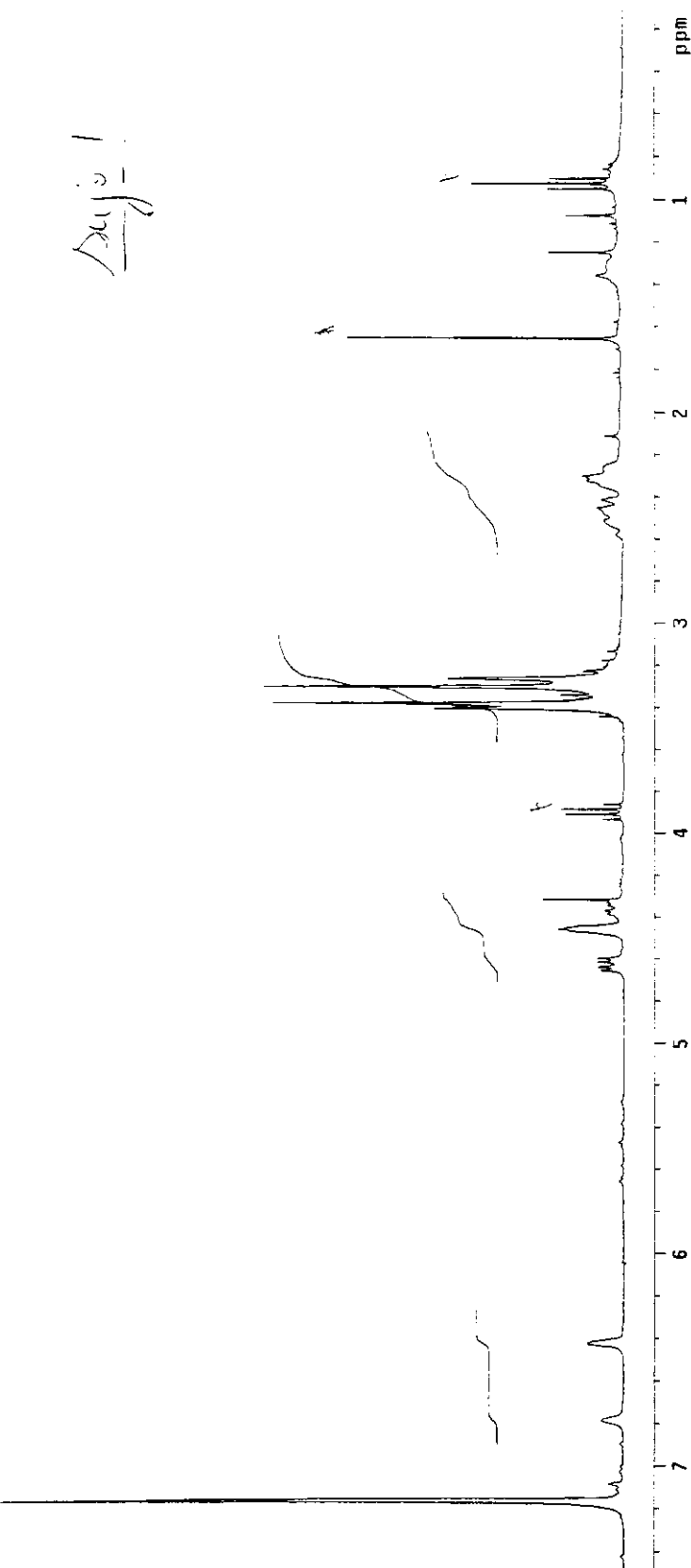
**Figura 5.4:** Espectro de RMN <sup>1</sup>H (500 MHz, C<sub>6</sub>D<sub>6</sub>) de **22b**, à temperatura ambiente.

user: L-AQ-B/  
 File: out0511rc  
 INOVA-500 "nmrsum"  
 Relax. delay 1.500 sec  
 Pulse 45.0 degrees  
 Accq. time 1.024 sec  
 Width 32051.3 Hz  
 12000 repetitions  
 OBSERVE C13, 122.695661 MHz  
 DECOUPLE H1, 499.8953007 MHz  
 Power 30 dB  
 continuously on  
 WALTZ16 modulated  
 DATA PROCESSING  
 Line broadening 1.0 Hz  
 FT size 131072  
 Total time 8 hr, 26 min, 38 sec



**Figura 5.5:** Espectro de RMN  $^{13}\text{C}$  (125 MHz,  $\text{C}_6\text{D}_6$ ) de **22b**, à temperatura ambiente.

Italo, enepro, C6D6, ta, abr221trH1  
 Pulse Sequence: s2pu1  
 Solvent: Benzene  
 Ambient temperature  
 file: abr221trH1  
 INOVA-500 "nmrsun"  
 Relax. delay 0.260 sec  
 Pulse 30.0 degrees  
 Aq. time 2.667 sec  
 Width 6000.0 Hz  
 64 Repetitions  
 OBSERVE H1, 300.0673710 MHz  
 DATA PROCESSING  
 FT size 32768  
 Total time 3 min, 4 sec



**Figura 5.6:** Espectro de RMN  $^1\text{H}$  (300 MHz,  $\text{C}_6\text{D}_6$ ) de **24**, à temperatura ambiente.

Italo I-2B set161tH  
 Pulse Sequence: s2mu1  
 Solvent: CDCl<sub>3</sub>  
 Temp.: 25.0 C / 290.1 K  
 F116: set161tH  
 INOVA-500 "nmr sun"

Pulse 29.5 degrees  
 Acq. time 1.000 sec  
 Width 8000.0 Hz  
 128 repetitions  
 OBSERVE H1, 499.8827609 MHz  
 DATA PROCESSING  
 Line broadening 0.5 Hz  
 FT Size 65536  
 Total time 8 min, 33 sec

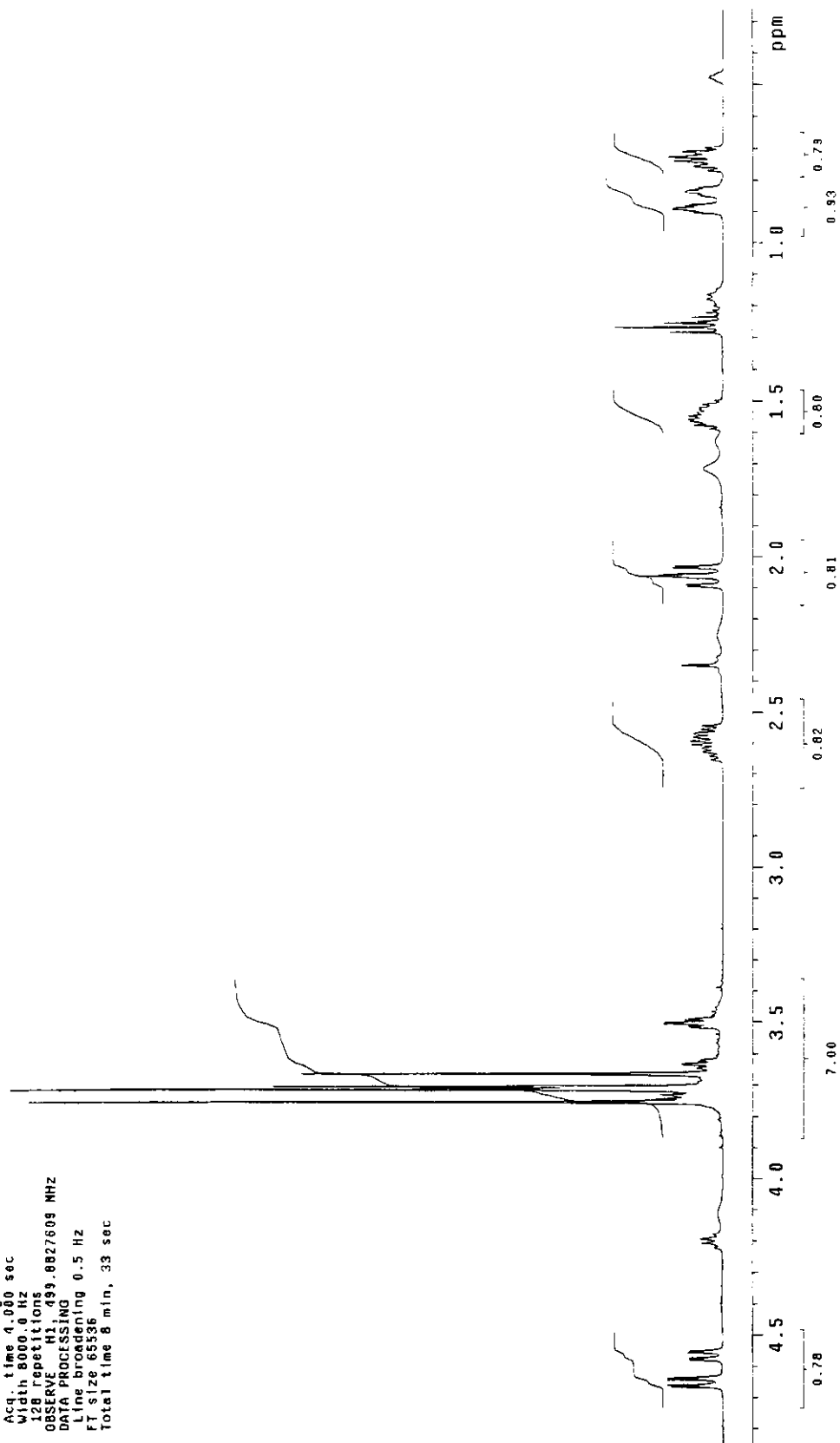


Figura 5.7: Espectro de RMN <sup>1</sup>H (500 MHz, CDCl<sub>3</sub>) de 28 à temperatura ambiente.

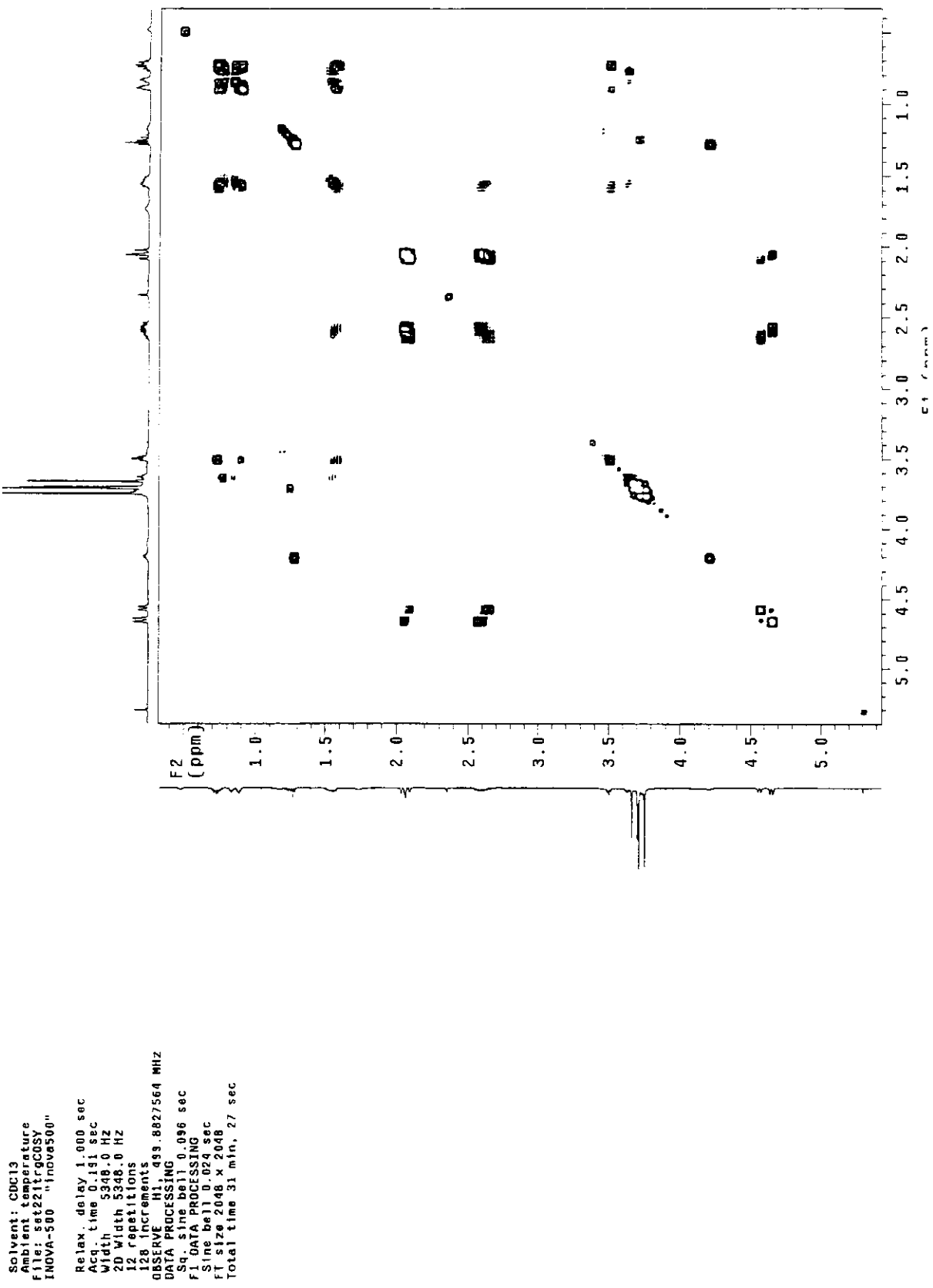
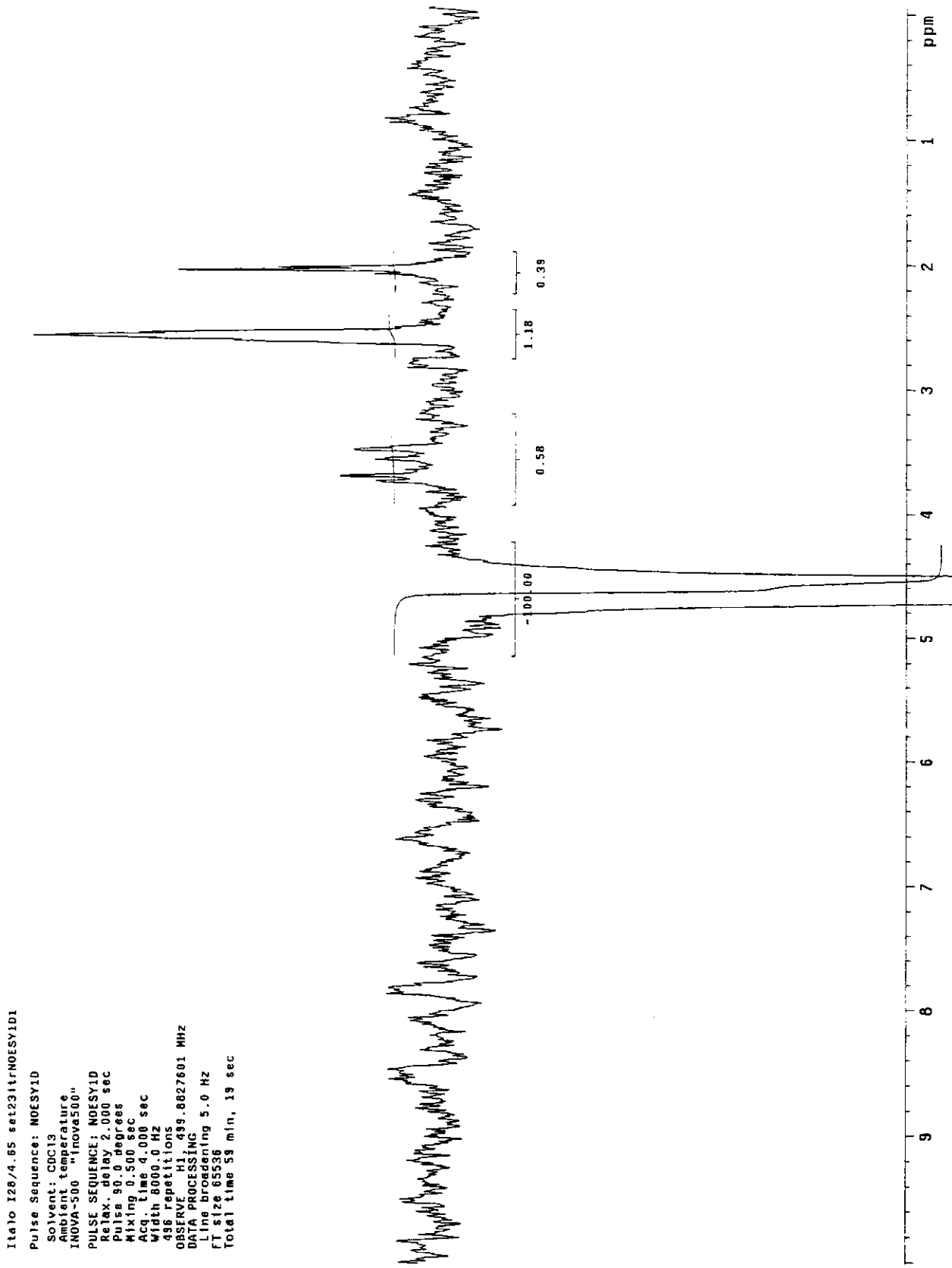
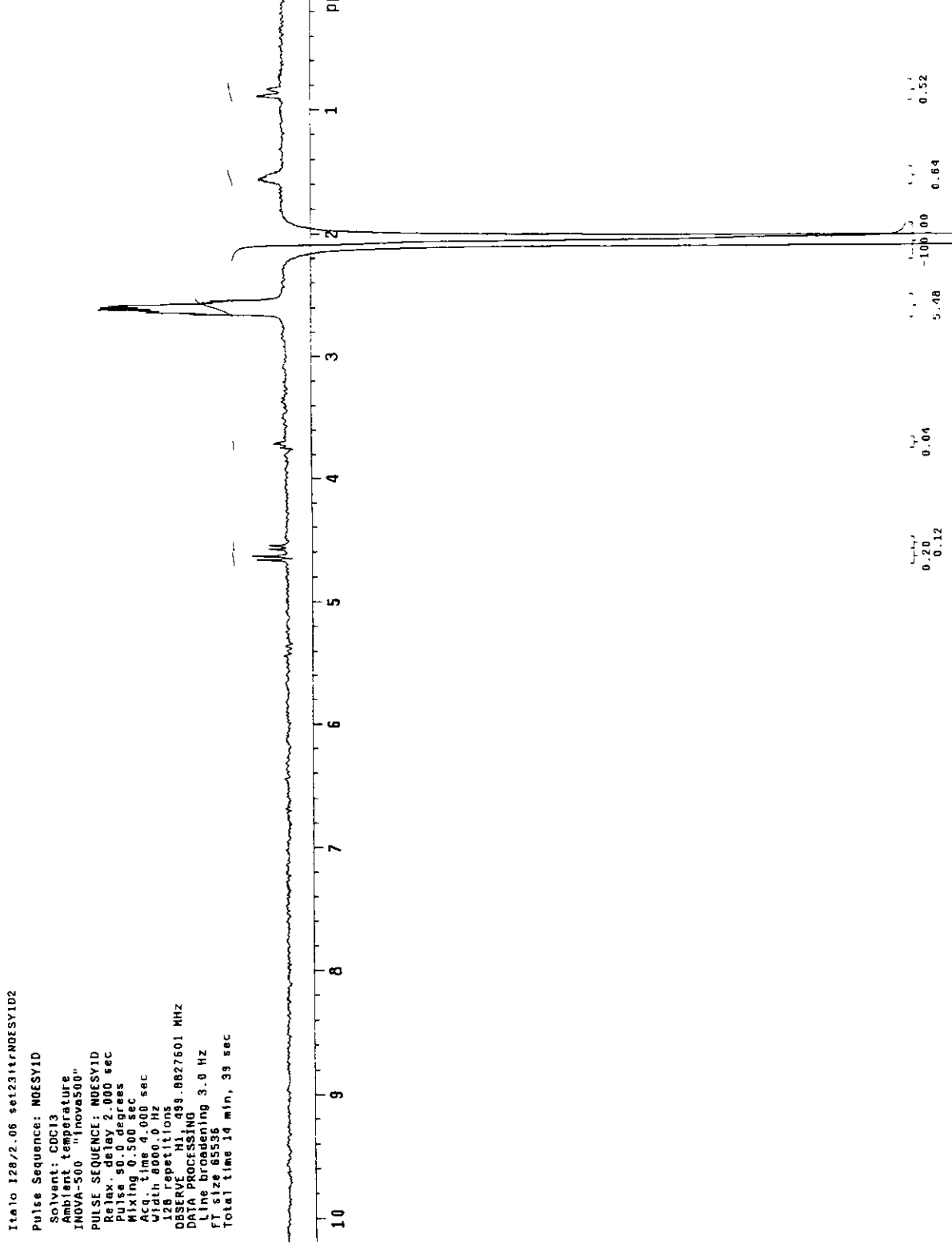


Figura 5.8: Diagrama de contorno gCOSY de **28** à temperatura ambiente.

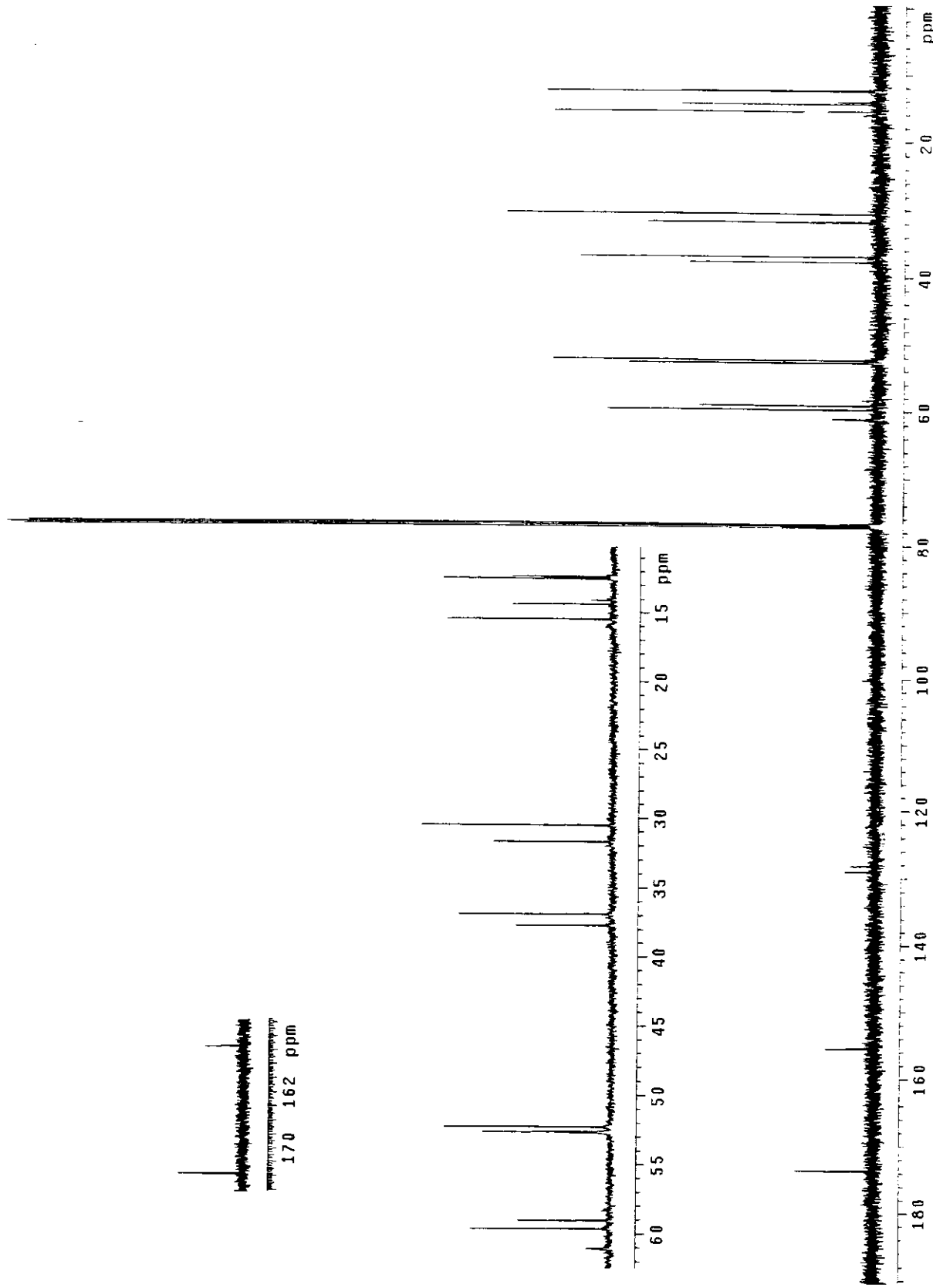
**Figura 5.9:** Espectro de diferença de nOe de **28** quando o sinal em 4,65 ppm foi irradiado.



**Figura 5.10:** Espectro de diferença de nOe de **28** quando o sinal em 2.06 foi irradiado.



Italo 128 set231trc  
Pulse Sequence: s2pu1



**Figura 5.11:** Espectro de RMN  $^{13}\text{C}$  (125 MHz,  $\text{CDCl}_3$ ) de **28** à temperatura ambiente.

Italo I2B set23itrHSQC  
 Pulse Sequence: HSQC  
 Solvent: CDCl<sub>3</sub>  
 Ambient temperature  
 User: 1-14-82  
 File: sat23itrHSQC  
 INOVA-800 "mrsun"  
 PULSE SEQUENCE : HSQC  
 Relax delay 1.500 sec  
 Acq. time 0.239 sec  
 Width 4286.8 Hz  
 20 Width 25731.7 Hz  
 80 repetitions  
 2 x 128 increments  
 OBSERVE H1, 499.9827524 MHz  
 DECOUPLE C13, 125.7061174 MHz  
 Power 50 dB  
 on during acquisition  
 off during delay  
 GARP-1 modulated  
 DATA PROCESSING  
 Gauss apodization 0.110 sec  
 F1 DATA PROCESSING  
 Gauss apodization 0.012 sec  
 FT size 2048 x 2048  
 Total time 10 hr, 9 min, 24 sec

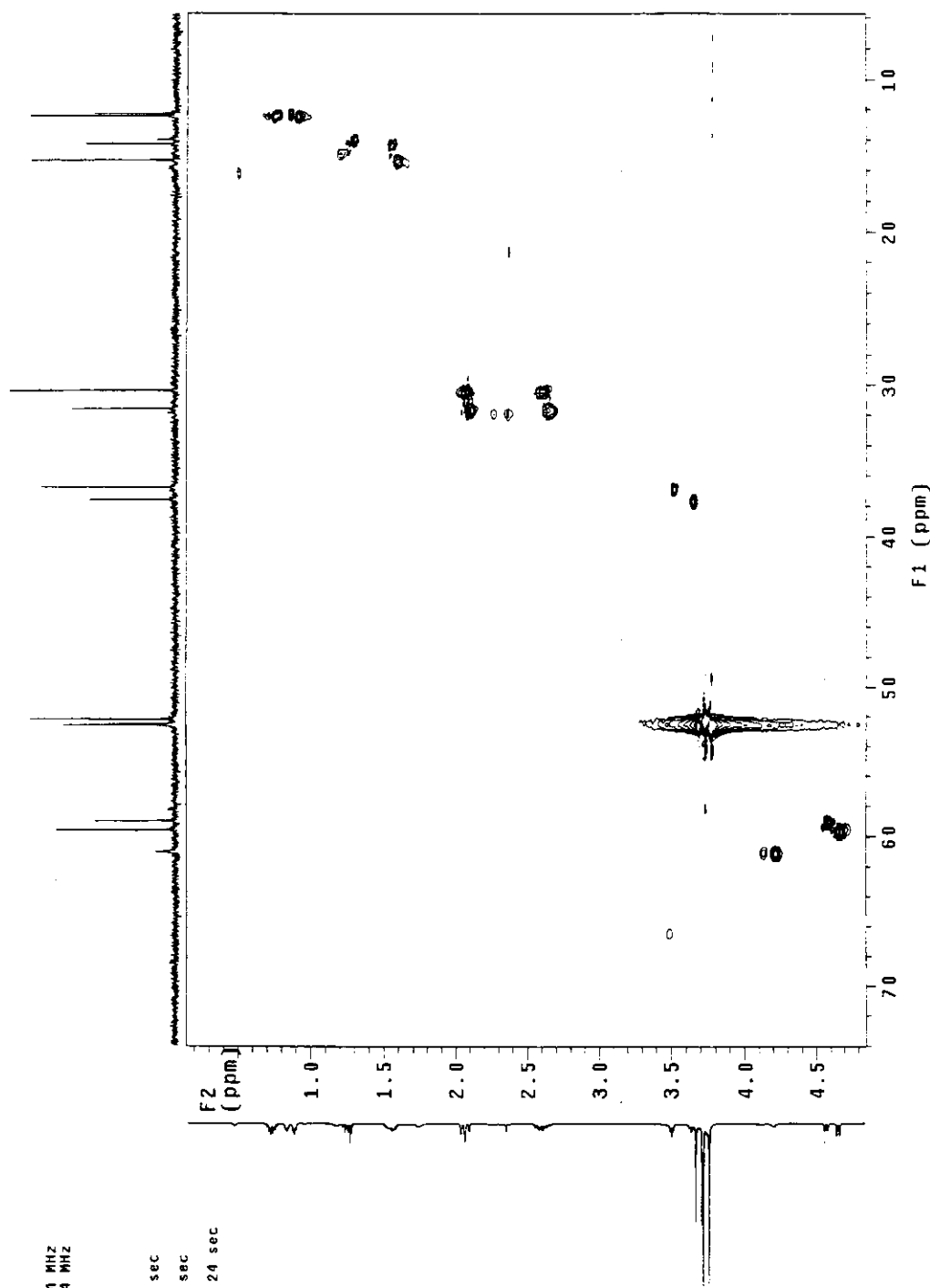


Figura 5.12: Diagrama de contorno HSQC de **28** à temperatura ambiente.

Italo I-34cc01.out15itrH  
 Pulse Sequence: s2pu1  
 Solvent: CDCl<sub>3</sub>  
 Ambient temperature  
 File: out15itrH  
 INOVA-500 "nmrsun"  
 Pulse 45.0 degrees  
 Acc. time 4.000 sec  
 Width 8000.0 Hz  
 16 repetitions  
 OBSERVE H1, 499.8827604 MHz  
 DATA PROCESSING  
 Line broadening 0.5 Hz  
 FT size 65536  
 Total time 1 min, 4 sec

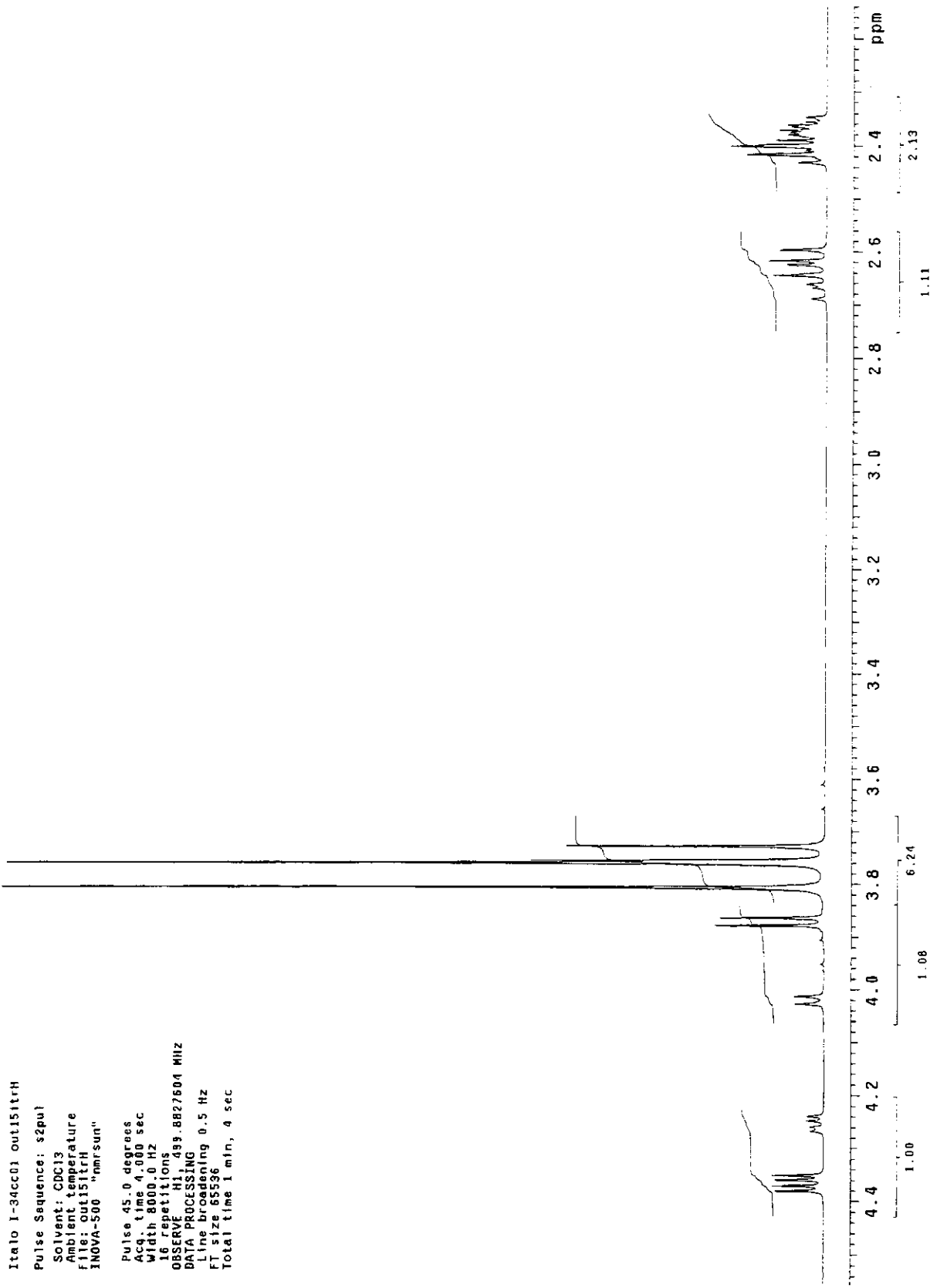
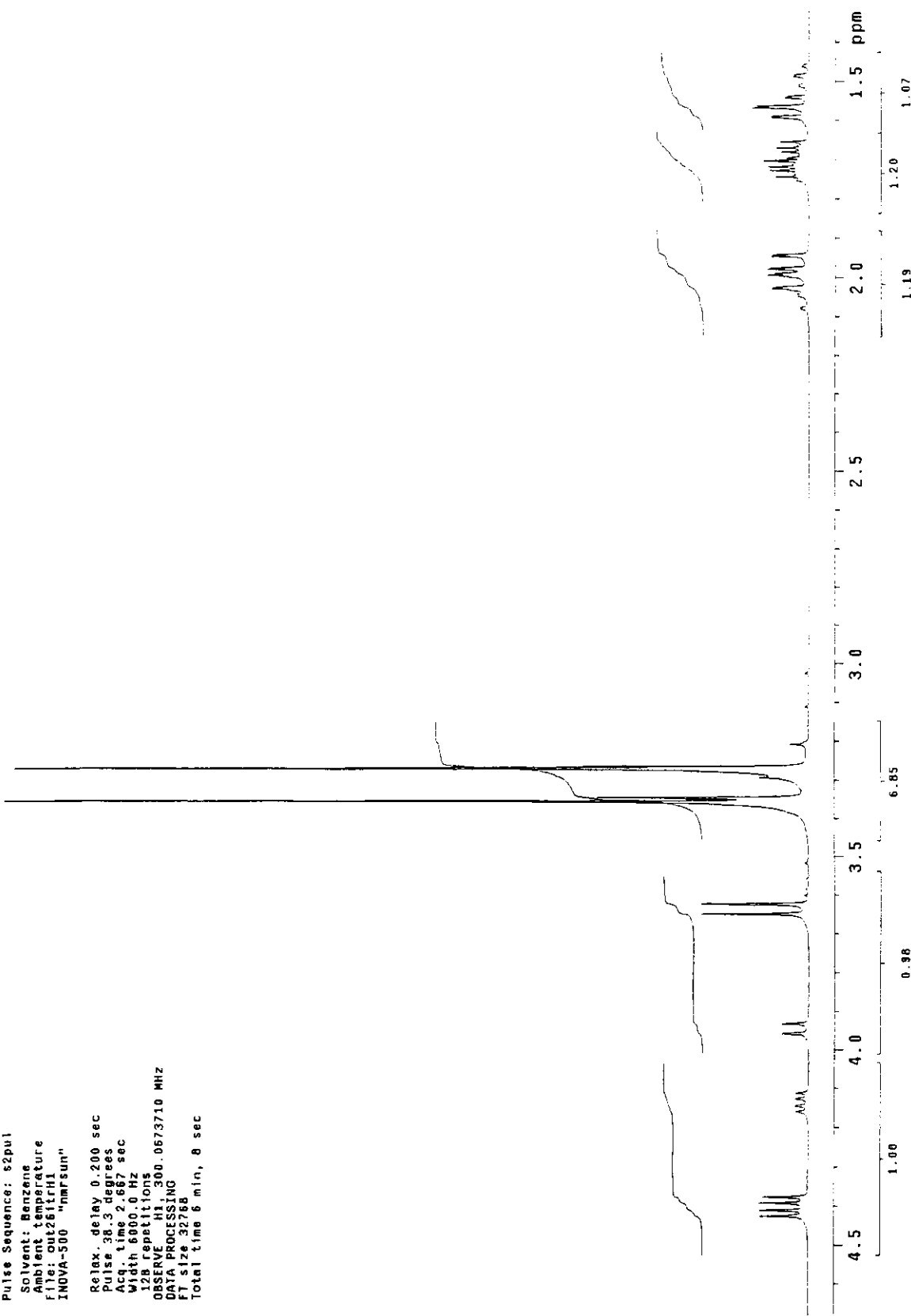


Figura 5.13: Espectro de RMN <sup>1</sup>H (500 MHz, CDCl<sub>3</sub>) de **34** à temperatura ambiente.

Italo, I34cc01, C6D6, ta, out26itrH1  
 Pulse Sequence: s2pul  
 Solvent: Benzene  
 Ambient temperature  
 File: out26itrH1  
 INOVA-500 "nmrsun"

Relax delay 0.200 sec  
 Pulse 3.3 degrees  
 Acc. time 2.617 sec  
 Width 6000.0 Hz  
 128 repetitions  
 OBSERVE H1 300.0673710 MHz  
 DATA PROCESSING  
 FT size 32768  
 Total time 6 min, 8 sec



**Figura 5.14:** Espectro de RMN  $^1\text{H}$  (500 MHz,  $\text{C}_6\text{D}_6$ ) de **34** à temperatura ambiente.

Italo 1-3acc0174-25.out15.itrgCOSY

Pulse Sequence: gCOSY

Solvent: CDCl<sub>3</sub>

Ambient temperature

File: out15.itrgCOSY

INNOVA-500 "mmrsun"

PULSE SEQUENCE: gCOSY

Relax delay 1.000 sec

Acq. time 0.217 sec

Width 1724.5 Hz

2D Width 1724.5 Hz

16 repetitions

128 increments

OBSERVE H1, 499.8827604 MHz

DATA PROCESSING

Sq. sine bell 0.108 sec

F1 DATA PROCESSING

Sq. sine bell 0.027 sec

FT size 2048 x 2048

Total time 42 min, 45 sec

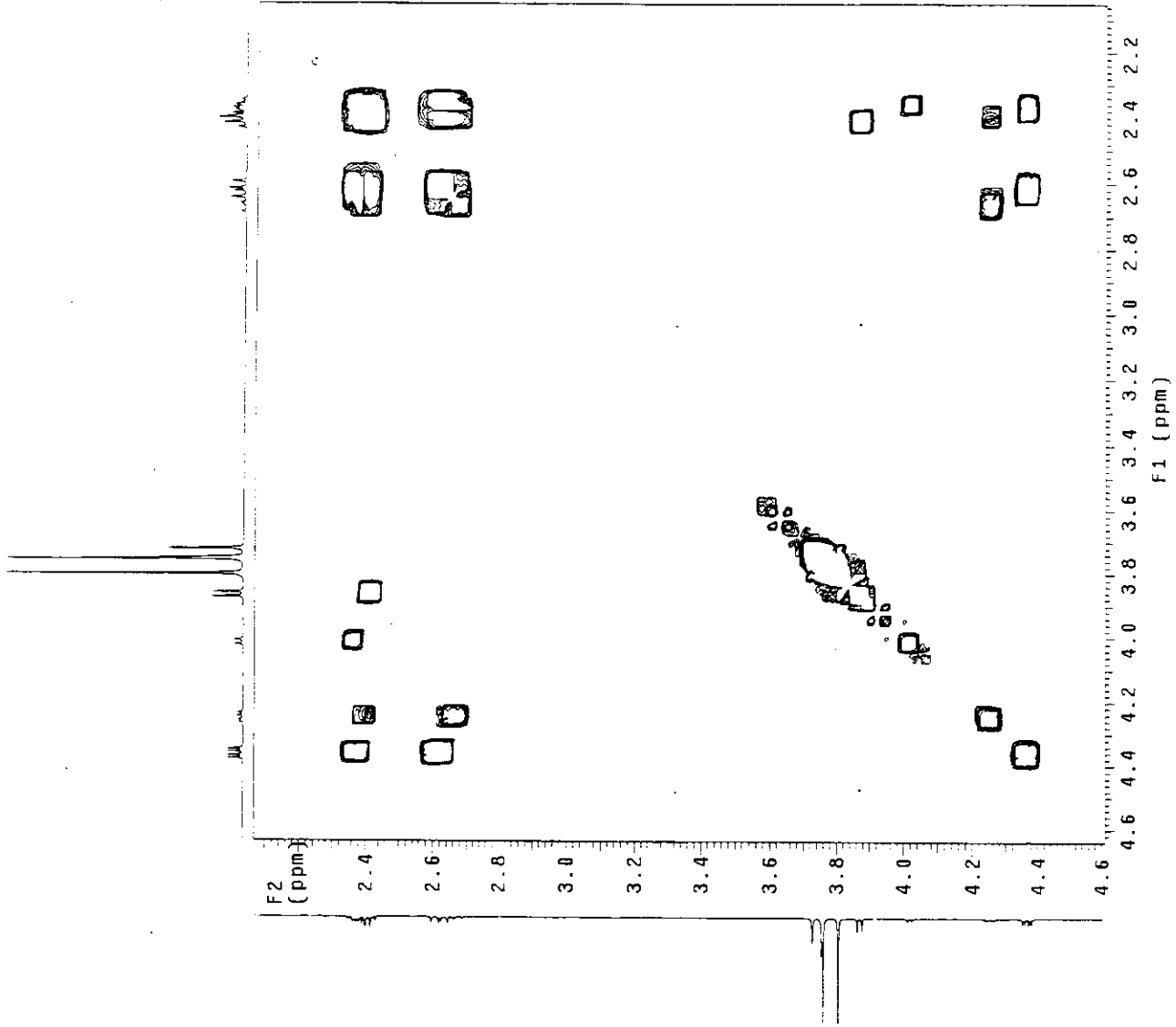


Figura 5.15: Diagrama de contorno gCOSY de 34 à temperatura ambiente.

Italo I-34cc01/4.25 out15itrC

Pulse Sequence: s2pul

Solvent: CDCl<sub>3</sub>

Ambient temperature

User: 1-14-01

file: out15itrC

INOVA-500 "nmrsun"

PULSE SEQUENCE

Relax. delay 2.000 sec

Pulse 45.0 degrees

Acq. time 1.024 sec

Width 32051.3 Hz

22000 repetitions

OBSERVE C13, 125.6856225 MHz

DECOUPLE H1, 498.8852557 MHz

Power 30 dB

continuously on

WALTZ-16 modulated

DATA PROCESSING

Line broadening 1.0 Hz

file size 131072

Total time 18 hr, 32 min, 11 sec

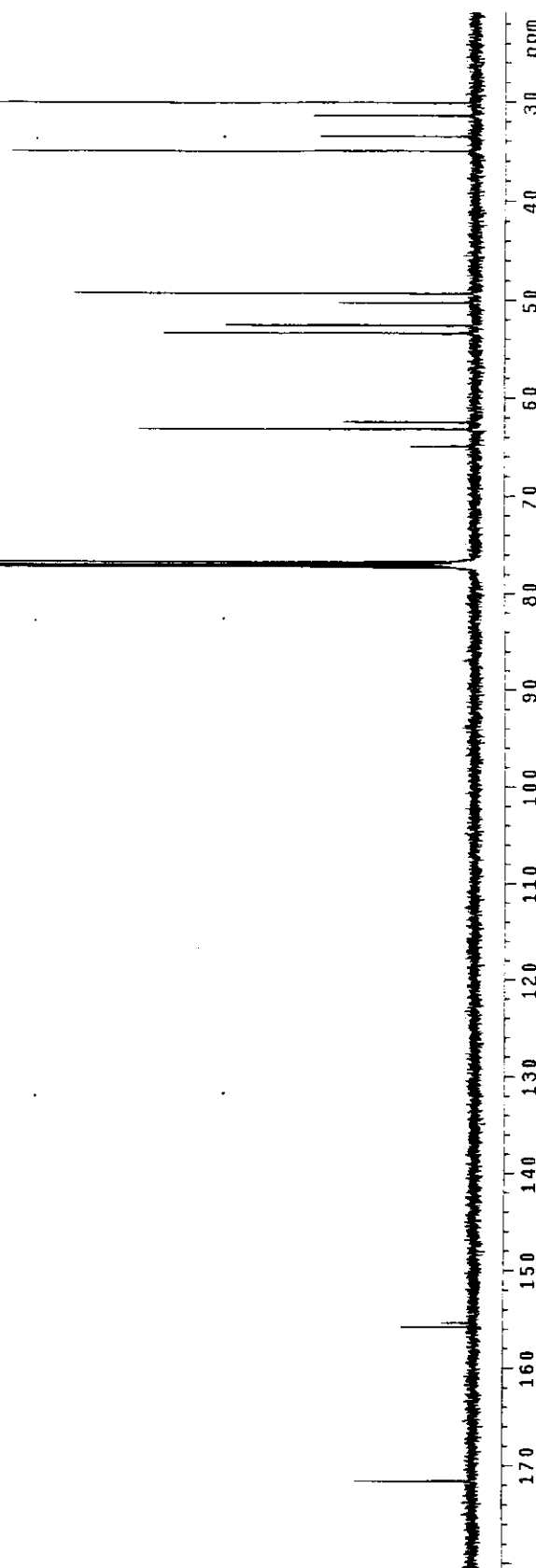
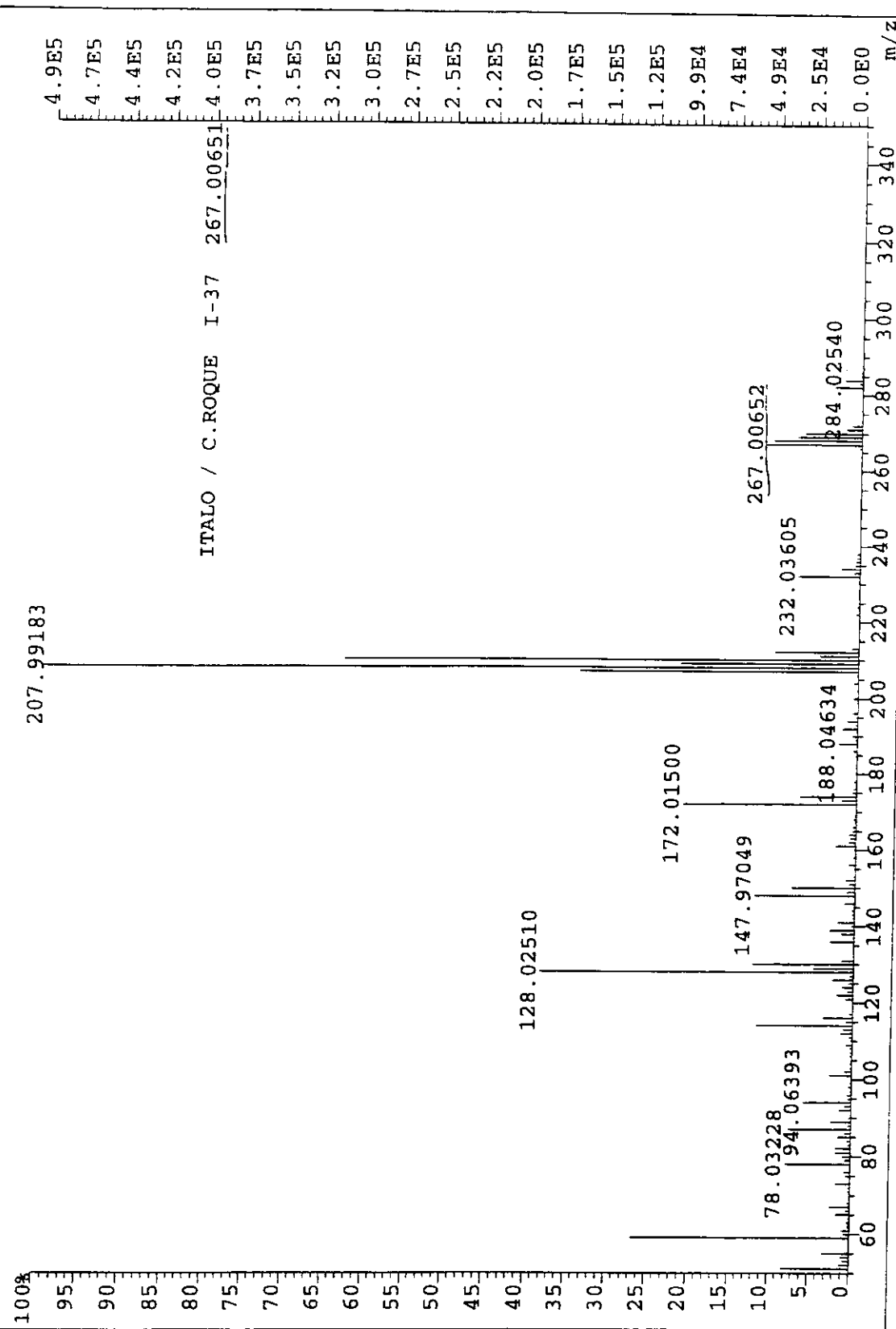
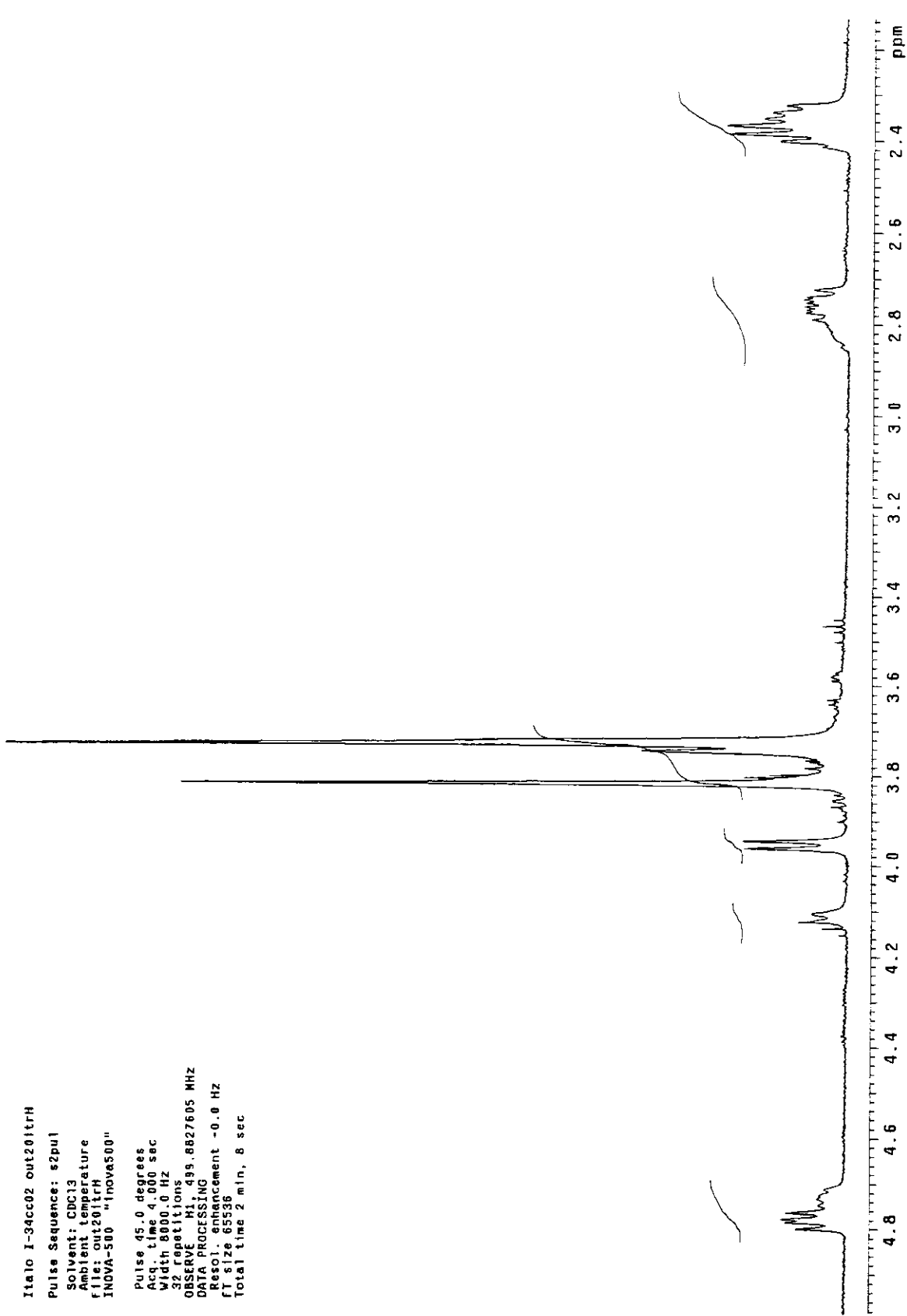


Figura 5.16: Espectro de RMN <sup>13</sup>C (125 MHz, CDCl<sub>3</sub>) de 34 à temperatura ambiente.

File:22NOV-99 Ident:72 Acq:22-NOV-1999 15:57:24 +8:16 Cal:22NOV-99  
AutoSpec EI+ Magnet BPI:494245 TIC:2837121 Flags:HALL

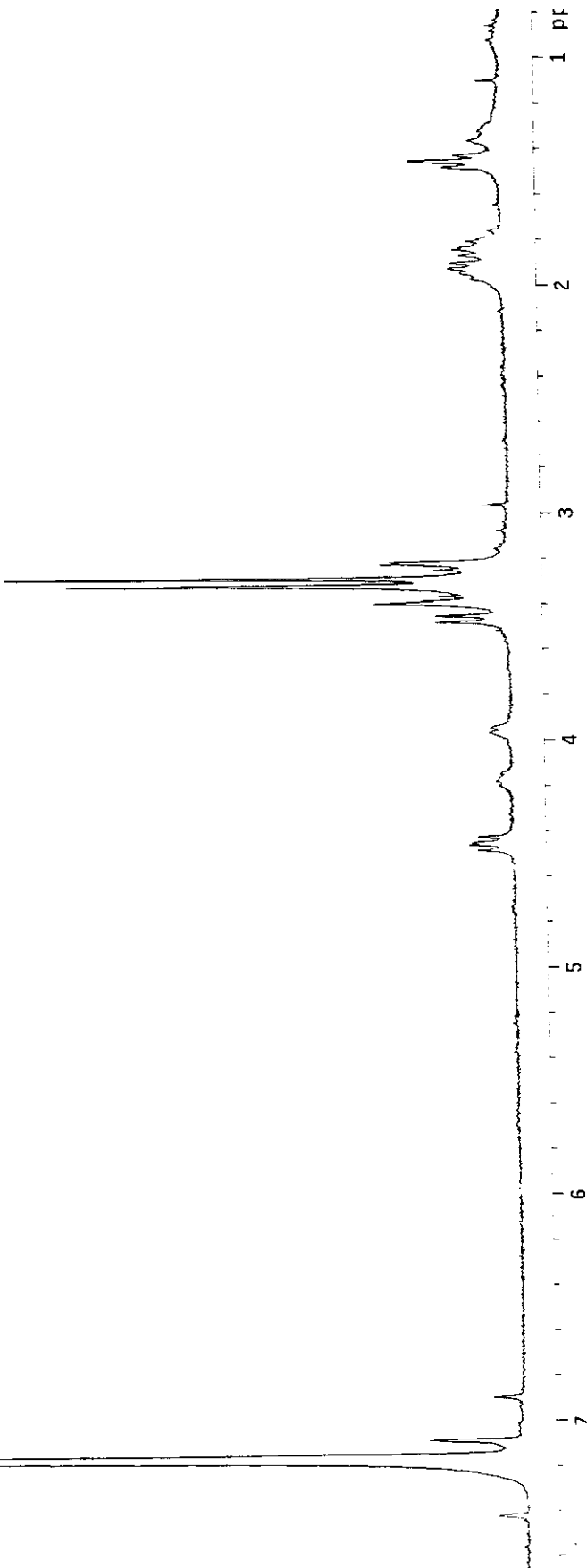
Figura 5.17: Espectro de massas de alta resolução (ionização por impacto de elétrons) de 34.





**Figura 5.18:** Espectro de RMN <sup>1</sup>H (500 MHz, CDCl<sub>3</sub>) de **35** à temperatura ambiente.

Italo, Chinoritario C6D6, ta, Jan06itrH2  
 Pulse Sequence: s2pu1  
 Solvent: Benzene  
 Ambient Temperature  
 File: Jan06itrH2  
 INOVA-500 "unisun"  
  
 Relax. delay 0.200 sec  
 Pulse 40.0 degrees  
 Acq. time 2.667 sec  
 Width 600.0 Hz  
 256 repetitions  
 OBSERVE H1, 300.0673721 MHz  
 DATA PROCESSING  
 FT size 32768  
 Total time 12 min, 16 sec

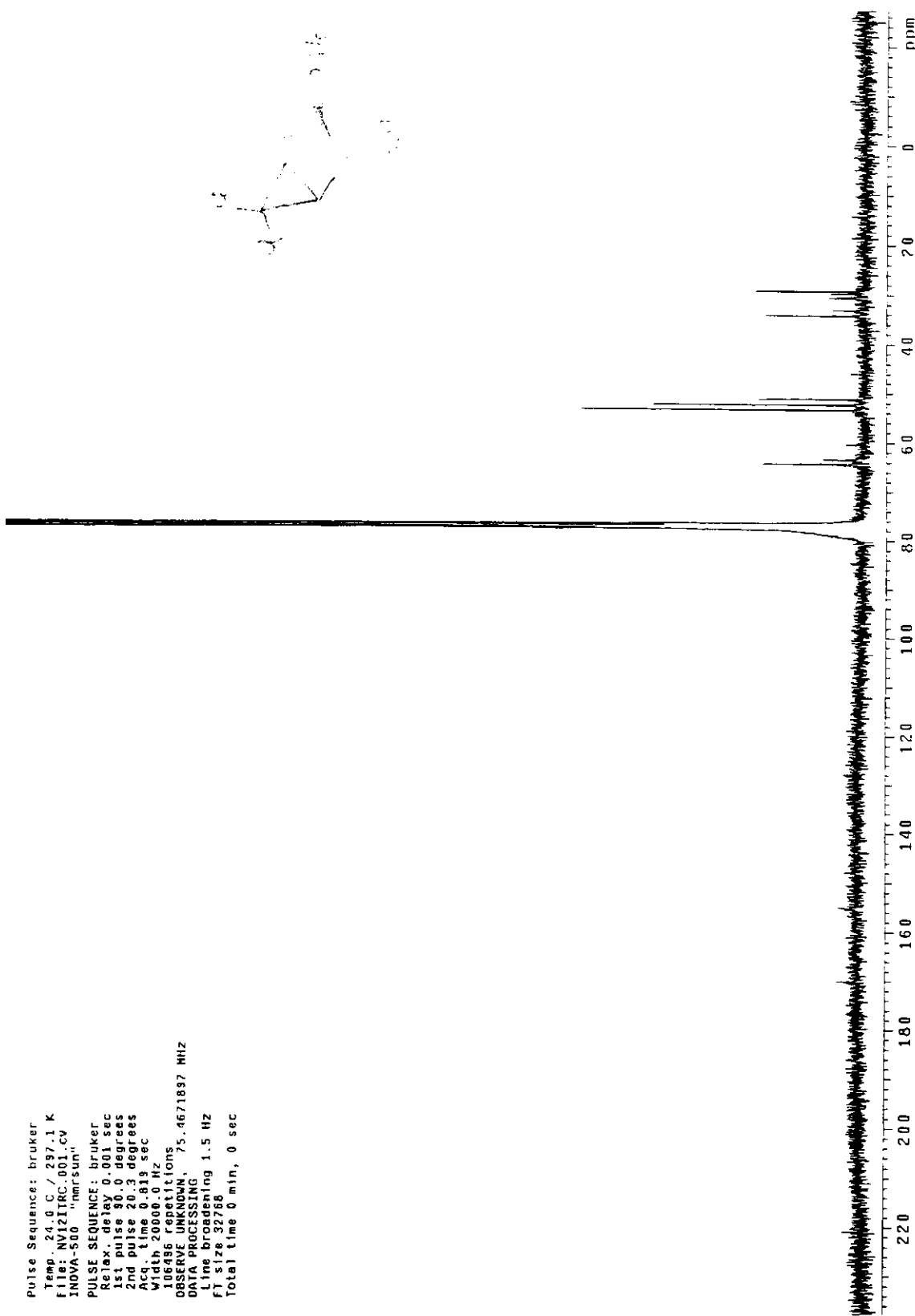


**Figura 5.19:** Espectro de RMN  $^1\text{H}$  (300 MHz,  $\text{C}_6\text{D}_6$ ) de **35** à temperatura ambiente.

```

Pulse Sequence: bruker
Temp 24.0 C / 297.1 K
File: NVA2ITRC_001.CY
INOVA-500 "nmrsum"
PULSE SEQUENCE: bruker
Relax delay 0.001 sec
1st pulse 90.0 degrees
2nd pulse 20.3 degrees
Accq. time 0.813 sec
Width 20000.0 Hz
106496 repetitions
OBSERVE UNKNOWN, 75.4671837 MHz
DATA PROCESSING
Line broadening 1.5 Hz
F1 size 32768
Total time 0 min, 0 sec

```



**Figura 5.20:** Espectro de RMN  $^{13}\text{C}$  (75 MHz,  $\text{CDCl}_3$ ) de **35** à temperatura ambiente.

Italo, 138 (bromo), C6D6, ta, Jan06itrH14

Pulse Sequence: s2pul

Solvent: Benzene

Ambient temperature

File: Jan06itrH14

INOVA-500 "mrssun"

Relax. delay 0.200 sec

Pulse 40.3 degrees

Acq. time 2.667 sec

Width 6000.0 Hz

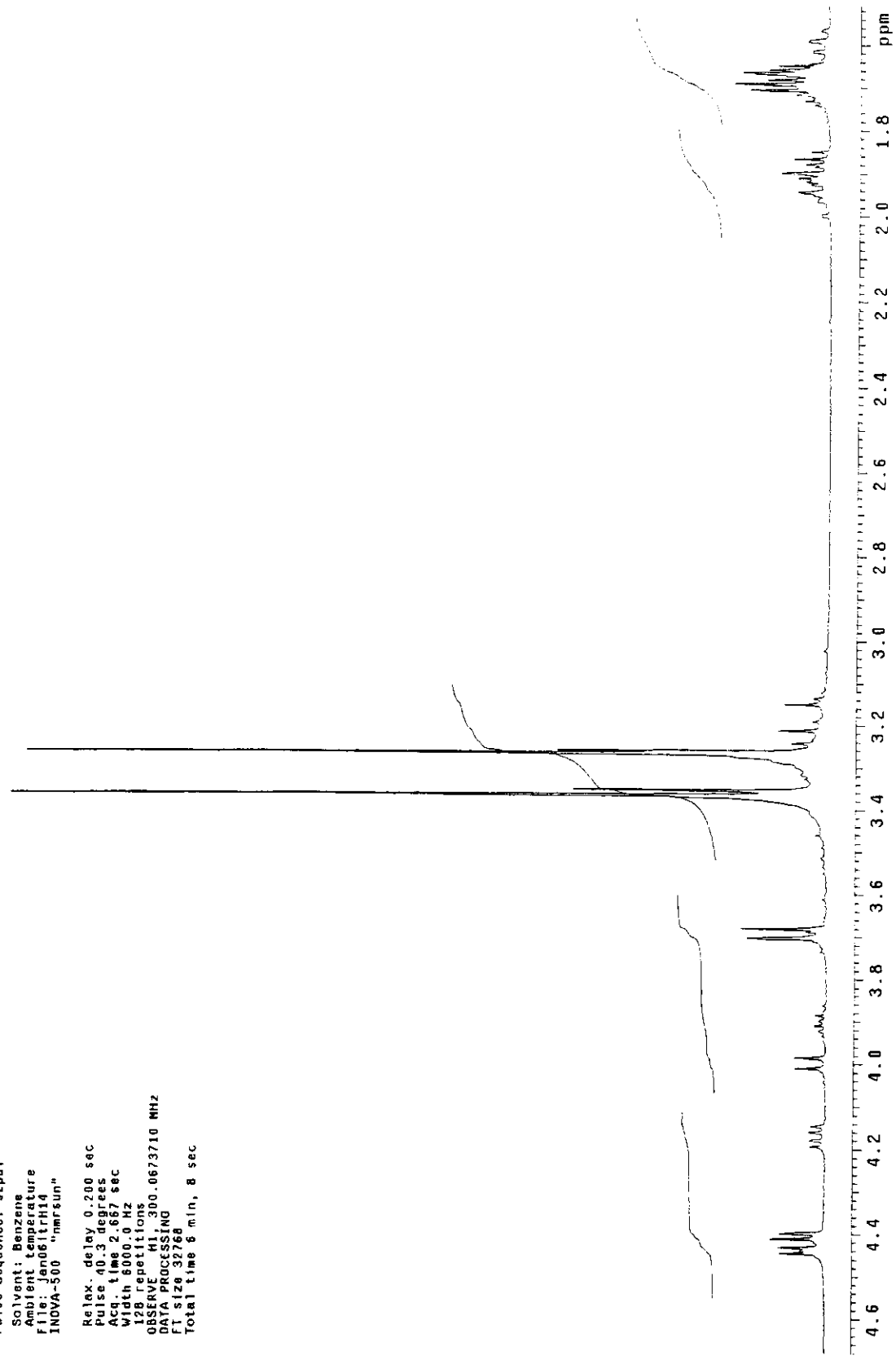
128 repetitions

OBSERVE H1;300.0673710 MHz

DATA PROCESSING

FT size 32768

Total time 6 min, 8 sec



**Figura 5.21:** Espectro de RMN  $^1\text{H}$  (500 MHz,  $\text{C}_6\text{D}_6$ ) de **38** à temperatura ambiente.

Italo I-3B dəz06itrH  
 Pulse Sequence: 62pu1  
 Solvent: CDCl<sub>3</sub>  
 Temp.: 22.0 °C / 295.1 K  
 File: dəz06itrH  
 INOVA-500 "Inova500"  
  
 Pulse 45.0 degrees  
 Aqq. time 4.000 sec  
 Width 0.000.0 Hz  
 4 repetitions  
 OBSERVE H1 499.8827601 MHz  
 DATA PROCESSING  
 Line broadening 0.5 Hz  
 FT Size 85398  
 Total time 0 min, 16 sec

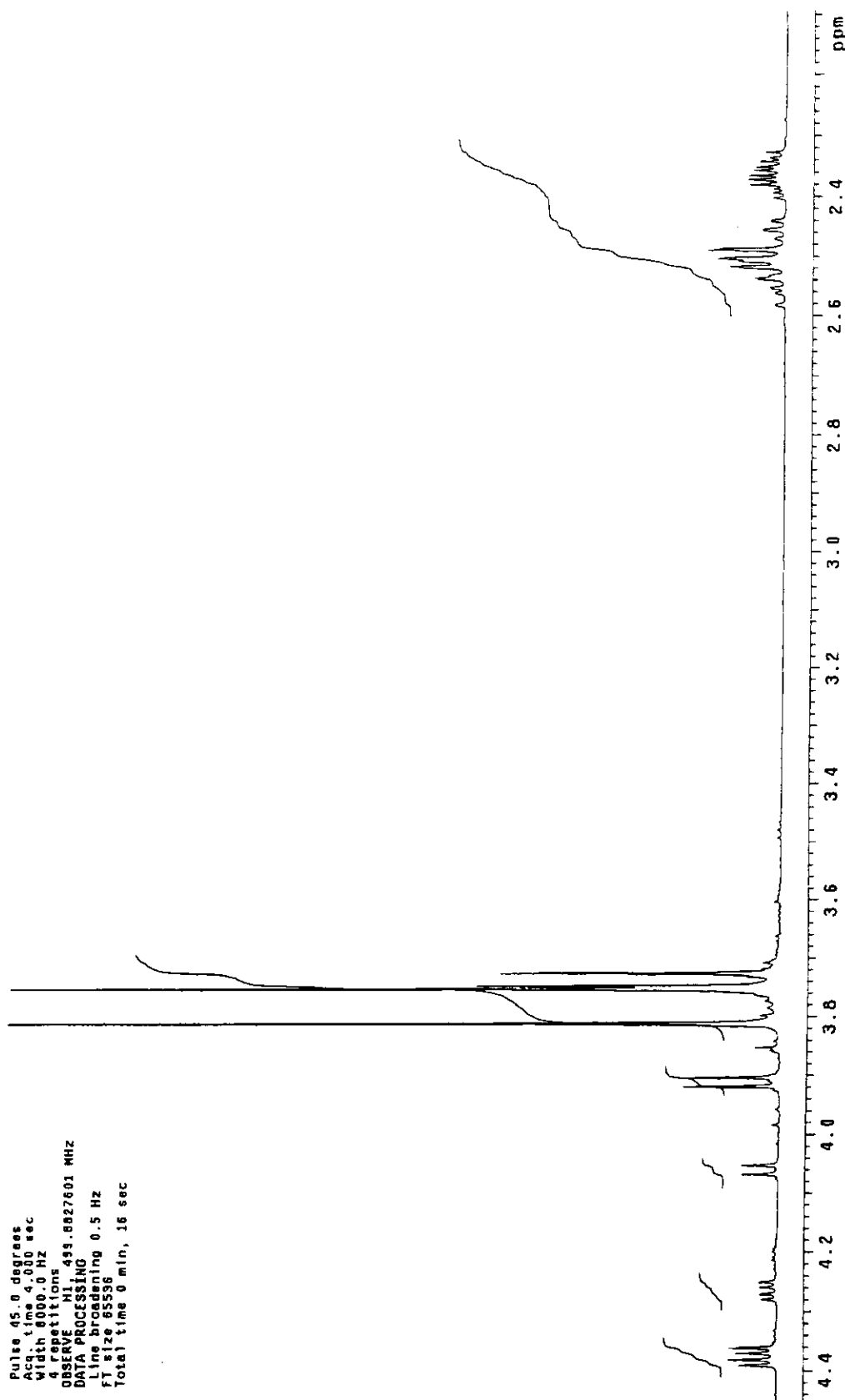
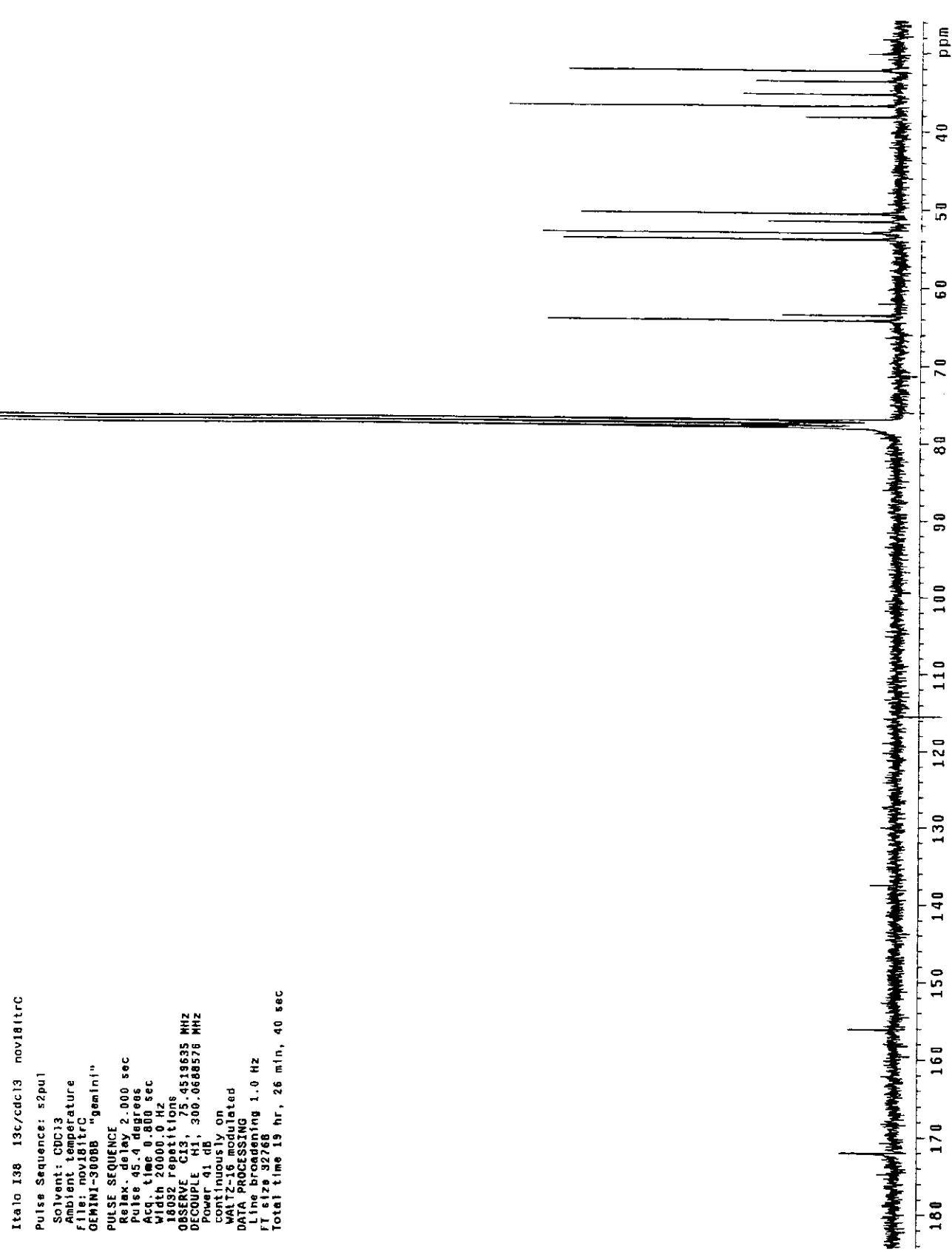


Figura 5.22: Espectro de RMN <sup>1</sup>H (300 MHz, CDCl<sub>3</sub>) de **38** à temperatura ambiente.

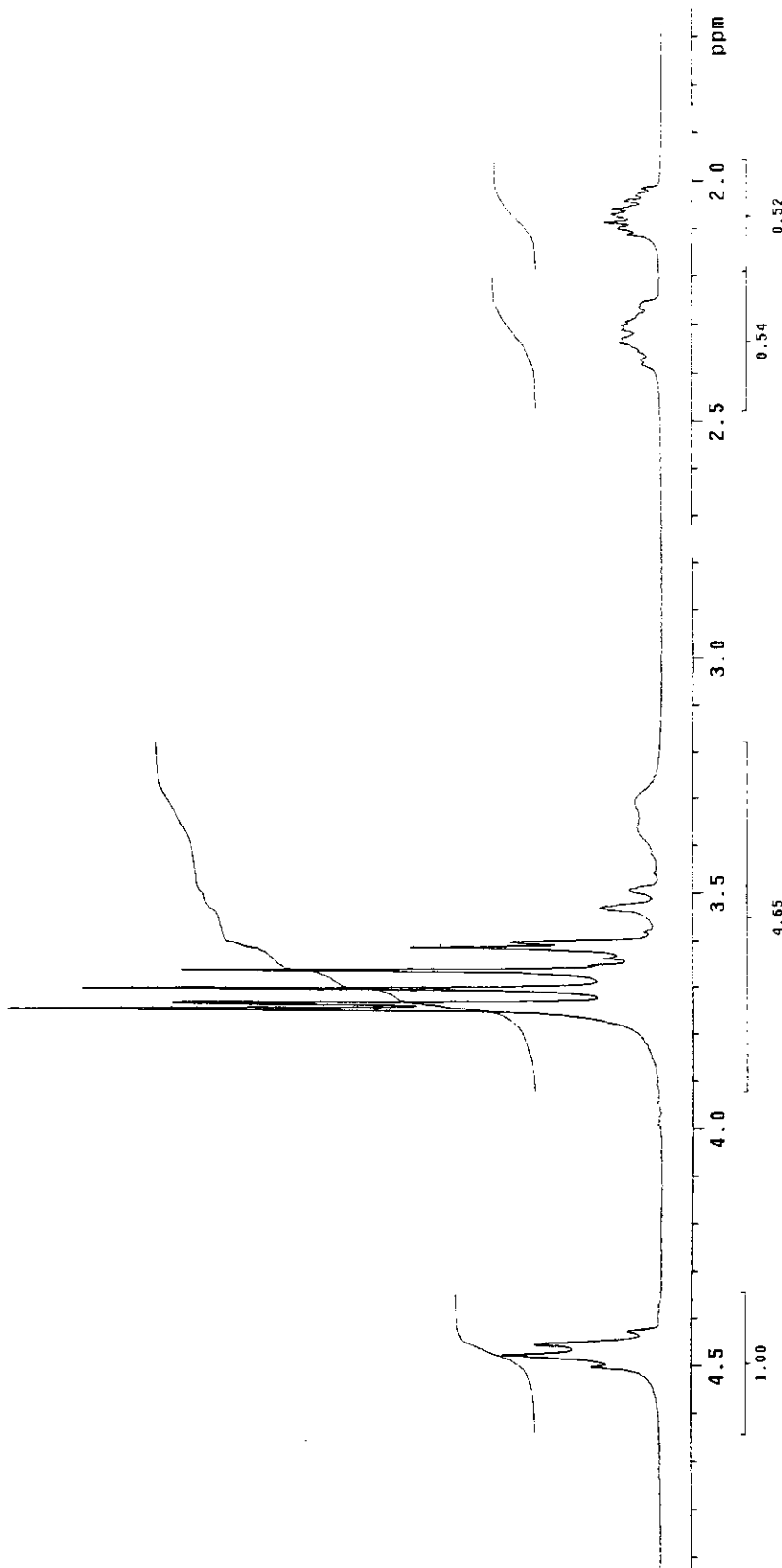


**Figura 5.23:** Espectro de RMN <sup>13</sup>C (125 MHZ, CDCl<sub>3</sub>) de **38** à temperatura ambiente.

Italo, t-OH-Pro, CDCl<sub>3</sub>, ta, out301trH2  
 Pulse Sequence: 62pul  
 Solvent: CDCl<sub>3</sub>  
 Ambient temperature  
 F118: out301trH2  
 INOVA-500  
 "Inmarsat"

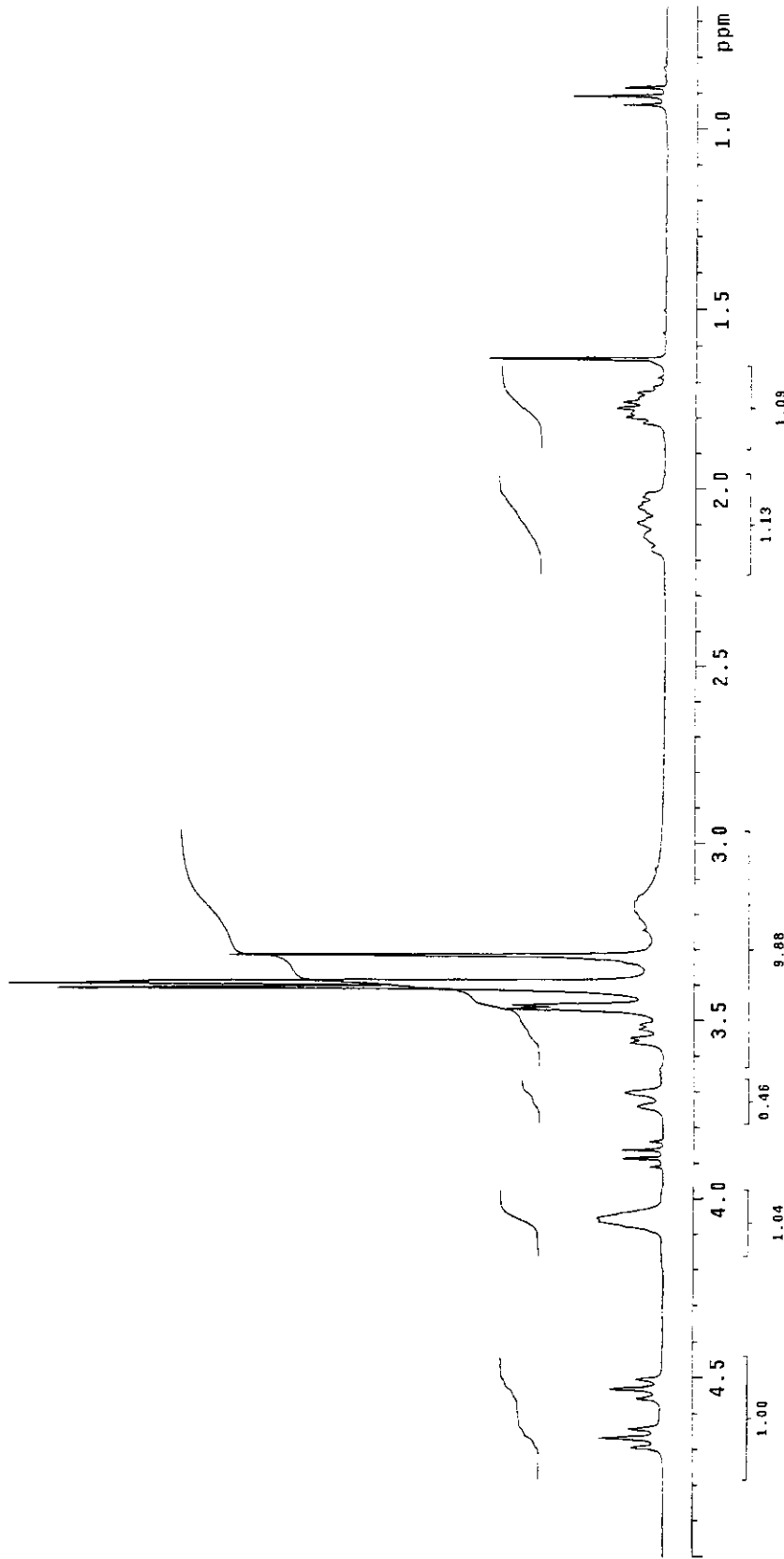
```

    Relax. delay 0.200 sec
    Pulse 31.3 degrees
    Acq. time 2.667 sec
    Width 8000.0 Hz
    16 repetitions
    OBSERVE H1; 300.0673435 MHz
    DATA PROCESSING
    FT s128 32768
    Total time 0 min, 46 sec
  
```



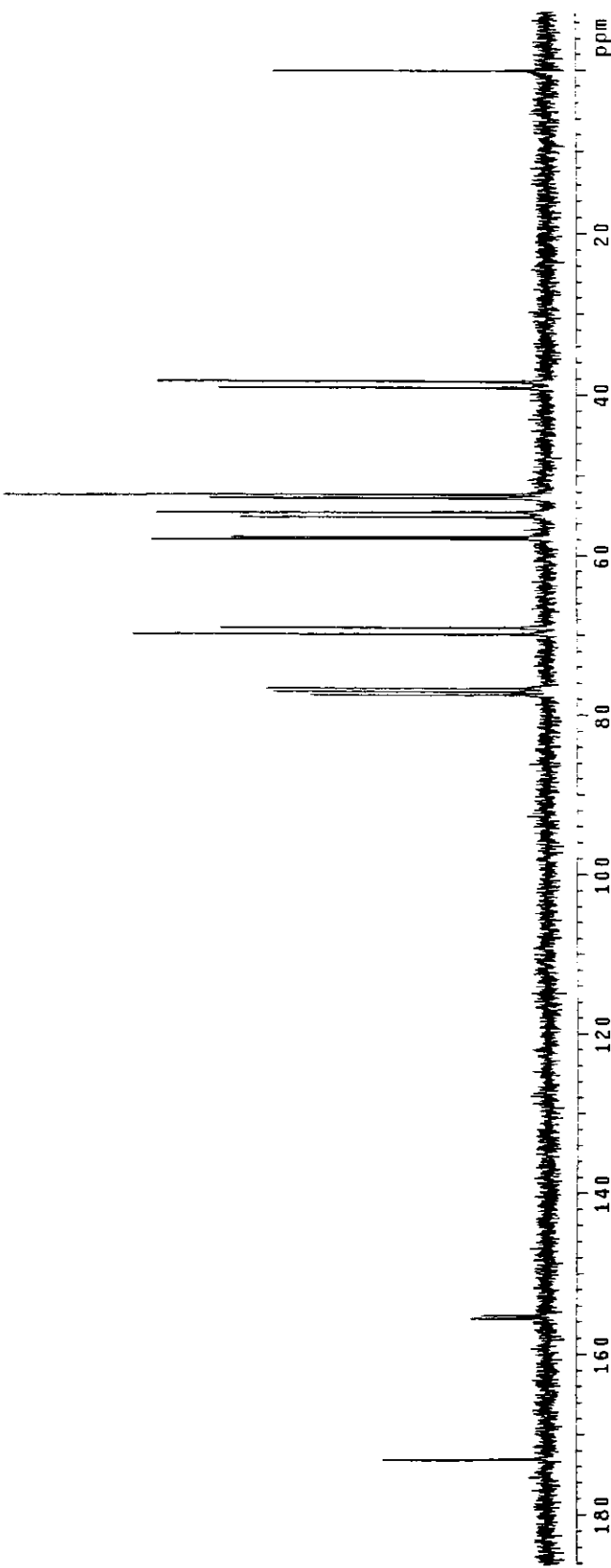
**Figura 5.24:** Espectro de RMN <sup>1</sup>H (300 MHz, CDCl<sub>3</sub>) de **40** à temperatura ambiente.

Italo, PRO-OH, C6D6, t<sub>0</sub>, Jan061trH1  
 Pulse Sequence: s2pu1  
 Solvent: Benzene  
 Ambient temperature  
 File: Jan061trH1  
 INOVA-500 "Inmersun"  
 Relax. delay 0.200 sec  
 Pulse 40.3 degrees  
 Acq. time 2.667 sec  
 Width 6000.0 Hz  
 32 repetitions  
 OBSERVE H1; 300.0673748 MHz  
 DATA PROCESSING  
 FT size 32768  
 Total time 1 min, 32 sec



**Figura 5.25:** Espectro de RMN <sup>1</sup>H (300 MHz, C<sub>6</sub>D<sub>6</sub>) de **40** à temperatura ambiente.

Italo, t-DH-Pro, CDCl<sub>3</sub>, ta, out30(trc2  
 Pulse Sequence: s2pu)  
 Solvent: CDCl<sub>3</sub>  
 Ambient temperature  
 File: out30trc2  
 INOVA-500 "nmrsun"  
  
 Relax. delay 2.000 sec  
 Pulse 95.4 degrees  
 Acc. time 0.800 sec  
 Width 20000.0 Hz  
 320 repetitions  
 OBSERVE C3, 75.0520066 MHz  
 DECOUPLE H1, 300.0688576 MHz  
 Power 41 dB  
 continuously on  
 WALTZ-16 modulated  
 DATA PROCESSING  
 Line broadening 1.0 Hz  
 FT size 32768  
 Total time 3 hr, 54 min, 4 sec



**Figura 5.26:** Espectro de RMN <sup>13</sup>C (75 MHz, CDCl<sub>3</sub>) de **40** à temperatura ambiente.

Italo, I.60, C606, ta, ma1021trH1

Pulse Sequence: \$2pu1

Solvent: Benzene

Ambient temperature

file: ma1021trH1

INDIA-500 "nmrsun"

Relax. delay 0.200 sec

Pulse 91.3 degrees

Acq. time 2.687 sec

Width 6000.0 Hz

128 repetitions

OBSERVE H1,300.0073658 MHz

DATA PROCESSING

FT s128 32768

Total time 6 min, 8 sec

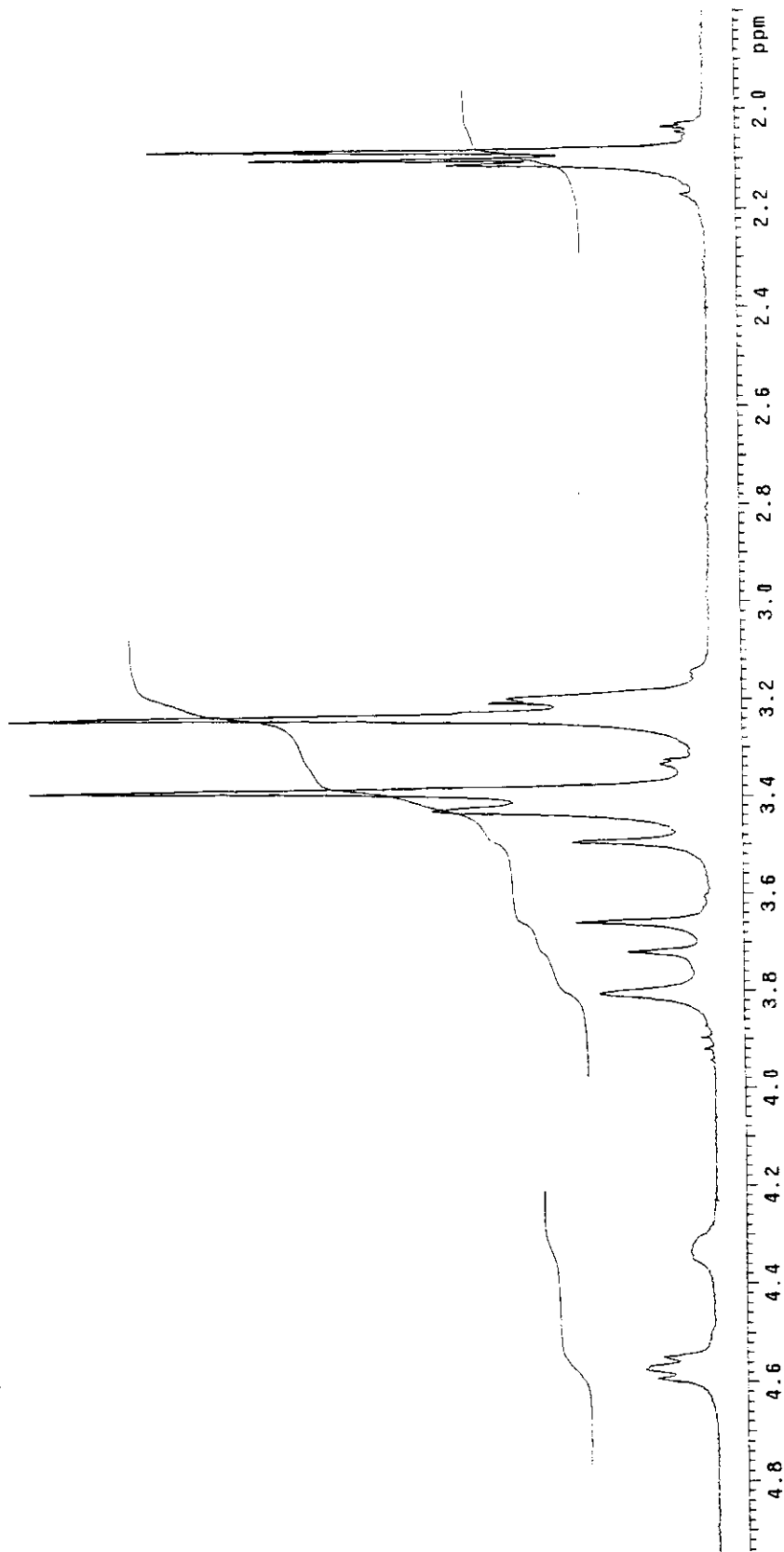


Figura 5.27: Espectro de RMN  $^1\text{H}$  (300 MHz) de **41** à temperatura ambiente.

Italo I-60 benzene maititrC

Pulse Sequence: 52pu1

Solvent: Benzene

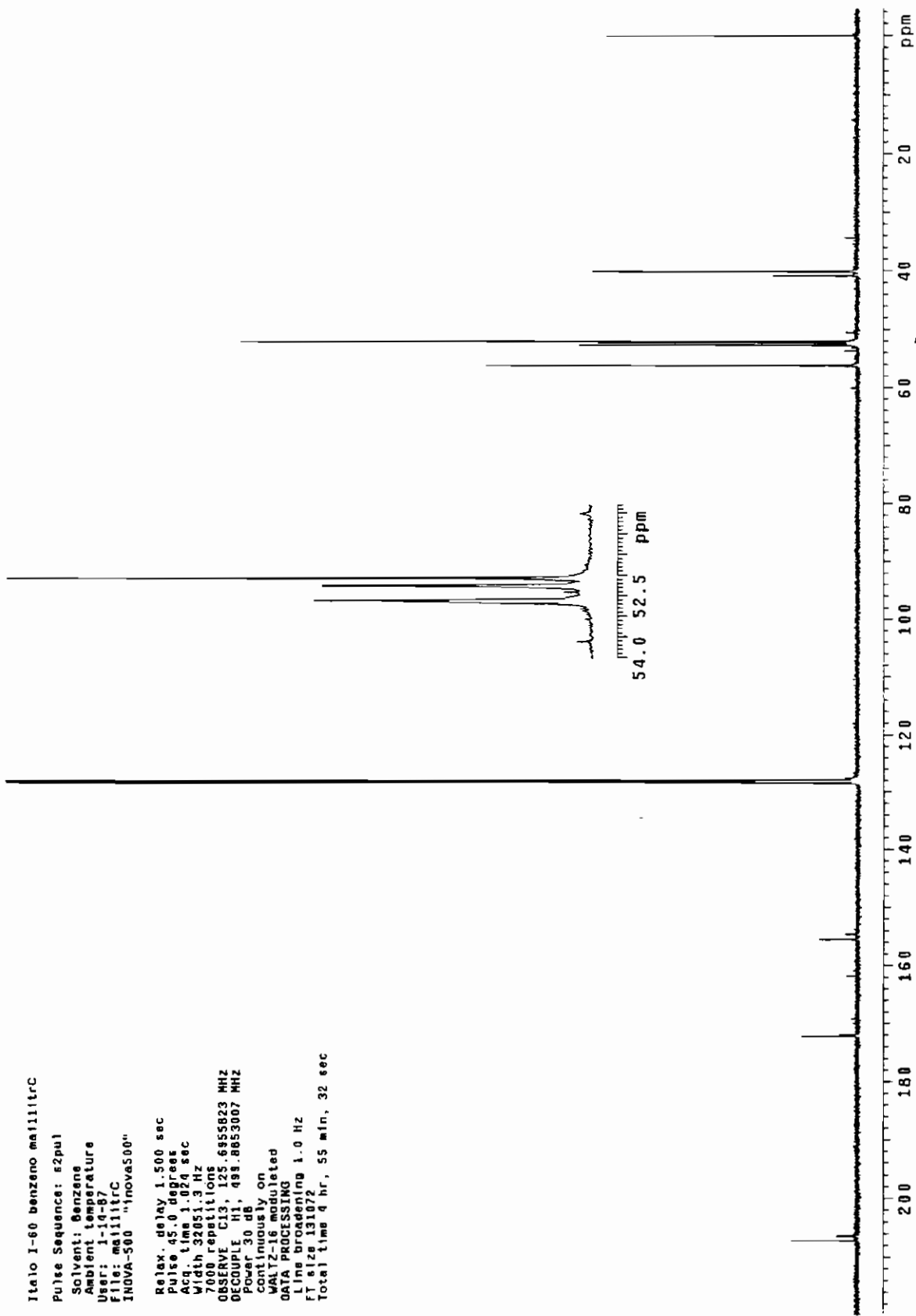
Ambient temperature

User: 1-14-07

File: maititrC

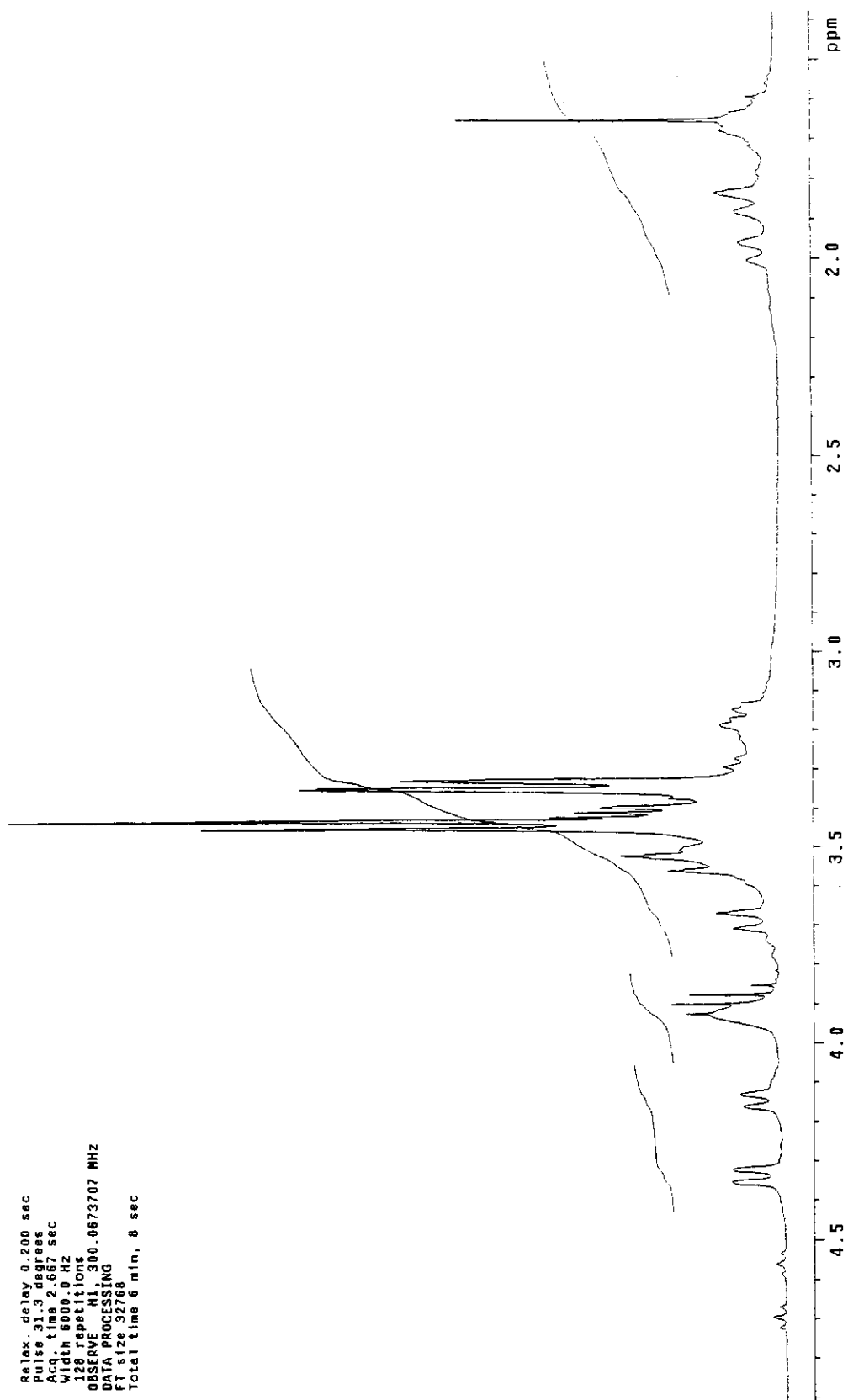
INOVA-500 "Inova500"

Relax. delay 1.500 sec  
Pulse 45.0 degrees  
Acq. time 1.024 sec  
Width 32051.3 Hz  
7000 repetitions  
OBSERVE C13, 125.6455823 MHz  
DECUPLE H1, 493.8653007 MHz  
Power 30 dB  
WALTZ-16 modulated  
continuously on  
DATA PROCESSING  
Line broadening 1.0 Hz  
FT slice 131072  
Total time 4 hr, 55 min, 32 sec



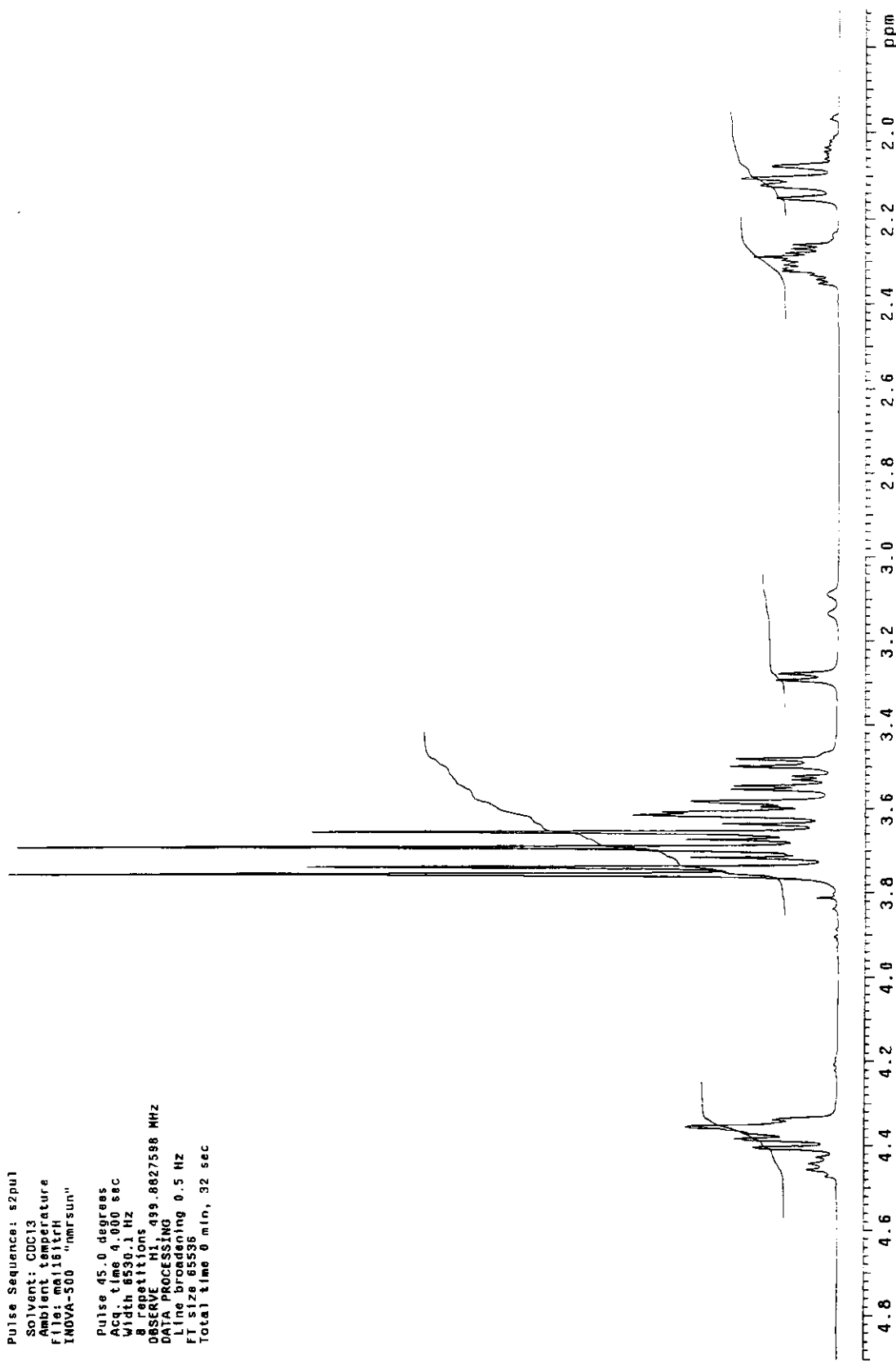
**Figura 5.28:** Espectro de RMN <sup>13</sup>C(125 MHz, C<sub>6</sub>D<sub>6</sub>) de **41** à temperatura ambiente.

Italo, 1.62, C<sub>6</sub>D<sub>6</sub>, ta, mai31itrH1  
 Pulse Sequence: s2pui  
 Solvent: Benzene  
 Ambient temperature  
 File: mai31itrH1  
 INOVA-500 "nmr4run"  
 Relax. delay 0.200 sec  
 Pulse 31.3 degrees  
 Acq. time 2.667 sec  
 Width 6000.0 Hz  
 128 repetitions  
 OBSERVE H1,300.0673707 MHz  
 DATA PROCESSING  
 FT size 32768  
 Total time 6 min, 6 sec



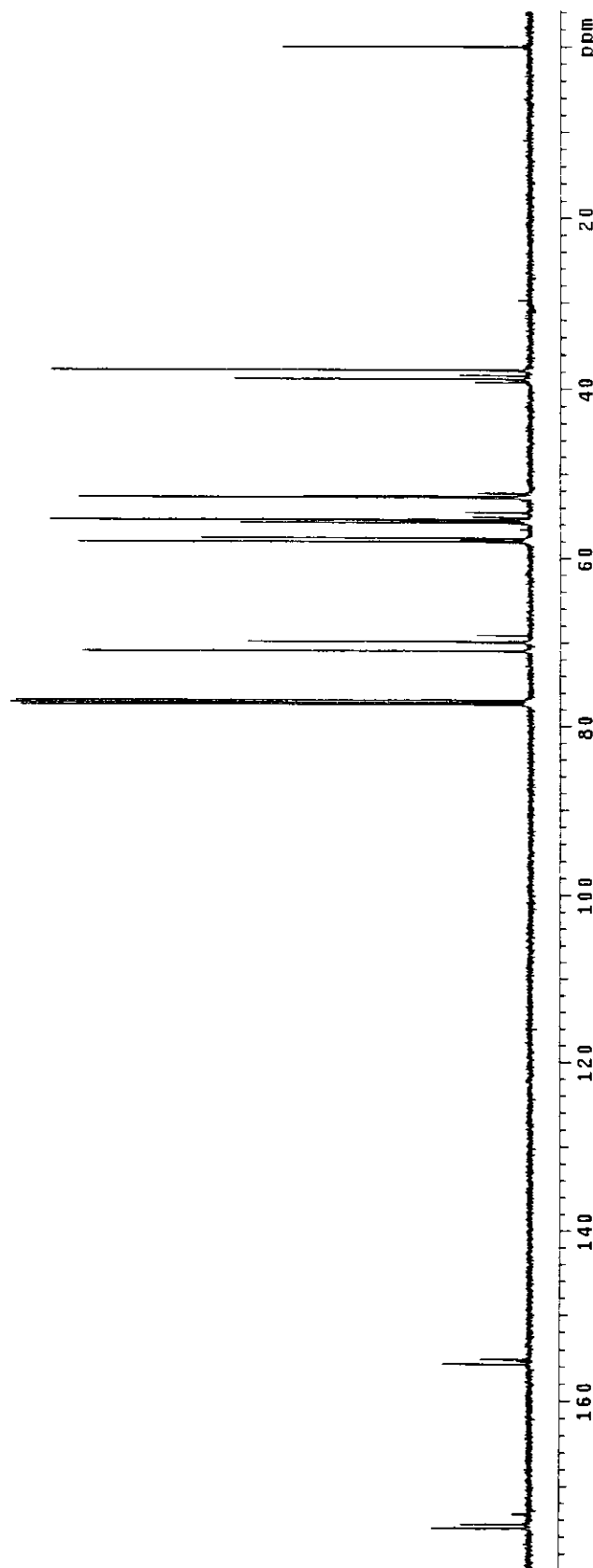
**Figura 5.29:** Espectro de RMN <sup>1</sup>H (300 MHz, C<sub>6</sub>D<sub>6</sub>) de **42** à temperatura ambiente.

Italo I62 cdc13 mal16itrH  
 Pulse Sequence: s2pul  
 Solvent: CDCl<sub>3</sub>  
 Ambient temperature  
 File: mal16itrH  
 INOVA-500 "nmrsun"  
  
 Pulse 45.0 degrees  
 Acq. time 4.000 sec  
 Width 6530.1 Hz  
 8 FID's  
 OBSERVE H1: 49.8827598 MHz  
 DATA PROCESSING  
 Line broadening 0.5 Hz  
 FT size 65536  
 Total time 0 min, .32 sec



**Figura 5.30:** Espectro de RMN <sup>1</sup>H (500 MHz, CDCl<sub>3</sub>) de **42** à temperatura ambiente.

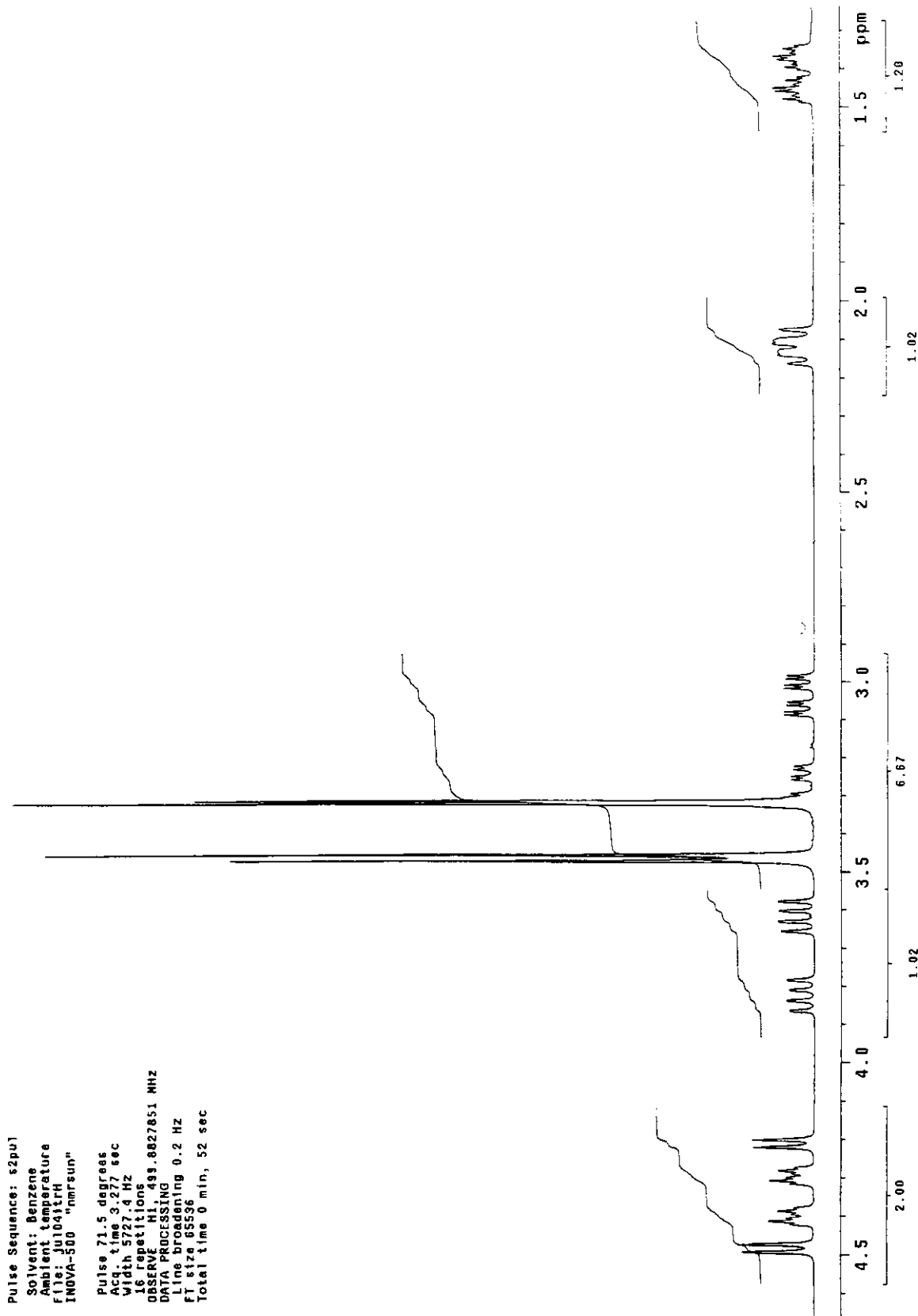
Italo 162 cdc13 mail161trc  
 Pulse Sequence: s2pu1  
 Solvent: CDCl<sub>3</sub>  
 Ambient temperature  
 User: 1-19-87  
 File: mail161trc  
 INOVA-500 "Inova500"  
  
 Relax delay 1.500 sec  
 Pulse 45.0 degrees  
 Acq. time 1.024 sec  
 Width 32051.3 Hz  
 8000 repetitions  
 OBSERVE C13, 125.6956130 MHz  
 DECOUPLE H1, 49.8855557 MHz  
 Power 30 dB  
 continuously on  
 WALTZ-16 modulated  
 DATA PROCESSING  
 Line broadening 1.0 Hz  
 FT size 131072  
 Total time 5 hr. 37 min, 45 sec



**Figura 5.31:** Espectro de RMN <sup>13</sup>C (125 MHz, CDCl<sub>3</sub>) de **42** à temperatura ambiente.

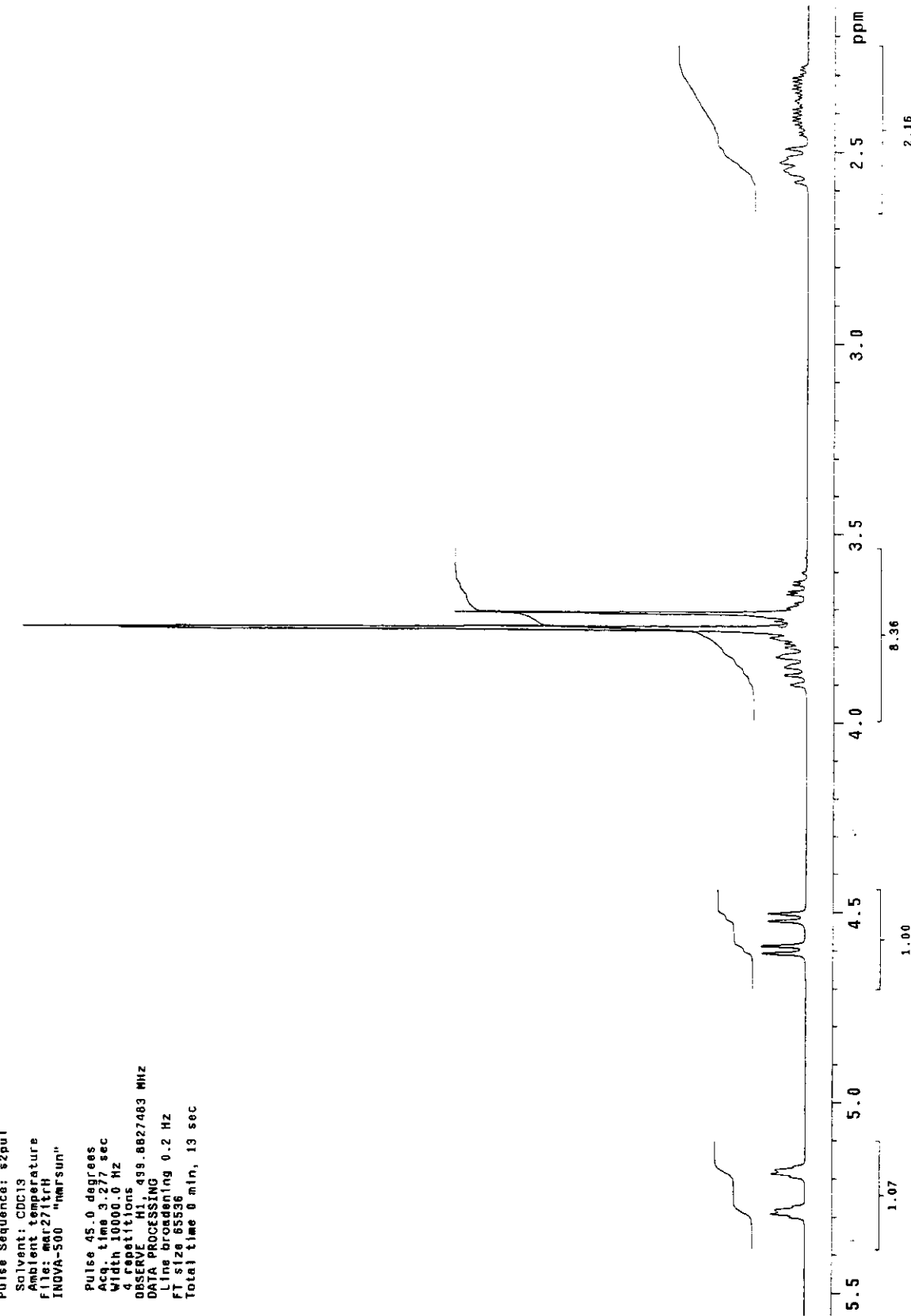
Italo F-PRO C6D6 Jul04itrH  
 Pulse Sequence: s2p1  
 Solvent: Benzene  
 Ambient temperature  
 File: Jul04itrH  
 INOVA-500 "nmrsun"

Pulse 71.5 degrees  
 Acq. time 3.277 sec  
 Width 5.2714 Hz  
 16 Repetitions  
 OBSERVE H1, 49.8827851 MHz  
 DATA PROCESSING  
 Line broadening 0.2 Hz  
 F1 size 65536  
 Total time 0 min, 52 sec



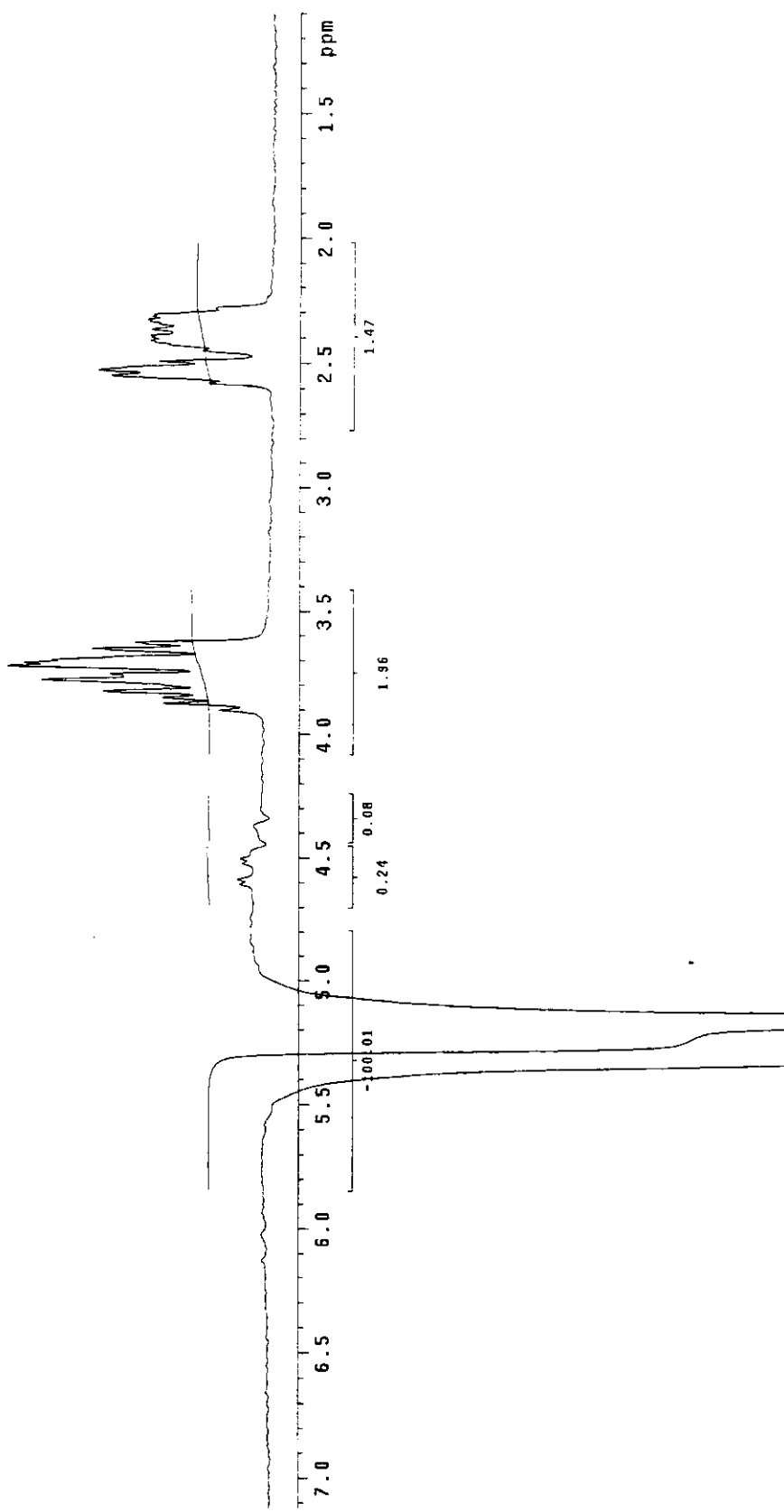
**Figura 5.32:** Espectro de RMN  $^1\text{H}$  (500 MHz,  $\text{C}_6\text{D}_6$ ) de **43** à temperatura ambiente.

Italo F-Pro cdc13 mar271th  
 Pulse Sequence: s2pul  
 Solvent: CDCl<sub>3</sub>  
 Ambient Temperature  
 File: Mar271th  
 INVA-500 "MarSur"  
  
 Pulse 45.0 degrees  
 Acq. time 3.277 sec  
 Width 1000.0 Hz  
 4 repetitions  
 OBSERVE H1 498.8827483 MHz  
 DATA PROCESSING  
 Line broadening 0.2 Hz  
 FT size 65536  
 Total time 0 min, 13 sec



**Figura 5.33:** Espectro de RMN <sup>1</sup>H (500 MHz, CDCl<sub>3</sub>) de **43** à temperatura ambiente.

Italo F-Pro cdcl3 mar271trNOESY101  
 Pulse Sequence: NOESY10  
 Solvent: CDCl<sub>3</sub>  
 Ambient temperature  
 File: mar271trNOESY101  
 INOVA-500 "nmrsum"  
 Relax. delay 5.00 sec  
 Pulse 90.0 degrees  
 Mixing 0.500 sec  
 Acq. time 3.277 sec  
 Width 10000.0 Hz  
 550 repetitions  
 OBSERVE H1 493.8827483 MHz  
 DATA PROCESSING  
 Line broadening 4.0 Hz  
 FT size 65536  
 Total time 2 hr, 32 min, 38 sec

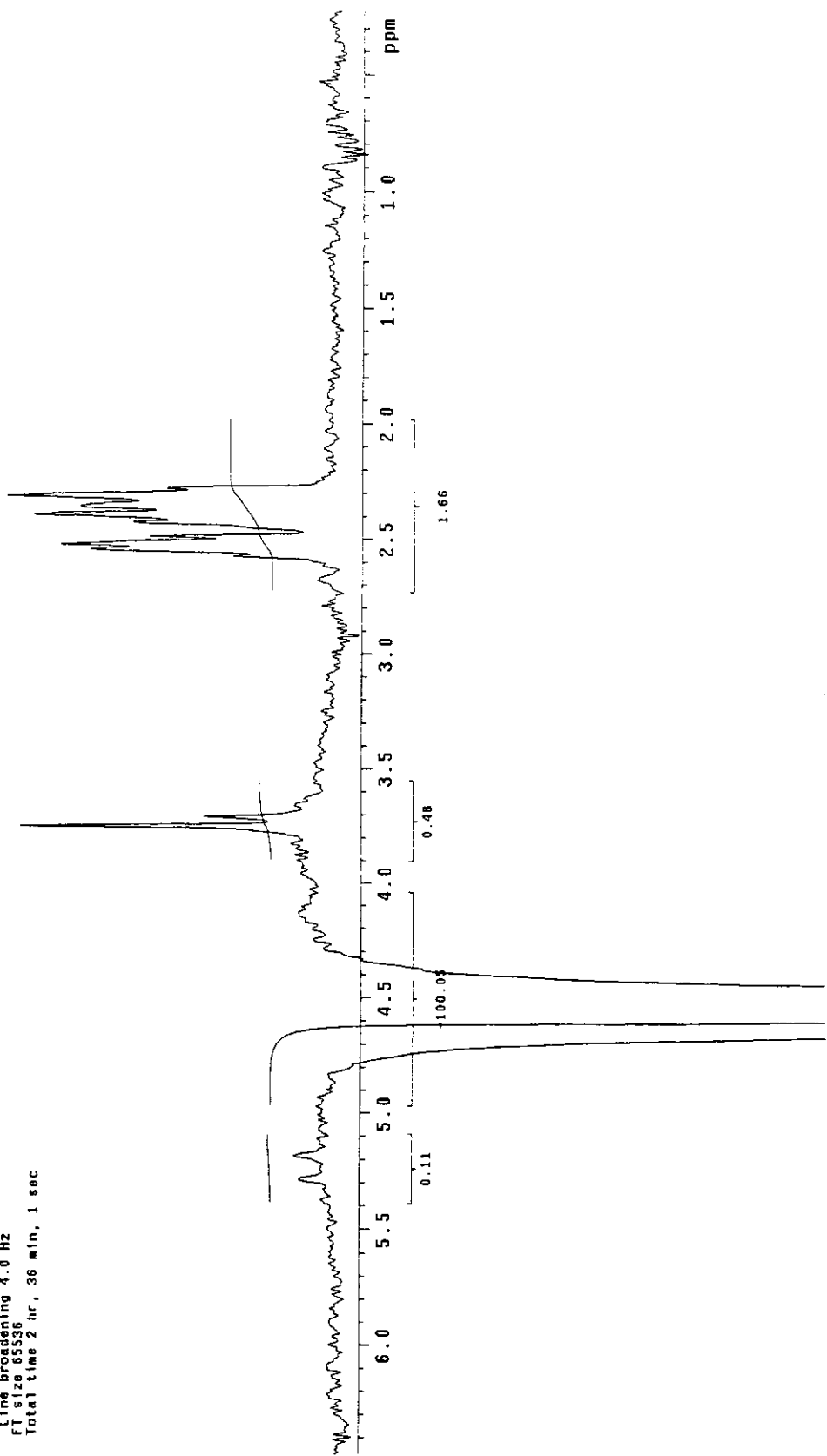


**Figura 5.34:** Espectro de diferença de nOe de **43** quando o sinal em 5.25 ppm foi irradiado.

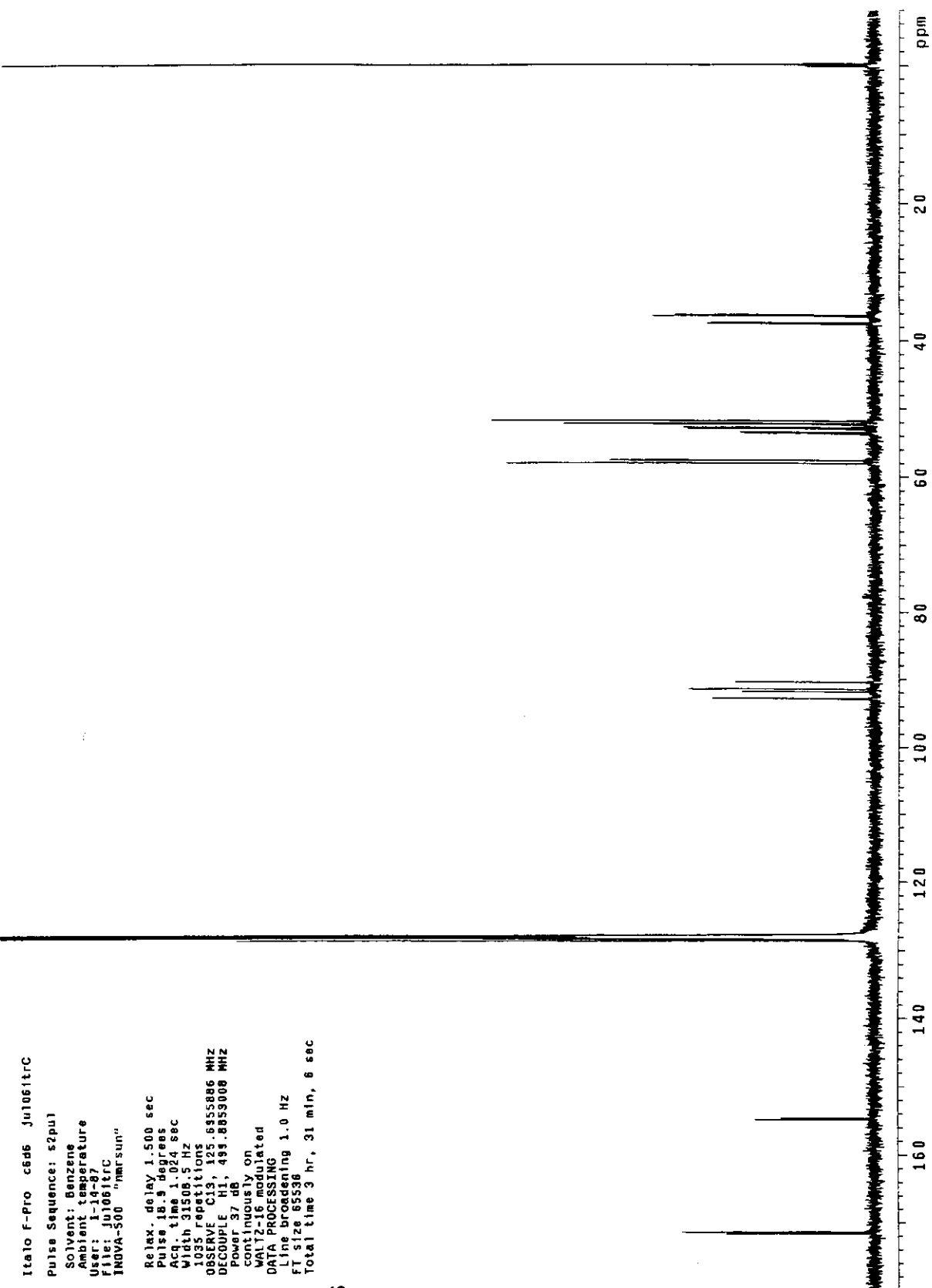
Italo F-Pro cac13 mar271trN0ESY102  
 Pulse Sequence: N0ESY102  
 Solvent: CDCl<sub>3</sub>  
 Ambient temperature  
 File: mar271trN0ESY102  
 INOVA-500 "nmrsum"

```

    Relax. delay 5.000 sec
    Pulse 90.0 degrees
    Mixing 0.500 sec
    Acq. time 3.277 sec
    Width 10000.0 Hz
    1024 repetitions
    OBSERVE H1:439.8827483 MHz
    DATA PROCESSING
    Line broadening 4.0 Hz
    FT size 65536
    Total time 2 hr, 36 min, 1 sec
  
```



**Figura 5.35:** Espectro de diferença de nOe de **43** quando o sinal em 4.57 ppm foi irradiado.



**Figura 5.36:** Espectro de RMN  $^{13}\text{C}$  (125 MHz,  $\text{C}_6\text{D}_6$ ) de 43 à temperatura ambiente.

## **6 – Parte Computacional**

## 6 - Parte computacional

Os compostos apresentados na figura 6.1 tiveram seu equilíbrio conformacional e barreira rotacional da ligação N-C(O) estudados por métodos computacionais.

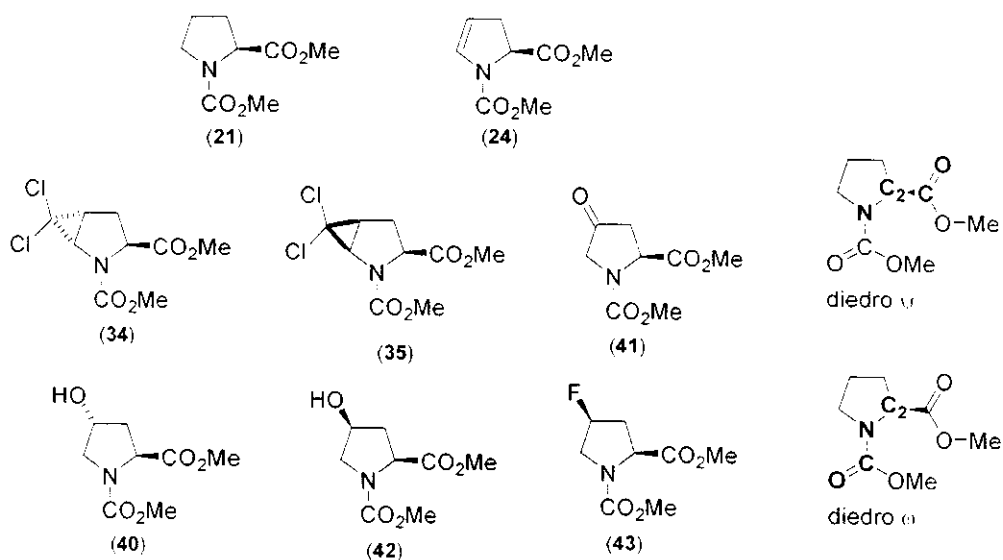


Figura 6.1:

A fim de se minimizar custos computacionais, a estratégia utilizada foi a seguinte:

- 1) utilizando-se o hamiltoniano AM1, segundo implementado no programa PcSpartan Plus, a partir de uma geometria *E* ou *Z* inicial, restringiu-se apenas o ângulo de diedro  $\psi$ , definido pelos átomos N-C2-C(O)-O, Figura 6.1, de 0 a 360° em incrementos de 30°.
- 2) Construiu-se um gráfico do valor de  $\Delta H_f$  versus o ângulo de diedro, através do qual se pôde visualizar possíveis mínimos, que foram, então, submetidos a uma otimização de geometria sem qualquer tipo de restrição.
- 3) O mesmo procedimento foi adotado para o outro confôrmero.

- 4) As geometrias de mínimo assim localizadas foram, então, submetidas a otimização (utilizando a keyword OPT) no nível HF/6-31G\*, segundo implementado no programa Gaussian 98.
- 5) A partir da geometria otimizada de um dos confômeros, variou-se o ângulo de diedro  $\omega$ , definido pelos átomos O-C-N-C2, Figura 6.1, em incrementos de  $30^\circ$ .
- 6) Construiu-se um gráfico do valor de  $\Delta H_f$  versus o ângulo de diedro, através do qual se puderam visualizar as regiões de máximo. Nessas regiões o diedro  $\omega$  foi variado em valores de  $10^\circ$ , até que um máximo "definitivo" fosse definido.
- 7) Esses máximos foram, então, otimizados com relação ao diedro  $\psi$ .
- 8) Os máximos assim localizados foram submetidos à busca de estado de transição no nível HF/6-31G\*, utilizando a keyword TS, segundo implementado no programa Gaussian XX.
- 9) Todas as estruturas foram submetidas à análise vibracional para verificação de seus estados estacionários. Em se tratando de geometrias de equilíbrio, todas as vibrações calculadas eram positivas. No caso dos estados-de-transição, observou-se uma e apenas uma vibração imaginária correspondente à modificação desejada na coordenada de reação. A análise vibracional também serviu para cálculo dos parâmetros termodinâmicos das estruturas. Utilizou-se uma escala de 0,8929, temperatura de 298,15 K e pressão de 1 atm para as correções vibracionais.

Nas páginas seguintes se encontram as matrizes no formato pdb das geometrias finais encontradas para os diversos compostos estudados no nível HF/6-31G\*.

Matriz no formato pdb para **21** na geometria Z - endo.

Matriz no formato pdb para 21 na geometria Z - exo.

**Matriz no formato pdb para 21 na geometria  $E$  - endo.**

```

HEADER
HETATM      0.369  0.863 -1.451
HETATM      0.370  0.865  0.648
HETATM      1.451  0.863  1.628
HETATM      2.546  0.044  0.939
HETATM      2.264  0.246  0.553
HETATM      0.725  0.273  0.620
HETATM      0.880  1.229  0.000
HETATM      1.118  0.427  0.559
HETATM      1.773  1.860  1.630
HETATM      3.541  0.363  1.024
HETATM      2.441  -1.003  1.199
HETATM      2.695  -0.516  -1.187
HETATM      2.642  1.207  -0.984
HETATM      0.168  -1.135  -0.774
HETATM      -1.184  1.655  2.076
HETATM      -1.737  1.076  -0.005
HETATM      -3.087  1.406  0.266
HETATM      -3.175  2.446  0.544
HETATM      -3.475  0.786  1.062
HETATM      -3.624  1.216  -0.651
HETATM      -0.207  -1.306  0.115
HETATM      0.199  -1.513  -2.042
HETATM      -0.254  -2.825  -2.333
HETATM      -1.235  -2.942  -2.035
HETATM      0.352  -3.557  -1.820
HETATM      -0.156  -2.940  -3.401

```

**Matriz no formato pdb para 21 na geometria  $E$  - exo.**

```

HEADER
HETATM      0.549  0.748 -1.411
HETATM      0.495  0.740  0.684
HETATM      1.655  0.824  1.557
HETATM      2.810  0.732  0.564
HETATM      2.278  -0.233  -0.500
HETATM      0.766  0.091  -0.580
HETATM      -0.715  1.193  1.072
HETATM      1.667  -0.001  2.263
HETATM      1.634  1.747  2.116
HETATM      2.998  1.708  0.107
HETATM      3.729  0.384  1.018
HETATM      2.418  -1.255  -0.167
HETATM      2.760  -0.129  -1.463
HETATM      -0.028  -1.189  -0.768
HETATM      -0.952  1.670  2.143
HETATM      -1.615  1.069  0.102
HETATM      -2.938  1.463  0.417
HETATM      -2.969  2.510  0.680
HETATM      -3.321  0.875  1.238
HETATM      -3.517  1.282  -0.475
HETATM      -0.478  -1.853  0.106
HETATM      -0.095  -1.509  -2.051
HETATM      -0.754  -2.720  -2.377
HETATM      -1.782  -2.691  -2.048
HETATM      -0.255  -3.559  -1.914
HETATM      -0.705  -2.802  -3.452

```

### Matriz no formato pdb para 21 na geometria ET<sub>anti-anti</sub>.

HEADER				
HETATM	1	0.9666	0.169	-1.410
HETATM	2	0.682	0.269	0.674
HETATM	3	1.967	0.485	1.237
HETATM	4	2.898	-0.280	0.734
HETATM	5	2.297	-1.160	-0.354
HETATM	6	0.926	-0.497	-0.570
HETATM	7	-0.108	1.437	0.520
HETATM	8	-1.738	3.289	1.437
HETATM	9	2.037	1.125	0.344
HETATM	10	3.917	-0.336	1.345
HETATM	11	-3.054	0.105	1.561
HETATM	12	2.179	-0.182	-0.016
HETATM	13	2.870	-1.183	-1.274
HETATM	14	-0.212	-1.473	-0.809
HETATM	15	0.242	2.414	-0.056
HETATM	16	-1.270	1.308	1.116
HETATM	17	-2.167	2.396	1.001
HETATM	18	-2.402	2.585	-0.037
HETATM	19	-0.139	-2.654	-0.724
HETATM	20	-1.317	-0.825	-1.140
HETATM	21	-2.490	-1.600	-1.323
HETATM	22	-2.736	-2.129	-0.414
HETATM	23	-2.352	-2.308	-0.126
HETATM	24	-3.271	-0.898	-1.571

### Matriz no formato pdb para 21 na geometria ET<sub>anti-syn</sub>.

HEADER				
HETATM	1	1.078	0.795	-1.687
HETATM	2	0.463	1.149	0.239
HETATM	3	1.799	1.531	0.722
HETATM	4	2.698	0.280	0.625
HETATM	5	1.959	-0.655	-0.354
HETATM	6	0.763	0.202	-0.836
HETATM	7	-0.346	0.648	1.395
HETATM	8	1.738	1.938	1.721
HETATM	9	2.162	2.317	0.069
HETATM	10	-0.712	-2.447	-3.916
HETATM	11	2.803	-0.192	1.592
HETATM	12	1.605	-1.638	0.162
HETATM	13	2.570	-0.974	-1.168
HETATM	14	-0.409	-0.630	-1.296
HETATM	15	-0.013	-0.202	2.059
HETATM	16	-1.478	1.302	1.372
HETATM	17	-2.413	0.839	2.328
HETATM	18	-2.304	0.911	3.326
HETATM	19	-2.680	-0.187	2.119
HETATM	20	-3.275	1.479	2.226
HETATM	21	-1.430	-0.780	-0.709
HETATM	22	-0.133	-1.211	-2.451
HETATM	23	-1.122	-2.073	-2.991
HETATM	24	-2.035	-1.507	-3.179
HETATM	25	-1.335	-2.688	-2.352
HETATM	26	3.690	0.541	0.272

Matriz no formato pdb para 21 na geometria ET<sub>syn-anti</sub>

Matriz no formato pdb para 21 na geometria ET<sub>syn-syn</sub>

### Matriz no formato pdb para 24 na geometria Z.

```

HEADER
HETATM      1  C   0.000  0.000  0.000
HETATM      2  C   0.000  0.000  0.000
HETATM      3  C   0.000  0.000  0.000
HETATM      4  C   0.000  0.000  0.000
HETATM      5  C   0.000  0.000  0.000
HETATM      6  C   0.000  0.000  0.000
HETATM      7  C   0.000  0.000  0.000
HETATM      8  C   0.000  0.000  0.000
HETATM      9  C   0.000  0.000  0.000
HETATM     10  C   0.000  0.000  0.000
HETATM     11  C   0.000  0.000  0.000
HETATM     12  C   0.000  0.000  0.000
HETATM     13  C   0.000  0.000  0.000
HETATM     14  C   0.000  0.000  0.000
HETATM     15  C   0.000  0.000  0.000
HETATM     16  C   0.000  0.000  0.000
HETATM     17  C   0.000  0.000  0.000
HETATM     18  C   0.000  0.000  0.000
HETATM     19  C   0.000  0.000  0.000
HETATM     20  C   0.000  0.000  0.000
HETATM     21  C   0.000  0.000  0.000
HETATM     22  C   0.000  0.000  0.000
HETATM     23  C   0.000  0.000  0.000
HETATM     24  C   0.000  0.000  0.000
HETATM      1  O   -0.238  -0.685  -2.797
HETATM      2  O   -0.238  -0.686  -0.659
HETATM      3  O   0.777  -0.687  0.376
HETATM      4  O   0.057  -1.166  -0.370
HETATM      5  O   1.652  -1.057  1.913
HETATM      6  O   0.365  -0.803  1.019
HETATM      7  O   -1.532  -0.404  1.189
HETATM      8  O   0.503  -1.340  1.941
HETATM      9  O   0.914  0.711  0.120
HETATM     10  O   0.914  -0.667  -0.098
HETATM     11  O   2.302  -2.188  -0.098
HETATM     12  O   -4.117  -3.846  -0.657
HETATM     13  O   2.322  -1.196  -2.647
HETATM     14  O   -4.098  -0.047  -2.239
HETATM     15  O   -1.343  -0.289  0.746
HETATM     16  O   -2.284  -0.353  -1.457
HETATM     17  O   -3.658  -0.072  -1.254
HETATM     18  O   -3.780  0.881  -0.763
HETATM     19  O   0.616  1.717  0.429
HETATM     20  O   1.655  0.655  2.075
HETATM     21  O   1.942  1.887  2.714
HETATM     22  O   0.484  1.635  3.611
HETATM     23  O   1.026  2.405  2.959
HETATM     24  O   2.546  2.513  2.073

```

### Matriz no formato pdb para 24 na geometria E.

```

HEADER
HETATM      1  C   0.391  0.879  -1.444
HETATM      2  C   0.393  0.879  0.657
HETATM      3  C   1.501  0.878  1.518
HETATM      4  C   2.604  0.527  0.891
HETATM      5  C   2.315  0.262  -0.569
HETATM      6  C   0.758  0.290  -0.618
HETATM      7  C   -0.866  1.169  1.069
HETATM      8  C   -3.427  0.580  1.154
HETATM      9  C   1.350  1.156  2.540
HETATM     10  C   3.578  0.464  1.332
HETATM     11  C   -3.640  1.120  -0.520
HETATM     12  C   2.708  -0.684  -0.921
HETATM     13  C   2.732  1.035  -1.207
HETATM     14  C   0.194  -1.116  -0.759
HETATM     15  C   1.151  1.523  2.173
HETATM     16  C   -1.734  1.042  0.076
HETATM     17  C   -3.095  1.275  0.397
HETATM     18  C   -3.232  2.286  0.750
HETATM     19  C   -0.309  -1.749  0.108
HETATM     20  C   0.365  -1.554  -1.996
HETATM     21  C   -0.082  -2.870  -2.279
HETATM     22  C   -1.144  -2.953  -2.105
HETATM     23  C   0.439  -3.587  -1.662
HETATM     24  C   0.142  -3.039  -3.321

```

Matriz no formato pdb para **34** na geometria Z.

Matriz no formato pdb para 34 na geometria E.

Matriz no formato pdb para 34 na geometria ET<sub>anti-anti</sub>.

Matriz no formato pdb para **34** na geometria ET<sub>anti-syn</sub>.

Matriz no formato pdb para **34** na geometria ET<sub>*syn-anti*</sub>.

### Matriz no formato pdb para 35 na geometria Z.

HEADER				
HETATM	1	-0.525	-0.529	-1.898
HETATM	2	-0.014	-0.665	0.358
HETATM	3	1.437	-0.563	0.647
HETATM	4	1.873	-0.684	-0.866
HETATM	5	0.691	-1.345	-1.570
HETATM	6	0.371	-1.318	-0.626
HETATM	7	-0.773	-0.476	1.669
HETATM	8	1.850	-1.375	1.301
HETATM	9	1.979	0.707	4.249
HETATM	10	0.096	0.285	-1.294
HETATM	11	0.759	-1.297	-0.953
HETATM	12	0.878	-0.195	-0.199
HETATM	13	-1.562	-1.003	-3.150
HETATM	14	-1.159	-2.131	-0.507
HETATM	15	-0.319	-0.146	2.725
HETATM	16	-2.050	-0.709	1.439
HETATM	17	-2.935	-0.516	2.530
HETATM	18	1.248	1.773	1.018
HETATM	19	3.019	0.714	1.824
HETATM	20	1.688	2.990	1.597
HETATM	21	0.957	3.730	1.313
HETATM	22	2.664	3.258	1.218
HETATM	23	1.732	2.898	2.670
HETATM	24	-2.894	0.509	3.869
HETATM	25	-2.680	-1.176	3.346
HETATM	26	-3.918	-0.747	2.151
HETATM	27	-0.508	1.216	-1.910

### Matriz no formato pdb para 35 na geometria E.

HEADER				
HETATM	1	-0.710	-0.547	-1.942
HETATM	2	-0.381	-0.638	0.553
HETATM	3	1.063	-0.513	0.622
HETATM	4	1.572	-0.936	-0.768
HETATM	5	0.346	-1.518	-1.504
HETATM	6	-0.847	-1.269	-0.638
HETATM	7	-1.231	-0.463	1.600
HETATM	8	1.463	-1.148	1.404
HETATM	9	1.533	0.898	0.941
HETATM	10	2.065	-0.202	-1.313
HETATM	11	2.288	-1.796	-0.644
HETATM	12	0.445	-2.418	-2.082
HETATM	13	-1.764	-1.119	-3.231
HETATM	14	-1.665	-1.951	-0.521
HETATM	15	-2.414	-0.605	1.530
HETATM	16	-0.578	-0.162	2.709
HETATM	17	-1.368	0.149	3.844
HETATM	18	2.853	0.894	1.070
HETATM	19	0.858	1.361	1.062
HETATM	20	3.474	2.136	1.360
HETATM	21	4.530	1.930	1.423
HETATM	22	3.110	2.527	2.299
HETATM	23	3.275	2.850	0.574
HETATM	24	-1.975	-0.700	4.125
HETATM	25	-2.004	0.996	3.637
HETATM	26	-0.668	0.388	4.629
HETATM	27	-0.406	1.169	-2.034

### Matriz no formato pdb para 35 na geometria ET<sub>anti-anti</sub>.

HEADER			
HETATM		0.184	0.369
HETATM		-0.031	0.472
HETATM		1.320	0.673
HETATM		2.175	-0.399
HETATM		1.278	-1.199
HETATM		0.045	-0.303
HETATM		-0.794	1.667
HETATM		1.290	-0.400
HETATM		1.652	1.684
HETATM		0.190	0.206
HETATM		0.886	-1.611
HETATM		0.996	-2.157
HETATM		1.702	-1.375
HETATM		-1.238	-1.382
HETATM		-0.453	2.651
HETATM		-1.903	1.556
HETATM		-2.767	1.682
HETATM		-3.083	0.911
HETATM		-2.269	3.541
HETATM		-3.613	2.399
HETATM		-1.328	-2.264
HETATM		-2.246	-0.262
HETATM		-3.528	-0.346
HETATM		-3.816	-1.400
HETATM		-3.517	-1.505
HETATM		-4.203	-0.023
HETATM		3.236	0.095
		3.212	

### Matriz no formato pdb para 35 na geometria ET<sub>syn-anti</sub>.

HEADER			
HETATM		-0.484	-0.463
HETATM		-0.190	-0.193
HETATM		1.275	-0.146
HETATM		1.822	-0.342
HETATM		0.744	-1.156
HETATM		-0.485	-1.075
HETATM		-0.987	-0.362
HETATM		1.607	-0.950
HETATM		1.693	1.170
HETATM		1.998	0.612
HETATM		2.758	-0.885
HETATM		1.020	-2.067
HETATM		-1.389	-1.354
HETATM		-1.129	-1.913
HETATM		-1.627	0.495
HETATM		-0.939	-1.606
HETATM		-1.708	-1.896
HETATM		1.345	1.199
HETATM		3.268	2.046
HETATM		1.557	3.401
HETATM		1.175	2.242
HETATM		1.022	3.218
HETATM		2.611	2.644
HETATM		-2.754	-1.707
HETATM		-1.375	-1.291
HETATM		-1.544	-2.942
HETATM		-0.552	1.263
		-2.376	

Matriz no formato pdb para **40** na geometria Z - exo.

HETATM	0.363	-0.709
HETATM	0.595	-0.370
HETATM	0.774	-0.452
HETATM	1.424	-1.423
HETATM	0.257	-2.263
HETATM	0.863	-1.250
HETATM	1.475	0.420
HETATM	0.816	-0.887
HETATM	1.466	0.899
HETATM	1.349	-0.868
HETATM	1.135	-2.033
HETATM	1.351	-3.255
HETATM	1.351	0.715
HETATM	1.351	1.711
HETATM	1.351	1.079
HETATM	1.691	0.380
HETATM	3.671	1.195
HETATM	3.377	2.234
HETATM	3.935	0.901
HETATM	4.567	1.041
HETATM	1.281	1.724
HETATM	3.364	1.036
HETATM	3.100	2.215
HETATM	2.433	3.052
HECATM	3.670	2.356
HETATM	3.761	2.116
HETATM	0.749	-3.759

Matriz no formato pdb para 40 na geometria  $E$  - exo.

HEADER				
HETATM		0.372	0.498	-1.395
HETATM		0.375	0.497	0.702
HETATM		1.600	0.493	1.481
HETATM		2.663	0.201	0.426
HETATM		1.939	-0.742	-0.525
HETATM		0.498	-0.186	-0.568
HETATM		-0.708	1.191	1.103
HETATM		1.580	-0.281	2.242
HETATM		1.739	1.446	1.972
HETATM		3.000	1.346	-0.312
HETATM		3.551	-0.252	0.867
HETATM		1.940	-1.744	-0.108
HETATM		2.400	-0.769	-1.502
HETATM		-0.495	-1.324	-0.721
HETATM		-0.793	1.776	2.144
HETATM		-1.672	1.162	0.190
HETATM		-2.883	1.813	0.529
HETATM		-2.711	2.865	0.703
HETATM		-3.315	1.369	1.413
HETATM		-3.536	1.675	-0.319
HETATM		-0.985	-1.932	0.172
HETATM		-0.691	-1.600	-2.000
HETATM		-1.548	-2.688	-2.298
HETATM		-2.537	-2.507	-1.903
HETATM		-1.158	-3.604	-1.879
HETATM		-1.580	-2.752	-3.375
HETATM		3.354	2.011	0.262

Matriz no formato pdb para **41** na geometria Z.

Matriz no formato pdb para **41** na geometria *E*.

HEADER				
HETATM	-0.064	0.884	-1.536	
HETATM	-0.062	0.885	0.568	
HETATM	0.945	0.884	1.611	
HETATM	2.246	0.796	0.837	
HETATM	1.929	0.731	-0.648	
HETATM	0.430	0.393	-0.703	
HETATM	-1.376	0.913	0.906	
HETATM	0.850	0.033	2.277	
HETATM	0.908	1.788	2.203	
HETATM	0.503	-2.987	-3.427	
HETATM	3.331	0.788	1.316	
HETATM	2.568	0.026	-1.161	
HETATM	2.107	1.714	-1.071	
HETATM	0.219	-1.108	-0.849	
HETATM	-1.773	1.130	2.008	
HETATM	-2.155	0.700	-0.146	
HETATM	-3.553	0.707	0.394	
HETATM	-3.865	1.668	0.474	
HETATM	-3.816	-0.064	0.803	
HETATM	-4.013	0.513	-0.862	
HETATM	-0.063	-1.840	0.041	
HETATM	0.425	-1.482	-2.095	
HETATM	0.300	-2.879	-2.373	
HETATM	-0.700	-3.219	-2.145	
HETATM	1.013	-3.446	-1.792	

Matriz no formato pdb para **41** na geometria ET<sub>anti-anti</sub>.

Matriz no formato pdb para **41** na geometria ET<sub>anti-syn</sub>.

**Matriz no formato pdb para **41** na geometria ET<sub>syn-anti</sub>.**

HEADER								
HETATM	1			2	2	-0.403	0.160	-1.524
HETATM	2			2	2	-0.402	0.173	0.585
HETATM	3			2	2	0.690	0.182	1.563
HETATM	4			2	2	1.980	0.273	0.760
HETATM	5			2	2	3.637	0.124	-0.711
HETATM	6			2	2	0.156	-0.275	-0.711
HETATM	7			2	2	-1.125	1.363	0.506
HETATM	8			2	2	0.690	-0.741	2.129
HETATM	9			2	2	0.611	1.008	2.257
HETATM	10			2	2	-2.319	-3.614	-2.004
HETATM	11			2	2	3.060	0.439	1.219
HETATM	12			2	2	2.292	-0.595	-1.182
HETATM	13			2	2	1.773	1.087	-1.190
HETATM	14			2	2	-0.027	-1.782	-0.734
HETATM	15			2	2	-2.274	1.493	0.758
HETATM	16			2	2	-0.361	2.397	0.416
HETATM	17			2	2	-0.978	3.672	0.015
HETATM	18			2	2	-1.372	3.973	0.975
HETATM	19			2	2	-1.779	3.646	-0.709
HETATM	20			2	2	-0.202	4.350	-0.303
HETATM	21			2	2	0.704	-2.536	-0.175
HETATM	22			2	2	-1.096	-2.145	-1.410
HETATM	23			2	2	-1.422	-3.527	-1.412
HETATM	24			2	2	-1.601	-3.870	-0.404
HETATM	25			2	2	-0.620	-4.101	-1.652

**Matriz no formato pdb para 42 na geometria Z - endo.**

```

HEADER
HETATM    1      C   0.398  0.339 -1.750
HETATM    2      C   0.300  0.839  0.347
HETATM    3      C   0.435  0.840  1.265
HETATM    4      C   0.382 -0.191  0.647
HETATM    5      C   0.082 -0.071 -0.854
HETATM    6      C   0.564  0.196 -0.923
HETATM    7      C   -0.931  1.329  0.598
HETATM    8      C   1.136  0.551  0.362
HETATM    9      C   1.890  1.624  1.311
HETATM   10      C   3.414  0.045  0.364
HETATM   11      C   2.173 -1.478  1.144
HETATM   12      C   2.390 -0.953 -1.401
HETATM   13      C   2.605  0.784 -1.269
HETATM   14      C   -0.321 -1.098 -1.064
HETATM   15      C   -1.844  1.256 -0.175
HETATM   16      C   -1.008  1.902  1.789
HETATM   17      C   -2.273  2.426  0.165
HETATM   18      C   -3.016  1.644  0.176
HETATM   19      C   -2.579  3.198  1.463
HETATM   20      C   -2.141  2.839  3.143
HETATM   21      C   -0.447 -1.845 -0.163
HETATM   22      C   -0.564 -1.327 -2.311
HETATM   23      C   -1.282 -2.522 -2.578
HETATM   24      C   -2.213 -2.527 -2.031
HETATM   25      C   -0.694 -3.385 -2.301
HETATM   26      C   -1.470 -2.519 -3.640
HETATM   27      H   -1.270 -1.744  1.003

```

**Matriz no formato pdb para 42 na geometria E - endo.**

```

HEADER
HETATM    1      H   0.326  0.900 -1.552
HETATM    2      H   0.323  0.893  0.551
HETATM    3      H   1.453  0.908  1.471
HETATM    4      H   2.433 -0.086  0.841
HETATM    5      H   2.129  0.040 -0.657
HETATM    6      H   0.602  0.265 -0.723
HETATM    7      H   -0.863  1.433  0.895
HETATM    8      H   1.136  0.607  2.463
HETATM    9      H   1.885  1.905  1.529
HETATM   10      H   3.459  0.176  1.059
HETATM   11      H   2.268 -1.388  1.322
HETATM   12      H   2.462 -0.823 -1.218
HETATM   13      H   2.623  0.918 -1.059
HETATM   14      H   -0.135 -1.058 -0.883
HETATM   15      H   -1.084  1.978  1.938
HETATM   16      H   -1.764  1.291 -0.371
HETATM   17      H   -3.067  1.789  0.191
HETATM   18      H   -3.033  2.852  0.380
HETATM   19      H   -3.497  1.284  1.043
HETATM   20      H   -3.640  1.582 -0.699
HETATM   21      H   -0.395 -1.798  0.015
HETATM   22      H   -0.400 -1.315 -2.145
HETATM   23      H   -1.028 -2.554 -2.448
HETATM   24      H   -1.988 -2.614 -1.957
HETATM   25      H   -0.405 -3.377 -2.130
HETATM   26      H   -1.149 -2.563 -3.519
HETATM   27      H   -1.366 -1.677  1.226

```

### Matriz no formato pdb para 42 na geometria ET<sub>anti-anti</sub>.

```

HEADER
HETATM      0.477  0.448 -1.660
HETATM      0.433  0.469  0.469
HETATM      1.717  0.477  1.184
HETATM      0.398 -0.803  0.709
HETATM      0.022 -0.819  1.777
HETATM      0.603 -0.327 -0.627
HETATM     -0.196  1.729  0.370
HETATM      1.546  0.467  0.252
HETATM      0.311  1.348  0.920
HETATM      0.469 -0.740  0.848
HETATM      1.976 -1.934  1.402
HETATM      0.082 -1.814 -1.331
HETATM      0.691  1.169 -1.329
HETATM     -0.484 -1.088 -0.576
HETATM      0.269  0.680  0.171
HETATM     -1.370  1.724  0.961
HETATM     -2.104  2.936  0.933
HETATM     -0.313  3.229 -0.086
HETATM     -1.551  3.724  1.405
HETATM      3.022  2.735  1.462
HETATM     -0.394 -2.361 -0.361
HETATM     -1.557 -0.870 -1.511
HETATM     -2.681 -0.738 -1.509
HETATM     -3.015 -1.938 -0.522
HETATM     -2.430 -2.668 -2.018
HETATM     -3.445 -1.218 -2.063
HETATM      1.128 -2.222  1.081

```

### Matriz no formato pdb para 42 na geometria ET<sub>anti-syn</sub>.

```

HEADER
HETATM      0.394  0.951 -1.701
HETATM      0.322  0.969  0.389
HETATM      0.692  1.004  1.450
HETATM      1.975  1.493  0.740
HETATM      1.597  1.536 -0.754
HETATM      0.344  0.666 -0.877
HETATM     -1.485  0.226  0.689
HETATM      0.868  0.026  1.882
HETATM      0.364  1.674  2.235
HETATM      2.247  2.481  1.085
HETATM      3.078  0.689  1.024
HETATM      2.419  1.206 -1.375
HETATM      1.332  2.546 -1.044
HETATM      0.695 -0.814 -1.007
HETATM     -1.509 -0.945  0.896
HETATM     -2.550  0.995  0.719
HETATM     -3.784  0.366  1.018
HETATM     -3.748 -0.092  1.996
HETATM     -4.013 -0.387  0.278
HETATM     -4.524  1.150  0.998
HETATM      1.615 -1.341 -0.477
HETATM     -0.124 -1.442 -1.839
HETATM      0.037 -2.848 -1.963
HETATM     -0.103 -3.320 -1.003
HETATM      1.019 -3.082 -2.346
HETATM     -0.725 -3.168 -2.656
HETATM      2.908 -0.184  0.683

```

Matriz no formato pdb para **42** na geometria ET<sub>syn-anti</sub>.

HEADER							
HETATM	1	N	C	O	O	O	O
HETATM	2	N	C	O	O	O	O
HETATM	3	N	C	O	O	O	O
HETATM	4	N	C	O	O	O	O
HETATM	5	N	C	O	O	O	O
HETATM	6	N	C	O	O	O	O
HETATM	7	N	C	O	O	O	O
HETATM	8	N	C	O	O	O	O
HETATM	9	N	C	O	O	O	O
HETATM	10	N	C	O	O	O	O
HETATM	11	N	C	O	O	O	O
HETATM	12	N	C	O	O	O	O
HETATM	13	N	C	O	O	O	O
HETATM	14	N	C	O	O	O	O
HETATM	15	N	C	O	O	O	O
HETATM	16	N	C	O	O	O	O
HETATM	17	N	C	O	O	O	O
HETATM	18	N	C	O	O	O	O
HETATM	19	N	C	O	O	O	O
HETATM	20	N	C	O	O	O	O
HETATM	21	O	C	H	H	H	H
HETATM	22	O	C	H	H	H	H
HETATM	23	O	C	H	H	H	H
HETATM	24	O	C	H	H	H	H
HETATM	25	O	C	H	H	H	H
HETATM	26	O	C	H	H	H	H
HETATM	27	O	C	H	H	H	H

Matriz no formato pdb para **43** na geometria Z - endo.

Matriz no formato pdb para 43 na geometria Z - exo.

HEADER				
HETATM		-0.636	-0.492	-0.189
HETATM		-0.636	-0.493	-0.074
HETATM		0.706	-0.494	0.424
HETATM		1.474	-1.407	0.574
HETATM		0.361	-2.167	-1.286
HETATM		-0.783	-1.166	-1.350
HETATM		-1.578	0.235	0.573
HETATM		0.761	-0.880	1.432
HETATM		1.333	0.899	0.432
HETATM		1.995	-0.618	-1.320
HETATM		2.192	-2.051	-0.085
HETATM		0.067	-3.052	-0.737
HETATM		0.747	-2.564	-2.534
HETATM		-1.753	-1.630	-1.436
HETATM		-1.381	0.791	1.609
HETATM		-2.741	0.309	0.099
HETATM		-3.795	0.939	0.547
HETATM		-3.530	1.982	0.634
HETATM		-4.017	0.543	0.537
HETATM		-4.644	0.820	-0.108
HETATM		1.029	1.763	-0.333
HETATM		2.294	0.996	1.320
HETATM		2.973	2.239	1.404
HETATM		2.277	3.028	1.646
HETATM		3.461	2.467	0.467
HETATM		3.702	2.134	2.190

**Matriz no formato pdb para 43 na geometria  $E$  - endo.**

HEADER						
HETATM	1	H	2	0.145	0.931	-1.554
HETATM	2	H	2	0.303	0.933	0.536
HETATM	3	H	2	1.391	0.684	1.473
HETATM	4	H	2	2.387	-0.133	0.659
HETATM	5	H	2	2.632	0.153	-0.790
HETATM	6	H	2	0.503	0.306	-0.748
HETATM	7	H	2	-0.862	1.464	0.971
HETATM	8	H	2	1.056	0.130	2.338
HETATM	9	H	2	1.822	1.620	1.807
HETATM	10	H	2	3.416	0.077	0.916
HETATM	11	H	2	2.177	-1.473	0.895
HETATM	12	H	2	2.373	-0.625	-1.487
HETATM	13	H	2	2.471	1.096	-1.396
HETATM	14	H	2	-0.230	-1.027	-0.856
HETATM	15	H	2	-1.046	1.846	0.389
HETATM	16	H	2	-1.761	1.545	-0.331
HETATM	17	H	2	-3.035	2.045	0.362
HETATM	18	H	2	-2.953	0.055	0.736
HETATM	19	H	2	-3.485	1.417	1.115
HETATM	20	H	2	-3.624	2.026	-0.542
HETATM	21	H	2	-0.922	-1.497	-0.017
HETATM	22	H	2	-0.010	-1.583	-0.036
HETATM	23	H	2	-0.634	-2.833	-2.283
HETATM	24	H	2	-1.708	-2.735	-2.221
HETATM	25	H	2	-0.302	-3.367	-1.563
HETATM	26	H	2	-0.334	-3.131	-3.279

**Matriz no formato pdb para 43 na geometria  $E$  - exo.**

HEADER						
HETATM	1	H	2	0.514	0.543	-1.522
HETATM	2	H	2	0.288	0.739	0.550
HETATM	3	H	2	1.305	0.591	1.572
HETATM	4	H	2	2.516	0.224	0.730
HETATM	5	H	2	1.941	-0.655	-0.373
HETATM	6	H	2	0.533	-0.067	-0.626
HETATM	7	H	2	-0.835	1.460	0.768
HETATM	8	H	2	1.076	-0.214	2.263
HETATM	9	H	2	1.421	1.507	2.129
HETATM	10	H	2	2.992	1.110	0.329
HETATM	11	H	2	3.452	-0.450	1.463
HETATM	12	H	2	1.873	-1.665	0.017
HETATM	13	H	2	2.544	-0.679	-1.270
HETATM	14	H	2	-0.478	-1.188	-0.795
HETATM	15	H	2	-1.079	2.046	1.780
HETATM	16	H	2	-1.621	1.463	-0.302
HETATM	17	H	2	-2.855	2.149	-0.175
HETATM	18	H	2	-2.686	3.194	0.036
HETATM	19	H	2	-3.448	1.713	0.614
HETATM	20	H	2	-3.351	2.033	-1.126
HETATM	21	O	2	-1.166	-1.623	0.067
HETATM	22	O	2	-0.446	-1.656	-2.031
HETATM	23	O	2	-1.296	-2.754	-2.326
HETATM	24	H	2	-2.329	-2.483	-2.163
HETATM	25	H	2	-1.046	-3.602	-1.706
HETATM	26	H	2	-1.127	-2.985	-3.366

### Matriz no formato pdb para 43 na geometria ET<sub>anti-anti</sub>.

HEADER				
HETATM		0.816	0.286	-1.603
HETATM		0.521	0.377	0.499
HETATM		1.867	0.680	0.971
HETATM		2.601	-0.625	0.762
HETATM		1.997	-1.189	-0.523
HETATM		0.704	-0.387	-0.757
HETATM		-0.296	1.529	0.374
HETATM		1.841	0.963	0.020
HETATM		2.334	1.475	0.400
HETATM		3.674	-0.500	0.717
HETATM		2.339	-1.473	1.809
HETATM		1.790	-2.241	-0.398
HETATM		0.673	-1.069	-1.360
HETATM		-0.512	-1.259	-1.025
HETATM		0.028	2.628	-0.182
HETATM		-1.444	1.369	0.988
HETATM		-0.362	2.445	0.913
HETATM		-2.620	2.649	-0.116
HETATM		-1.940	3.333	1.359
HETATM		-3.232	2.125	1.463
HETATM		-0.546	-2.443	-0.965
HETATM		-1.351	-0.514	-1.363
HETATM		-2.784	-1.182	-1.574
HETATM		-3.089	-1.697	-0.675
HETATM		-2.694	-1.891	-2.384
HETATM		-3.496	-0.412	-1.327

### Matriz no formato pdb para 43 na geometria ET<sub>anti-syn</sub>.

HEADER				
HETATM		-0.983	-0.833	-2.441
HETATM		-0.489	-0.309	-0.465
HETATM		0.759	-0.360	0.314
HETATM		1.707	-1.233	-0.527
HETATM		1.089	-1.240	-1.930
HETATM		-0.404	-1.219	-1.614
HETATM		-1.684	-0.335	0.279
HETATM		0.602	-0.773	1.302
HETATM		1.233	1.078	0.449
HETATM		2.723	-0.868	-0.534
HETATM		1.705	-2.239	-0.124
HETATM		1.353	-2.135	-2.476
HETATM		1.493	-0.167	-2.721
HETATM		-0.754	-2.318	-1.363
HETATM		-2.434	0.576	0.378
HETATM		-1.382	-1.508	0.967
HETATM		-3.060	-1.648	1.643
HETATM		0.861	1.617	1.588
HETATM		1.839	1.662	-0.397
HETATM		1.136	2.998	1.776
HETATM		0.742	3.245	2.749
HETATM		0.647	3.582	1.011
HETATM		2.201	3.176	1.743
HETATM		-3.936	-1.496	1.029
HETATM		-3.064	-0.934	2.454
HETATM		-3.041	-2.655	2.029
HETATM		1.560	0.624	-2.195

Matriz no formato pdb para **43** na geometria ET<sub>*syn-anti*</sub>.

Matriz no formato pdb para **43** na geometria ET<sub>*syn-syn*</sub>.

HEADER				
HETATM				
HETATM				-0.542
HETATM				0.333
HETATM			-0.958	
HETATM			-0.327	-0.495
HETATM			-0.710	-1.936
HETATM			-1.277	-1.869
HETATM			-0.118	-0.504
HETATM			-1.991	0.551
HETATM			-0.250	1.656
HETATM			0.783	-0.423
HETATM			-0.671	-0.178
HETATM			-1.429	-2.355
HETATM			0.393	-2.748
HETATM			-2.356	-1.979
HETATM			0.039	-0.377
HETATM			1.207	-1.067
HETATM			2.364	-1.052
HETATM			2.649	-0.033
HETATM			2.183	-1.583
HETATM			3.133	-1.546
HETATM			0.697	1.834
HETATM			-0.784	2.584
HETATM			-0.174	3.866
HETATM			-0.207	4.283
HETATM			0.853	3.799
HETATM			-0.749	4.472

## **7 - Bibliografia**

## 7 - Bibliografia

- 1 - a) Cahn, R. S.; Ingold, C. K. e Prelog, V.; *Angew. Chem. Int. Ed. Eng.* **1966**, 5, 385.  
b) Prelog, V. e Helmchen; *Angew. Chem. Int. Ed. Eng.* **1982**, 21, 567.
- 2 - *Pure Appl. Chem.* **1984**, 56, 592.
- 3 - Voet, D. e Voet, J. G.; *Biochemistry*, 2<sup>a</sup> Ed. John Wiley & Sons, Inc.; N.Y., pp. 56-ss.
- 4 - Konopelski, J. P.; Wei, Y. e Olmstead, M. M.; *J. Org. Chem.* **1999**, 64, 5148.
- 5 - Fischer, G.; *Angew. Chem. Int. Ed. Eng.* **1994**, 33, 1415.
- 6 - a) Avent, A. G.; Bowler, A. N.; Doyle, P. M.; Marchand, C. M. e Young, D. W.; *Tetrahedron Lett.* **1992**, 33, 1509.  
b) Hanessian, S.; McNaughton-Smith, G.; Lombart, H.-G.; Lubell, W. D.; *Tetrahedron* **1997**, 53, 12789.
- 7 - Cox, C. e Lectka, T.; *J. Org. Chem.* **1998**, 63, 2426.
- 8 - Fowden, L.; MacGibbon, C. M.; Mellon, F. A. e Shppard, R. C.; *Phytochemistry* **1969**, 8, 437.
- 9 - Switzer, F. L.; Halbeek, H. V.; Holt, E. M. e Stammer, C. H.; *Tetrahedron* **1989**, 45, 6091.
- 10 - Pellicciari, B.; Maranozzi, M.; Galli, A.; *J. Chem. Soc. Perkin Trans. 1* **1995**, 1251.
- 11 - Hanessian, S.; Reinhold, U.; Gentilie, G.; *Angew. Chem. Int. Ed. Eng.* **1997**, 36, 1881.
- 12 - Oliveira, D.; Miranda, P. C. M. L; Correia, C. R. D., *J. Org. Chem.* **1999**, 64, 6646.
- 13 - Tamura, O.; Hashimoto, M.; Kobayashi, Y.; Katoh, T.; Nakatani, K.; Kamada, M.; Hayakawa, I.; Akiba, T.; Terashima, S.; *Tetrahedron* **1994**, 50, 3889.
- 14 - Novaes, M. R. C. G.; Souza, J. P e Araújo, H. C.; *Química Nova* **1999**, 22, 5.
- 15 - Hore, P. J.; *Nuclear Magnetic Resonance*, Oxford University Press, Oxford: , 1995, p. 39.
- 16 - Friebolin, H.; *Basic One- and two-dimensional NMR spectroscopy*, VCH, Nova Iorque, 1993, p. 120.
- 17 - Crews, P.; Rodríguez, J. e Jaspars, M.; *Organic Structure Analysis*, Oxford University Press, Oxford, 1998, p. 143.
- 18 - Wormald, M. R.; Nash, R. J.; Hrnciar, P.; White, J. D.; Molyneux, R. J. e Fleet, G. W. J.; *Tetrahedron Asymmetry* **1998**, 9, 2549.

- 19 - Switzer, F. L.; Halbeek, H. V.; Holt, E. M. e Stammer, C. H.; *Tetrahedron* **1989**, *45*, 6091.
- 20 - Abrahan, R. J. e Gatti, G.; *Org. Mag. Reson.* **1970**, *2*, 173.
- 21 - Winstein, S. e Sonnenberg, J.; *J. Am. Chem. Soc.* **1961**, *83*, 3235.
- 22 - Hanessian, S.; Reinhold, U.; Saulnier, M.; Claridge, S.; *Bioorg. Med. Chem. Lett.* **1998**, *8*, 2123.
- 23 - Pavia, D. L.; Lampman, G. M. e Kriz, Jr, G. S.; *Introduction to Organic Laboratory Techniques: a contemporary approach*, Saunders College, Philadelphia, 1982.
- 24 - Miranda, P. C. M. L.; Tese de Doutorado, Universidade Estadual de Campinas, 1999.
- 25 - Banwell, M. G. H. e Forman, G.S.; *J. Chem. Soc. Perkin Trans. 1* **1996**, 2565.
- 26 - Fedorynski, M. e Makosza, M.; *J. Organomet. Chem.* **1973**, *51*, 89.
- 27 - a) Dormoy, J.-R. e Castro, B.; *Synthesis* **1986**, *1*, 81.  
 b) Panasik, Jr., N.; Eberhardt, E. S.; Edison, A. S.; Powell, D. R. e Raines, R. T.; *Int. J. Peptide Protein Res.* **1994**, *44*, 262.
- 28 - Eberhardt, E. S.; Panasik, Jr., N.; Raines, R. T.; *J. Am. Chem. Soc.* **1996**, *118*, 12261.
- 29 - Demange, L.; Cluzeau, J.; Ménes, A. e Dugave, C.; *Tetrahedron Lett.* **2001**, *42*, 651.
- 30 - Pauling, L.; *The Nature of the Chemical Bond*, Cornell University Press, Ithaca, 1948, p.207
- 31 - Phillips, D. W. *J. Chem. Phys.* **1955**, *23*, 1363.
- 32 - Stewart, W. E. e Siddall, T. H.; *Chem. Rev.* **1970**, *70*, 513.
- 33 - Woolley, G. A.; Jaikaran, A. S. I.; Zhang, S. e Peng, S.; *J. Am. Chem. Soc.* **1995**, *117*, 4448.
- 34 - Ondetti, M. A. e Cushman, D. W.; *Science* **1977**, *196*, 441.
- 35 - Patchett, A. A.; Harries, E.; Tristram, E. W.; Wyvatt, M. J.; Wu, M. T.; Taub, D.; Peterson, E. R.; Ikeler, T. J.; Tenbroeke, J.; Payne, L. G.; Ondeyka, D. L.; Thorsett, E. D.; Greenlee, W. J.; Lohr, N. S.; Hoffsommer, R. D.; Joshua, H.; Ruyle, W. V.; Rothrock, J. W.; ASter, S. D.; Maycock, A. L.; Robinson, F. M.; Hirshmann, R.; Sweet, C. S.; Ulm, E. H.; Gross, D. M.; Vassil, T. C. e Stone, C. A; *Nature* **1980**, *288*, 280.
- 36 - Thorsett, E. D.; Haris, E. E.; Aster, S.; Peterson, E. R.; Snyder, J. P.; Springer, J. P.; Hirshfiels, J.; Tristram, E. W.; Patchett, A.A.; Ulm, E. H. e Vassil, T. C.; *J. Med. Chem.* **1988**, *29*, 251.
- 37 - a) Galardy, E. R.; Alger, R. A.e Liakopoulou-Kyriakides, M.; *Int. J. Pept. Protein Res.* **1982**, *19*, 123.

- b)** Robison, D. H.; *European Patent Applications*, E.P. 137,746 Fisons Plc, 1984.
- 38** - Avalos, M.; Babiano, R.; Barneto, J. L.; Bravo, J. L.; Cintas, P.; Jiménez, J. L. e Palacios, J. C.; *J. Org. Chem.* **2001**, 66, 7275.
- 39** - Fontoura, L. A. M.; Rigotti, I. J. C. e Correia, C. R. D.; *J. Mol. Struct.* **2002**, 609, 73.
- 40** - Forbes, C. C.; Beatty, A. M. e Smith, B. D.; *Org. Letters* **2001**, 3, 3595.
- 41** - Radzicka, A.; Pedersen, L. e Wolfenden, R.; *Biochem.* **1988**, 27, 4538.
- 42** - Madison, V. e Kopple, K. D.; *J. Am. Chem. Soc.* **1980**, 102, 4855.
- 43** - a) Gerothanassis, I. P; Troganis, A.; Vakka, C.; *Tetrahedron Lett.* **1996**, 37, 6569.  
**b)** Gardner, R. R.; Christianson, L. A. e Gellman, S. H.; *J. Am. Chem. Soc.* **1997**, 119, 5041.  
**c)** Leis, J.; Klika, K. D. e Karelson, M.; *Tetrahedron* **1998**, 54, 7497.  
**d)** Gardner, R. R.; McKay, S. L. e Gellman, S. H.; *Org. Lett.* **2000**, 2, 2335.
- 44** - Lewin, A. H. e Frucht, M.; *Org. Magn. Resonance* **1975**, 7, 206.
- 45** - Paulsen, H. e Todt, K.; *Angew. Chem. Int. Ed. Eng.* **1966**, 5, 8999.
- 46** - Ribera, A. e Rico, M.; *Tetrahedron Lett.* **1968**, 535.
- 47** - Siddal, T. H., III e Stewart, W. E.; *J. Mol. Spectrosc.* **1967**, 24, 290.
- 48** - Hatton, J. V. e Richards, R. E.; *Mol. Phys.* **1960**, 3, 253.
- 49** - Hatton, J. V. e Richards, R. E.; *Mol. Phys.* **1962**, 5, 139.
- 50** - Dorman, D. E. e Bovey, F.A.; *J. Org. Chem.* **1973**, 38, 2379.
- 51** - Wiberg, K. B.; Hammer, J. D.; Castejon, J.; Bailey, W. F.; Deleon E.L. e Jarret, R. M.; *J. Org. Chem.* **1999**, 64, 2085.
- 52** - Bretscher, L. E.; Jenkins, C. L.; Taylor, K. M.; DeRider, M. L. e Raines, R. T.; *J. Amer. Chem. Soc.* **2001**, 123, 777.
- 53** - a) Carey, F. A. e Sundberg, R. J; *Advanced Organic Chemistry - Part A: Structure and Mechanisms*  
**b)** Eliel, E. L. e Wilen, S. J.; *Stereochemistry of Organic Compounds*, John Wiley & Sons, NY 1992.
- 54** - a) Carballeira, L. e Pérez-Juste, I.; *J. Chem. Soc. Perkin Trans. 2* **1998**, 1339.  
**b)** Han, J. S. e Kang, Y. K.; *J. Mol. Struct. (Theochem)* **1996**, 369, 157.
- 55** - a) Kang, Y. K.; *J. Phys. Chem.* **1996**, 100, 11589.  
**b)** Hudáky, I.; Baldoni, H. A e Perczel, A.; *J. Mol. Struct. (Theochem)* **2002**, 582, 233.

- 56** - DeRider, M. L.; Wilkens, S. J.; Waddell, M. J.; Bretscher, L. E.; Weinhold, F.; Raines, R. T. e Markley, J. L.; *J. Am. Chem. Soc.* **2002**, 124, 2497.
- 57** - Bürgi, H. B., Jehn, J.-M., Wipff, G.; *J. Am. Chem. Soc.* **1974**, 96, 1956.
- 58** - Benzi, C.; Improta, R.; Scalmani, G. e Barone, V.; *J. Comput. Chem.* **2002**, 23, 341.
- 59** - a) Kydd, R. A. e Rauk, A.; *J. Mol. Struct.* **1981**, 77, 227.  
 b) Souza, W. F.; Kambe, N.; Sonoda, S.; *J. Phys. Org. Chem.* **1996**, 9, 179.  
 c) Marstokk, K.-M.; Møllendal, H.; *Acta Chem. Scand.* **1999**, 53, 329.
- 60** - Reichardt, C.; *Solvents and Solvent Effects in Organic Chemistry*, VCH, Nova Iorque, 1988.
- 61** - Ishimoto, B.; Tonan, K. e Ikawa, S.-I.; *Spect. Chim. Acta (A)* **1999**, 56, 201.
- 62** - Lambert, J. B.; Nienhuis, R. J. e Keepers, J. W.; *Angew. Chem. Int. Ed. Eng.* **1981**, 20, 487.
- 63** - Bain, A. D.; *Biochem. Cell Biol.* **1998**, 76, 171.
- 64** - Brown, K. C.; Tyson, R. L. e Weil, J. A.; *J. Chem. Ed.* **1998**, 75, 1632.
- 65** - Binsch, G. e Kessler, H.; *Angew. Chem. Int. Ed. Eng.* **1980**, 19, 411.
- 66** - Perrin, C. L. e Dwyer, T. J.; *Chem. Rev.* **1990**, 90, 935.
- 67** - Jeener, J.; Meier, B. H.; Bachmann, P. e Ernst, R. R.; *J. Chem. Phys.* **1979**, 71, 4546.
- 68** - Binsch, G.; *Band Shape Analysis in Dynamic Nuclear Magnetic Resonance*, ed. Jackman, L. M. e Cotton, F. A.; pp.45-81, Academic Press, Inc; New York, 1975.
- 69** - Shanan-Atidi, H. e Bar-Eli, K. H.; *J. Phys. Chem.* **1970**, 74, 961.
- 70** - a) Basso, E. A.; Oliveira, P. R.; Caetano, J. e Schuquel, I. T. A.; *J. Braz. Chem. Soc.* **2001**, 12, 215.  
 b) Oliveira, M. C. F. e Pilli, R. A.; "Estudo Comparativo d Barreira Rotacional de Carbamatos Cílicos de 5, 6 e 7 membros alfa-substituídos por RMN dinâmica", QO-025, 25<sup>a</sup> Reunião Anual da SBQ.
- 71** - Jackman, L. M.; *Rotation about Partial Double Bonds in Organic Molecules in Dynamic Nuclear Magnetic Resonance*, ed. Jackman, L. M. e Cotton, F. A.; pp.45-81, Academic Press, Inc; New York, 1975.
- 72** - Drakenberg, T. e Forsén, S.; *J. Phys. Chem.* **74**, 1970, 1.
- 73** - Walter, W.; Schaumann, E.; e Rose, H.; *Org. Magn. Resonance* **1971**, 3, 627.
- 74** - Drakenberg, T.; Dahlqvist, K.-I. e Forsén, S.; *J. Phys. Chem.* **1972**, 76, 2178.
- 75** - Abramson, K. H.; Inglefield, P. T.; Krakower, E. e Reeves, L. W.; *Can. J. Chem.* **1966**, 44, 1685.

- 76 - Jackman, L. M.; Kavanagh, T. E. e Haddon, R. C.; *Org. Magn. Resonance* **1969**, 1, 109.
- 77 - Yamagami, C.; Takao, N. e Takeuchi, Y.; *Aust. J. Chem.* **1986**, 39, 457.
- 78 - Wiberg, K. B.; Rablen, P. R.; Rush, D. J. e Keith, T. A.; *J. Am. Chem. Soc.* **1995**, 117, 4261.
- 79 - Rablen, P. R.; *J. Org. Chem.* **2000**, 65, 7930.
- 80 - Bonacorso, H. G.; Caro, M. S. B.; Zanatta, N. e Martins, M. A. P.; *Química Nova* **1992**, 15, 208.
- 81 - Aguirre, G.; Somanathan, R.; Hellberg, L. H.; Dwyer, T. J. e North, R.; *Magn. Reson. Chem.* **2003**, 41, 131.
- 82 - Delaney, N. G. e Madison, V.; *Int. J. Pept. Protein. Res.* **1982**, 19, 543.
- 83 - Beausoleil, E. e Lubell, W. D.; *J. Am. Chem. Soc.* **1996**, 118, 12902.
- 84 - Kang, Y. K.; *J. Mol. Struct. (Theochem)* **2002**, 585, 209.
- 85 - Fischer, G.; *Chem. Soc. Rev.*
- 86 - Green, D. V. S.; Hillier, I. H.; Morris, G. A.; Gensmantel, N.; Payling, D. W. e Robinson, D. H.; *J. Mol. Struct. (Theochem)* **1991**, 251, 173.
- 87 - Fischer, S.; Dunbrack, R. L, Jr.; Karplus, M.; *J. Am. Chem. Soc.* **1994**, 116, 11931.
- 88 - Jhon, J. S. e Kang, Y. K.; *J. Phys. Chem. A* **1999**, 103, 5436.
- 89 - a) Wiberg, K. B. e Breneman, C. M.; *J. Am. Chem. Soc.* **1992**, 114, 831.  
b) Bain, A. D.; Hazendonk, P. e Couture, P.; *Can. J. Chem.* **1999**, 77, 831.
- 90 - a) Wang, Q. P.; Bennet, A. J.; Brown, R. S. e Santarsiero, B. D.; *J. Am. Chem. Soc.* **1991**, 113, 7563.  
b) Bennet, A. J.; Somayaji, V.; Brown, R. S. e Santarsiero, B. D.; *J. Am. Chem. Soc.* **1991**, 113, 5757.
- 91 - Hehre, W. J.; Ditchfield, R. e Pople, J. A.; *J. Am. Chem. Soc.* **1970**, 92, 4796.
- 92 - a) Ponomarev, D. A. e Takhistov, V. V.; *J. Chem. Ed.* **1997**, 74, 201.  
b) Muller, P; *Pure App. Chem.* **1994**, 66, 1077.
- 93 - Correia, C. R. D e Rigotti, I. J. C.; "C-4 substituents on N-acyl prolines: electronegative effects or molecular orbital interactions?", P-31, VIII Encontro de usuários de Ressonância Magnética Nuclear - I Encontro Luso-Brasileiro de Ressonância Magnética Nuclear, Livro de Resumos, p. 91, Angra dos Reis, 2001.
- 94 - Improta, R.; Benzi, C e Barone, V.; *J. Amer. Chem. Soc.* **2001**, 123, 12568.